

Hovedfagsoppgave i hydroakustikk

Design og studier
av lydkilde for
SOBER-prosjektet

Audun Pedersen



Fysisk institutt
Universitetet i Bergen
mai 2002

Forord

Dette hovedfagsarbeidet i hydroakustikk ble i sin helhet utført på Fysisk institutt ved Universitetet i Bergen. Oppgaven ble påbegynt vårsemesteret 2001, og det har dermed tatt tre semester å fullføre den.

Arbeidet har i grove trekk bestått av tre deler. Det første semesteret gikk med til hovedfagspensum og innføring i Bergenkoden. Deretter ble lydkilden konstruert og laget. I denne fasen gjorde overingeniør Kåre Slettebakken ved instituttets mekaniske verksted et viktig arbeid. Lydfeltet fra den ferdige transduseren ble til slutt undersøkt og vurdert i forhold til lineær og ikkelineær teori.

Jeg vil takke professor Halvor Hobæk for god veiledning, og for at jeg fikk anledning til å delta på de årlige skandinaviske symposiene i fysikalsk akustikk (SSPA) på Ustaoset i 2001 og 2002. Den siste gangen presenterte jeg deler av innholdet i denne oppgaven.

Førsteamanuensis Magne Vestrheim har bidratt med gode råd og tips, og medstudentene mine har hjulpet meg med sine erfaringer i tillegg til å skape et godt sosialt miljø på skolen.

Jeg vil også takke familie og venner, og spesielt mine foreldre Svein Pedersen og Turid Elise Kindt Pedersen, for deres hjelp og moralske støtte gjennom hele studietiden.

Bergen, 15. mai 2002

Audun Pedersen

Innledning

Når en lydkilde beveger seg langs en rett linje i et homogent medium, med fart større enn lydfarten i mediet, dannes en kjegleformet sjokkfront med toppunkt i kilden.

Sjokket er en N-bølge. Den består av et innledende sjokk som øker trykket fra likevektstrykket til et positivt overtrykk, en lineær dekompresjon og et halesjokk som øker trykket tilbake til likevekt [1].

Når lydkilden akselererer eller endrer kurs, vil det kunne observeres et fokusert overlydssmell som kjennetegnes ved en U-formet bølge [2]. I en U-bølge leder både front- og halesjokket til positive overtrykk. Det maksimale overtrykket er typisk to til fem ganger større enn i en N-bølge fra samme kilde.

Energien i sjokkbølgen fra et overlydsfly er fordelt over frekvenser fra 0,1 Hz til 100 Hz. Smellet som observeres på bakken varer i 100–500 ms, avhengig av flyets størrelse.

For at sjokkbølger ikke skal nå befolkede områder, er flygning i overlydsfart forbudt over de fleste landområder. Hvis forbudssonenes grenser blir trukket for langt fra kysten, kan regelverket true lønnsomheten til kommersiell overlyds-transport [3].

SOBER (Sonic Boom European Research Programme) er en del av EUs femte rammeprogram. Prosjektet har som mål å utarbeide regnemodeller som gir et best mulig grunnlag for å legge flyruter slik at overlydsflygninger ikke skaper problemer i kystområder eller rundt øyer. Det blir lagt spesiell vekt på fokuserte sjokk, skyggesonen som oppstår på grunn av atmosfærens stratifisering, og såkalte sekundære sjokk.

I Bergen skal det gjøres et laboratorie-eksperiment der man studerer forplantningen av akustiske sjokkbølger i en stratifisert blanding av vann og etanol. Forsøkstanken vil fungere som en modell av atmosfæren opp til ca. 15 kilometers høyde.

I denne oppgaven ble det konstruert en lydkilde til eksperimentet. Det ble også gjort målinger i transduserens utstrålte lydfelt, og resultatet ble sammenlignet med teoretiske verdier.

Innhold

Forord	iii
Innledning	v
1 Teori	3
1.1 Piezoelektriske elementer	3
1.1.1 Mekaniske egenskaper	3
1.1.2 Elektriske egenskaper	6
1.1.3 Piezoelektriske relasjoner	6
1.1.4 Tykkelsessvingninger i en piezoelektrisk skive	7
1.1.5 Karakteristiske frekvenser	11
1.2 Mekanisk og elektrisk impedanstilpasning	13
1.2.1 Elektrisk tilkobling	13
1.2.2 Mekanisk koblingslag	14
1.3 Lydforplantning i vann	19
1.3.1 Grunnleggende ligninger	19
1.3.2 Ligning for plane bølger i et tapsfritt medium	19
1.3.3 Bølgeligningen til 2. orden	21
1.3.4 Westervelts ligning	22
1.3.5 KZK-ligningen	22
1.3.6 Lineært strålingsfelt fra en plan stempelkilde	23
1.4 Numerisk løsning av KZK-ligningen	25
1.4.1 Koordinattransformasjoner	25
1.4.2 Fouriertransformasjon	28
1.4.3 Endelig differanse-metoder	29
1.4.4 Bergenkoden	30
2 Eksperiment	33
2.1 Spesifikasjoner for lydkilden	33
2.2 Målinger og simuleringer av piezokeramiske skiver i luft	34
2.2.1 Bestemmelse av materialkonstanter	34
2.2.2 Frekvensrespons i luft	35
2.2.3 FEM-simulering av svingemønster	38
2.3 Simuleringer av mekaniske koblingslag	44
2.3.1 Spesifikk akustisk impedans	45

2.3.2	Valg av tykkelse	45
2.3.3	Virkning på impulsresponsen	46
2.4	Sammensetning av transduseren	50
2.4.1	Montering av elementet	50
2.4.2	Mekanisk koblingslag	53
2.4.3	Elektrisk impedanstilpasning	54
2.4.4	Posisjonering	56
2.5	Måling av lydfelt	57
2.5.1	Instrumentoppstilling	57
2.5.2	Strålingsfelt ved lav amplitude	62
2.5.3	Ikkelineære lydfelt	62
2.6	Endelig differanse-simulering av lydfelt	63
2.6.1	Den transformerte bølgeligningen	63
2.6.2	MME og TEFB	64
3	Resultat	65
3.1	Transduserens lineære strålingsfelt	65
3.1.1	Transientresponser	65
3.1.2	Feltet langs lydaksen	65
3.1.3	Feltet på tvers av akse	67
3.2	Ikkelineære lydfelt i vann	73
3.2.1	Måleresultater	73
3.2.2	Sammenligning med beregnede verdier	79
4	Konklusjon	85
4.1	Oppsummering	85
4.2	Forslag til videre arbeid	86
	Appendiks A — Programlisting	87
	Bergenkoden	88
	Mason-modellen	117
	Behandling av måledata	119

Kapittel 1

Teori

1.1 Piezoelektriske elementer

Et piezoelektrisk materiale kjennetegnes ved den direkte og den inverse piezoelektriske effekten. Når det utsettes for mekaniske spenninger i bestemte retninger, oppstår en elektrisk polarisering i materialet. Omvendt, hvis et elektrisk felt blir satt opp i bestemte retninger i stoffet, vil dette forårsake en mekanisk deformasjon (den inverse piezoelektriske effekten). Sammenhengen mellom deformasjon og elektrisk polarisasjon blir her betraktet som lineær.

I denne oppgaven ble det benyttet skiver av bly-zirkonat-titanat-materialet Pz26 fra Ferroperm. Elementene er polarisert over Curie-temperaturen ved hjelp av elektriske felt på 1–4 kV/mm. Teorien som er tatt med her, er i hovedsak hentet fra forelesningsnotater skrevet av førsteamanuensis Magne Vestrheim for emnet FYS 272 [4].

1.1.1 Mekaniske egenskaper

Tøyning

De mekaniske egenskapene til faste stoffer kan beskrives lineært ved hjelp av tøyings- og spenningstensorer. Tøyningstensoren $\tilde{\mathbf{S}}$ gir et mål på deformasjonen i et stoff,

$$\tilde{\mathbf{S}} = \begin{bmatrix} S_{11} & S_{12} & S_{13} \\ S_{21} & S_{22} & S_{23} \\ S_{31} & S_{32} & S_{33} \end{bmatrix} = \frac{1}{2}(\nabla \boldsymbol{\xi} + (\nabla \boldsymbol{\xi})^T). \quad (1.1)$$

$\boldsymbol{\xi} = \boldsymbol{\xi}(\mathbf{x}, t)$ er forskyvningen ved tiden t av den delen av materialet som befinner seg i punktet $\mathbf{x} = (x, y, z)$ ved likevekt (når $S_{ij} = 0$, $i, j = 1, 2, 3$).

Som ligning (1.1) viser, er tøyningstensoren den symmetriske delen av gradienten til forskyvningen. Den antisymmetriske delen $\frac{1}{2}(\nabla \boldsymbol{\xi} - (\nabla \boldsymbol{\xi})^T)$ svarer til lokal rotasjon og blir her neglisjert.

Tøyningskomponentene på diagonalen,

$$S_{ij} = \frac{\partial \xi_i}{\partial x_j}, \quad i = 1, 2, 3, \quad j = i,$$

er normaltøyningskomponenter, mens resten av komponentene kalles skjærtøyning-komponenter,

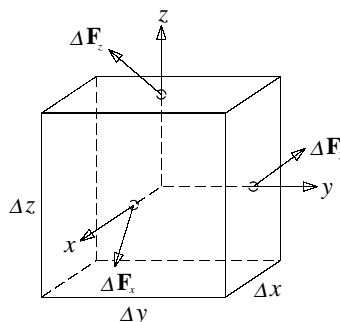
$$S_{ij} = \frac{1}{2} \left(\frac{\partial \xi_i}{\partial x_j} + \frac{\partial \xi_j}{\partial x_i} \right), \quad i, j = 1, 2, 3, \quad i \neq j.$$

Siden tøyningstensoren er symmetrisk, kan det innføres en forkortet vektor-notasjon,

$$\mathbf{S} = \begin{bmatrix} S_1 \\ S_2 \\ S_3 \\ S_4 \\ S_5 \\ S_6 \end{bmatrix} = \begin{bmatrix} S_{11} \\ S_{22} \\ S_{33} \\ 2S_{23} \\ 2S_{13} \\ 2S_{12} \end{bmatrix}.$$

Spenning

Kreftene som virker på et volumelement som på figur 1.1 kan beskrives ved hjelp av spenningstensoren $\tilde{\mathbf{T}}$. På flaten normalt på x-aksen virker kraften $\Delta \mathbf{F}_x = \mathbf{T}_1 \Delta A_1$, der $\Delta A_1 = \Delta y \Delta z$. Spenningsvektoren har tre komponenter, $\mathbf{T}_1 = iT_{11} +$



Figur 1.1: De ytre kreftene som virker på et kubisk volumelement.

$jT_{21} + kT_{31}$. De tre spenningsvektorene \mathbf{T}_1 , \mathbf{T}_2 og \mathbf{T}_3 utgjør til sammen spenningstensoren,

$$\tilde{\mathbf{T}} = \begin{bmatrix} T_{11} & T_{12} & T_{13} \\ T_{21} & T_{22} & T_{23} \\ T_{31} & T_{32} & T_{33} \end{bmatrix}.$$

Når det antas at spenningstensoren er symmetrisk, kan den skrives som en vektor på lignende måte til $\tilde{\mathbf{S}}$,

$$\mathbf{T} = \begin{bmatrix} T_1 \\ T_2 \\ T_3 \\ T_4 \\ T_5 \\ T_6 \end{bmatrix} = \begin{bmatrix} T_{11} \\ T_{22} \\ T_{33} \\ T_{23} \\ T_{13} \\ T_{12} \end{bmatrix}. \quad (1.2)$$

Generalisert Hookes lov

Ved små forskyvninger er sammenhengen mellom tøyning og spenning lineær, dvs.

$$T_{ij} = c_{ijkl}S_{kl}, \quad S_{ij} = s_{ijkl}T_{kl}, \quad i, j, k, l = 1, 2, 3. \quad (1.3)$$

Dette er en generalisert form av Hookes lov. For stivhetskonstantene c_{ijkl} gjelder det at

$$c_{ijkl} = c_{jikl} = c_{ijlk} = c_{jilk}, \quad (1.4)$$

og tilsvarende for komplianskonstantene s_{ijkl} . (1.3) kan da skrives i den forkortede notasjonen,

$$T_p = c_{pq}S_q, \quad S_p = s_{pq}T_q, \quad p, q = 1, 2, \dots, 6. \quad (1.5)$$

Hver p - eller q -verdi tilsvarende et tallpar (i, j) eller (k, l) , henholdsvis, på samme måte som i ligning (1.2). Videre er det mulig å vise at $c_{pq} = c_{qp}$ og $s_{pq} = s_{qp}$.

For et piezokeramisk materiale som er polarisert i z -retningen, er koeffisientmatrisene ved konstant elektrisk felt

$$[c^E] = \begin{bmatrix} c_{11}^E & c_{12}^E & c_{13}^E & 0 & 0 & 0 \\ c_{12}^E & c_{22}^E & c_{13}^E & 0 & 0 & 0 \\ c_{13}^E & c_{13}^E & c_{33}^E & 0 & 0 & 0 \\ 0 & 0 & 0 & c_{44}^E & 0 & 0 \\ 0 & 0 & 0 & 0 & c_{44}^E & 0 \\ 0 & 0 & 0 & 0 & 0 & \frac{1}{2}(c_{11}^E - c_{12}^E) \end{bmatrix}$$

og

$$[s^E] = \begin{bmatrix} s_{11}^E & s_{12}^E & s_{13}^E & 0 & 0 & 0 \\ s_{12}^E & s_{22}^E & s_{13}^E & 0 & 0 & 0 \\ s_{13}^E & s_{13}^E & s_{33}^E & 0 & 0 & 0 \\ 0 & 0 & 0 & s_{44}^E & 0 & 0 \\ 0 & 0 & 0 & 0 & s_{44}^E & 0 \\ 0 & 0 & 0 & 0 & 0 & 2(s_{11}^E - s_{12}^E) \end{bmatrix}.$$

1.1.2 Elektriske egenskaper

De piezoelektriske skivene som ble brukt i dette arbeidet, har tynne elektroder på endeflatene, dvs. vinkelrett på z -aksen. Når det antas at arealet er stort i forhold til tykkelsen på skiven, gir en potensialforskjell mellom elektrodene et tilnærmet homogent elektrisk felt i z -retningen. Da lydfartene i materialet er mye lavere enn forplantningsfarten for elektromagnetiske bølger, kan man bruke den elektrostatistiske relasjonen mellom elektrisk forskyvning, elektrisk felt og polarisasjon (kvasi-elektrostatisk approksimasjon [4]),

$$\mathbf{D} = \varepsilon_0 \mathbf{E} + \mathbf{P} = \tilde{\varepsilon} \mathbf{E}.$$

ε_0 og $\tilde{\varepsilon}$ er henholdsvis permittiviteten i vakuum og permittivitetstensoren i det piezoelektriske mediet. Ved konstant tøyning kan permittivitetstensoren for et piezokeramisk materiale polarisert i z -retningen skrives

$$[\varepsilon^S] = \begin{bmatrix} \varepsilon_{11}^S & 0 & 0 \\ 0 & \varepsilon_{11}^S & 0 \\ 0 & 0 & \varepsilon_{33}^S \end{bmatrix}.$$

I et statisk felt er også

$$\nabla \cdot \mathbf{D} = 0,$$

og hvis det ikke finnes frie ladninger i mediet, er

$$\nabla \times \mathbf{E} = \mathbf{0}.$$

1.1.3 Piezoelektriske relasjoner

Den piezoelektriske koblingen i et materiale kan beskrives ved hjelp av et sett av lineære konstitutive ligninger. Relasjonene kan skrives på flere måter ([4],[5]), for eksempel

$$\begin{aligned} T_p &= c_{pq}^E S_q - e_{jp} E_j, \\ D_i &= e_{iq} S_q - \varepsilon_{ij}^S E_j, \quad p, q = 1, 2, \dots, 6, \quad i, j = 1, 2, 3. \end{aligned} \quad (1.6)$$

Disse ligningene er skrevet etter Einsteins sumkonvensjon, slik at det skal summeres over alle indekser som forekommer to ganger i et ledd.

e_{ip} er de piezoelektriske spenningskonstantene. For en keramisk skive polarisert i z -retningen, kan de skrives

$$[e] = \begin{bmatrix} 0 & 0 & 0 & 0 & e_{15} & 0 \\ 0 & 0 & 0 & e_{15} & 0 & 0 \\ e_{31} & e_{31} & e_{33} & 0 & 0 & 0 \end{bmatrix}.$$

Spenningskonstantene er forhold mellom endring i mekanisk spenning og elektrisk felt ved konstant tøyning, og samtidig mellom endring i elektrisk forskyvning og mekanisk tøyning ved konstant elektrisk felt. Enheten for e_{ip} er C/m^2 .

Til sammen behøves 10 uavhengige parametere for å beskrive egenskapene til et keramisk piezoelektrisk materiale, for eksempel:

$$c_{11}^E, c_{12}^E, c_{13}^E, c_{33}^E, c_{44}^E, e_{15}, e_{31}, e_{33}, \varepsilon_{11}^S \text{ og } \varepsilon_{33}^S. \quad (1.7)$$

1.1.4 Tykkelsessvingninger i en piezoelektrisk skive

Bølgeligning

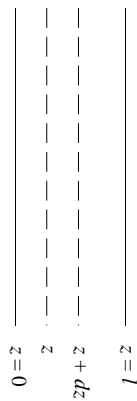
En forenklet beskrivelse av tykkelsessvingningene i en skive av piezoelektrisk keramikk kan finnes når forholdet mellom skivens diameter og tykkelse er stort, $d/\ell \gg 1$.

Man antar at all bevegelse i skiven er i z -retningen og at alle størrelser er konstante med hensyn på x og y ,

$$\boldsymbol{\xi} = \xi_3 \mathbf{k}, \quad \frac{\partial}{\partial x} = \frac{\partial}{\partial y} = 0. \quad (1.8)$$

Tøyningen \mathbf{S} blir da gitt ved

$$S_3 = \frac{\partial \xi_3}{\partial z}, \quad S_1 = S_2 = S_4 = S_5 = S_6 = 0. \quad (1.9)$$



Figur 1.2: Skiveelement med tykkelse dz .

På et tynt lag med posisjon z og tykkelse dz (figur 1.2), er nettokraften

$$\Delta F = A(T_3(z + dz) - T_3(z)) = A \frac{\partial T_3}{\partial z} dz.$$

Skiveelementet har masse $dm = \rho_m A dz$. Innsetting i Newtons 2. lov gir

$$A \frac{\partial T_3}{\partial z} dz = \rho_m A dz \frac{\partial^2 \xi}{\partial t^2}, \quad (1.10)$$

der forskyvningen ξ er i z -retningen. Av (1.6) følger det at

$$T_3 = c_{33}^D S_3 - \frac{e_{33}}{\varepsilon_{33}^S} D_3, \quad c_{33}^D = c_{33}^E \left(1 + \frac{e_{33}^2}{\varepsilon_{33}^S c_{33}^E}\right). \quad (1.11)$$

Ved å dividere ligning (1.10) med $A dz$ og sette inn for $S_3 = \partial \xi / \partial z$, og T_3 når $\partial D / \partial z = 0$, oppnås den endimensjonale bølgeligningen

$$\frac{\partial^2 \xi}{\partial z^2} - \frac{1}{c_m^2} \frac{\partial^2 \xi}{\partial t^2} = 0. \quad (1.12)$$

$c_m = \sqrt{c_{33}^D / \rho_m}$ er lydfarten for longitudinale bølger i z -retningen.

Den generelle løsningen av ligning (1.12) kan skrives som en superposisjon av to enkle plane bølger i henholdsvis positiv og negativ retning,

$$\xi(z, t) = G e^{i(\omega t - k_m z)} + H e^{i(\omega t + k_m z)}. \quad (1.13)$$

Bølgetallet k_m er gitt ved

$$k_m = \frac{\omega}{c_m}.$$

Randbetingelser

Når partikkelfarten $u = \partial \xi / \partial t$ skrives på formen $u = u_0 e^{i\omega t}$, blir grensebetingelsene på skivens endeflater

$$z = 0: \quad u_1 = i\omega(G + H)e^{i\omega t}, \quad (1.14)$$

$$z = \ell: \quad u_2 = i\omega(Ge^{-ik_m \ell} + He^{ik_m \ell})e^{i\omega t}. \quad (1.15)$$

Ved innsetting i (1.15) av H og G fra (1.14) etter tur, fås henholdsvis

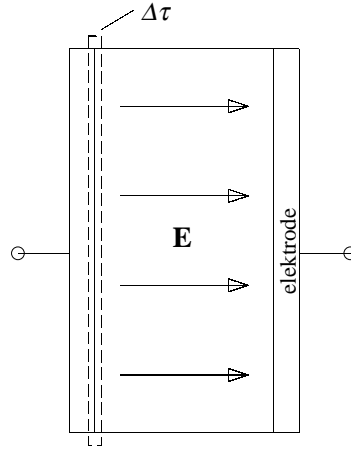
$$G = \frac{u_{2,0} - u_{1,0} e^{ik_m \ell}}{2\omega \sin k_m \ell}, \quad H = \frac{u_{1,0} e^{-ik_m \ell} - u_{2,0}}{2\omega \sin k_m \ell}. \quad (1.16)$$

Summen av krefter som virker på en endeflate med infinitesimal tykkelse dz , er lik null, slik at grensebetingelsene for krefter på endeflatene blir

$$F_1 = -(T_3)_{z=0} A, \quad F_2 = (T_3)_{z=\ell} A, \quad (1.17)$$

der de ytre kreftene \mathbf{F}_1 og \mathbf{F}_2 begge peker mot høyre på figur 1.2. Ligning (1.11) og den generelle løsningen (1.13) med $\xi = \xi_0 e^{i\omega t}$ og $T = T_0 e^{i\omega t}$ gir

$$T_0 A = -Z_{0m} i\omega (G e^{-ik_m z} - H e^{ik_m z}), \quad (1.18)$$



Figur 1.3: Integrasjonsvolum for den elektriske randbetingelsen.

der $Z_{0m} = \rho_m c_m A$. Innsetting av G og H fra ligning (1.16) og definisjon av de fire størrelsene

$$C_0 = \frac{\varepsilon_{33}^S A}{\ell}, \quad \phi = \frac{e_{33} A}{\ell}, \quad (1.19)$$

$$Z_a = iZ_{0m} \tan \frac{k_m \ell}{2} \quad \text{og} \quad Z_b = \frac{Z_{0m}}{i \sin k_m \ell}, \quad (1.20)$$

gir følgende uttrykk for kreftene på skivens endeflater:

$$\begin{aligned} F_1 &= Z_a u_1 + Z_b (u_1 - u_2) + \frac{\phi}{i\omega C_0} I, \\ -F_2 &= -Z_a u_2 + Z_b (u_1 - u_2) + \frac{\phi}{i\omega C_0} I. \end{aligned} \quad (1.21)$$

Den utvidede Ampères lov kan skrives

$$\nabla \times \mathbf{H} = \frac{\partial \mathbf{D}}{\partial t} + \mathbf{J}_C, \quad (1.22)$$

der \mathbf{J}_C er strømtettheten for ledningsstrøm. Ved å ta divergensen av (1.22) og integrere over et lite volum $\Delta\tau$ som omslutter grenseflaten i $z = 0$ mellom elektroden og den piezoelektriske skiven (figur 1.3), finnes

$$I = - \int_A \mathbf{J}_C \cdot d\mathbf{A} = \frac{\partial D_3}{\partial t} A.$$

Når $D_3 = D_0 e^{i\omega t}$, kan uttrykket ovenfor skrives

$$I = i\omega D_3 A. \quad (1.23)$$

Det piezoelektriske materialet kan ses på som et rent dielektrikum, slik at strømtettheten \mathbf{J}_C inne i skiven er null. I må da være strømmen som føres inn på elektroden gjennom en elektrisk tilkobling.

Spenningen over transduserelementet kan finnes fra ligning (1.23 og den andre av ligningene (1.6):

$$V = \int_0^\ell E_3 dz = \int_0^\ell \left(\frac{D_3}{\varepsilon_{33}^S} - \frac{e_{33}}{\varepsilon_{33}^S} \frac{\partial \xi_3}{\partial z} \right) dz.$$

Ved å kombinere dette uttrykket med ligning (1.19) og (1.23), fås

$$V = \frac{1}{i\omega C_0} I - \frac{\phi}{i\omega C_0} (u_2 - u_1). \quad (1.24)$$

Ligningene (1.21) og (1.24) danner til sammen et sekspolsystem med symmetrisk koeffisientmatrise,

$$\begin{bmatrix} F_1 \\ F_2 \\ V \end{bmatrix} = \begin{bmatrix} (Z_a + Z_b) & -Z_b & \frac{\phi}{i\omega C_0} \\ -Z_b & (Z_a + Z_b) & -\frac{\phi}{i\omega C_0} \\ \frac{\phi}{i\omega C_0} & -\frac{\phi}{i\omega C_0} & \frac{1}{i\omega C_0} \end{bmatrix} \begin{bmatrix} u_1 \\ u_2 \\ I \end{bmatrix}. \quad (1.25)$$

Fra (1.19) kan C_0 gjenkjennes som kapasitansen skiven har når de mekaniske svingningene er ideelt blokkert. Faktoren ϕ knytter strømstyrken til partikkelhastigheten på endeflatene og beskriver på denne måten den piezoelektriske koblingen i skiven. Fra de tre ligningene kan man se at [4]

$$\phi u = I, \quad Z_{EL} = \frac{Z_{mek}}{\phi^2},$$

der Z_{EL} er den ekvivalente elektriske impedansen til den mekaniske impedansen Z_{mek} . I resten av dette arbeidet vil impedanser der indeksen er skrevet med små bokstaver være mekaniske, mens store bokstaver betegner de elektriske ekvivalente impedansene.

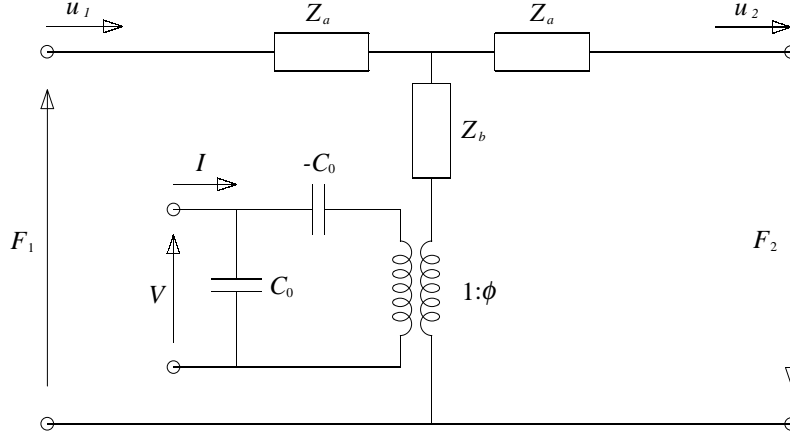
Mason-modellen, frie svingninger i vakuum

Ligningssettet (1.25) kan representeres ved ekvivalentkretsen i figur 1.4. Den piezoelektriske koblingen tilsvarer her en ideell transformator med transformasjonsforhold $1 : \phi$. Kretsen har fire mekaniske og to elektriske poler.

Når elementet svinger fritt, kan kretsen reduseres til den på figur 1.5. I figur 1.5b er de mekaniske impedansene erstattet av elektriske ekvivalente impedanser,

$$Z_A = \frac{Z_a}{\phi^2}, \quad Z_B = \frac{Z_b}{\phi^2}.$$

Kretsens elektriske admittans $Y_T = 1/Z_T$ er i dette tilfellet gitt ved



Figur 1.4: Mason ekvivalentsskjema for piezokeramisk skive [4].

$$Y_T = i\omega C_0 + \frac{1}{\frac{i}{\omega C_0} + Z_B + \frac{Z_A}{2}}. \quad (1.26)$$

Ved hjelp av definisjonene av Z_a og Z_b (1.20) og den matematiske relasjonen

$$\tan \frac{\theta}{2} = \frac{1}{\sin \theta} - \frac{1}{\tan \theta} = \frac{\sin \theta}{1 + \cos \theta}$$

kan ligning (1.26) omformes til

$$Y_T = i \frac{\omega C_0}{1 - k_t^2 \frac{\tan(\frac{1}{2} k_m \ell)}{\frac{1}{2} k_m \ell}} = i B_T, \quad G_T = 0. \quad (1.27)$$

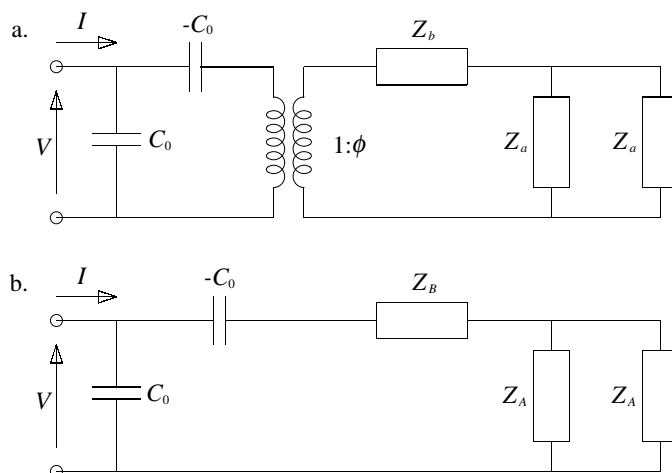
$k_t = k_{33}^t = \frac{\epsilon_{33}}{\sqrt{\epsilon_{33}^S c_{33}^D}}$ er koblingsfaktoren for rene tykkelsessvingninger [5]. Admittansen er kompleks og kan skrives på formen $Y_T = G_T + i B_T$, der G_T er konduktansen og B_T susceptansen i kretsen.

Impedansen $Z_T = R_T + i X_T$ som tilsvarer admittansen i (1.27), kan skrives

$$Z_T = \frac{1}{i\omega C_0} \left(1 - k_t^2 \frac{\tan(\frac{1}{2} k_m \ell)}{\frac{1}{2} k_m \ell} \right) = i X_T, \quad R_T = 0. \quad (1.28)$$

1.1.5 Karakteristiske frekvenser

Hittil er det blitt sett bort fra tap i det piezoelektriske materialet. I IEEE-standard 176-1987 [5] er resonansfrekvensen f_1 og antiresonansfrekvensen f_2 i



Figur 1.5: Mason ekvivalentsskjema for en piezokeramisk skive i vakuum, a) med mekaniske impedanser, b) med elektriske ekvivalente komponenter.

det tapsfrie tilfellet definert ved

$$\begin{aligned} Z_T(f = f_1) &= 0, & Y_T(f = f_1) &= \infty, \\ Z_T(f = f_2) &= \infty, & Y_T &= 0. \end{aligned}$$

Som ligning (1.28) viser, blir $Z_T = 0$ når

$$k_t^2 \frac{\tan(\frac{1}{2}k_m \ell)}{\frac{1}{2}k_m \ell} = 1.$$

Dette betyr at overtonene ikke blir harmoniske (resonans inntreffer ikke ved hele antall grunnfrekvenser). Overtoner som er høye nok blir tilnærmet harmoniske, og det samme skjer for små k_t .

Frekvensene som gir antiresonans tilfredsstill

$$\frac{1}{2}k_m \ell = \frac{\pi}{2}. \tag{1.29}$$

Bølglengden $\lambda = c_m/f = 2\pi/k_m$, slik at ligning (1.29) blir tilfredsstillt når $\lambda = 2\ell$.

Når man tar hensyn til tap i elementet, får impedansen en endelig realdel. De karakteristiske frekvensene blir da forbundet med hver sine tre frekvenser (tabell 1.1). IEEE-standarden anbefaler at f_s og f_p brukes for henholdsvis resonans- og antiresonansfrekvensen når den tapsfrie teorien brukes på et reelt problem.

1.2 Mekanisk og elektrisk impedanstilpasning

På grunn av dimensjonene på SOBER-prosjektets forsøksstank, var det ønskelig at den konstruerte transduseren kunne sende ut korte, velformede lydimpulser, dvs. ha en kort transientrespons. Dette oppnås ved å øke kildens båndbredde. Ifølge DeSilets, Fraser og Kino [6] gir en overføringsfunksjon med lineær fase og gaussisk formet absoluttverdi den korteste impulsresponsen.

1.2.1 Elektrisk tilkobling

Signalkabel

Den karakteristiske impedansen i en kabel er definert som $Z_{0c} = \sqrt{L_c/C_c}$, der L_c og C_c er kabelens induktans og kapasitans per lengdeenhet. Impedansen Z_{INN} inn på kabelen er gitt ved kabelens karakteristiske impedans, termineringsimpedansen Z_L og kabelens lengde ℓ_c ,

$$Z_{INN} = \frac{Z_L + iZ_{0c} \tan(k_{EM}\ell_c)}{Z_{0c} + iZ_L \tan(k_{EM}\ell_c)} Z_{0c}. \quad (1.30)$$

$k_{EM} = \omega/c_{EM} = \omega\sqrt{L_c C_c}$ er bølgetallet for elektromagnetiske bølger i kabelen.

Hvis $k_{EM}\ell_c$ er liten nok, er $\tan(k_{EM}\ell_c) \approx k_{EM}\ell_c$, og (1.30) reduseres til

$$Z_{INN} = \frac{1 + i\frac{Z_{0c}}{Z_L k_{EM}\ell_c}}{1 + i\frac{Z_L}{Z_{0c}} k_{EM}\ell_c} Z_L.$$

For lave frekvenser og korte kabler kan man se bort fra kabelens induktans, og uttrykket for kabelens inngangsimpedans blir

$$Z_{INN} \approx \frac{Z_L}{1 + iZ_L\omega C_c \ell_c}. \quad (1.31)$$

Tabell 1.1: Resonansfrekvenser for tykkelsesmoden i et piezoelektrisk element. Anbefalte frekvenser for substitusjon i tapsfri teori [4],[5].

Uten tap		Med tap		Erstatning
Resonans	f_1	Maksimal admittans, $d Y_T /d\omega = 0$	f_m	f_s
		Serieresonans, $X_M = 0$		
		IEEE 176-1987: Maksimal konduktans	f_s	
		Resonans, $X_T = B_T = 0$	f_r	
Antiresonans	f_2	Antiresonans ($f_a > f_r$), $X_T = B_T = 0$	f_a	f_p
		Parallellresonans, $X_T _{R_M=0} = \infty$		
		IEEE 176-1987: Maksimal resistans	f_p	
		Minimal admittans, $d Y_T /d\omega = 0$	f_n	

Som uttrykket viser, kan kabelen under forutsetningene som er gjort ovenfor ses på som en kapasitans $C_c \ell_c$ i parallell med lasteimpedansen.

Elektrisk tilpasningsenhet

Den maksimale effektoverføringen oppnås når kretsen som skal drives av effektforsterkeren har impedans lik komplekskonjugatet av forsterkerens utgangsimpedans. Denne er på 50Ω og tilnærmet reell.

Piezoelektriske elementer har som regel kapazitiv reaktans i frekvensområdet rundt parallellresonansen. Den reaktive delen av transduserens impedans fjernes derfor ved å sette en induktans inn i kretsen, enten i serie eller i parallell med elementet. Det er også vanlig å justere realdelen av impedansen ved hjelp av en transformatorkobling.

Et alternativ til transformatorløsningen er π -filteret [7], der både den resistive og den reaktive delen av impedansen justeres ved hjelp av to kondensatorer og en spole (figur 1.6). Inngangsimpedansen $Z_{\text{INN}} = R_{\text{INN}} + iX_{\text{INN}}$ er gitt ved

$$\begin{aligned} R_{\text{INN}} &= \frac{R_{\text{UT}}}{[(1 - \omega^2 LC_1) - \omega C X_{\text{UT}}]^2 + (R_{\text{UT}} \omega C)^2}, \\ X_{\text{INN}} &= \frac{\omega^2(1 - \omega^2 LC_1) + X_{\text{UT}}(1 - 2\omega^2 LC) - \omega C(1 - \omega^2 LC_2)(|Z_{\text{UT}}|^2)}{[(1 - \omega^2 LC_1) - \omega C X_{\text{UT}}]^2 + (R_{\text{UT}} \omega C)^2}, \end{aligned} \quad (1.32)$$

der $C = C_1 + C_2 - \omega^2 LC_1 C_2$ og $Z_{\text{UT}} = R_{\text{UT}} + iX_{\text{UT}}$.

Hvis L og C_1 velges slik at $\omega^2 LC_1 = 1$, er $C = C_1$ og inngangsimpedansen kan skrives

$$R_{\text{INN}} = \frac{R_{\text{UT}}}{\omega^2 C_1^2 |Z_{\text{UT}}|^2}, \quad X_{\text{INN}} = \frac{-X_{\text{UT}} - \omega(C_1 - C_2)|Z_{\text{UT}}|^2}{\omega^2 C_1^2 |Z_{\text{UT}}|^2}. \quad (1.33)$$

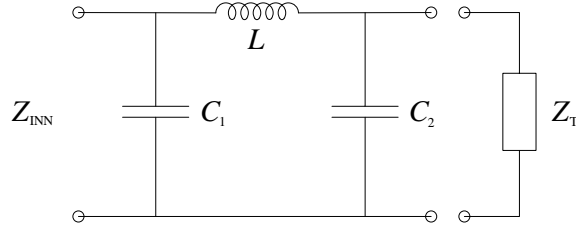
Som (1.33) viser, kan den reelle delen av impedansen justeres ved å velge C_1 og L . Deretter kan C_2 settes slik at $X_{\text{INN}} = 0$ ved den ønskede frekvensen.

1.2.2 Mekanisk koblingslag

Piezokeramiske elementer som sender lyd direkte ut i vann har relativt smal båndbredde og dermed en langvarig impulsrespons. Dette skyldes blant annet den store forskjellen i spesifikk akustisk impedans mellom vann (ca. 1,5 MRayl) og keramiske materialer (25–35 MRayl).

Ved å plassere et koblingslag foran kilden, oppnås en bedret effektoverføring og dermed en større båndbredde enn den elementet har alene [6],[8],[9]. Impedans-tilpasningen kan bedres videre ved å ta i bruk to eller flere koblingslag [10],[11].

Båndbredden til en transduser kan også økes ved å plassere ett eller flere media med lav kvalitetsfaktor bak den piezoelektriske skiven [6],[12],[13]. En ulempe med denne fremgangsmåten, er at mye effekt går tapt i baklaget.

Figur 1.6: π -filter.

Transmisjonslinjemodell

For en tynn elastisk skive med areal A , tykkelse ℓ og bevegelse kun i tykkelsesretningen, gjelder den samme bølgeligningen som for det piezoelektriske elementet (1.12),

$$\frac{\partial^2 \xi}{\partial z^2} - \frac{1}{c_k^2} \frac{\partial^2 \xi}{\partial t^2} = 0.$$

Istedenfor ligning (1.11) brukes i dette tilfellet den generaliserte Hookes lov (1.5), slik at

$$c_k = \sqrt{\frac{c_{33}}{\rho_k}}.$$

Ved å sette $\xi = \xi_0 e^{i\omega t}$, $T = T_0 e^{i\omega t}$ og Hookes lov inn i den generelle løsningen (1.13), finnes

$$T_0 A = -i\omega Z_{0k} (G e^{-ik_k z} - H e^{ik_k z}), \quad (1.34)$$

der $Z_{0k} = \rho_k c_k A$.

Det er også mulig å ta med tap i modellen. Impedansen kan da skrives [14]

$$Z_{0k} = A \left(\frac{\rho_k c_k}{1 + r^2} + i \frac{r \rho_k c_k}{1 + r^2} \right),$$

der tapsfaktoren $r = \alpha c_k / \omega$, og α er absorpsjonskoeffisienten i Np/m. En annen måte å inkludere tap på, er å gjøre c_{33}^D og ε_{33}^S komplekse [15],

$$\hat{c}_{33}^D = c_{33}^D \left(1 + \frac{i}{Q_m} \right), \quad \hat{\varepsilon}_{33}^S = \varepsilon_{33}^S (1 - i \tan \delta_e).$$

Her er Q_m den mekaniske kvalitetsfaktoren og δ_e tapsvinkelen for dielektrisk tap.

På endeflatene gjelder grensebetingelsene

$$F_2 = (T_3)_{z=\ell}A, \quad F_1 = (T_3)_{z=0}A.$$

Ved å sette grenseverdiene inn i (1.34), oppnås

$$\begin{aligned} F_1 &= Z_{0k} \left(\frac{u_1}{i \tan k_k \ell} - \frac{u_2}{i \sin k_k \ell} \right) \\ -F_2 &= Z_{0k} \left(\frac{u_1}{i \sin k_k \ell} - \frac{u_2}{i \tan k_k \ell} \right). \end{aligned} \quad (1.35)$$

Når den elastiske skiven brukes som et koblingslag, blir kraften F_1 utøvd av et piezoelektrisk element. Den virker mot den mekaniske impedansen $Z_{\text{inn}} = F_1/u_1$.

Den elastiske skiven virker videre med kraften F_2 mot utgangsimpedansen $Z_{\text{ut}} = -F_2/u_2$. Ved lydutstråling i vann kan denne settes tilnærmet lik strålingsimpedansen for en plan bølge, $Z_r = F_s/u_2$. F_s er kraften strålingsmediet virker med på koblingslagets overflate.

Fra (1.35) og relasjonen $\frac{1}{\tan a} = \frac{1}{\sin a} - \tan \frac{a}{2}$, finnes da

$$Z_{\text{inn}} = \frac{Z_r + iZ_{0k} \tan k_k \ell}{Z_{0k} + iZ_r \tan k_k \ell} Z_{0k}. \quad (1.36)$$

Dette resultatet er det samme som ligning (1.30).

Kvartbølgeomformer

Impedansene i ligningen over kan divideres med arealet A for å gi det tilsvarende uttrykket for de spesifikke akustiske impedansene,

$$z_r = \rho_r c_r, \quad z_k = \rho_k c_k, \quad z_{\text{inn}} = F_1/(u_1 A).$$

Når $k_k \ell = 2\pi \ell/\lambda$ velges lik et odde antall $\pi/2$, går $\tan k_k \ell$ mot uendelig. Grenseverdien av z_{inn} blir

$$z_{\text{inn}} = \frac{z_k^2}{z_r}.$$

Ved å sette z_k lik $\sqrt{z_r z_m}$, der z_m er den spesifikke akustiske impedansen til det piezokeramiske elementet, oppnås en impedans inn i koblingslaget som er lik transduserelementets egen spesifikke impedans,

$$z_{\text{inn}} = \frac{z_r z_m}{z_r} = z_m.$$

På denne måten kan kvartbølgeomformerene gi en optimal overføring av effekt mellom to medier, så lenge koblingslagets grenseflater er de eneste som gir refleksjoner.

I Mason-modellen er det piezokeramiske elementet en halvølgeresonator, og det kan vises at de mekaniske seriell- og parallell- Q -faktorene er like når $z_k = (2z_r z_m)^{1/3}$ [13]. Dette skulle gi en optimal akustisk tilpasning [16].

KLM-modellen (Krimholtz, Leedom og Matthaei), som beskriver systemet ved hjelp av en firpolrepresentasjon [12],[6], forutsier at den beste akustiske tilpasningen oppnås når $z_k = (z_r^2 z_m)^{1/3}$. Elementet betraktes i KLM-modellen som sammensatt av to kvartølgeresonatorer.

Bruk av Mason-modellen

I denne oppgaven ble det valgt å bruke Mason-modellen mer direkte til å velge koblingslagets tykkelse og spesifikke akustiske impedans. Figur 1.7a viser et ekvivalentskjema for et piezokeramisk element med vakuum på baksiden og last på forsiden bestående av et koblingslag og en strålingsimpedans Z_R . Kretsen kan deles i to og omskrives som vist i figur 1.7b og 1.7c, noe som gjør det lettere å beregne transduserens overføringsfunksjon. Ved å kreve at strømfordelingen gjennom de ulike grenene skal være den samme som i krets 1.7a, finnes de nye komponentenes impedanser,

$$\begin{aligned} Z_{L1} &= \frac{Z_L Z_{BK}}{Z_L - Z_{AK}} \\ Z_{L2} &= \frac{Z_L (Z_{AK} + Z_R)}{Z_L - Z_{AK}} \\ Z_{M1} &= \frac{Z_A Z_P}{Z_P - (Z_B - \frac{1}{i\omega C_0})} \\ Z_{M2} &= \frac{(Z_A + Z_L) Z_P}{Z_P - (Z_B - \frac{1}{i\omega C_0})} \end{aligned}$$

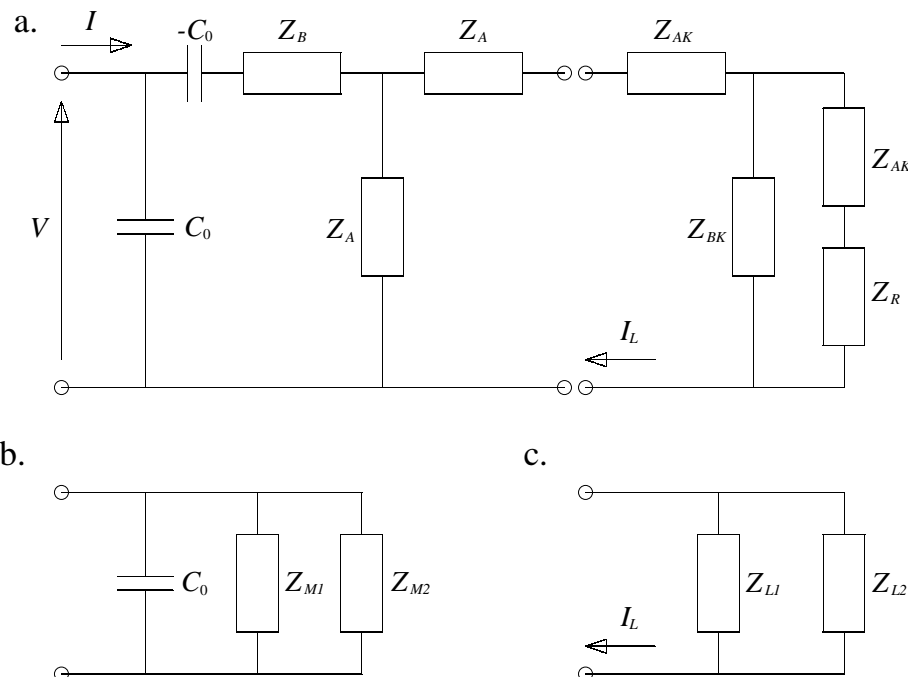
der

$$\begin{aligned} Z_L &= \left(\frac{1}{Z_{AK} + Z_R} + \frac{1}{Z_{BK}} \right)^{-1} + Z_{AK}, \\ Z_P &= \left(\frac{1}{Z_A + Z_L} + \frac{1}{Z_A} \right)^{-1} + Z_B - \frac{1}{i\omega C_0}, \\ Z_A &= i \frac{Z_{0m}}{\phi^2} \tan \frac{k_m \ell}{2}, \quad Z_B = \frac{Z_{0m}}{i\phi^2 \sin k_m \ell}, \\ Z_{AK} &= i \frac{Z_{0k}}{\phi^2} \tan \frac{k_k \ell_k}{2}, \quad Z_{BK} = \frac{Z_{0k}}{i\phi^2 \sin k_k \ell_k}, \quad Z_R = \frac{\rho_0 c_0}{\phi^2} A, \end{aligned}$$

$Z_{0m} = \rho_m c_m A$, og $Z_{0k} = \rho_k c_k A$. Størrelser med indeks K og k gjelder koblingslaget.

Av ligningene ovenfor kan det ses at kretsens totale admittans er gitt ved

$$Y_T = i\omega C_0 + 1/Z_P. \quad (1.37)$$



Figur 1.7: Mason-ekvivalentkrets for et piezokeramisk element med vakuum på baksiden, frontlag og strålingsimpedans Z_R foran koblingslaget.

Sammensetning av koblingslaget

Woods modell (1911) gir lydshastigheten og tettheten i en inhomogen blanding av to faste stoffer, der det ene stoffet forekommer som partikler med tverrsnitt mye mindre enn en bølgelengde [17]. Modellen gjelder når man ser bort fra spredning, viskøse og termiske prosesser, skjærbølger og fasefartens avhengighet av frekvens og partikkelstørrelse.

Den effektive tettheten og kompressibiliteten er gitt ved

$$\rho_e = \rho(1 - \varphi) + \rho'\varphi, \quad \kappa_e = \kappa(1 - \varphi) + \kappa'\varphi, \quad (1.38)$$

der φ , ρ' og κ' er volumandel, tetthet og kompressibilitet for det "spredte" stoffet, og den kontinuerlige fasen har tetthet og kompressibilitet ρ og κ .

Ligning (1.38) kombinert med $c_e = \sqrt{1/(\rho_e \kappa_e)}$ blir Woods ligning (også kalt Uricks ligning) [17],

$$c_e = \sqrt{\frac{1}{(\kappa(1 - \varphi) + \kappa'\varphi)(\rho(1 - \varphi) + \rho'\varphi)}}. \quad (1.39)$$

Det kan være praktisk å uttrykke blandingsforholdet ved masseandelen φ_m av

den spredte fasen. Sammenhengen mellom volum- og masseandel kan skrives

$$\varphi = \varphi_m \frac{\rho_e}{\rho'} = \frac{\varphi_m \rho}{\rho' + \varphi_m(\rho - \rho')}. \quad (1.40)$$

1.3 Lydforplantning i vann

1.3.1 Grunnleggende ligninger

Utleddningen av den ikkelineære bølgeligningen er hentet fra M. F. Hamilton og C. L. Morfeys artikkel i [18]. Ligningen kan utledes av de fire hydrodynamiske grunnligningene. Kontinuitetsligningen og Navier-Stokes' ligning representerer bevaring av henholdsvis masse og bevegelsesmengde,

$$\frac{D\rho}{Dt} + \rho \nabla \cdot \mathbf{u} = 0, \quad (1.41)$$

$$\rho \frac{D\mathbf{u}}{Dt} + \nabla P = \mu \nabla^2 \mathbf{u} + \left(\mu_B + \frac{1}{3} \mu \right) \nabla (\nabla \cdot \mathbf{u}). \quad (1.42)$$

I tillegg til disse må entropiligningen og en termodynamisk tilstandsligning tilfredsstilles,

$$\rho T \frac{Ds}{Dt} = \kappa \nabla^2 T + \mu_B (\nabla \cdot \mathbf{u})^2 + \frac{1}{2} \mu \left(\frac{\partial u_i}{\partial x_j} + \frac{\partial u_j}{\partial x_i} - \frac{2}{3} \delta_{ij} \frac{\partial u_k}{\partial x_k} \right)^2 \quad (1.43)$$

og

$$P = P(\rho, s). \quad (1.44)$$

I ligningene ovenfor er

$$D/Dt = \partial/\partial t + (\mathbf{u} \cdot \nabla),$$

$$\nabla^2 = \partial/\partial x + \partial/\partial y + \partial/\partial z,$$

ρ tetthet,

t tid,

$\mathbf{u} = (u_x, u_y, u_z)$ partikkelhastighet,

P trykk,

μ skjærviskositet,

μ_B bulkviskositet,

T temperatur,

s entropi og

κ varmeledningsevne.

1.3.2 Ligning for plane bølger i et tapsfritt medium

Den tapsfrie bølgeligningen $(\nabla^2 - (1/c^2) \partial^2/\partial t^2)\phi = 0$ kan skrives [19]

$$\left(\nabla - \frac{1}{c} \frac{\partial}{\partial t} \right) \cdot \left(\nabla + \frac{1}{c} \frac{\partial}{\partial t} \right) \phi = 0.$$

Ved å separere bølgeligningen, får man to ligninger som beskriver bølger som forplanter seg i henholdsvis positiv og negativ x -retning,

$$\left(\nabla + \frac{1}{c} \frac{\partial}{\partial t}\right)\phi^+ = 0, \quad \left(\nabla - \frac{1}{c} \frac{\partial}{\partial t}\right)\phi^- = 0.$$

Den endimensjonale bølgeligningen for enkle bølger i positiv x -retning blir dermed

$$\left(c \frac{\partial}{\partial x} + \frac{\partial}{\partial t}\right)\phi^+ = 0, \quad (1.45)$$

med løsning $\phi^+ = f(x - ct)$.

Kontinuitetsligningen (1.41) og Eulers ligning kan forenkles til en dimensjon og skrives

$$\frac{\partial \rho}{\partial t} + \frac{\partial(\rho u)}{\partial x} = 0, \quad (1.46)$$

$$\rho \frac{\partial u}{\partial t} + \rho u \frac{\partial u}{\partial x} = -\frac{\partial p}{\partial x}. \quad (1.47)$$

Dersom u er en entydig funksjon av p , slik at $\partial u / \partial t = (du/dp)\partial p / \partial t$ osv., kan (1.46) og (1.47) skrives

$$\frac{d\rho}{dt} \frac{\partial p}{\partial t} + \frac{d(\rho u)}{dp} \frac{\partial p}{\partial x} = 0 \quad (1.48)$$

$$\rho \frac{du}{dp} \frac{\partial p}{\partial t} + \left(\rho v \frac{du}{dp} + 1\right) \frac{\partial p}{\partial x} = 0. \quad (1.49)$$

Dette ligningssettet har løsning bare hvis determinanten til koeffisientmatrisen er lik null. Hvis $d\rho/dp = c^{-2}$, får man da at impedansrelasjonen $dv/dp = \pm 1/\rho c$ gjelder for ikkelineære bølger. Ved å velge det positive fortegnet og sette impedansrelasjonen inn i (1.48) eller (1.49), får man

$$\frac{\partial p}{\partial t} + (c + u) \frac{\partial p}{\partial x} = 0. \quad (1.50)$$

En løsning av denne ligningen er $p = f(x - (c + u)t)$, analogt til løsningen av (1.45).

Bølgefarten $(dx/dt)_p = c + u$ kan rekkeutvikles som

$$c + u = c_0 + \tilde{\beta}(0)u + \frac{1}{2}\tilde{\beta}'(0)u^2 + \dots,$$

der $\tilde{\beta}(u) = d(c + u)/du$ [18]. For en vilkårlig væske er ikkelinearitetskoeffisienten $\beta = \tilde{\beta}(0) = 1 + B/2A$, der A og B er definert ved

$$\begin{aligned} p = P - P_0 &= \left(\frac{\partial P}{\partial \rho}\right)_{s,0} (\rho - \rho_0) + \frac{1}{2!} \left(\frac{\partial^2 P}{\partial \rho^2}\right)_{s,0} (\rho - \rho_0)^2 + \dots \\ &= A \left(\frac{\rho'}{\rho_0}\right) + \frac{B}{2!} \left(\frac{\rho'}{\rho_0}\right)^2 + \dots, \quad \rho = \rho_0 + \rho', \end{aligned}$$

dvs. $A = \rho_0(\partial P/\partial \rho)_{s,0} \equiv \rho_0 c_0^2$ og $B = \rho_0^2(\partial^2 P/\partial \rho^2)_{s,0}$.

Ved binomialutvikling av $(c + u)^{-1}$ kan det vises at løsningen av (1.50) til andre orden er lik $q = f(t - x/c_0 + \beta x u/c_0^2)$.

1.3.3 Bølgeligningen til 2. orden

Ligningene (1.41)–(1.43) kan skrives om ved innsetting av $\rho = \rho_0 + \rho'$, $P = P_0 + p$ og $s = s_0 + s'$, der ρ_0 , P_0 og s_0 er uperturberte størrelser. Bevegelsesligningen blir videre omformet ved hjelp av vektorrelasjonene $\nabla(\nabla \cdot \mathbf{u}) = \nabla^2 \mathbf{u} + \nabla \times \nabla \times \mathbf{u}$ og $(\mathbf{u} \cdot \nabla) \mathbf{u} = \frac{1}{2} \nabla u^2 - \mathbf{u} \times \nabla \times \mathbf{u}$. For lydfelt langt fra vegger kan ledd som inneholder $\nabla \times \mathbf{u}$ neglisjeres, forutsatt at det ikke er strømning i væsken.

De tre ligningene blir til 2. orden henholdsvis

$$\frac{\partial \rho'}{\partial t} + \rho_0 \nabla \cdot \mathbf{u} = -\rho' \nabla \cdot \mathbf{u} - \mathbf{u} \cdot \nabla \rho', \quad (1.51)$$

$$\rho_0 \frac{\partial \mathbf{u}}{\partial t} + \nabla p = \left(\mu_B + \frac{4}{3} \mu \right) \nabla^2 \mathbf{u} - \frac{1}{2} \rho_0 \nabla u^2 - \rho' \frac{\partial \mathbf{u}}{\partial t}, \quad (1.52)$$

$$\rho_0 T_0 \frac{\partial s'}{\partial t} = \kappa \nabla^2 T'. \quad (1.53)$$

Tilstandsligningen kan skrives som en Taylorutvikling av trykket til andre orden,

$$p = c_0^2 \rho' + \frac{c_0^2 B}{\rho_0 2A} \rho'^2 + \left(\frac{\partial P}{\partial s} \right)_{\rho',0} s'. \quad (1.54)$$

Ved innsetting av første ordens approksimasjoner i andre ordens ledd, er feilen som gjøres av $O(\tilde{\varepsilon}^3)$. $\tilde{\varepsilon}$ er en ordensparameter av samme orden som mach-tallet. Ligning (1.51) og (1.52) kan derfor skrives som

$$\frac{\partial \rho'}{\partial t} + \rho_0 \nabla \cdot \mathbf{u} = \frac{1}{\rho_0 c_0^4} \frac{\partial p^2}{\partial t} + \frac{1}{c_0^2} \frac{\partial \mathcal{L}}{\partial t}, \quad (1.55)$$

$$\rho_0 \frac{\partial \mathbf{u}}{\partial t} + \nabla p = -\frac{1}{\rho_0 c_0^2} \left(\mu_B + \frac{4}{3} \mu \right) \nabla \frac{\partial p}{\partial t} - \nabla \mathcal{L}, \quad (1.56)$$

der $\mathcal{L} = \frac{1}{2} \rho_0 u^2 - p^2 / (2 \rho_0 c_0^2)$ er Lagrange-tettheten til andre orden. Ved hjelp av den lineære bølgeligningen $\nabla^2 T' = c_0^{-2} (\partial^2 T') / (\partial t^2)$ og de termodynamiske relasjonene $(\partial P / \partial s)_\rho = \rho^2 (\partial T / \partial \rho)_s$ og $(\partial T / \partial \rho)_s^2 = (c_p - c_v) T c^2 / (c_v c_p \rho^2)$ kan (1.53) og (1.54) kombineres til

$$\rho' = \frac{p}{c_0^2} - \frac{1}{\rho_0 c_0^4} \frac{B}{2A} p^2 - \frac{\kappa}{\rho_0 c_0^4} \left(\frac{1}{c_v} - \frac{1}{c_p} \right) \frac{\partial p}{\partial t}. \quad (1.57)$$

Ved å subtrahere den tidsderiverte av ligning (1.55) fra divergensen av (1.56), eliminere ρ' ved hjelp av (1.57) og substituere $\nabla^2 p = c_0^{-2} (\partial^2 p / \partial t^2)$ inn i viskositetsleddet, får man

$$\square^2 p + \frac{\delta}{c_0^4} \frac{\partial^3 p}{\partial t^3} = -\frac{\beta}{\rho_0 c_0^4} \frac{\partial^2 p^2}{\partial t^2} - \left(\nabla^2 + \frac{1}{c_0^2} \frac{\partial^2}{\partial t^2} \right) \mathcal{L}. \quad (1.58)$$

Dette er den andreordens bølgeligningen. $\square^2 = \nabla^2 - c_0^{-2}(\partial^2/\partial t^2)$ er d'Alembert-operatoren, og lyd-diffusiviteten δ er gitt ved

$$\delta = \frac{1}{\rho_0} \left(\mu_B + \frac{4}{3}\mu \right) + \frac{\kappa}{\rho_0} \left(\frac{1}{c_v} - \frac{1}{c_p} \right) = \nu \left(\frac{4}{3} + \frac{\mu_B}{\mu} + \frac{\gamma - 1}{\text{Pr}} \right). \quad (1.59)$$

$\nu = \mu/\rho_0$ er her den kinematiske viskositetsparameteren, og γ er forholdet mellom de spesifikke varmekapasitetene c_p og c_v . Prandtls tall er definert som $\text{Pr} = \mu c_p/\kappa$.

1.3.4 Westervelts ligning

Under forutsetning av at $\nabla \times \mathbf{u} = \mathbf{0}$ kan man definere et hastighetspotensial ved $\mathbf{u} = \nabla\phi$. Til første orden blir da $p = -\rho_0 d\phi/dt$, og Lagrange-tettheten kan skrives $\mathcal{L} = \frac{1}{4}\rho_0 \square^2 \phi^2$. Ved å definere en ny variabel

$$\tilde{p} = p + \frac{\rho_0}{4} \left(\nabla^2 + \frac{1}{c^2} \frac{\partial^2}{\partial t^2} \right) \phi^2 \quad (1.60)$$

og sette inn for p i ligning (1.58), får man

$$\square^2 \tilde{p} + \frac{\delta}{c_0^4} \frac{\partial^3 \tilde{p}}{\partial t^3} = -\frac{\beta}{\rho_0 c_0^4} \frac{\partial^2 \tilde{p}^2}{\partial t^2}.$$

Det andre leddet på høyre side av ligning (1.60) er stort bare når lokale ikke-lineære effekter er viktige, dvs. for eksempel nær en kilde, før den kumulative forvrengningen har rukket å bygge seg opp. I mange tilfeller gjelder derfor tilnærmingen $\tilde{p} \approx p$, som gir Westervelts ligning,

$$\square^2 p + \frac{\delta}{c_0^4} \frac{\partial^3 p}{\partial t^3} = -\frac{\beta}{\rho_0 c_0^4} \frac{\partial^2 p^2}{\partial t^2}. \quad (1.61)$$

1.3.5 KZK-ligningen

Den endimensjonale Westerveltligningen

$$\left(\frac{\partial^2}{\partial x^2} - \frac{1}{c_0^2} \frac{\partial^2}{\partial t^2} \right) p + \frac{\delta}{c_0^4} \frac{\partial^3 p}{\partial t^3} = -\frac{\beta}{\rho_0 c_0^4} \frac{\partial^2 p^2}{\partial t^2}$$

har for de to spesialtilfellene $\delta = 0$ og $\beta = 0$ løsningene $p = f(t - x/c_0 + \beta x u/c_0)$ og $p = p_0 \exp(j\omega\tau - \alpha x)$, henholdsvis. Absorpsjonskoeffisienten $\alpha = \delta\omega^2/2c_0^3$, og den retarderte tiden $\tau = t - x/c_0$. I begge tilfellene er koeffisienten foran x av første orden i $\tilde{\epsilon}$. Løsningene kan skrives på formen $p = p(x_1, \tau)$ der $x_1 = x\tilde{\epsilon}$. Skrivemåten uttrykker at både ikkelinearitet og absorpsjon gir langsomme variasjoner i lydets forplantningsretning. De to leddene gir bidrag av samme orden.

For en sirkulær plan stempelkilde i planet $z = 0$ defineres Rayleigh-avstanden $r_0 = \frac{1}{2}ka^2$, der $k = \omega/c_0$ er bølgetallet. Fjernfeltet kan defineres ved $z > r_0$,

som medfører at $kz > \frac{1}{2}(ka)^2$. Ulikheten antyder at variasjonene på tvers av lydaksen er raskere enn på langs. Dersom diffraksjon inngår i ligningen som et ledd av samme orden som ikkelinearitets- og absorpsjonsleddene, kan følgende såkalte langsomme skala ("slow scale," [18]) benyttes:

$$(x_1, y_1, z_1) = (\tilde{\varepsilon}^{1/2}, \tilde{\varepsilon}^{1/2}, \tilde{\varepsilon}),$$

$$\tau = t - x/c_0.$$

Den transformerte Laplaceoperatoren blir

$$\nabla^2 = \tilde{\varepsilon} \left(\frac{\partial^2}{\partial x_1^2} + \frac{\partial^2}{\partial y_1^2} \right) + \tilde{\varepsilon}^2 \frac{\partial^2}{\partial z_1^2} - \tilde{\varepsilon} \frac{2}{c_0} \frac{\partial^2}{\partial z_1 \partial \tau} + \frac{1}{c_0^2} \frac{\partial^2}{\partial \tau^2}.$$

Leddet $\tilde{\varepsilon}^2(\partial^2/\partial z_1^2)$ gir opphav til et tredje ordens ledd i ligningen, og kan neglisjeres. Dette kalles den paraboliske approksimasjonen. Innsetting i Westervelts ligning (1.61) gir

$$\tilde{\varepsilon} \left(\frac{\partial^2}{\partial x_1^2} + \frac{\partial^2}{\partial y_1^2} \right) p - \tilde{\varepsilon} \frac{2}{c_0} \frac{\partial^2 p}{\partial z_1 \partial \tau} + \frac{\delta}{c_0^4} \frac{\partial^3 p}{\partial \tau^3} = -\frac{\beta}{\rho_0 c_0^4} \frac{\partial^2 p^2}{\partial \tau^2}.$$

Ved å transformere ligningen tilbake til (x, y, z) -koordinatene får man den paraboliske andreordens bølge ligningen, eller KZK-ligningen,

$$\frac{\partial^2 p}{\partial z \partial \tau} - \frac{c_0}{2} \nabla_{\perp}^2 p - \frac{\delta}{2c_0^3} \frac{\partial^3 p}{\partial \tau^3} = \frac{\beta}{2\rho_0 c_0^3} \frac{\partial^2 p^2}{\partial \tau^2}. \quad (1.62)$$

Den transversale Laplaceoperatoren er definert som $\nabla_{\perp}^2 = \partial^2/\partial x^2 + \partial^2/\partial y^2$. Ligningen er oppkalt etter sine opphavsmenn Khokhlov, Zabolotskaya (1969) og Kuznetsov (1971).

1.3.6 Lineært strålingsfelt fra en plan stempelkilde

Feltet langs lydaksen

En plan sirkulær stempelkilde kan beskrives som en sum av enkle kilder med styrke $dQ = U_0 dS$, montert i et baffel. Det utstrålte feltet fra en enkel kilde kan skrives [1]

$$d\hat{p}(r, t) = j\rho_0 c_0 \frac{dQ k}{2\pi r} e^{j(\omega t - kr)}.$$

Feltet fra stempelkilden er gitt ved integralet over kildens overflate S ,

$$\hat{p}(r, \theta, t) = j \frac{\rho_0 c_0 U_0 k}{2\pi} \int_S \frac{e^{j(\omega t - kr')}}{r'} dS.$$

\mathbf{r}' er vektoren fra en enkel kilde til observasjonspunktet $\mathbf{r} = (r, \theta)$. Langs lydaksen er $\theta = 0$, og trykkamplituden blir

$$p(r, 0) = 2\rho_0 c_0 U_0 \left| \sin \left[\frac{1}{2}kr \left(\sqrt{1 + \left(\frac{a}{r}\right)^2} - 1 \right) \right] \right|. \quad (1.63)$$

Uttrykket ovenfor oscillerer hurtig nær kilden, for så gradvis å utvikle seg mer som feltet fra en sfærisk kilde. Ekstremalverdiene i amplituden oppnås når

$$\frac{z}{a} = \frac{1}{m} \frac{a}{\lambda} - \frac{m}{4} \frac{\lambda}{a},$$

der $m = 1, 2, 3, \dots$ og z er avstanden fra kilden målt langs aksene. Når m er odde, oppnår trykkamplituden et maksimum, og når m er jamn, har funksjonen et minimum. Når man beveger seg fra fjernfeltet i retning av kilden, finnes aksetrykkets første maksimum når $m = 1$, det vil si ved

$$z_1 = \frac{a^2}{\lambda} - \frac{\lambda}{4} \approx \frac{a^2}{\lambda}. \quad (1.64)$$

For $z/a \gg 1$ kan rotuttrykket i ligning (1.63) skrives som $1 + \frac{1}{2}\left(\frac{a}{z}\right)^2$, og hvis i tillegg $z/a \gg ka$, kan (1.63) tilnærmes ved

$$P(r, 0) \approx \frac{1}{2}\rho_0 c_0 U_0 \frac{ka^2}{z}.$$

Man ser av dette at når avstanden fra kilden er stor i forhold til kilderadien og bølgelengden, avtar amplituden på aksene tilnærmet på samme måte som i feltet fra en sfærisk kilde.

Feltet på tvers av aksene

I fjernfeltet fra en plan sirkulær stempelkilde med radius a , er trykket gitt ved [1]

$$\mathbf{p}(r, \theta, t) = i\frac{\rho_0 c}{2} U_0 \frac{a}{r} k a e^{-i(\omega t - kr)} \left(\frac{2J_1(ka \sin \theta)}{ka \sin \theta} \right), \quad (1.65)$$

der r er avstanden til kildens midtpunkt og θ er vinkelen fra lydaksen. Faktoren lengst til høyre i uttrykket er den eneste som varierer med θ . Direktivitetsfaktoren $H(\theta)$ er absoluttverdien av denne,

$$H(\theta) = \left| \frac{2J_1(ka \sin \theta)}{ka \sin \theta} \right|. \quad (1.66)$$

$H(\theta)$ er lik 1 for $\theta = 0$, og viser trykkamplitudens variasjon med vinkelen fra lydaksen. J_1 er den førsteordens besselfunksjonen av første type. Funksjonsverdier finnes tabulert i f. eks. Kinsler, Frey, Coppens og Sanders [1].

Vinklene der amplituden er redusert med henholdsvis 3 dB og 6 dB i forhold til på aksene, er gitt ved [4]

$$\theta_{-3\text{dB}} \approx \sin^{-1} \left(\frac{1,616}{ka} \right), \quad \theta_{-6\text{dB}} \approx \sin^{-1} \left(\frac{2,215}{ka} \right). \quad (1.67)$$

Direktivitetsfaktorens første nullpunkt finnes ved

$$\theta_1 \approx \sin^{-1} \left(\frac{3,83}{ka} \right). \quad (1.68)$$

1.4 Numerisk løsning av KZK-ligningen

1.4.1 Koordinattransformasjoner

Endelig-differanse-metoder brukes på en rektangulær grunnmengde. Siden bredden på en lydstråle varierer med posisjonen langs strålens akse, kan koordinattransformasjoner bidra til å spare regnetid.

Ved å innføre dimensjonsløse koordinater, kan ligning (1.62) skrives

$$\frac{\partial^2 p}{\partial \sigma \partial \tau_n} = \frac{1}{4} \nabla_{\perp n}^2 p + \frac{\delta \omega^2 r_0}{2c_0^3} \frac{\partial^3 p}{\partial \tau_n^3} + \frac{\beta \omega r_0}{2\rho_0 c_0^3} \frac{\partial^2 p^2}{\partial \tau_n^2},$$

der $\sigma = z/r_0$, $r_0 = (1/2)ka^2$, $\tau_n = \omega\tau$ og $\nabla_{\perp n}^2 = \partial^2/\partial(x/a)^2 + \partial^2/\partial(y/a)^2 = \partial^2/\partial\xi^2$. a er radien til den sirkulære stempelkilden.

Når absorpsjonskoeffisienten α er mye mindre enn bølgetallet, gjelder tilnærmingen $\alpha \approx \delta\omega^2/2c_0^3$. Sjøkkavstanden for en plan og i utgangspunktet sinusformet bølge er gitt ved $l_d = 1/(\beta\epsilon k)$. Mach-tallet $\epsilon = u/c_0 \approx p_0/\rho_0 c_0^2$, der p_0 er bølgens trykkamplitude. Ved å sette inn for δ og β ovenfor, får man

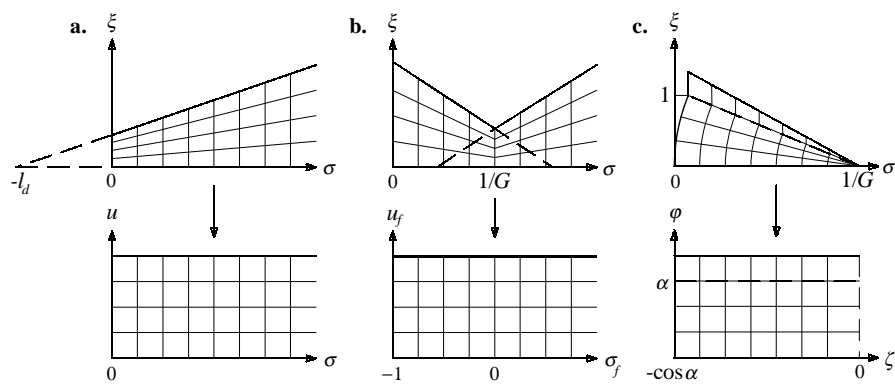
$$\frac{\partial^2 p}{\partial \sigma \partial \tau_n} = \alpha r_0 \frac{\partial^3 p}{\partial \tau_n^3} + \frac{1}{4} \nabla_{\perp n}^2 p + \frac{r_0}{2l_d p_0} \frac{\partial^2 p^2}{\partial \tau_n^2}.$$

Trykket kan videre normaliseres til amplituden p_0 ved kilden, slik at man får en dimensjonsløs ligning,

$$\frac{\partial^2 p_n}{\partial \sigma \partial \tau_n} = \alpha r_0 \frac{\partial^3 p_n}{\partial \tau_n^3} + \frac{1}{4} \nabla_{\perp n}^2 p_n + \frac{r_0}{2l_d} \frac{\partial^2 p_n^2}{\partial \tau_n^2}, \quad (1.69)$$

der $p_n = p/p_0$. Denne danner utgangspunktet for transformasjonene som er presentert av Berntsen [20] og Naze Tjøtta, Tjøtta og Vefring [21].

Tre transformerte ligninger er nevnt nedenfor. Koordinattransformasjonene er illustrert på figur 1.8.



Figur 1.8: Koordinattransformasjoner for KZK-ligningen. a. TBE (transformert bøl-
geligning for plane kilder), b. TEFB (transformert bølgeligning for fokuserte stråler),
c. MME (mixed model equation)

Transformert bølgeligning for plane og svakt fokuserte kilder (TBE)

Ved simuleringene i denne oppgaven ble den såkalte "transformed beam equation"(TBE) brukt. Transformasjonen

$$\mathbf{u} = \frac{\boldsymbol{\xi}}{1 + \sigma}, \quad \tau_p = \tau - \frac{\xi^2}{1 + \sigma} \quad T_p = (1 + \sigma)p_n \quad (1.70)$$

settes inn i ligning (1.69), slik at man får ([21],[22])

$$\frac{\partial^2 T_p}{\partial \sigma \partial \tau_p} = \alpha r_0 \frac{\partial^3 T_p}{\partial \tau_p^3} + \frac{1}{4(1 + \sigma)^2} \nabla_{\mathbf{u}}^2 T_p + \frac{r_0}{2l_d(1 + \sigma)} \frac{\partial^2 T_p^2}{\partial \tau_p^2}. \quad (1.71)$$

Transformert bølgeligning for fokuserte stråler (TEFB)

Bredden på en fokusert lydstråle varierer på en annen måte enn for en plan kilde. Siden strålen sprer seg sfærisk fra fokuspunktet, velges dette som sentrum i koordinatsystemet, og den longitudinale koordinaten normaliseres til den geometriske fokalavstanden istedenfor Rayleighavstanden,

$$\sigma_f = \frac{z - d}{d} = \sigma G - 1, \quad \mathbf{u}_f = \pm \frac{\boldsymbol{\xi}}{\sigma_f \pm \delta}, \quad (1.72)$$

$$\tau_f = \tau - \frac{r_0}{d} \frac{\xi^2}{\sigma_f \pm \delta}, \quad T_f = (\sigma_f \pm \delta)p_n$$

Gainfaktoren $G = r_0/d$, der d er fokallengden. Det øvre fortegnet gjelder for det postfokale området, $z > d$, mens det nedre gjelder før fokus.

For at koordinatsystemet skal få endelig transversal utstrekning over alt, er koordinatene før og etter fokalplanet sentrert en avstand δ henholdsvis etter - og før fokus. Naze Tjøtta, Tjøtta og Vefring kaller den transformerte ligningen "transformed equation for focused beams" [21],[23],

$$\frac{\partial^2 T_f}{\partial \sigma_f \partial \tau_f} = \alpha d \frac{\partial^3 T_f}{\partial \tau_f^3} + \frac{d}{4r_0(\sigma_f \pm \delta)^2} \nabla_{\mathbf{u}_f}^2 T_f + \frac{d}{2l_d(\sigma_f \pm \delta)} \frac{\partial^2 T_f^2}{\partial \tau_f^2}. \quad (1.73)$$

Mixed model equation (MME)

I den innerste delen av nærfeltet til en fokuserende kilde med sfærisk form, kan det være fordelaktig å løse bølgeligningen i et sfærisk koordinatsystem (Naze Tjøtta og Tjøtta [24]). Man antar fortsatt at lydfeltet er symmetrisk om aksene, slik at problemet kan betraktes som todimensjonalt. Avstanden fra det geometriske fokuspunktet brukes som longitudinal variabel, det vil si $\zeta \propto r/d = -z/d \cos \varphi$ når fokalplanet ligger i $z = 0$.

Det sfæriske koordinatsystemet brukes for vinkler $0 \leq \varphi \leq \alpha$, der α er kildens åpningsvinkel. Utenfor dette området er den longitudinale koordinaten lineært

forbundet med z . Koordinattransformasjonen er i området mellom kilden og fokus gitt ved [25]

$$\tau_s = \omega\left(t + \frac{r}{c_0}\right), \quad p(t, z, \mathbf{x}) = p_0 \frac{d}{r} T_s(\tau_s, \zeta, \varphi, \varepsilon),$$

$$\zeta = \begin{cases} -\frac{r \cos \alpha}{d} & \text{for } 0 \leq \varphi \leq \alpha \\ -\frac{r \cos \varphi}{d} & \text{for } \alpha \leq \varphi \leq \pi/2 \end{cases}. \quad (1.74)$$

Den transformerte ligningen blir

$$\frac{\partial^2 T_s}{\partial \tau_s \partial \zeta} = -\frac{C_{diff}}{2kd\zeta^2} D_{\varphi, \varepsilon} T_s - \alpha d C_{abs} \frac{\partial^3 T_s}{\partial \tau_s^3} + \frac{d}{2l_d} \frac{1}{\|\zeta\|} \frac{\partial^2 T_s^2}{\partial \tau_s^2}, \quad (1.75)$$

der

$$C_{diff} = \begin{cases} -\cos \alpha & \text{for } 0 \leq \varphi \leq \alpha \\ -\cos \varphi & \text{for } \alpha \leq \varphi \leq \pi/2 \end{cases},$$

$$C_{abs} = \begin{cases} -\frac{1}{\cos \alpha} & \text{for } 0 \leq \varphi \leq \alpha \\ -\frac{1}{\cos \varphi} & \text{for } \alpha \leq \varphi \leq \pi/2 \end{cases},$$

$$D_{\varphi, \varepsilon} = \frac{1}{\sin \varphi} \frac{\partial}{\partial \varphi} \left(\sin \varphi \frac{\partial}{\partial \varphi} \right) + \frac{1}{\sin^2 \varphi} \frac{\partial^2}{\partial \varepsilon^2}.$$

1.4.2 Fouriertransformasjon

Ligningene ovenfor kan Fourier-dekomponeres ved innsetting av

$$T = \sum_{n=1}^{\infty} (a_n \sin n\tau + b_n \cos n\tau), \quad (1.76)$$

der a_n og b_n er avhengige av de romlige koordinatene. Ved innsetting i den dimensjonsløse bølge ligningen (1.69) får man [26],[20],[27]

$$\begin{aligned} \frac{\partial a_n}{\partial \sigma} &= -\alpha r_0 n^2 a_n + \frac{1}{4n} \nabla_{\perp}^2 b_n + \frac{r_0 n}{2l_d} \left(\frac{1}{2} \sum_{i=1}^{n-1} (a_i a_{n-i} - b_i b_{n-i}) \right. \\ &\quad \left. - \sum_{i=n+1}^{\infty} (a_i a_{i-n} + b_i b_{i-n}) \right), \\ \frac{\partial b_n}{\partial \sigma} &= -\alpha r_0 n^2 b_n - \frac{1}{4n} \nabla_{\perp}^2 a_n + \frac{r_0 n}{2l_d} \left(\sum_{i=1}^{n-1} (a_i b_{n-i}) \right. \\ &\quad \left. + \sum_{i=n+1}^{\infty} (a_i b_{i-n} - b_i a_{i-n}) \right), \quad n = 1, 2, \dots \end{aligned} \quad (1.77)$$

Ligningene (1.71), (1.73) og (1.75) kan også transformeres ved hjelp av (1.76), og gir ligningssett i frekvensdomenet på samme form som (1.77). Alle de ovennevnte versjonene av KZK-ligningen kan derfor løses med den samme numeriske algoritmen.

Ifølge Naze Tjøtta et al. [26] kan spektralformen av bølgeligningen generaliseres for å ta hensyn til dispersjon og mer generelle absorpsjonslover. Dette gjøres ved å erstatte det første leddet på høyre side i hver av ligningene (1.77) med lineære kombinasjoner av a_n og b_n .

Løsningen av ligningssettet tar utgangspunkt i en kildebetingelse i planet $\sigma = \sigma_{start}$ på formen $p_n = f(\xi, \tau)$. Kildebetingelsen for a_n og b_n blir da [26]

$$\begin{aligned} a_n &= \frac{1}{\pi} \int_{-\pi}^{\pi} f(\xi, \tau) \sin n\tau d\tau, \\ b_n &= \frac{1}{\pi} \int_{-\pi}^{\pi} f(\xi, \tau) \cos n\tau d\tau. \end{aligned} \quad (1.78)$$

1.4.3 Endelig differanse-metoder

KZK-ligningen er parabolisk og kan løses med endelig differanse-metoder.

Regneområdet $0 \leq u \leq u_{maks}$, $\sigma_{start} \leq \sigma \leq \sigma_{slutt}$, deles i $I \times J$ like store ruter, slik at

$$\begin{aligned} u_j &= j \cdot \Delta u, & j &= 0, 1, 2, \dots, J, \\ \sigma_i &= i \cdot \Delta \sigma + \sigma_{start}, & i &= 0, 1, 2, \dots, I. \end{aligned}$$

I tillegg til ligninger og kildebetingelser tilsvarende ligning (1.77) og (1.78), trenges to randbetingelser. Betingelsen for $u = 0$ er

$$\left(\frac{\partial a_n}{\partial u} \right)_{u=0} = 0, \quad \left(\frac{\partial b_n}{\partial u} \right)_{u=0} = 0$$

fordi løsningen skal være symmetrisk om aksene.

Refleksjoner fra randen $u = u_{maks}$ gjør løsningen ustabil, men kan som oftest unngås ved at u_{maks} blir valgt stor nok. I Ystad og Berntsens versjon av Bergenkoden [23] dempes løsningen eksponensielt ut mot randen for å redusere refleksjonene.

For $\sigma = \sigma_{slutt}$ er det ikke nødvendig å definere noen randbetingelse. I hvert regnesteg beregnes løsningen for σ_i på grunnlag av forrige steg, dvs. funksjonsverdiene for σ_{i-1} .

Differensoperatorer

Differensialene i ligningssettet erstattes med endelige differanser [28]. I transversal retning brukes en trepunkts differanse gyldig til annen orden,

$$\left(\frac{\partial^2 g}{\partial u^2} \right)_{u_j, \sigma_i} = \frac{g_{j+1}^i - 2g_j^i + g_{j-1}^i}{(\Delta u)^2} + 0((\Delta u)^2), \quad (1.79)$$

der g_j^i er løsningen i punktet (σ_i, u_j) .

I σ -retning brukes tre ulike differenskvotienter.

$$\begin{aligned} \left(\frac{\partial g}{\partial \sigma}\right)_{u_j, \sigma_i} &= \frac{g_j^i - g_j^{i-1}}{\Delta \sigma} + O((\Delta \sigma)^2), \\ \left(\frac{\partial g}{\partial \sigma}\right)_{u_j, \sigma_i} &= \frac{g_j^{i-1} - g_j^i}{\Delta \sigma} + O((\Delta \sigma)^2) \end{aligned} \quad (1.80)$$

er henholdsvis en bakover- og en foroverdifferanse.

Når det brukes foroverdifferanse i den longitudinale retningen, er løsningen i hvert punkt (u_j, σ_i) gitt ved tre funksjonsverdier fra forrige regnesteg, nemlig løsningen i punktene $(u_{j\pm 1}, \sigma_{i-1})$ og (u_j, σ_{i-1}) . Denne algoritmen kalles eksplisitt fordi løsningen i ethvert punkt i planet $\sigma = \sigma_i$ kan regnes ut direkte. En ulempe med den eksplisitte metoden er at den kan bli ustabil hvis ikke forholdet $\Delta \sigma/n(\Delta u)^2$ er lite nok.

I Bergenkoden brukes også en variant av Crank-Nicolson-metoden. En to-punkts differanse i σ -retning oppnås ved å tolke den andre av ligning (1.80) som den deriverte i punktet midt mellom (u_j, σ_{i+1}) og (u_j, σ_i) . Den tilsvarende annen-deriverte i transversal retning settes lik gjennomsnittet av differanskvotientene for $\sigma = \sigma_{i+1}$ og $\sigma = \sigma_i$,

$$\begin{aligned} \left(\frac{\partial g}{\partial \sigma}\right)_{u_j, (\sigma_{i+1} + \sigma_i)/2} &= \frac{g_j^{i+1} - g_j^i}{\Delta \sigma}, \\ \left(\frac{\partial^2 g}{\partial u^2}\right)_{u_j, (\sigma_{i+1} + \sigma_i)/2} &= \frac{1}{2} \left(\frac{g_{j+1}^{i+1} - 2g_j^{i+1} + g_{j-1}^{i+1}}{(\Delta u)^2} + \frac{g_{j+1}^i - 2g_j^i + g_{j-1}^i}{(\Delta u)^2} \right). \end{aligned} \quad (1.81)$$

Ved å bruke Crank-Nicolson-metoden oppnår man andreordens differanser i både transversal og longitudinal retning. Dette gjør løsningsmetoden stabil uansett valg av steglengder, selv om nøyaktigheten er best for små $\Delta \sigma/n(\Delta u)^2$. Crank-Nicolson-metoden er implisitt, noe som betyr at løsningen i et punkt (u_j, σ_i) ikke er gitt direkte ved resultatet fra forrige regnesteg. I tillegg til funksjonsverdien i punktet (u_j, σ_{i-1}) trenges også løsningene i (u_{j+1}, σ_i) og (u_{j-1}, σ_i) . Det må derfor løses et sett med simultane ligninger i hvert steg, dvs. for hver σ_i . Ligningene (1.77) gir tridiagonale koeffisientmatriser, slik at problemet kan løses ved tilbakesubstitusjon.

1.4.4 Bergenkoden

Den numeriske løsningen av den transformerte bølgeligningen (1.71) er implementert av Jarle Berntsen og Erlend Vefring [29]. En tidligere versjon er blitt omtalt av Aanonsen et al. [30], men brukes ikke her. Løsningene gjelder for problemer med rotasjonssymmetri om z -aksen, som lydstrålen forplanter seg langs.

Når ligningssettet løses numerisk, trunkeres summene i ikkelinearitetsleddene. Dette gir en opphopning av energi i de høyeste harmoniske som er tatt med. Feilen forplanter seg til alle frekvenskomponentene i løsningen, men forblir viktigst for de høyeste harmoniske. Når man tar med så mange harmoniske i utregningen at en økning på en i antallet ikke gir noen nevneverdig endring av resultatet, antas det i denne oppgaven at trunkeringsfeilen er neglisjerbar.

I Bergenkoden brukes hovedsakelig Richtmyer-prosedyren, som er en variant av Crank-Nicholson-metoden. Metoden har den ulempen at diskontinuiteter i kildebetingelsen forårsaker Gibbske oscillasjoner i løsningen. For å unngå dette problemet er det brukt en annen algoritme i de første få regnestegene. Aanonsen-metoden benytter rene forover- og bakoverdifferanser, og gir en dempning av løsningen. Dempningen virker sterkest på de høyere harmoniske.

Kapittel 2

Eksperiment

2.1 Spesifikasjoner for lydkilden

Transduserens driftsfrekvens var ønsket å ligge rundt 1 MHz. Tanken der SOBER-eksperimentet skulle utføres, var 50 cm bred, 70 cm høy og 270 cm lang. Det skulle måles på en lydstråle i tankens lengderetning, med minst mulig refleksjoner fra sideveggene. Det var planlagt å reflektere lydstrålen en gang i bunnen av tanken, slik at lengden av lydstrålen som det skulle måles i, kunne komme opp i 3 m. Hvis hovedloben skulle være smalere enn 50 cm ved denne avstanden, måtte åpningsvinkelen være mindre enn $9,5^\circ$. Det ble valgt å bruke en piezokeramisk skive med diameter 5 cm, som skulle tilfredsstillende kravet om direktivitet med god margin.

For å hindre uønskede refleksjoner i å påvirke det målte lydfeltet, ble det planlagt å bruke pulset lyd. Ved målinger nær grenseflater var det ønskelig å gjøre lydimpulsene kortest mulig. I denne sammenhengen var det viktig at også lydkildens transientrespons var kort.

Transduserens vertikale posisjon og vinkel skulle justeres underveis i løpet av SOBER-eksperimentet. Tiltingen måtte kunne gjøres med en nøyaktighet på 0,1 grad. Da lydkilden skulle plasseres inne i det stratifiserte mediet, der det var viktig å unngå unødig omrøring, var det også nødvendig å gjøre den mer strømlinjeformet enn transduserne som var tilgjengelige fra tidligere eksperiment. Det ble også forsøkt å konstruere kilden så kompakt som mulig.

Siden kildens oppgave var å generere ikkelineære lydfelt, måtte den være i stand til å operere med høy utgangseffekt. Ønsket om høy amplitude fikk blant annet betydning for valget av piezoelektrisk materiale.

Tabell 2.1: Skivenes dimensjoner.

Skive	Diameter		Tykkelse	
	\bar{d} [mm]	s_d [mm]	$\bar{\ell}$ [mm]	s_ℓ [mm]
5A	49,977	0,013	2,056	0,0015
5B	49,976	0,014	2,045	0,0020
5C	49,966	0,0084	2,032	0,0021
5D	49,955	0,0053	2,032	0,0018
5E	49,978	0,0092	2,030	0,0021
5F	49,974	0,012	2,048	0,0018

2.2 Målinger og simuleringer av piezokeramiske skiver i luft

Det ble målt på seks skiver av det piezokeramiske materialet Pz 26 fra Ferroperm, med tykkelse 2 mm og diameter 5 cm. Tre av dem (5A, 5B og 5C) var blitt brukt tidligere, mens resten (5D, 5E og 5F) ble kjøpt nye til SOBER-eksperimentet. Pz 26 ble valgt fordi det er et såkalt hardt piezokeramisk materiale, som tåler å operere med store amplituder.

2.2.1 Bestemmelse av materialkonstanter

Diameter og tykkelse ble målt ti tilfeldige steder på hver skive med henholdsvis et TESA digit-cal SI skyvelær og en TESA digit 0–25 mm mikrometerskrue. Tabell 2.1 viser middelerverdier og standardavvik for målingene.

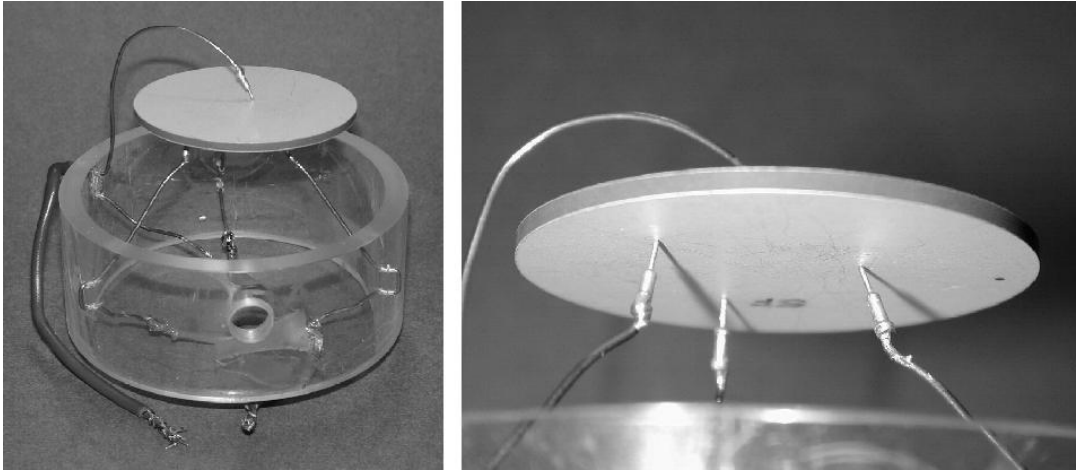
For hvert av elementene ble fem karakteristiske frekvenser bestemt ved hjelp av en Hewlett Packard 4192A impedansanalysator med HP 16047A tilkoblingsmodul. Resonansfrekvensene påvirkes av mange faktorer, som for eksempel temperatur, lufttrykk, luftfuktighet og den mekaniske påvirkningen fra måleinstrumenter [31].

Elementene ble plassert i holderen i figur 2.1, der tre ledere fra undersiden og en fra oversiden sørget de for den elektriske kontakten mellom elementet og impedansanalysatoren. Samtidig holdt de den piezokeramiske skiven på plass.

Den relative luftfuktigheten ved målingene var omkring 50%, og temperaturen lå på $(23 \pm 1)^\circ\text{C}$. Dersom temperaturvariasjonene for Pz26 svarer til Rune Fardals resultater for PZT-5A [31], blir resonansfrekvensene med ubestemtheter som i tabell 2.2.

Med impedansanalysatoren ble også elementenes totale kapasitanser C_{0T} målt ved 400 Hz. Frekvensen for kapasitansmåling ble valgt mindre enn 1/100 av skivenes første serieresonans, som anbefalt av Frode Atterås [32].

På grunnlag av måledataene ble noen av materialkonstantene (1.7) bestemt. Dette ble gjort ved hjelp av relasjoner som bygger på Masonmodellen, oppsummert i [32] og [33]. Til utregningen ble det brukt en av Atterås' Matlab-filer,



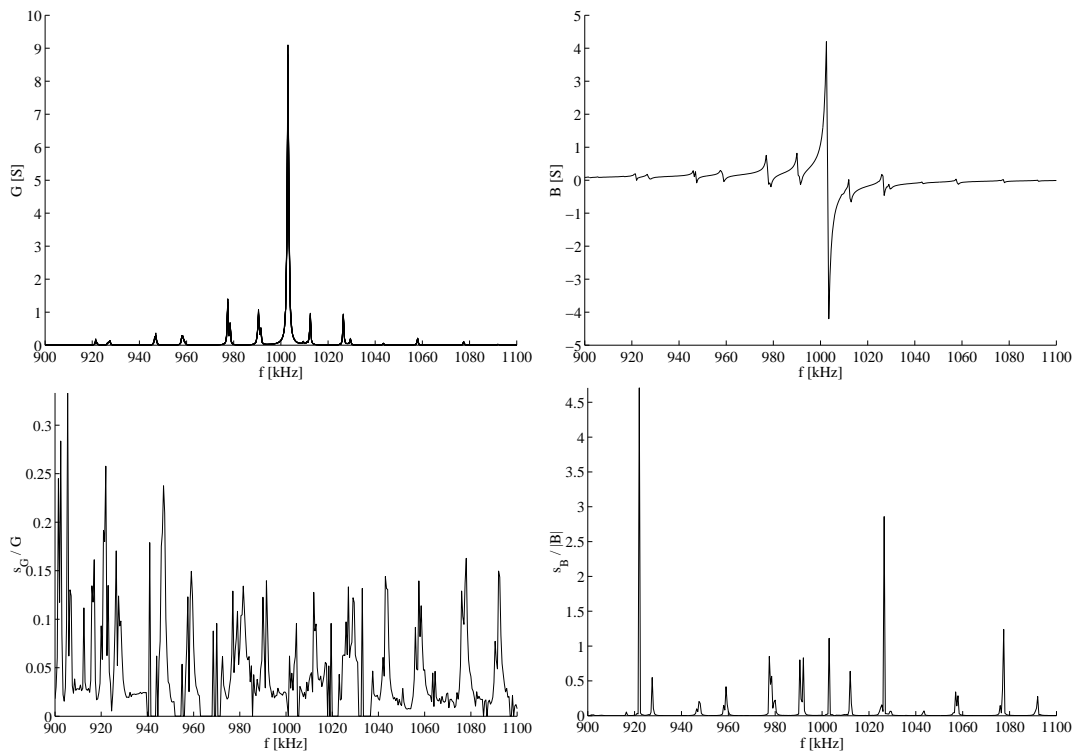
Figur 2.1: Holder for måling av impedans i en piezoelektrisk skive.

skive.m, som er listet i hans hovedfagsoppgave [32]. De beregnede parameterne for skive 5D og 5E er satt opp sammen med produsentens oppgitte størrelser [34] i tabell 2.3. Ved utregningene ble den oppgitte verdien brukt for massetettheten, og oppgitte verdier for s_{33}^E og d_{33} er satt inn ved utregning av tallene i parentes. Ferroperms data er gitt med relative usikkerheter på 10% for elektriske -, 5% for elektromekaniske - og 2,5% for mekaniske egenskaper.

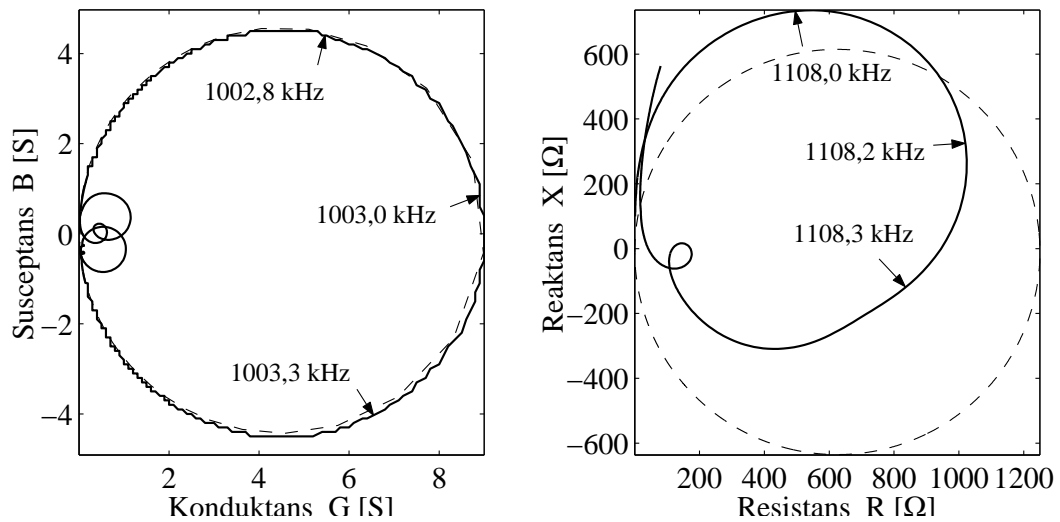
2.2.2 Frekvensrespons i luft

Admittansen ble målt ti ganger for hver skive. Før hver måling ble elementet satt i holderen på nytt, og den mekaniske spenningen i holderen ble endret. Dette ble gjort for å oppnå en størst mulig variasjon i hvordan holderen påvirket elementet. Resultatet av de ti målingene på skive 5D er plottet i figur 2.2. Variasjonene ved måling på de andre skivene var tilsvarende.

I figur 2.3 er målt admittans og impedans for skive 5D sammenlignet med utregnede verdier basert på Mason-modellen (1.27),(1.28). Det venstre plottet viser admittansen for frekvenser rundt tykkelses-serieresonans, mens det høyre er av impedansen rundt tykkelses-parallellresonans. Den sistnevnte frekvensen var vanskelig å finne fordi resistansen hadde flere store maksima i det aktuelle frekvensområdet.



Figur 2.2: Ti målinger av konduktans og susceptans for skive 5D, standardavvik relativt til middelerdiene.

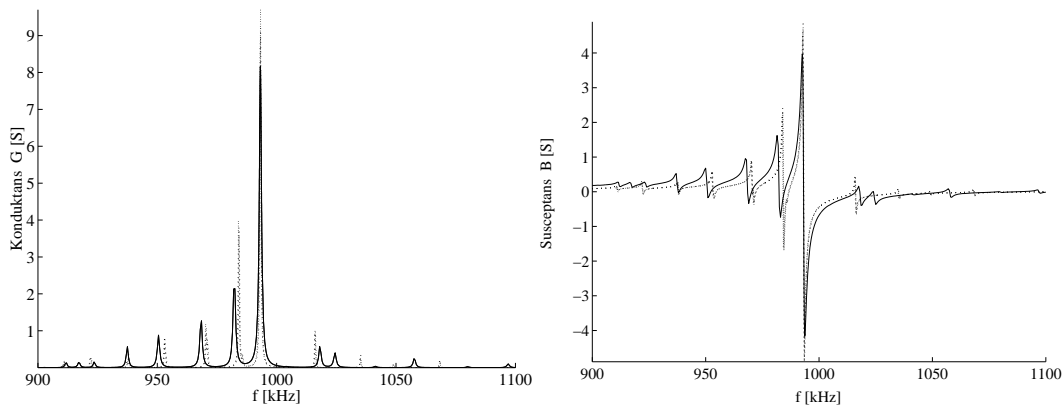


Figur 2.3: Skive 5D, til venstre: Admittans (GB -plott). Til høyre: Impedans (RX -plott). Heltrukken kurve viser måleresultat, mens stiplet kurve er utregnet ved hjelp av Mason-modellen.

Tabell 2.2: Karakteristiske frekvenser for skivene ved $(23 \pm 1)^\circ\text{C}$: Første og andre radielle serieresonans, første radielle parallellresonans, første tykkelses-serieresonans og første tykkelses-parallellresonans. Kapasitansene ble målt ved 400 Hz.

Skive	1. radiell serie f_{1r} [kHz]	2. radiell serie f_{2r} [kHz]	1. radiell parallell f_p [kHz]
5A	$43,98 \pm 0,04$	$114,9 \pm 0,1$	$50,65 \pm 0,02$
5B	$44,14 \pm 0,04$	$115,1 \pm 0,1$	$50,58 \pm 0,02$
5C	$44,31 \pm 0,04$	$115,6 \pm 0,1$	$50,52 \pm 0,02$
5D	$44,12 \pm 0,04$	$115,2 \pm 0,1$	$53,03 \pm 0,02$
5E	$44,07 \pm 0,04$	$115,1 \pm 0,1$	$50,67 \pm 0,02$
5F	$43,93 \pm 0,04$	$114,7 \pm 0,1$	$50,70 \pm 0,02$

Skive	1. tykkelse serie f_{st} [kHz]	1. tykkelse parallell f_{pt} [kHz]	Kapasitans C_{0T} [nF]
5A	$993,2 \pm 0,1$		$11,8 \pm 0,4$
5B	$1000,1 \pm 0,1$	$1105,36 \pm 0,08$	$12,0 \pm 0,4$
5C	$1005,2 \pm 0,1$	$1110,88 \pm 0,08$	$12,0 \pm 0,4$
5D	$1003,1 \pm 0,1$	$1108,29 \pm 0,08$	$11,8 \pm 0,4$
5E	$1005,2 \pm 0,1$	$1110,83 \pm 0,08$	$11,9 \pm 0,4$
5F	$998,0 \pm 0,1$	$1103,21 \pm 0,08$	$11,9 \pm 0,4$



Figur 2.4: Konduktans og susceptans for skive 5A. Den heltrukne kurven viser simulerte verdier fra FEMP, mens de stiplede er måleresultater.

Tabell 2.3: Materialparametere for Ferroperm Pz 26 — oppgitt fra Ferroperm [34] og beregnet ved hjelp av Mason-modellen [32].

Parameter		Opgitt	Mason, 5D	Mason, 5E
c_{11}^E	$[10^{11} \text{ N/m}^2]$	$1,68 \pm 0,04$	$(1,7 \pm 0,2)$	$(1,7 \pm 0,1)$
c_{12}^E	$[10^{11} \text{ N/m}^2]$	$1,10 \pm 0,03$	$(1,1 \pm 0,1)$	$(1,1 \pm 0,1)$
c_{13}^E	$[10^{11} \text{ N/m}^2]$	$1,00 \pm 0,03$	$(1,0 \pm 0,1)$	$(1,0 \pm 0,1)$
c_{33}^E	$[10^{11} \text{ N/m}^2]$	$1,23 \pm 0,03$	$1,229 \pm 0,005$	$1,231 \pm 0,005$
c_{33}^D	$[10^{11} \text{ N/m}^2]$	$1,58 \pm 0,04$	$1,562 \pm 0,006$	$1,566 \pm 0,006$
c_{44}^E	$[10^{10} \text{ N/m}^2]$	$3,01 \pm 0,08$		
c_{66}^E	$[10^{10} \text{ N/m}^2]$	$2,88 \pm 0,07$		
s_{33}^E	$[10^{-11} \text{ m}^2/\text{N}]$	$1,96 \pm 0,05$		
d_{33}	$[10^{-10} \text{ C/N}]$	$3,3 \pm 0,2$		
e_{31}	$[\text{C/m}^2]$	$-2,0 \pm 0,1$	(-8 ± 6)	(-3 ± 6)
e_{33}	$[\text{C/m}^2]$	$14,7 \pm 0,7$	$14,0 \pm 0,3$	$14,9 \pm 0,3$
e_{15}	$[\text{C/m}^2]$	$9,9 \pm 0,5$		
ε_{11}^S	$[10^{-9} \text{ C/Vm}]$	$7,4 \pm 0,7$		
ε_{33}^S	$[10^{-9} \text{ C/Vm}]$	$6,2 \pm 0,6$	$5,8 \pm 0,2$	$6,7 \pm 0,2$
ρ	$[10^3 \text{ kg/m}^3]$	$7,7 \pm 0,2$		
Q_m		780 ± 20		
$\tan \delta_e$	$[10^{-3}]$	$3,0 \pm 0,3$		

2.2.3 FEM-simulering av svingemønster

Programmet FEMP 3.0 ble skrevet av Jan Kocbach [16],[35], og bruker endelig element-metode til simulering av svingninger i piezoelektriske materialer, elastiske materialer og væsker.

Ved bruk av de oppgitte materialparameterne fra Ferroperm ble det observert dårlig overensstemmelse mellom målte og simulerte admittanskurver. Materialkonstantene som ble funnet ved hjelp av Mason-modellen ble satt inn i modellen, og nye verdier for de resterende parameterne ble funnet ved å forsøke å tilpasse admittanskurver fra simuleringsprogrammet til de målte dataene (tabell 2.4). Simulerte og målte admittanser er vist i figur 2.4 og 2.5.

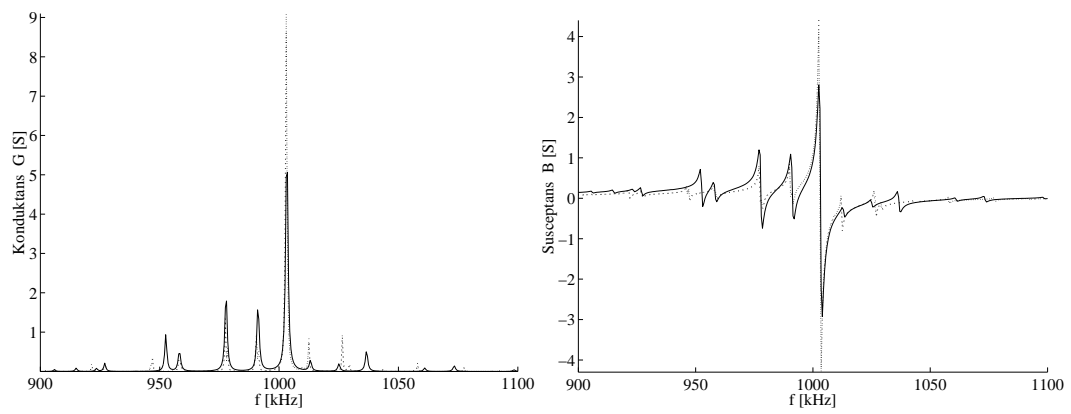
De simulerte svingemønsterne rundt første tykkelses-serieresonans (TE-moden), med materialparametere fra tabell 2.4, er illustrert i figur 2.6 og figur 2.7. Sammenligning med svingemønsteret for en skive med Ferroperms oppgitte parametere, viste at egenskapene til de to skivene ikke var blitt bestemt på riktig måte. De oppgitte parameterne førte til tydelige utslag i tykkelsesretning (figur 2.8), mens dataene som fremkom ved tilpasning av admittanskurver ga helt andre bevegelsesmønster i frekvensområdet rundt den antatte TE-moden. Partikkelforskyvningen på figurene er multiplisert med en faktor 5 for å gjøre detaljene

bedre synlige. Dette har medført at elementer overlapper på noen av figurene, noe som er ufysisk og ikke et egentlig resultat av simuleringene.

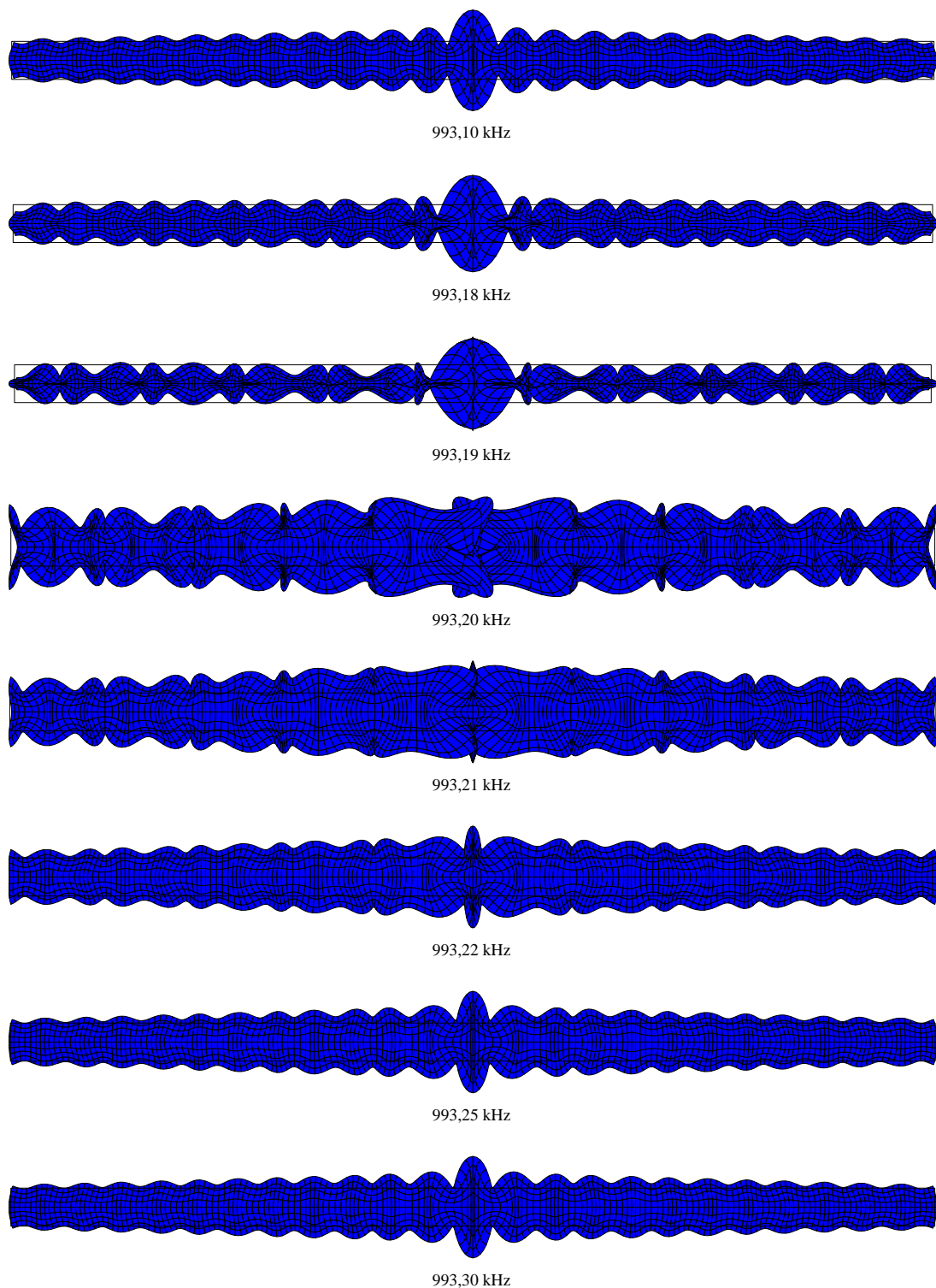
Den opprinnelige planen var å simulere større deler av transduserkonstruksjonen, men dette ble gjort vanskelig av geometrien og metodens langsomme konvergens for det aktuelle problemet. Det ble derfor valgt å ikke arbeide videre med bestemmelse av materialparametere.

Tabell 2.4: Materialparametere brukt i FEMP for å simulere svingningene i skive 5A og skive 5D.

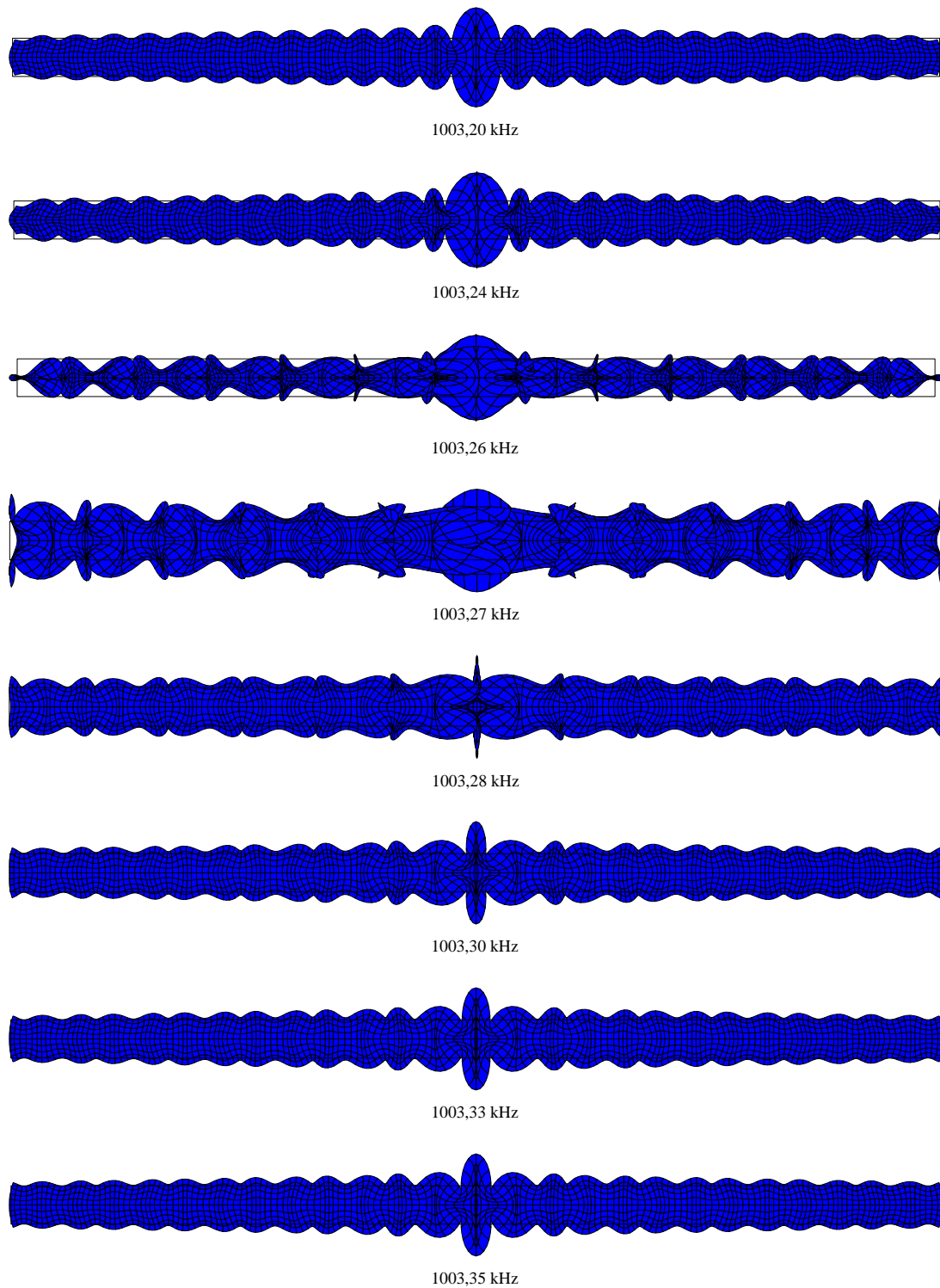
Parameter	Skive 5A	Skive 5D
c_{11}^E [N/m ²]	$1,7180 \cdot 10^{11}$	$1,4600 \cdot 10^{11}$
c_{12}^E [N/m ²]	$1,1105 \cdot 10^{11}$	$1,0784 \cdot 10^{11}$
c_{13}^E [N/m ²]	$9,7200 \cdot 10^{10}$	$9,9775 \cdot 10^{10}$
c_{33}^E [N/m ²]	$1,2120 \cdot 10^{11}$	$1,2350 \cdot 10^{11}$
c_{44}^E [N/m ²]	$2,8550 \cdot 10^{10}$	$3,0100 \cdot 10^{10}$
c_{66}^E [N/m ²]	$2,8800 \cdot 10^{10}$	$2,8800 \cdot 10^{10}$
e_{31} [C/m ²]	-3,248	-3,700
e_{33} [C/m ²]	15,16	13,8526
e_{15} [C/m ²]	9,860	9,900
ε_{11}^S [C/Vm]	$7,3580 \cdot 10^{-9}$	$7,3580 \cdot 10^{-9}$
ε_{33}^S [C/Vm]	$6,6800 \cdot 10^{-9}$	$5,8338 \cdot 10^{-9}$
ρ [kg/m ³]	7700	7700
Q_m	1000	1060
$\tan \delta_e$	0,003	0,003



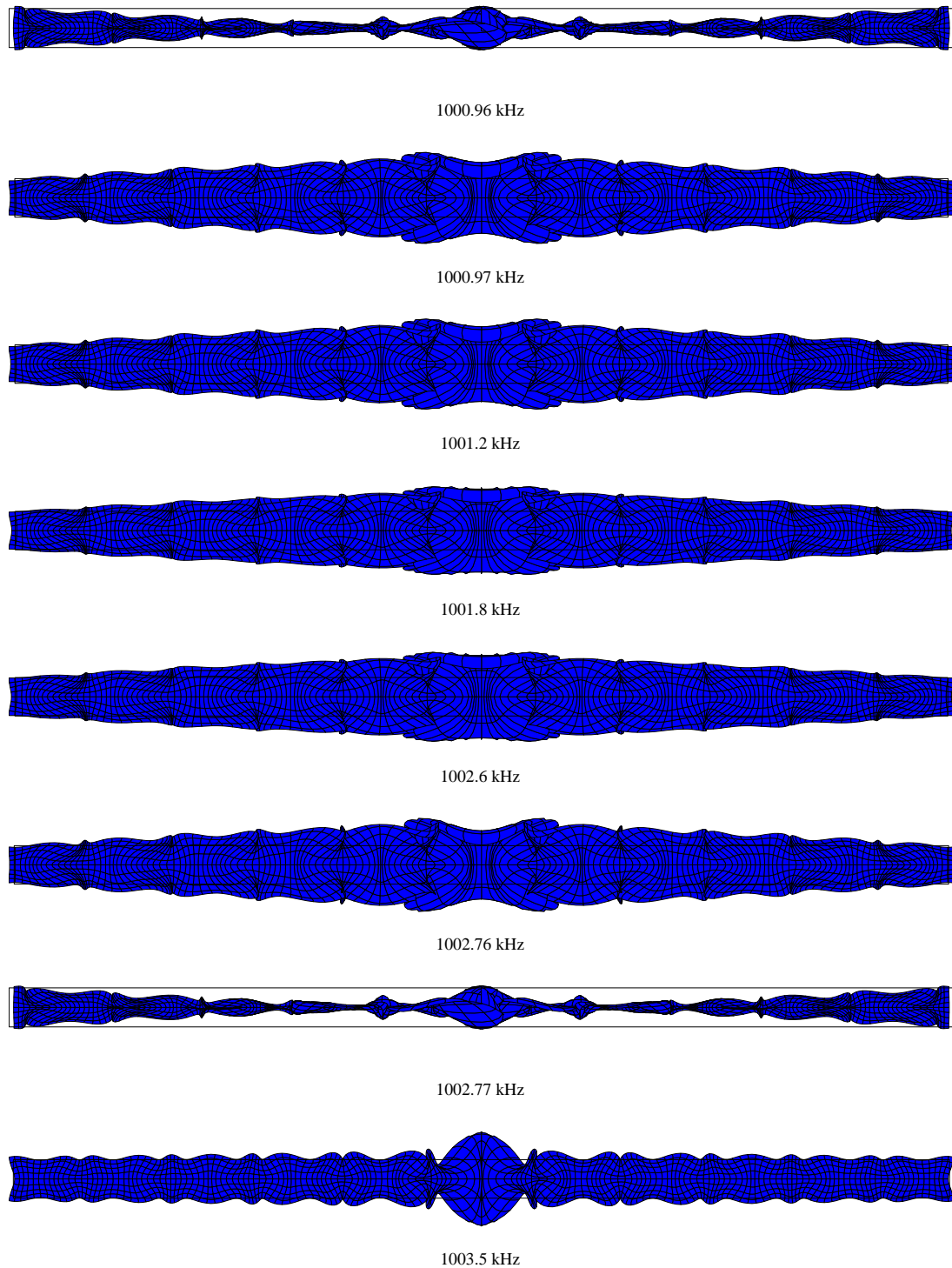
Figur 2.5: Konduktans og susceptans for skive 5D. Den heltrukne kurven viser simulerte verdier fra FEMP, mens de stiplede er måleresultater.



Figur 2.6: Simulert svingemønster i vakuum for skive 5A. Tegningene viser relative forskyvningsamplituder i skiven ved ulike frekvenser omkring serieresonans. De beregnede forskyvningsamplitudene er multiplisert med en faktor for å bli bedre synlige. Dette medfører at noen av elementene overlapper, noe som ikke er et egentlig resultat av simuleringene.



Figur 2.7: Simulert svingemønster i vakuum for skive 5D. Tegningene viser relative forskyvningsamplituder i skiven ved ulike frekvenser omkring serieresonans. De beregnede forskyvningsamplitudene er multiplisert med en faktor for å bli bedre synlige. Dette medfører at noen av elementene overlapper, noe som ikke er et egentlig resultat av simuleringene.



Figur 2.8: Simulert svingemønster i vakuum, oppgitte parametre. Tegningene viser relative forskyvningsamplituder i skiven ved ulike frekvenser omkring serieresonans. De beregnede forskyvningsamplitudene er multiplisert med en faktor for å bli bedre synlige. Dette medfører at noen av elementene overlapper, noe som ikke er et egentlig resultat av simuleringene.

2.3 Simuleringer av mekaniske koblingslag

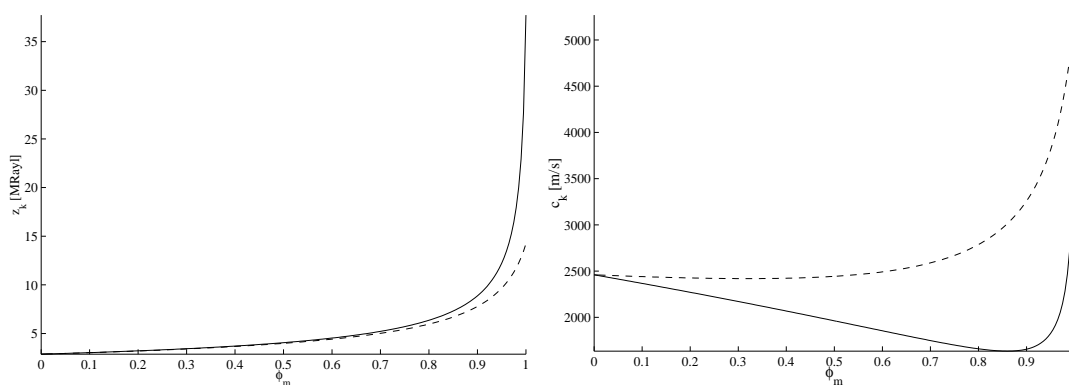
Transduserens båndbredde ble utvidet ved å plassere et koblingslag mellom det piezokeramiske elementet og strålingsmediet. Laget ble støpt direkte på elementet, og besto av en blanding av epoksid-harpiks og kobberpulver med maksimal kornstørrelse $63\mu\text{m}$. Aluminiumholdige frontlag og et uten tilsatt metall ble også vurdert.

Som epoxymateriale ble det brukt Araldite AY 103 og herder HY 956, i blandingsforhold fem massedeler til en.

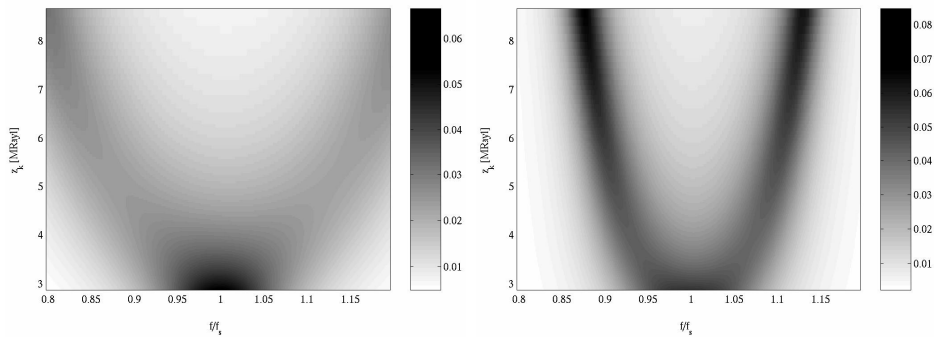
Ved innsetting av verdiene fra tabell 2.5 i ligningene (1.38)–(1.40), ble det oppnådd en teoretisk sammenheng mellom den spesifikke akustiske impedansen z_k i koblingslaget og masseandelen av metallpulver φ_m . Resultatet er plottet i figur 2.9. Her er også lydfartens avhengighet av blandingsforholdet tatt med. De heltrukne kurvene viser verdier for Araldite og kobber, mens de stiplede er for blandinger av Araldite og aluminiumpulver.

Tabell 2.5: Egenskaper for materialer brukt i koblingslagene. Tetthet og lydfart for AY 103 ble målt, mens verdiene for aluminium og kobber er hentet fra en tabell av Laust Pedersen [36].

	Tetthet ρ [kg/dm ³]	Lydfart c_l [km/s]	Impedans z_m [MRayl]
AY 103/HY 956	$1,17 \pm 0,01$	$2,46 \pm 0,02$	$2,88 \pm 0,03$
Aluminium	2,7	6,32	17
Kobber	8,9	5,01	45



Figur 2.9: Til venstre: Spesifikk akustisk impedans som funksjon av masseandelen av metall i blandingen med Araldite 103/956. Til høyre: Lydfarten i koblingslaget som funksjon av det samme blandingsforholdet. De stiplede kurvene viser verdier for aluminiumpulver, mens de heltrukne er for kobber.



Figur 2.10: Konduktans i Siemens i elementet som funksjon av frekvens og koblingslagets spesifikke akustiske impedans. Til venstre: kvartbølgelag ($\ell_k = \lambda_k/4$), til høyre: 3/4-bølgelag ($\ell_k = 3\lambda_k/4$).

2.3.1 Spesifikk akustisk impedans

Ved hjelp av ligning (1.37) og materialparametere fra tabell 2.3, ble den forventede admittansen beregnet for en piezokeramisk skive med koblingslag ved lydstråling i vann.

Når koblingslagets akustiske impedans øker relativt til den i vannet, vokser systemets båndbredde. Resonanstoppen deler seg gradvis i to smalere toppler, en på hver side av elementets resonansfrekvens. Dette går frem av figur 2.10, som viser simulerte konduktanser fra Mason-modellen.

En passende akustisk impedans for kvartbølgelaget ble funnet rundt 4,5 MRayl (60% kobber), som gav en frekvensrespons med bred og forholdsvis flat topp (figur 2.11). For 3/4-bølgelaget ble det funnet en tilsvarende forventet respons, men med noe smalere båndbredde, ved 3,4 MRayl. For koblingslag med tykkelse $5\lambda_k/4$ og større, hadde epoxy materialet alene for stor akustisk impedans til å gi en god akustisk kobling.

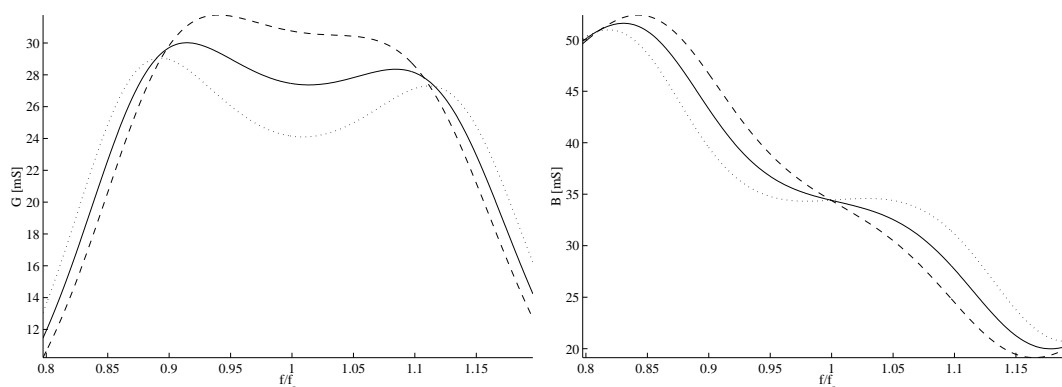
2.3.2 Valg av tykkelse

Det optimale blandingsforholdet for et kvartbølgelag med kobber ga en forholdsvis lav lydfart, og koblingslagets tykkelse ble beregnet til ca. 0,47 mm.

Det ble også brukt et trekvart-bølgelag. Impedansen ble i dette tilfellet noe lavere, og den ønskede tykkelsen ble satt til 1,68 mm. Figur 2.12 viser hvordan den beregnede konduktansen varierte med koblingslagets tykkelse ved to ulike spesifikke akustiske impedanser.

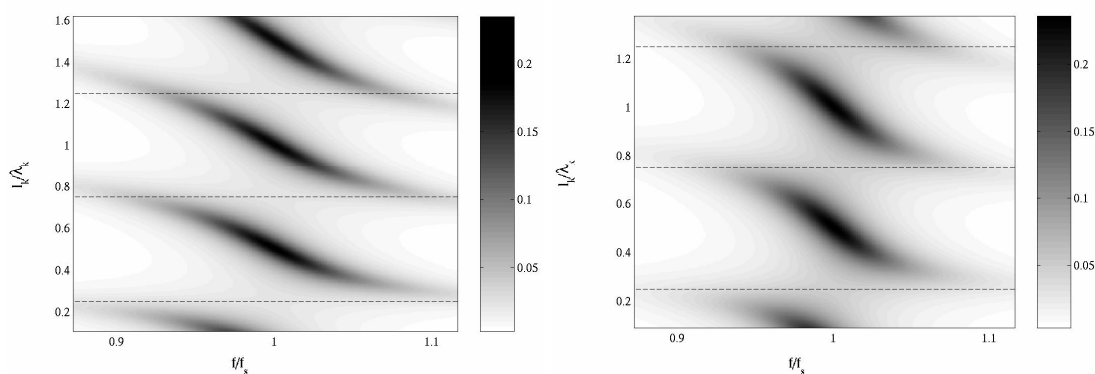
Når λ_k er bølgelengden i koblingslaget ved resonansfrekvensen, og tykkelsen

$$\ell_k = \frac{\lambda_k}{4} + n \cdot \frac{\lambda_k}{2}, \quad n = 0, 1, 2, \dots,$$



Figur 2.11: Frekvensrespons for element med kvartbølgelag (konduktans t.v., susceptans t.h.) Stiplet kurve: $z_k = 4,3$ MRayl, heltrukken kurve: $z_k = 4,5$ MRayl, prikket kurve: $z_k = 4,8$ MRayl.

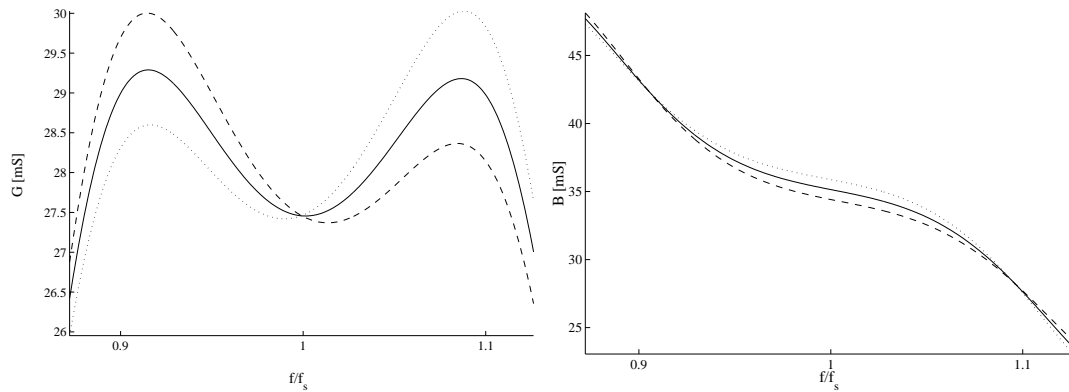
blir resonansen ifølge Mason-modellen asymmetrisk. Den venstre av de to toppene i konduktansen blir noe større enn den høyre. Dette kan det i teorien kompenseres for ved å øke frontlagets tykkelse som vist på figur 2.13. Den nødvendige tykkelsesjusteringen var på størrelse med ubestemtheten i elementets tykkelse (tabell 2.1), slik at en viss asymmetri i konduktansen ble forventet.



Figur 2.12: Konduktans i Siemens i elementet som funksjon av frekvens og koblingslagets tykkelse. Til venstre: $z_k = 4,5$ MRayl (60% Cu), til høyre: $z_k = 3,4$ MRayl (29% Cu). $l_k = \lambda_k/4$, $l_k = 3\lambda_k/4$ og $l_k = 5\lambda_k/4$ er avmerket med stiplede linjer.

2.3.3 Virkning på impulsresponsen

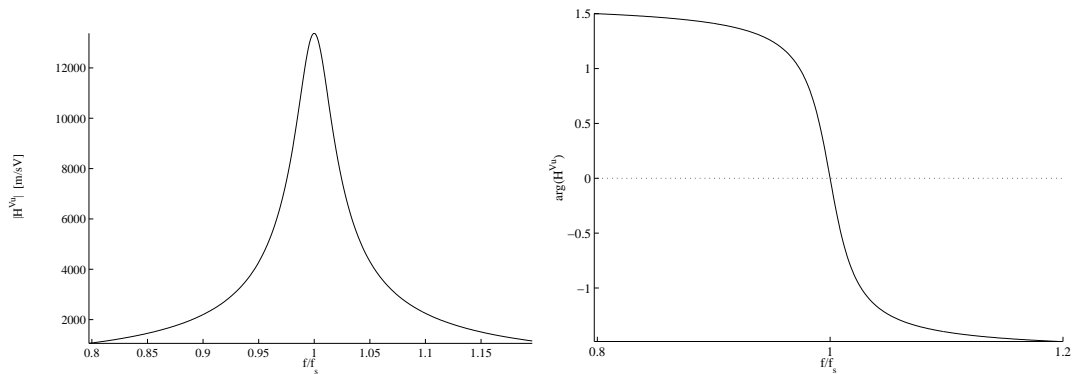
Den beregnede overføringsfunksjonen $H^{Vu}(f)$ fra spenning inn på et piezoelektrisk element uten koblingslag, til partikkelfart på grenseflaten mot vann, ble funnet



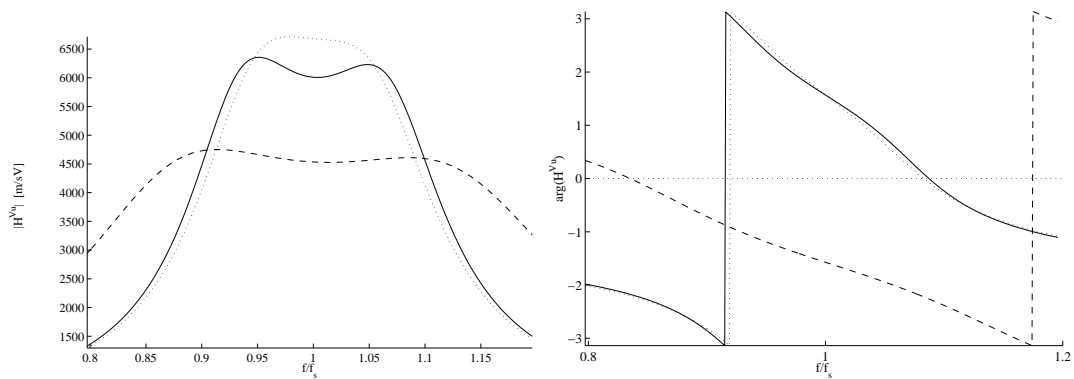
Figur 2.13: Frekvensrespons for elementet (konduktans t.v., susceptans t.h.), $\varphi_m = 0, 60$. Stiplet kurve: $l_k = 0, 2500\lambda_k$, heltrukken kurve: $l_k = 0, 2516\lambda_k$, prikket kurve: $l_k = 0, 2533\lambda_k$.

ved hjelp av Mason-modellen (figur 2.14). Overføringsfunksjonene som på samme måte ble funnet med tre ulike koblingslag, er vist i figur 2.15.

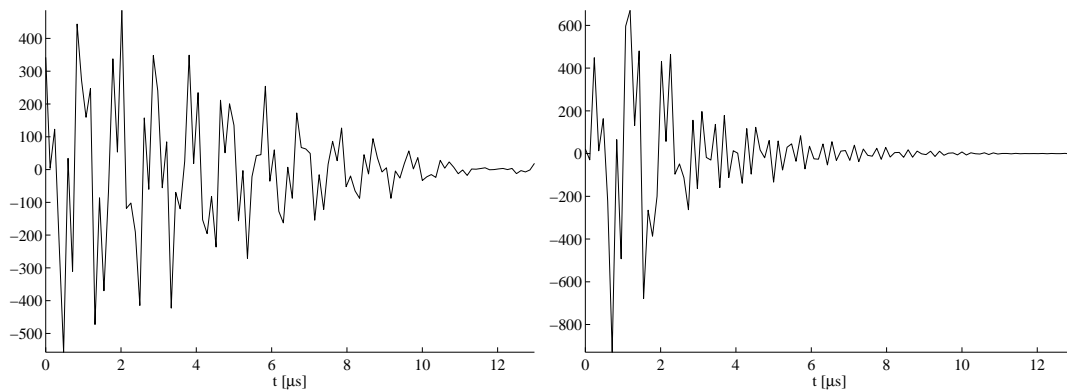
Ved å trunkere overføringsfunksjonene ved 4 MHz og Fouriertransformere dem ved hjelp av IFFT-rutinen i Matlab, ble det oppnådd impulsresponser som i figur 2.16 og 2.17. Kvartbølgetaket så ut til å gi den bredeste resonansen og den korteste impulsresponsen.



Figur 2.14: Overføringsfunksjoner fra spenning inn på det piezoelektriske elementet til partikkelfart på kildens overflate. Absoluttverdi og fase, uten frontlag.

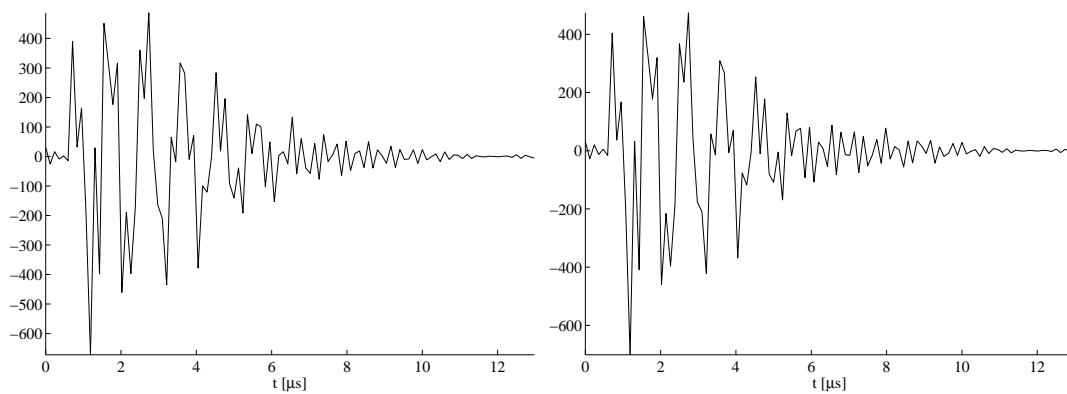


Figur 2.15: Overføringsfunksjoner fra spenning inn på det piezoelektriske elementet til partikkelfart på kildens overflate (utenpå koblingslaget). Heltrukken kurve: $\ell_k = 3\lambda_k/4$, 29% Cu. Stiplet kurve: $\ell_k = 1\lambda_k/4$, 60% Cu. Prikket kurve: $\ell_k = 3\lambda_k/4$, ren Araldite.



Figur 2.16: Beregnet impulsrespons for kilde som stråler i vann.

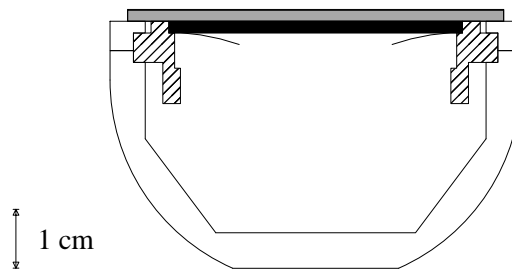
Til venstre: Uten koblingslag, til høyre: Koblingslag med tykkelse $\lambda/4$ og 60% Cu (4,5 MRayl)



Figur 2.17: Beregnet impulsrespons for kilde som stråler i vann. Til venstre: Koblingslag med tykkelse $3\lambda/4$, ren Araldite, til høyre: $3\lambda/4$, 29% Cu (3,4 MRayl)

2.4 Sammensetning av transduseren

Lydkilden ble laget av messing, med en plastring (POM) for oppheng og elektrisk isolasjon av det piezokeramiske elementet. Bak elementet ble det laget rom til en eventuell enhet for elektrisk impedanstilpasning. De viktigste delene av transduseren er skissert på figur 2.18.



Figur 2.18: Snitt gjennom transduseren. Viktige deler: Koblingslag, piezoelektrisk element (svart), messingshim for elektrisk tilkobling, plastring som holder elementet (skravert), ytre messingring, halvkuleformet bakre del av messing.

2.4.1 Montering av elementet

Sideflaten på den piezokeramiske skiven ble limt til plastringen ved hjelp av Sikaflex. Mellom elementets bakside og plastringen ble det lagt en ring av 0,25 mm messingfolie ("shim") for elektrisk tilkobling (figur 2.19). I tidligere transduserkonstruksjoner med luftbacking har det av og til vært loddet en tynn leder til baksiden av skiven, som har vært utsatt for varmeutvikling. Dette problemet var det viktig å unngå på grunn av etanoldampen og den eventuelle brannfaren i SOBER-tanken. Som en ekstra sikkerhet ble det laget et hull på baksiden av transduseren for fylling av nitrogen, slik at en eksplosiv gassblanding i rommet bak elementet kunne forebygges.

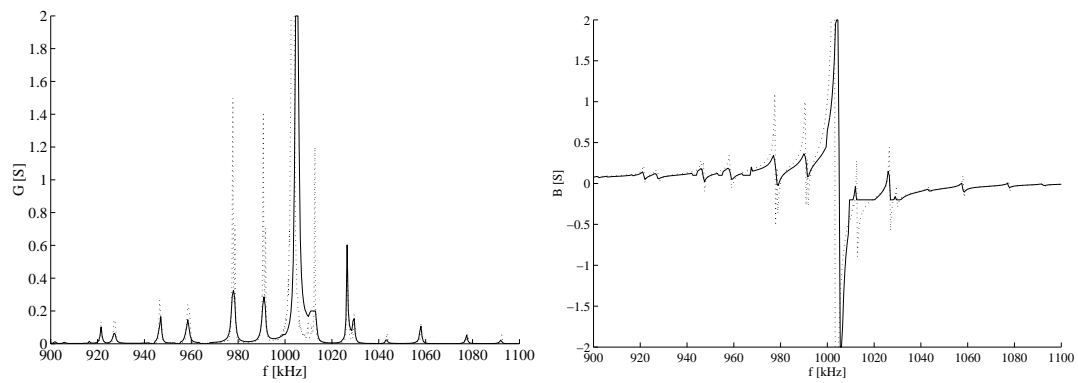
Sikaflex ble også benyttet mellom plast- og messingringene i forkant av transduseren. Etter montering av elementet (figur 2.21), endret admittansen seg som vist i figur 2.20.

For de løse skivene ble ikke impedansanalysatoren nulljustert ved åpen og lukket krets. Dette ga måleverdier som var større enn analysatorens nominelle maksimalverdi på 2 S. Begrensningen på måleområdet er årsaken til at konduktansen i tykkelsesmoden blir "kuttet" i figur 2.20, der nullkalibrering ble benyttet. I dette siste tilfellet, og for impedansmålingene i resten av denne oppgaven, ble

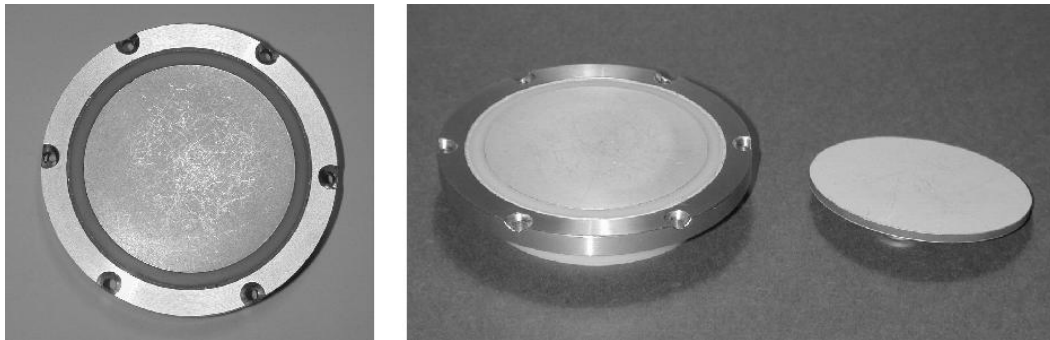
målingen foretatt i to omganger, da frekvensene under og over 1 MHz tilhører hvert sitt gyldighetsområde for kalibrering.



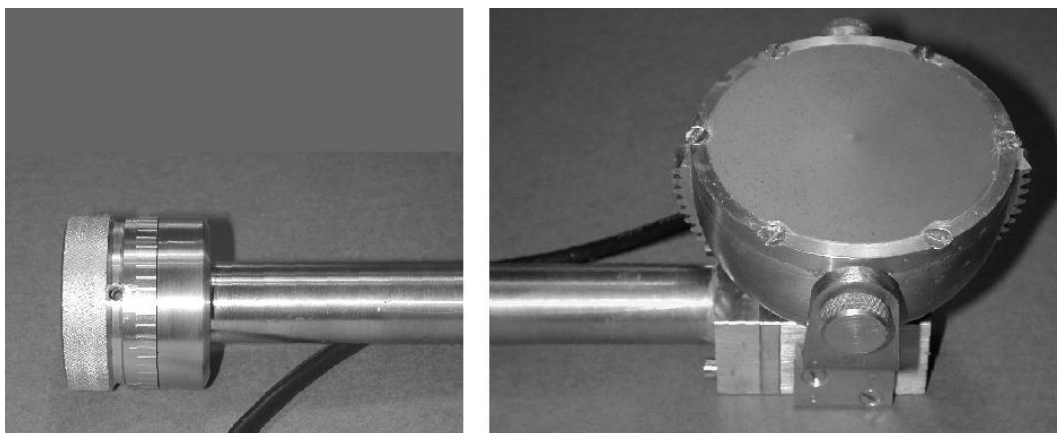
Figur 2.19: Elektrisk tilkobling til baksiden av elementet.



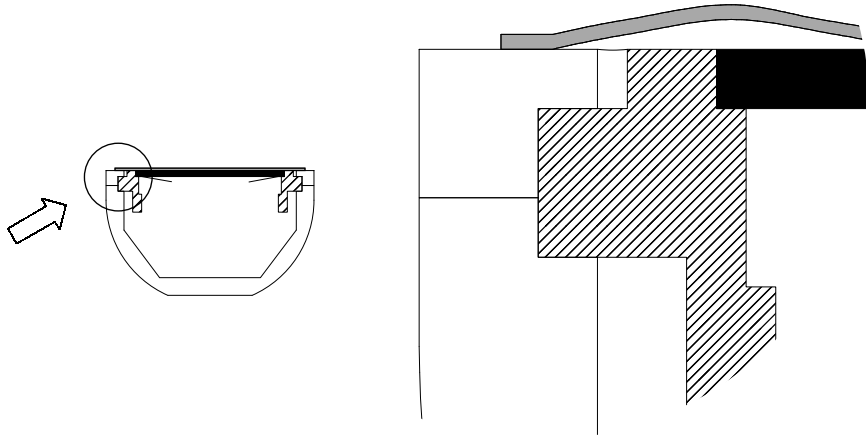
Figur 2.20: Konduktans og susceptans. Heltrukken kurve: Element 5D montert i plast-ring, stiplet: Element 5D før montering.



Figur 2.21: Til venstre og i midten: Fronten til transduseren før påliming av bladgull og støping av koblingslag, til høyre en av de piezokeramiske skivene.



Figur 2.22: Den ferdige lyd-kilden med kvartbølge-lag.



Figur 2.23: Kwartbølgelaget løsnet fra transduseren der det var lagt bladgull.

2.4.2 Mekanisk koblingslag

Det ble valgt å støpe koblingslag av Araldite og kobberpulver direkte på kildens forside. Tykkelsen ble justert ved hjelp av en dreiebenk etter at støpemassen var stivnet. Plastringen ble brukt som referanse under dreiningen, og det var monteringen av elementet i denne som ga det viktigste bidraget til ubestemtheten i frontlagets tykkelse.

Det første frontlaget som ble støpt på kilden, var et kvartbølgelag med 60% kobber. Før støpingen ble det lagt bladgull i en sirkel, fra messingringen og ca. 5 mm inn på elementets fremre elektrode. Bladgullet ble limt fast ved hjelp av strømlende maling (Grace Eccocoat CC2). Etter en kort periode i drift, trengte det inn vann mellom bladgullet og sølvmalingen. Frontlaget mistet dermed den mekaniske kontakten med transduseren rundt hele elementets ytterkant (figur 2.23).

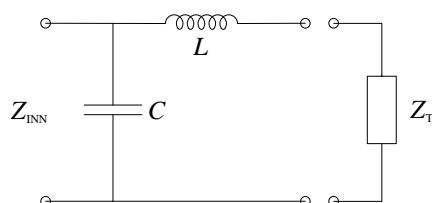
Kwartbølgelaget ble erstattet av et 3/4 bølgelengde tykt koblingslag av Araldite med 23% kobber. I stedet for å legge bladgull langs hele ytterkanten av det piezokeramiske elementet, ble det lagt seks halvcentimeter-brede striper i radiell retning, fra messingringen og 5 mm inn på elementet. En skive av transparent-plast ble deretter lagt slik at den dekket plast- og messingringene, men ikke det piezokeramiske elementet. Dette ble gjort for å hindre skjærkrefter fra de passive delene av transduseren i å virke på frontlaget. For å hindre vanninntrengning mellom messingringen og den nye plastskiven, ble det lagt myk silikon rundt kanten av koblingslaget.

2.4.3 Elektrisk impedanstilpasning

Den utstrålte effekten fra kvartbølgelaget ble økt ved hjelp av et forenklet π -filter. Siden elementet representerte en kapasitiv last i det interessante frekvensområdet, ble kondensatoren på transducersiden av filteret tatt bort (figur 2.24).

Tabell 2.6: Parameterne som ble brukt ved tilpasning av Mason-modellen til målte admittanser.

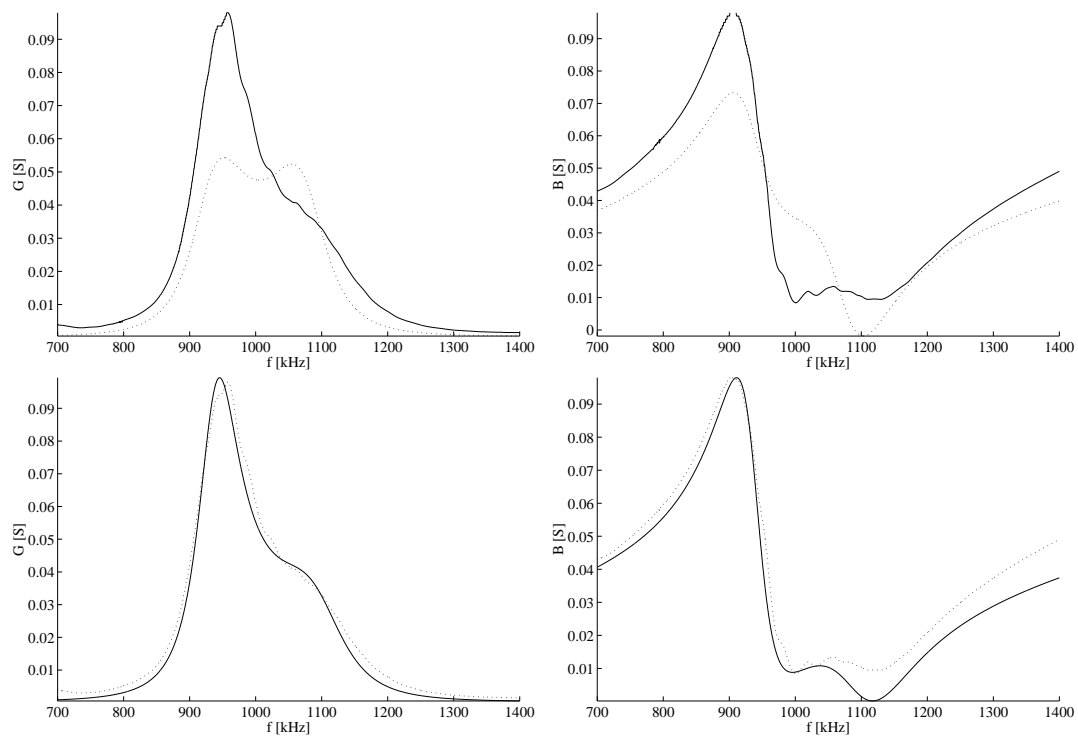
		Kvartbølgelag		3/4-bølgelag	
		Opprinnelig	Tilpasset	Opprinnelig	Tilpasset
c_{33}^D	[10^{11} N/m ²]	1,57	1,6	1,57	1,6
ε_{33}^S	[10^{-9} C/Vm]	6,7	6,4	6,7	5,8
e_{33}	[C/m ²]	14,9	16	14,9	15,5
ℓ_k	[mm]	0,466	0,385	1,676	1,615
z_k	[MRayl]	4,5	5,1	3,3	3,3
φ_m		0,60	0,68	0,23	0,23



Figur 2.24: Modifisert π -filter.

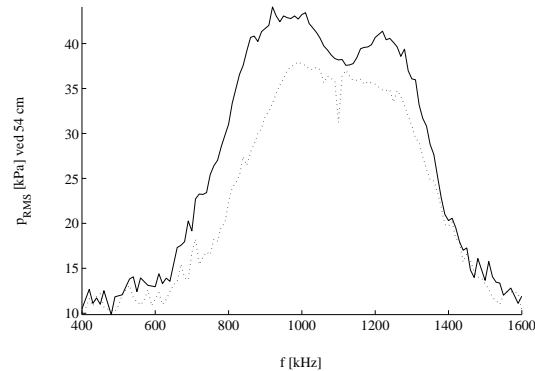
Transduserens admittans ved lydstråling i vann ble målt ved hjelp av impedansanalysatoren, og parameterne i Mason-modellen ble endret for å få et simuleringresultat som passet bedre med det målte (tabell 2.6). Figur 2.25 viser tilpasningen som ble gjort for trekvart-bølgelaget. Den tilpassede simuleringen ble brukt til å estimere de verdiene for L og C som ga en minst mulig susceptans og en resistans nærmest mulig 50Ω ved transduserens serieresonans.

Tilpasningskretsen ble finjustert ved å se eksperimentelt på hvilke komponentverdier som ga den største utstrålte lydampplituden. For kvartbølgelaget ble induktansen satt til $6,6 \mu\text{H}$, og det ble brukt en kondensator på $4,7 \text{ nF}$. I tilfellet med trekvart-bølgelag ble den beste frekvensresponsen oppnådd uten en elektrisk koblingsenhet. Driftsfrekvensen ble i det siste tilfellet økt fra en til $1,1 \text{ MHz}$ for å få høyest mulig effekt ut av systemet og samtidig beholde en tilstrekkelig kort transientrespons.



Figur 2.25: Øverst: Admittans for transduseren med 3/4-bølgelag, målt (—) og forventet (···). Nederst: Samme måleverdier, men med endrede parametere i Mason-simuleringen (tabell 2.6).

Figur 2.26 viser trykkamplituder på akse 54 cm fra lydkilden med kvartbølgelag, med og uten den elektriske impedanstilpassningsenheten som ble brukt ved målinger på lydfeltet.



Figur 2.26: Målt lydtrykk på akse 54 cm fra kilden med kvartbølgelag. Med (—) og uten (···) elektrisk koblingsenhet.

2.4.4 Posisjonering

Kilden ble montert med mulighet for vertikal forskyvning og rotasjon. Dreiningen ble gjort ved hjelp av et snekkehjul på transduserens bakside (figur 2.22). Inne i holderen på baksiden av transduseren, ble det montert en snekkeskrue som kunne roteres ved hjelp av en aksling i holderens 55 cm lange rør. På denne måten kunne man fra toppen av røret rotere transduseren vertikalt med en toleranse på en tidels grad.

2.5 Måling av lydfelt

2.5.1 Instrumentoppstilling

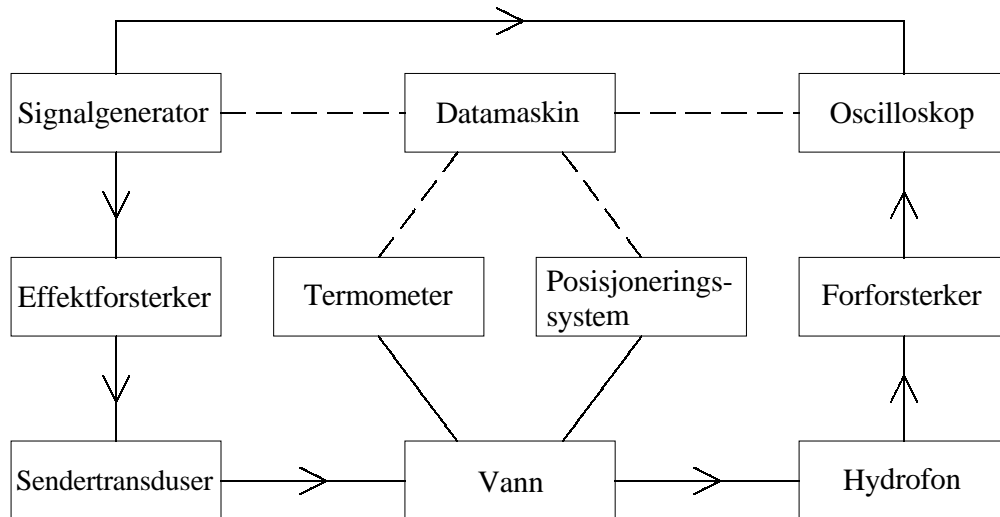
Strålingsfeltet ved lav amplitude ble undersøkt for begge de to koblingslagene som ble brukt i oppgaven, og med 3/4-bølgelaget ble det også målt på ikke-lineære lydfelt. Det ble gjort målinger i to tanker. Måleoppsettet i tank 1 er beskrevet i detalj av Kippersund [37]. I tank 2 ble det brukt en annen hydrofon, men måleoppstillingen ellers var den samme. Den siste tanken var bygget spesielt for SOBER-eksperimentet. Tabell 2.7 og figur 2.27 gir en oversikt over de benyttede instrumentene.

Tabell 2.7: Instrumenter som ble brukt ved undersøkelse av lydfeltet fra transduseren.

Felles	
Datamaskin	Compaq PC med Matlab 4.2 og GPIB-kort
Funksjonsgenerator	HP 33120A
Effektforsterker	ENI 240L, 50 dB
Sendertransduser	Laget i denne oppgaven
Oscilloskop	LeCroy 9350
Termometer	ASL F250
Kabler	RG-58, spesifikk impedans 50 Ω
Oppsett 1	
Vanntank	Glass, lengde 198 cm, bredde 48 cm, høyde 102 cm
Hydrofon	GEC-Marconi Y-34-3598 PVDF membranhydrofon
Posisjoneringssystem	Coradi (Styringsystem av Hobæk og Lien)
Forforsterker 40/60 dB	Panametrics 5660B
Oppsett 2	
Vanntank	Glass, lengde 270 cm, bredde 50 cm, høyde 70 cm
Hydrofon	Precision Acoustics PVDF nålhydrofon
Posisjoneringssystem	Coradi (Hobæk, Lien og Fardal)
Likespenningskilde	Mascot 719

Måleoppsettet besto av en vanntank, en hydrofon montert i et posisjoneringssystem, lydkilden, senderelektronikk, mottagerelektronikk, et termometer og en PC. Datamaskinen styrte instrumentene og posisjoneringssystemet gjennom GPIB. Måledataene fra oscilloskopet og termometeret ble på samme måte hentet inn og lagret. Programmeringen av måleseriene ble gjort i Matlab 4.2. Programmer av Hobæk, Berge og Kippersund ble brukt i forbindelse med styring av eksperimentet og til datainnsamling.

For å unngå at refleksjoner fra vanntankenes vegger skulle påvirke det målte



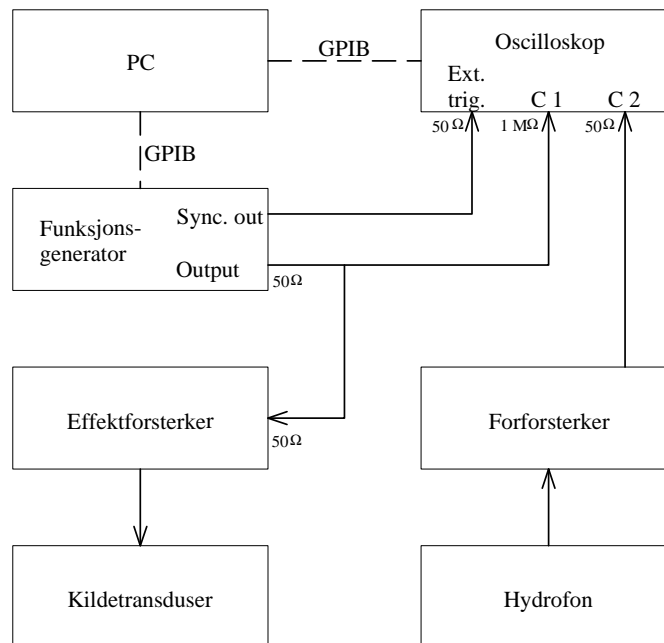
Figur 2.27: Skisse av signalgangen mellom instrumentene i tabell 2.7. Stiplede linjer er GPIB-forbindelser. Pilene viser signalenes gangretning gjennom koaksialkabler og i vannet.

signalet, ble det brukt sinus-pulser ("bursts") med varighet på 20–30 perioder. Signalet fra funksjonsgeneratoren kunne justeres i amplitude fra $50 \text{ mV}_{\text{P-P}}$ til $10 \text{ V}_{\text{P-P}}$. Det ble videre forsterket av en ENI 240L effektførsterker.

Kildetransduseren ble plassert midt på vanntankens ene kortside og rettet inn med tanke på å gjøre lydaksen mest mulig parallell med posisjoneringssystemets z -akse. Posisjoneringsystemet som flyttet hydrofonen rundt i tank 1, var utstyrt med tre stegmotorer som flyttet hydrofonen i x -, y - og z -retning. z -aksen ble valgt i tankens lengderetning, x -aksen horisontalt på tvers av lydaksen, og y -aksen i vertikal retning. Stegmotorene på y - og z -aksene hadde i begge tankene 1:10-girutvekslinger som økte nøyaktigheten. Avstanden hydrofonen ble forflyttet for hvert steg er satt opp i tabell 2.8. I oppsett 1 kunne hydrofonen plasseres hvor som helst i tanken, mens bevegelsen i tank 2 var begrenset i z -retning til mellom 84 cm og 250 cm fra kilden. Tank 2 manglet også stegmotor for forflytning i x -retningen.

I den første tanken ble det brukt en bilaminær PVDF-membranhydrofon. Den besto av to sirkulære, $25 \mu\text{m}$ tykke membraner, med et aktivt område i sentrum med diameter 0,5 mm. I denne oppgaven ble det brukt kalibreringsdata fra fabrikanten (29.03.1995) [38], der det er oppgitt mottakerfølsomhet M_C ,

resistans R og reaktans X for hver hele MHz fra 1 til 20.



Figur 2.28: Koblingsskjema for de viktigste instrumentene i måleoppsettet. De stiplede linjene representerer GPIB-forbindelser, mens de heltrukne viser koblinger gjort med koaksialkabler. Med unntak av forbindelsen mellom membranhydrofonen og forforsterkeren, er alle koaksialkablene av typen RG-58.

Tabell 2.8: Forflytning pr. steg for de to posisjoneringssystemene.

	x -retning [mm/steg]	y -retning [mm/steg]	z -retning [mm/steg]
Oppsett 1	0,098	1/320	1/24
Oppsett 2	–	0,003125	1/24

Når membranhydrofonens utgang belastes med en impedans $Z_{\text{EL}} = R_{\text{EL}} + iX_{\text{EL}}$, blir den resulterende mottakerfølsomheten [38]

$$M_{\text{L}} = M_{\text{C}} \sqrt{\frac{|Z_{\text{EL}}|^2}{|Z_{\text{EL}} + Z|^2}}.$$

Z er her impedansen over hydrofonens utgang, og M_{C} er fritt felts-mottakerfølsomheten for åpen krets. I kalibreringstabellen er denne oppgitt i enden av hydrofonens 71 cm lange kabel.

Hvis hydrofonens og lastens impedanser ses på som rent kapasitive, kan uttrykket over forenkles til

$$M_{\text{L}} \approx M_{\text{C}} \frac{C}{C + C_{\text{EL}}}, \quad (2.1)$$

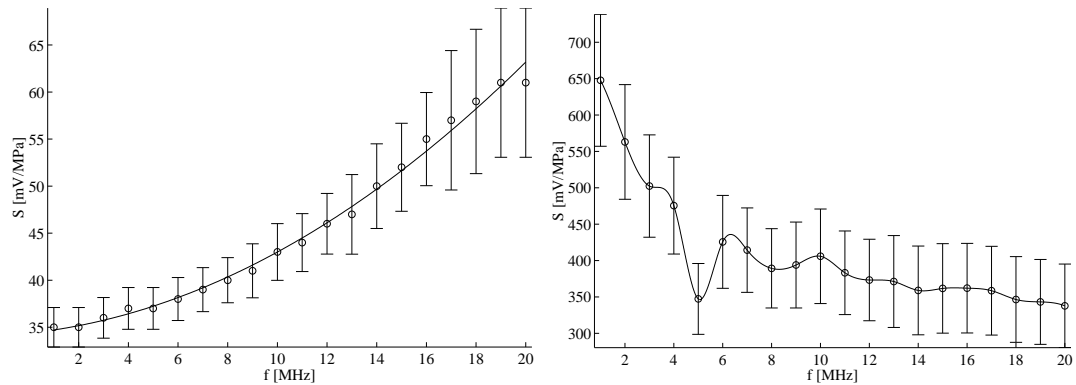
der $C \approx -1/(\omega X)$ og C_{EL} er kapasitansene i henholdsvis hydrofonen og kretsen som belaster den.

Ligning (2.1) ble brukt for å kompensere for lasten fra forforsterkeren der denne ble brukt, og ellers fra en signalkabel og oscilloskopet. På hydrofonens mottakerfølsomhet og reaktans ble det brukt henholdsvis polynomapproximasjon og spline-interpolasjon for å oppnå interpolerte verdier (figur 2.29 og 2.30).

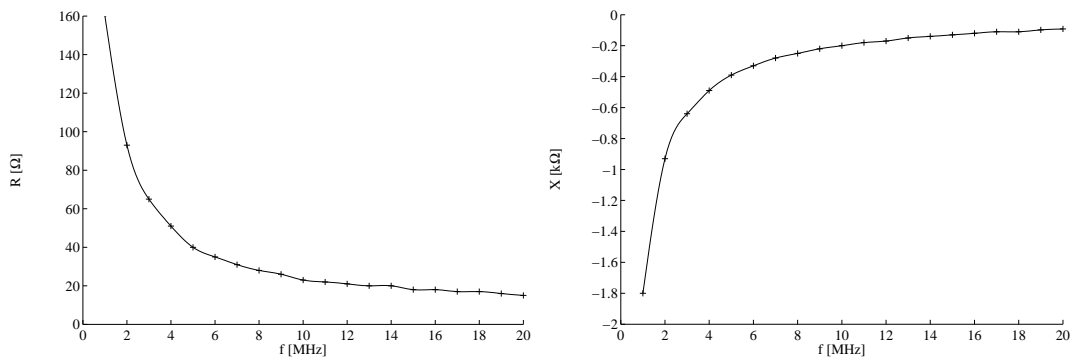
Forforsterkeren av typen Panametrics 5660B hadde liten båndbredde [37], og ble derfor bare brukt ved målinger på lydfelt med lav amplitude. Forsterkingen ved 1005 kHz og 1100 kHz ble målt ved hjelp av LeCroy-oscilloskopet. Inngangssignalet ble laget ved hjelp av signalgeneratoren og en dempeenhet med utgangsimpedans 50Ω . Målingene ble gjort med faste oscilloskop-innstillinger, 2 mV/DIV for inngangsspenningen og 10 mV/DIV på forsterkerens utgang (50Ω). Resultatene er vist i figur 2.31.

Hydrofonen som ble brukt i oppsett 2, var en Precision Acoustics nålhydrofon. Det aktive området i enden av nålen var av $28 \mu\text{m}$ tykk PVDF og hadde diameter 0,5 mm. En 8 dB forforsterker var integrert i hydrofonen, og ble drevet ved hjelp av en likespenningskilde. Utgangsimpedansen fra forforsterkeren var 50Ω . Kalibreringsdata fra produsenten var oppgitt i området 1 MHz–20 MHz [39]. Følsomheten er plottet i figur 2.29.

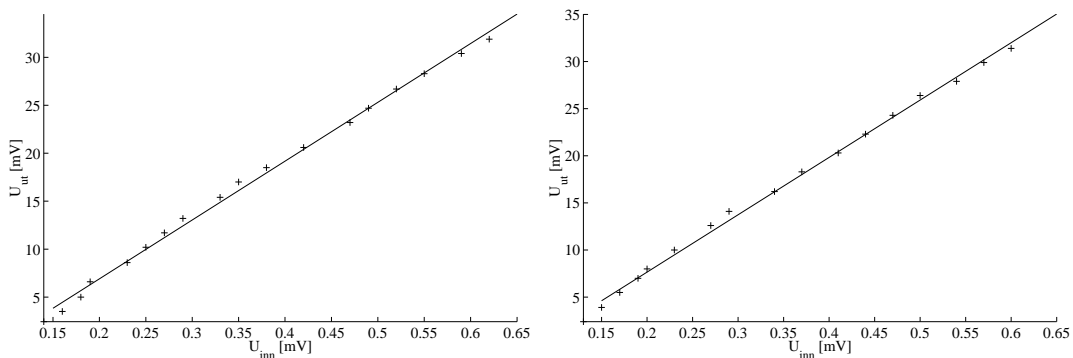
Til datainnsamling ble det brukt et LeCroy 9350 digitalt oscilloskop med 500 MHz samplingfrekvens. Oscilloskopet mottok et triggesignal fra funksjonsgeneratoren, som sammen med lydfarten og posisjoneringssystemets z -koordinat



Figur 2.29: Oppgitt mottakerfølsomhet for hydrofonene med ubestemtheter og tilpassede kurver. Til venstre: GEC Marconi membranhydrofon, åpen krets. Til høyre: Precision Acoustics nålhydrofon, 50Ω .



Figur 2.30: Oppgitt impedans for membranhydrofonen (resistans t.v. og reaktans t.h.).



Figur 2.31: Til venstre: Panametrics-forforsterkerens amplituderrespons ved 1005 kHz, målte punkter og tilpasset kurve (minste kvadraters metode). Kryssenes utstrekning viser ubestemtheten ved avlesning av oscilloskopet. Til høyre: Tilsvarende ved 1100 kHz.

ble brukt til å finne det ønskede utsnittet av lydimpulsen. Lengden av de lagrede bølgeformene var 502 punkter, og det ble brukt 8-bits oppløsning. Oscilloskopets måleområde ble for hver enkelt måling justert til det minste som omsluttet hele bølgen.

Et digitalt termometer ble brukt for å overvåke temperaturen i vannet under noen av målingene.

Figur 2.28 viser hvordan de viktigste instrumentene var koblet sammen. Forforsterkeren som er tegnet inn mellom hydrofonen og oscilloskopet, ble bare brukt sammen med membranhydrofonen.

2.5.2 Strålingsfelt ved lav amplitude

Det ble gjort en rekke målinger i transduserens strålingsfelt, både langs lydaksen og i plan normalt på den. I tank 2 var det ikke mulig å bevege hydrofonen i x -retning. Målingene som ble gjort på tvers av lydaksen i denne tanken, ble tatt langs vertikale linjer.

Ved bruk av kvartbølgelaget ble signalet inn på effektforsterkeren satt til $100 \text{ mV}_{\text{P-P}}$. 3/4-bølgelaget ga en noe større kildefølsomhet, og siden det ble observert en viss forvrengning av de målte lydbølgene, ble amplituden i det siste tilfellet redusert til $80 \text{ mV}_{\text{P-P}}$. Den elektriske impedanstilpasnings-enheten ble brukt ved alle målinger på feltet fra kvartbølgelaget. Inngangssignalets frekvens var 1005 kHz for kvartbølgelaget og 1100 kHz for trekvart-bølgelaget.

2.5.3 Ikkelineære lydfelt

Trykket langs lydaksen ble målt ved ulike amplituder. Feltet på tvers av aksene ble også undersøkt ved utvalgte amplituder og avstander fra kilden. Det ble brukt sinus-pulser med varighet på 25 perioder i tank 1, og 30 perioder i tank 2.

Tabell 2.9: Inngangsamplituder for effektforsterkeren ved undersøkelse av ikkelineære lydfelt. Antall pulser det ble midlet over i hvert tilfelle.

Målesett nr.	Amplitude [$\text{mV}_{\text{P-P}}$]	Pulser
1	200	10
2	300	10
3	400	5
4	600	10

I hver posisjon ble et utsnitt på $5 \mu\text{s}$ av lydbølgen lagret. Hvert av de 502 punktene ble midlet over et antall pulser (tabell 2.9). Ved beregning av bølgens Fouriertransform ble signalet kortet ned til 454 punkter, for å oppnå kontinuitet i den periodiske utvidelsen. Dette reduserer frekvenslekkasjen ved diskret Fouriertransformasjon (DFT) [40],[41].

DFT-algoritmen i Matlab ble brukt for å dekomponere de ikkelineære bølgeformene. Transformasjonen er definert som [42]

$$X_k = \sum_{n=1}^N x_n e^{-j \frac{2\pi(k-1)(n-1)}{N}}, \quad k = 1, 2, \dots, N, \quad (2.2)$$

der N er signalets lengde. Det diskrete signalet x_n , tatt ved tidspunktene $t_n = t_0 + n \Delta t$, kan uttrykkes ved den reelle Fourierrekken

$$x_n = a_0 + \sum_{k=1}^{N/2} \left(a_k \cos \frac{2\pi k t_n}{N \Delta t} + b_k \sin \frac{2\pi k t_n}{N \Delta t} \right), \quad (2.3)$$

der koeffisientene er gitt ved Fouriertransformen (2.2) som

$$a_0 = \frac{X_1}{N}, \quad a_k = \frac{2 \operatorname{Re}\{X_{k+1}\}}{N}, \quad b_k = -\frac{2 \operatorname{Im}\{X_{k+1}\}}{N}.$$

Ved hjelp av relasjonen $\sin(g + h) = \sin g \cos h + \sin h \cos g$, kan ligning (2.3) skrives om til

$$x_n = c_0 + \sum_{k=1}^{N/2} c_k \sin\left(\frac{2\pi k t_n}{N \Delta t} + \gamma_k\right) = c_0 + \sum_{k=1}^{N/2} c_k \sin(\omega_k t_n + \gamma_k), \quad n = 1, 2, \dots, N,$$

der amplituden c_k og fasen γ_k for hver frekvenskomponent er gitt ved

$$c_0 = a_0 = \frac{X_1}{N}, \quad c_k = \frac{2}{N} |X_{k+1}|, \quad \gamma_k = -\tan^{-1} \frac{\operatorname{Re}\{X_{k+1}\}}{\operatorname{Im}\{X_{k+1}\}}, \quad k = 1, 2, \dots, N/2, .$$

$\omega_k = 2\pi \frac{k}{N \Delta t}$ er frekvensen som tilsvarer den k 'te DFT-komponenten.

Hver harmoniske frekvenskomponent ble korrigert for hydrofonens følsomhet. Ved bruk av membranhydrofonen ble det tatt hensyn til den kapasitive lasten fra signalkabelen og oscilloskopet [38].

2.6 Endelig differanse-simulering av lydfelt

2.6.1 Den transformerte bølgeligningen

Det ble forsøkt å oppnå samsvar mellom Bergenkoden og de målte lydfeltene fra transduseren. Ligningen som passet best for problemet, var den transformerte bølgeligningen for plane og svakt fokuserende kilder (TBE, avsnitt 1.4.1). Ligningen ble løst med en plan stempelkilde som startbetingelse. Det ble ikke gjort viktige endringer i koden, som er listet i appendiks A (`tbe_plan_fok.f`).

Alternative kildebetingelser

Kildebetingelsen for den transformerte bølgeligningen spesifiseres i et plan, og en svakt kurvet kilde kan representeres ved en ekvivalent plan kildebetingelse. Ved å se bort fra ikkelineære effekter mellom kilden og planet der startbetingelsen blir beregnet, kan man utlede den Fresnel-approximerte ekvivalente kildebetingelsen for en svakt kurvet kilde [43],

$$U(x) \sim u_s(x) e^{-ik\frac{x^2}{2d}}. \quad (2.4)$$

Her er U den ekvivalente plane kildebetingelsen, u_s partikkelhastigheten på kildens overflate, d kildens krumningsradius og k bølgetallet. Ved innsetting av den normaliserte avstanden fra symmetriaksen, $\xi = |\boldsymbol{\xi}| = |\mathbf{x}|/a$ der a er kilderadien, og den første ordens relasjonen $p_s = \rho_0 c_0 u_s$, kan man skrive (2.4) på formen

$$P(\xi) \sim p_s(\xi) e^{-ika^2\frac{\xi^2}{2d}}.$$

Et tilsvarende uttrykk finnes i J. N. Tjøtta og S. Tjøtta [24]. Bergenkoden ble kjørt med store d uten at man fikk resultatet til å nærme seg det for en plan kilde. Det ble forsøkt på ulike måter å kompensere for koordinattransformasjonen, uten at resultatet ble tilfredsstillende.

Det ble også forsøkt å løse KZK-ligningen med utgangspunkt i det målte feltet nær kilden. For 200, 300, 400 og 600 mV_{P-P} inngangsamplitude på effektforsterkeren, ble lydfeltet målt langs en linje vinkelrett på lydaksen. Avstanden fra linjen til kildeplanet var 29 mm. Måleresultatet ble normalisert og satt inn som startbetingelse i ligningen (`tbe_maalt.f`).

Verken den fokuserende/defokuserende eller den målte kildebetingelsen førte fram til et resultat som kunne konkurrere med beregningene for en plan stempelkilde. Det ble derfor ikke prioritert å behandle resultatene fra disse simuleringene videre.

2.6.2 MME og TEFB

Under forberedelsene av oppgaven ble det også eksperimentert med en versjon av Bergenkoden som tillater sterkere fokusering. Denne implementasjonen opererer med to ligninger; MME i den umiddelbare nærheten av kilden, og TEFB på resten av regneområdet. Overgangen mellom de to koordinatsystemene ble gjort ved hjelp av kubisk spline-interpolasjon i planet. Da NAG-programmene som opprinnelig ble brukt i interpolasjonen ikke lenger var tilgjengelige for instituttet, ble ACM-rutinen `itplbv.f` tatt i bruk som erstatning. På grunn av denne endringen er koden tatt med i appendiks A (`mbe_tefb.f`).

Kapittel 3

Resultat

3.1 Transduserens lineære strålingsfelt

3.1.1 Transientresponser

Rektangulære 10 perioders sinus-burster ble påtrykt kilden, og lydimpulser ble undersøkt for de to koblingslag-alternativene. Signalet inn på effektforsterkeren hadde peak-to-peak-amplitude 100 mV. Målingene ble gjort i vanntank 1 (figur 3.1), med membranhydrofon og forforsterker.

Med kvartbølgelag og elektrisk impedanstilpasning oppnådde transduseren fullt utslag etter omtrent tre perioder ved 1005 kHz. Bølgen så ut til å ha en oscillerende omhylningskurve, noe som kan tyde på en noe uren svingemodus. Signalet døde ut ca. fire perioder etter at inngangssignalet hadde opphørt.

3/4-bølgelaget ga større stighetid enn kvartbølgelaget (fem perioder), mens svingningene døde ut litt raskere.

3.1.2 Feltet langs lydaksen

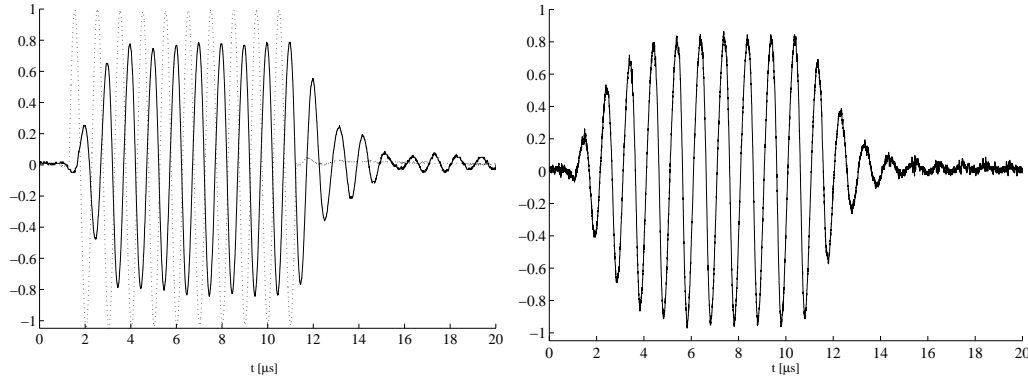
Figur 3.2 viser det målte RMS-lydtrykket på aksene med henholdsvis kvartbølge- og trekvart-bølge- og koblingslag.

Kurven som har sitt siste maksimum lengst mot venstre, er for kvartbølgelaget ved 1005 kHz og amplitude 100 mV_{P-P} inn på effektforsterkeren.

Den andre kurven i figur 3.2 viser aksetrykket fra transduseren med 3/4-bølgelag. Kildefølsomheten ble høyere enn med kvartbølgelaget, selv om det her ikke ble gjort noen elektrisk impedanstilpasning. På grunn av begynnende ikkelineær oppførsel i lydfeltet, var inngangsamplituden til effektforsterkeren redusert til 80 mV. Frekvensen som ble brukt med 3/4-bølgelaget var 1100 kHz.

Ut fra uttrykket for avstanden til første maksimum i aksefeltet fra en plan sirkulær stempelkilde (1.64), kan det beregnes en effektiv kilderadius

$$a_e = \sqrt{z\lambda} = \sqrt{\frac{z c_0}{f}}.$$



Figur 3.1: Bølgeformer på aksen, 33 cm foran kilden. Inngangssignalet på effektforsterkeren var en 10 perioders sinusbølge ("burst") med rektangulær omhylningskurve. Til venstre: Med kvartbølgelag og elektrisk impedansomformer, 1005 kHz. Til høyre: Med 3/4-bølgelag, 1100 kHz.

a_e er radien til en plan, sirkulær stempelkilde som gir siste maksimum på lydaksen i samme avstand som den virkelige lydilden. Tabell 3.1 viser de effektive kilderadiene som oppnås ved hjelp av måleverdiene i figur 3.2.

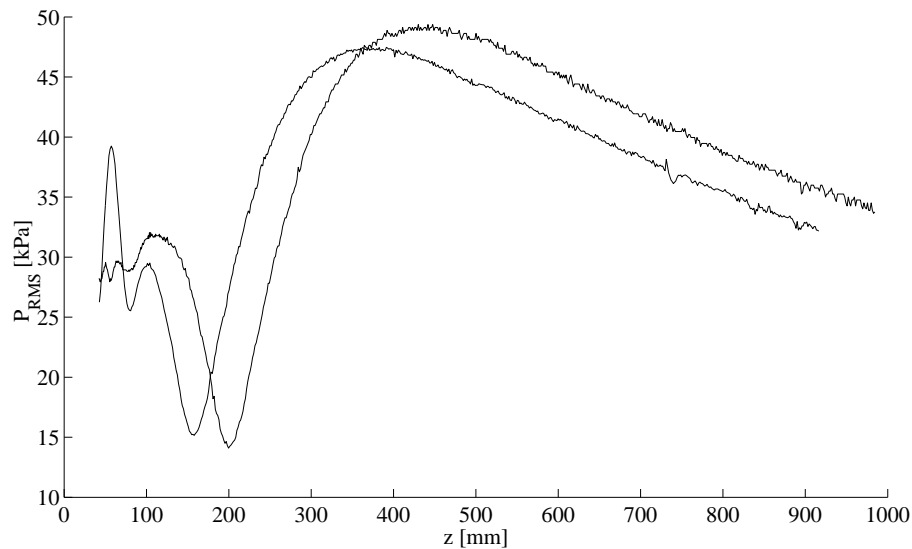
Tabell 3.1: Effektive kilderadier på grunnlag av det målte aksefeltet. Lydfarten c_0 er satt lik 1490 m/s.

Frontlag	z_1 [mm]	f [kHz]	a_e [mm]
$\lambda/4$	375 ± 10	1005	$23,6 \pm 0,3$
$3\lambda/4$	435 ± 10	1100	$24,3 \pm 0,3$

Ved hjelp av uttrykkene i ligning (1.67) og (1.68), kan man finne karakteristiske vinkler for fjernfeltet fra en plan stempelkilde med radius a_e . Verdiene er oppsummert i tabell 3.2. Hvis feltet fra trekvartbølgelaget ligner på det fra en plan, sirkulær stempelkilde med radius 24,3 cm, får hovedloben en bredde (minimum–minimum) på omkring 7 cm i to meters avstand fra kilden, og 10 cm ved tre meter.

Tabell 3.2: Karakteristiske vinkler for hovedloben til en plan stempelkilde med radius a_e .

	$\ell_k = \lambda/4$	$\ell_k = 3\lambda/4$
$\theta_{-3\text{dB}}$	$0,93^\circ \pm 0,01^\circ$	$0,82^\circ \pm 0,01^\circ$
$\theta_{-6\text{dB}}$	$1,28^\circ \pm 0,02^\circ$	$1,13^\circ \pm 0,02^\circ$
θ_1	$2,21^\circ \pm 0,03^\circ$	$1,95^\circ \pm 0,02^\circ$



Figur 3.2: Trykkamplituder langs lydaksen.

3.1.3 Feltet på tvers av aksen

Amplitude og fase ble målt i flere plan på tvers av lydaksen. Det ble brukt 47 punkter i hver retning, med en romlig oppløsning på 1,4 mm.

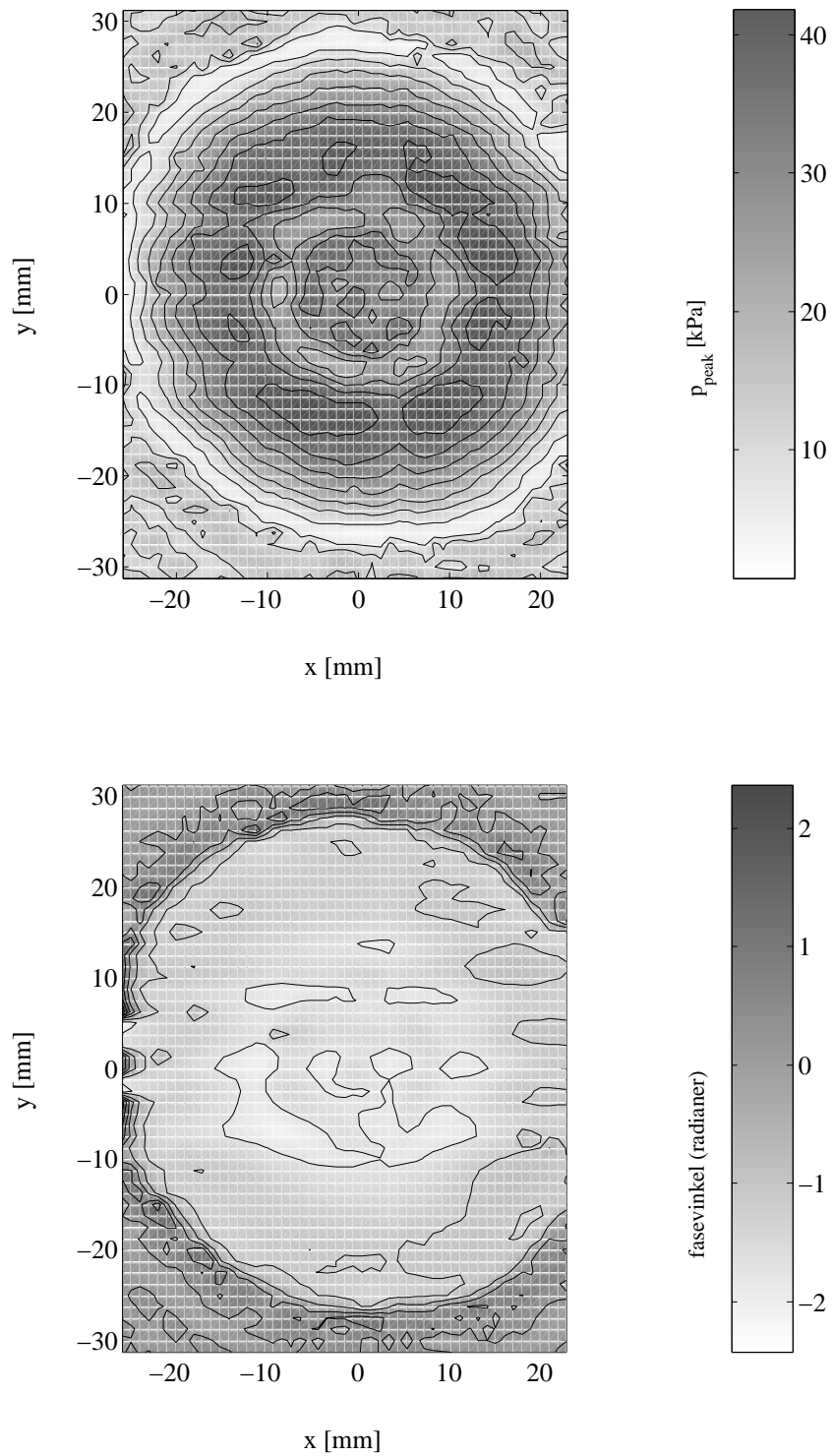
Amplituden og fasen som ble målt i planet 4,1 cm foran transduseren med kvartbølgelag og elektrisk tilpasningsenhet, er plottet på figur 3.3. Figur 3.4 viser amplitudedefordelingen ved 54 cm.

Etter at 3/4-bølgelaget var montert, ble amplitudedefordelingen noe mindre symmetrisk. Figur 3.6 viser amplitude og fase 4,1 cm fra kilden, og figur 3.7 viser det samme ved 75 cm.

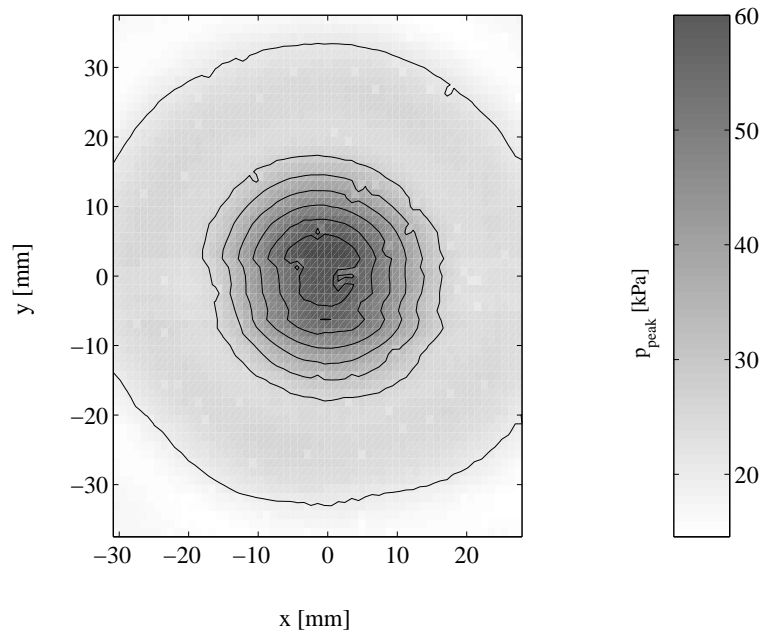
Målingene fra måleoppstilling 1 viser at fasen varierer periodisk med y -koordinaten med opptil en radian. Dette viste seg å skyldes en skjevhet i posisjoneringssystemet, som gjorde at hydrofonen beveget seg i z -retning når motoren for vertikal forskyvning ble kjørt. Ved 1100 kHz og lydfart 1483 m/s, tilsvarer en faseendring på 1 radian en forflytning på 0,2 mm.

Fasevariasjonen i vertikal retning ble målt på nytt i tank 2. Resultatene i avstand 149 cm og 214 cm fra kilden er vist i figur 3.8. Positiv retning på y -aksen er her nedover. Som det fremgår av figuren, ble den maksimale fasevinkelen målt et stykke nedenfor midten av strålingsfeltets hovedlobe. Dette tyder på at lydaksen og posisjoneringssystemets y -akse ikke sto helt vinkelrett på hverandre.

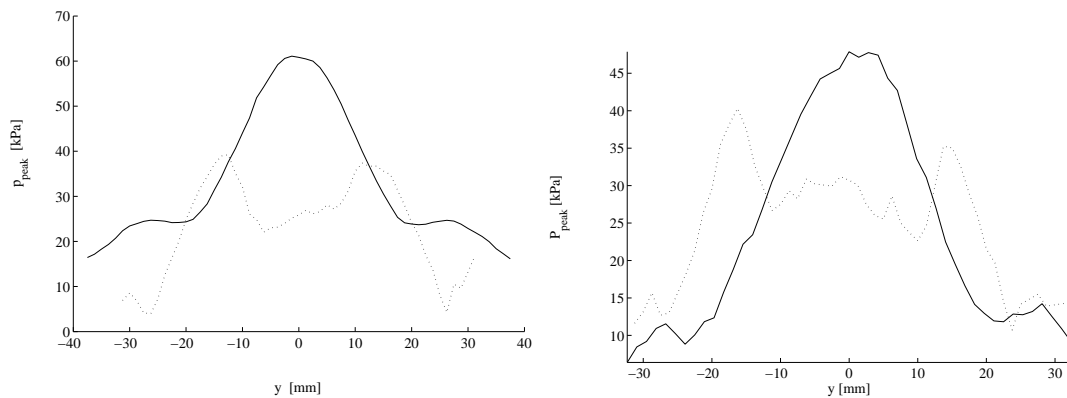
Man kan se små lokale maksima i fasen i nærheten av amplitudens minimalpunkter, der måleusikkerheten for fasen er størst. Ujevnhetenes avstand fra z -aksen øker med avstanden fra kilden på samme måte som for amplitudens minima. Det er derfor ikke sannsynlig at de er blitt forårsaket av feil i posisjoneringssystemet i måleoppsett 2.



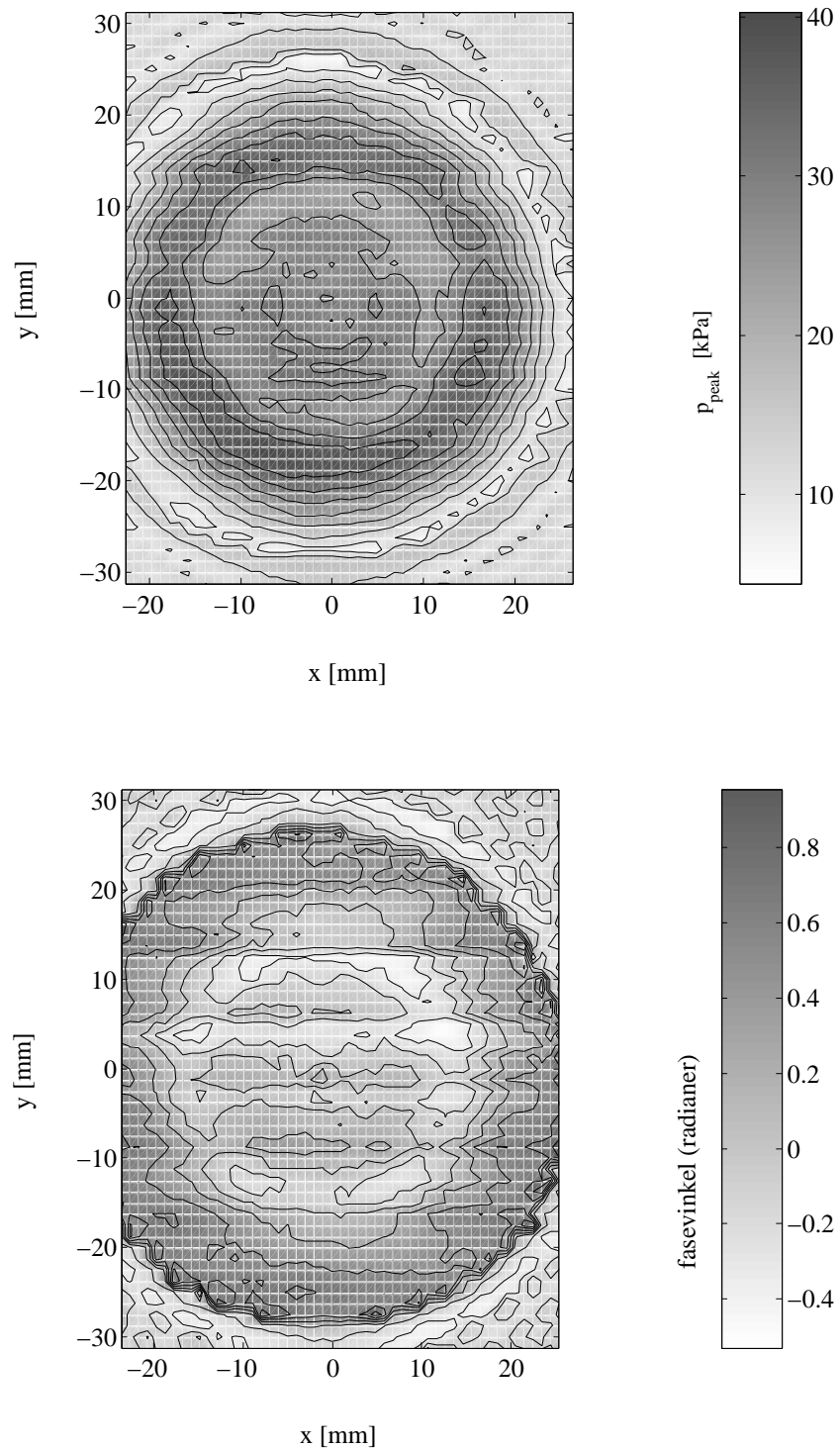
Figur 3.3: Kvartbølgelag, amplitude (øverst) og fase (nederst) for feltet i et plan på tvers av lydaksen, 4,1 cm foran kilden.



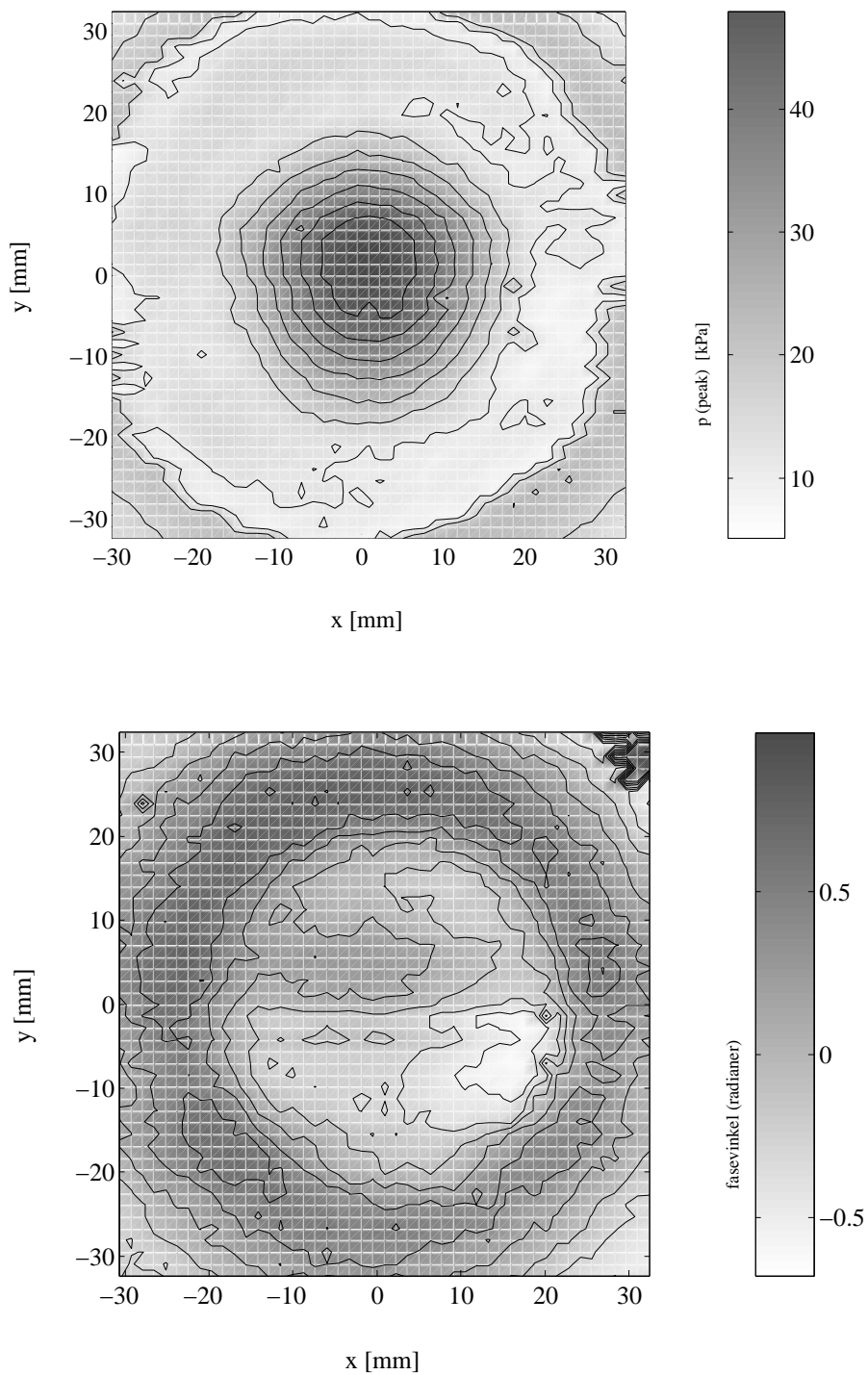
Figur 3.4: Kvartbølgelag, amplituden i lydfeltet i et plan på tværs af lydaksen, 54 cm foran kilden.



Figur 3.5: Amplitude på tværs af lydaksen. Til venstre: Kvartbølgelag, 4,1 cm (\cdots) og 54 cm (—) fra kilden. Til højre: Trekvartbølgelag, 4,1 cm (\cdots) og 75 cm (—) fra kilden.

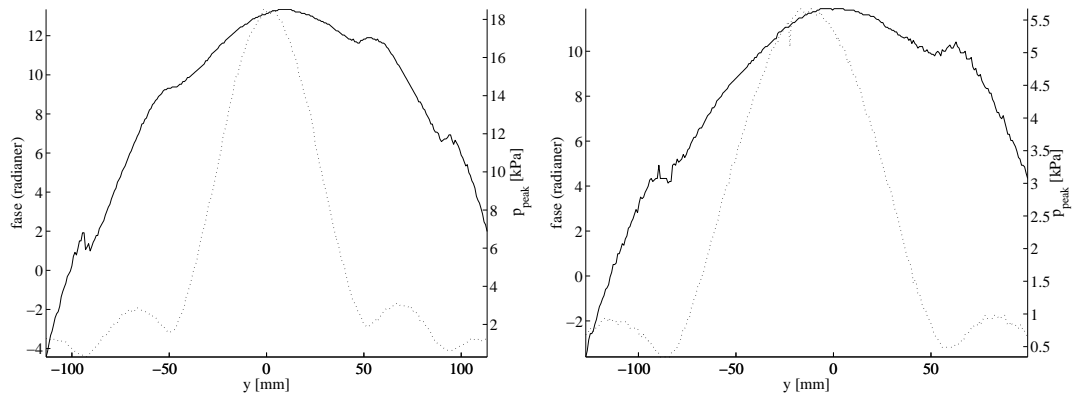


Figur 3.6: 3/4-bølgelag, amplitude (øverst) og fase (nederst) for feltet i et plan på tvers av lydaksen, 4,1 cm foran kilden.



Figur 3.7: 3/4-bølgelag, amplitude (øverst) og fase (nederst) for feltet i et plan på tvers av lydaksen, 75 cm foran kilden.

Bredden på hovedloben i figur 3.8 stemmer godt med direktiviteten som var forventet ut fra posisjonen til siste maksimum langs lydaksen (tabell 3.2). Dette styrker antagelsen om at strålingsfeltet ligner på det fra en plan stempelkilde med radius a_e .



Figur 3.8: Faser på tvers av aksen, målt i tank 2. Til venstre: 149 cm fra lydkilden, til høyre: 214 cm fra kilden. Den stiplede kurven viser trykkamplituden, mens den heltrukne viser fasevariasjonen.

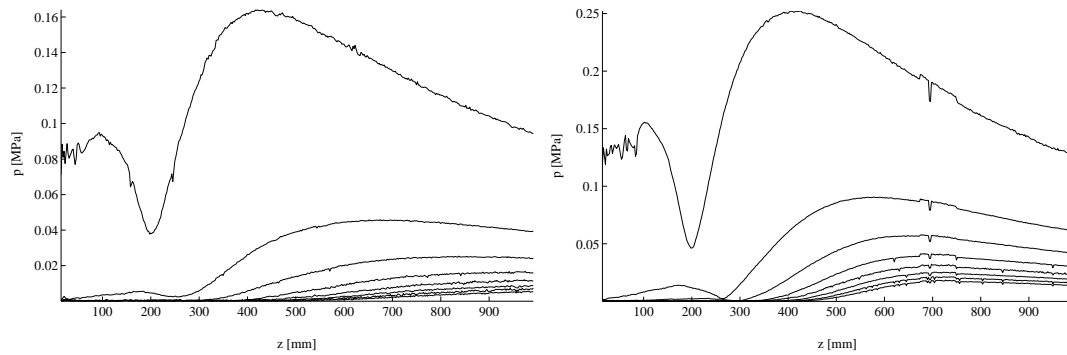
3.2 Ikkelineære lydfelt i vann

3.2.1 Måleresultater

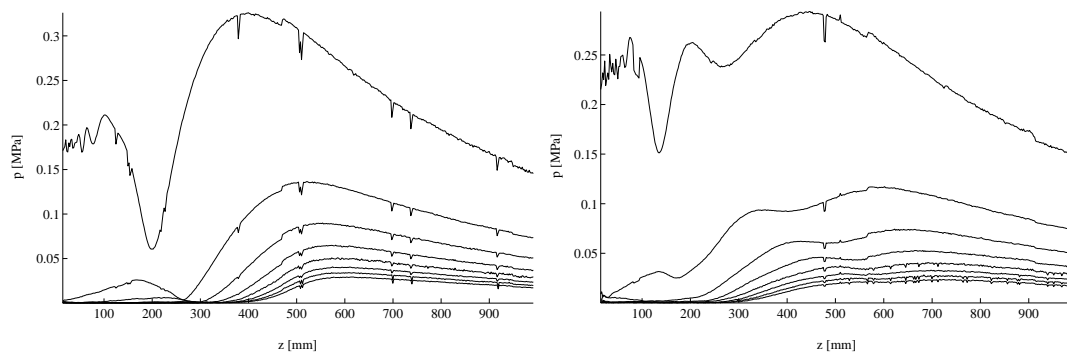
Overføringsfunksjonen H^{V_u} mellom spenning inn på kilden og partikkelhastighet på kildens overflate, ble beregnet ved hjelp av Mason-modellen (`sensf.m`, appendiks A). Den forventede hastighetsamplituden og Mach-tallet $\varepsilon_k = u_k/c_0$ er vist for fire inngangsspenninger i tabell 3.3. Trykket langs aksen ble målt i tank 1 ved disse amplitudene, og de målte bølgeformene ble Fourier-dekomponert. De første åtte harmoniske (grunntonen på 1100 kHz og syv overtoner) er plottet i figur 3.9 og 3.10.

Tabell 3.3: Parametere ved måling av ikkelineære felt: Nominell amplitude inn på effektforsterkeren: V_1 . Inngangsspenning på kilden: V_2 . Beregnet hastighetsamplitude på kildens overflate (Mason-modellen): u_k . Mach-tall: ε_k .

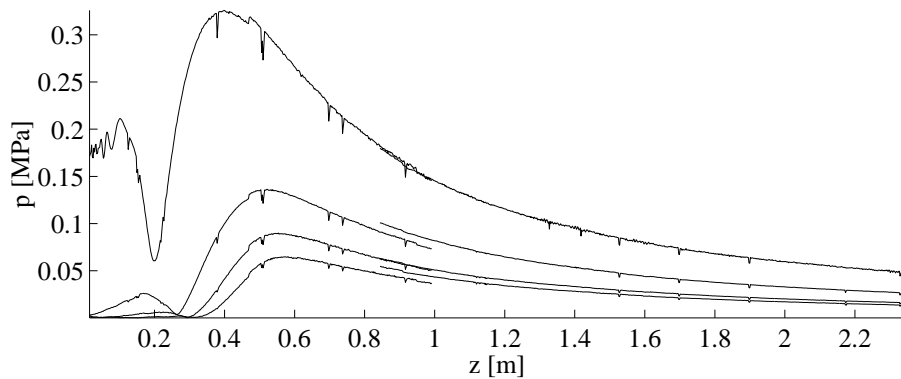
Målesett nr.	V_1 [mV _{P-P}]	V_2 [V _{P-P}]	u_k [m/s]	ε_k [10 ⁻⁴]
1	200	44,4 ± 0,2	0,070±0,003	0,47±0,02
2	300	66,8 ± 0,2	0,105±0,002	0,71±0,02
3	400	90,3 ± 0,3	0,142±0,002	0,95±0,02
4	600	126,2 ± 0,6	0,198±0,003	1,35±0,02



Figur 3.9: Amplituder langs aksen for de 8 første harmoniske, inngangsspenning 200 mV_{p-p} (venstre) og 300 mV_{p-p} (høyre).



Figur 3.10: Amplituder langs aksen for de 8 første harmoniske, inngangsspenning 400 mV_{p-p} (venstre) og 600 mV_{p-p} (høyre).



Figur 3.11: De fire første harmoniske langs aksen, målt i begge tankene. 400 mV_{P-P} inngangssignal på effektforsterkeren.

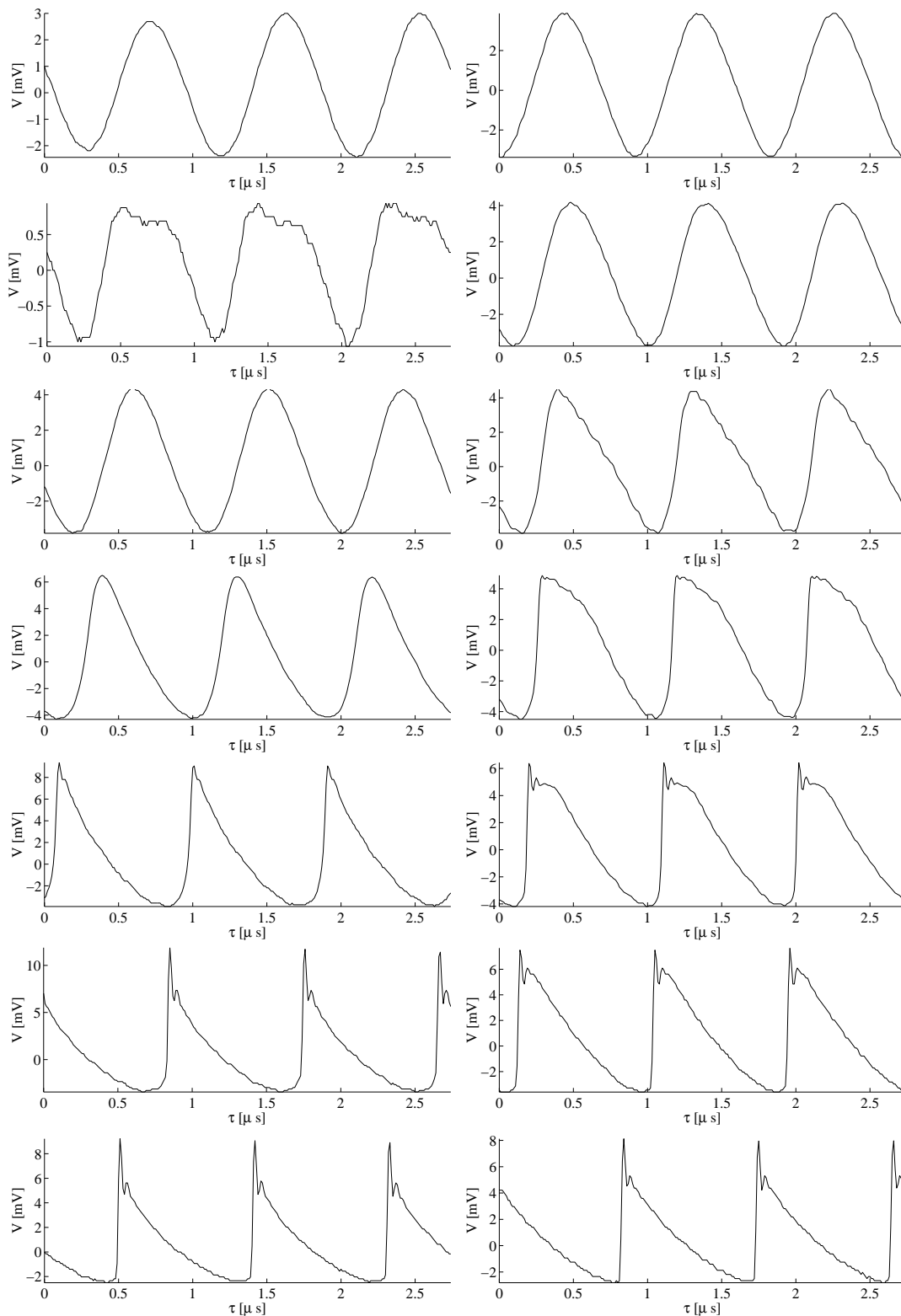
I tank 2 (SOBER-tanken) kunne feltet langs aksen måles i avstander mellom 84 cm og 250 cm fra kilden. Resultatene fra målinger i begge tankene med inngangsamplitude 400 mV_{P-P} på effektforsterkeren, er plottet sammen på figur 3.11.

Trykket langs aksen viser ikke de sterke oscillasjonene som forventes nærmest kilden. Dette kan skyldes at hydrofonens aktive område hadde større utstrekning enn de smale toppene og bunnene i amplituden i denne delen av lydfeltet. Sannsynligheten for å treffe et maksimum eller minimum var i tillegg liten på grunn av avstanden mellom hvert målepunkt.

Måleresultatet for 600 mV_{P-P} viser en annen utvikling langs aksen enn ved de tre lavere amplitudene. Den første overtonen vokser forttere nær kilden, og det oppstår et ekstra minimum i grunntonen som ser ut til å forplante seg til de høyere harmoniske. Ved ca. 70 cm oppnår grunntonen den samme amplituden som når inngangsspenningen på effektforsterkeren er 400 mV_{P-P}.

Figur 3.13 viser at den første sideloben i grunntonen 541 mm fra kilden er høyere ved 600 mV enn ved 400 mV, selv om hovedloben er lavere. Det ser også ut til å være en liten forskjell i sidelobenes avstand fra lydaksen. Bølgeformer på aksen ved 600 mV inngangssignal er sammenlignet med de for 400 mV i figur 3.12. Det er i dette tilfellet ikke kompensert for membranhydrofonens følsomhet. Skarpe sjokk vises derfor som noe større enn i virkeligheten.

Siden måleoppsett 1 ble demontert for å bygge oppsett nummer to, ble det ikke anledning til å undersøke fenomenet nærmere i den første tanken. Resultatet av 19 målinger i tank 2 er vist i figur 3.14. Inngangsspenningen ble variert mellom 300 mV og 600 mV. Grunntonens amplituder på lydaksen er midlet over 200 punkter mellom 84 cm og 126 cm fra kilden. Verdiene er plottet som funksjon av signalamplituden inn på effektforsterkeren. Målingene ble utført med 30 perioder lange pulser og en pulsfrekvens på 200 Hz. Resultatet antyder at sammenhengen mellom den målte amplituden og styrken på inngangssignalet endrer seg



Figur 3.12: Målte bølgeformer langs aksen ved $400 \text{ mV}_{\text{P-P}}$ (t.v.) og $600 \text{ mV}_{\text{P-P}}$ (t.h.). Avstandene fra lyd-kilden er (ovenfra) 52 mm, 200 mm, 300 mm, 400 mm, 500 mm, 600 mm og 800 mm. De plottede verdiene er spenningene som ble målt på membranhydrofonen. Det er ikke korrigert for mottakerfølsomheten. På grunn av en resonans i hydrofonen rundt 20 MHz vises de skarpeste sjokkene som høyere enn de er. Resonansen introduserer også et maksimum nummer to like etter skarpe sjokk.

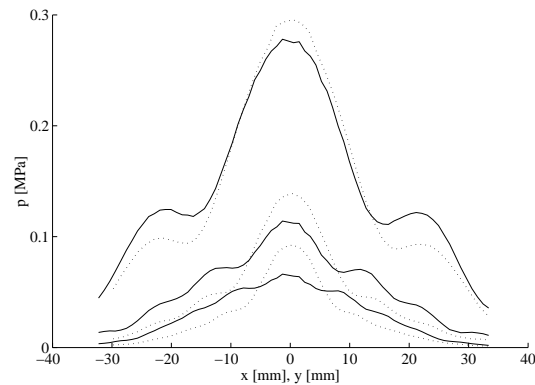
når signalet overstiger ca. $420 \text{ mV}_{\text{P-P}}$. De to første overtonene ble undersøkt på samme måte, og ga tilsvarende resultater. For den aktuelle lydstyrken er det bare tilnærmet riktig å vente en lineær sammenheng mellom trykkamplituden på kilden og grunntonens amplitude et stykke foran den. Det er likevel tegnet inn en rett linje i figuren, for å gi et inntrykk av hvor lydfeltets oppførsel begynner å forandre seg.

Figur 3.14 viser også strøm-amplituden gjennom transduseren som funksjon av spenningen. Også på dette plottet ser man avvik fra en lineær utvikling når spenningen er større enn den som tilsvarer inngangssignaler i området rundt $400 \text{ mV}_{\text{P-P}}$. Spenningen og strømmen inn på transduseren ble målt med henholdsvis en LeCroy PP002 1:10-spenningsprobe og en HP 1110B strømprobe. Stømprøben hadde en oppgitt nøyaktighet på $\pm 3\%$.

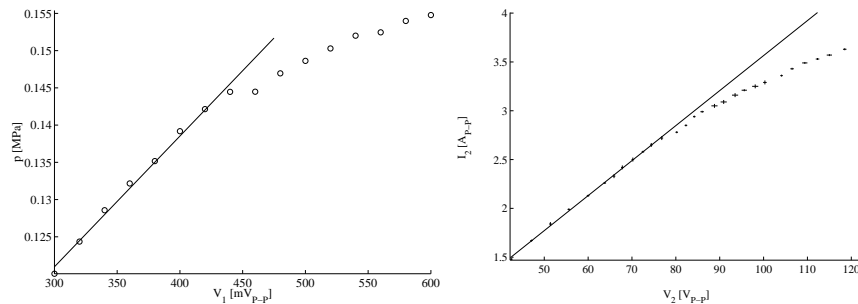
Ved inngangsspenninger høyere enn 400 mV , begynte effektforsterkeren å generere overtoner (3.- og 5.-harmoniske) i utgangssignalet. En piezokeramisk skive kan tilnærmet ses på som en halvbølgeresonator, og de odde harmoniske fra forsterkeren lot seg derfor eksitere i transduseren. At den første av overtonene har vært eksitert kan ses nærmest kilden på det høyre plottet i figur 3.10. Komponenten dør ut i løpet av de første 10 cm. Dette skjer sannsynligvis fordi den er ute av fase med den 3.-harmoniske som genereres av ikkelineariteten i lydstrålen.

Målinger som tilsvarer de som er presentert i figur 3.14, ble gjort med en ENI-A500 60 dB effektforsterker. Denne kan gi større effekt enn forsterkeren som ble brukt ellers i oppgaven. Resultatene er plottet i figur 3.15, og viser at sammenhengen mellom spenning- og strøm-amplitude var tilnærmet lineær i dette tilfellet. Ved de amplitudene som ble forsøkt, ble det ikke observert overtoner i signalet fra den større effektforsterkeren. I strømstyrken gjennom transduseren ble det heller ikke sett andre frekvenskomponenter enn grunntonen. Likevel vokste ikke amplitude n i lydfeltet som forventet når inngangsspenningen på transduseren oversteg ca. $100 \text{ V}_{\text{P-P}}$.

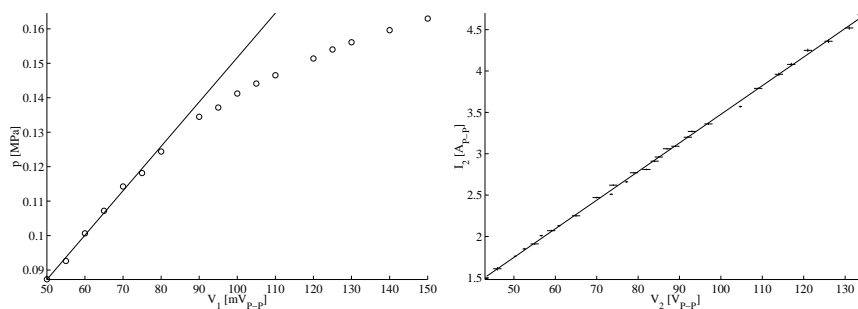
En forklaring på avviket som ble observert, kan være begynnende kavitasjon. Det oppsto kraftig kavitasjon og strømning ved kontinuerlige signaler på ned mot $30 \text{ V}_{\text{P-P}}$ inn på transduseren. Med de lydimpulsene som ble brukt ved målingene, ble det ikke observert tegn på slike effekter. Det er også mulig at måten transduseren svinger på endrer seg ved høyere amplituder, slik at lydfeltet ligner mindre på det fra en stempelkilde.



Figur 3.13: De tre første harmoniske på tvers av lydaksen, 541 mm fra kilden. Stiplet kurve: 400 mV, målt i horisontal retning. Heltrukken kurve: 600 mV, målt i vertikal retning.



Figur 3.14: Måledata fra kildetransduseren og 50 dB-effektforsterkeren (ENI A-240L). Til venstre: Amplitude for grunntonen på aksen, midlet over avstander fra 84 cm til 126 cm (200 punkt). Til høyre: Strøm gjennom transduseren som funksjon av spenningen V_2 over den.



Figur 3.15: Måledata fra kildetransduseren og ENI A-500 effektforsterkeren. Til venstre: Amplitude for grunntonen på aksen, midlet over avstander fra 84 cm til 126 cm (200 punkt). Til høyre: Strøm gjennom transduseren som funksjon av spenningen V_2 over den.

3.2.2 Sammenligning med beregnede verdier

I figur 3.16 er tre av de målte feltene sammenlignet med resultater fra Bergen-koden. De simulerte aksetrykkene ble i hvert tilfelle multiplisert med en faktor K_{sim} (tabell 3.4) for å oppnå samsvar med måleresultatene.

Kildebetingelsen ved løsning av den transformerte bølgeligningen var en plan, sirkulær stempelkilde med radius lik transduserens effektive kilderadius $a_e = 24,3$ mm. Ikkelinearitets-parameteren β ble satt til 3,5, og absorpsjonskoeffisienten som ble brukt var $\alpha_2 = 2,5 \cdot 10^{-14}$ Np/(m Hz²).

Mach-tallene ε_s som ga de presenterte resultatene fra Bergen-koden, stemmer overens med verdiene ε_k som ble beregnet ved hjelp av Mason-modellen (se tabell 3.3 og 3.4).

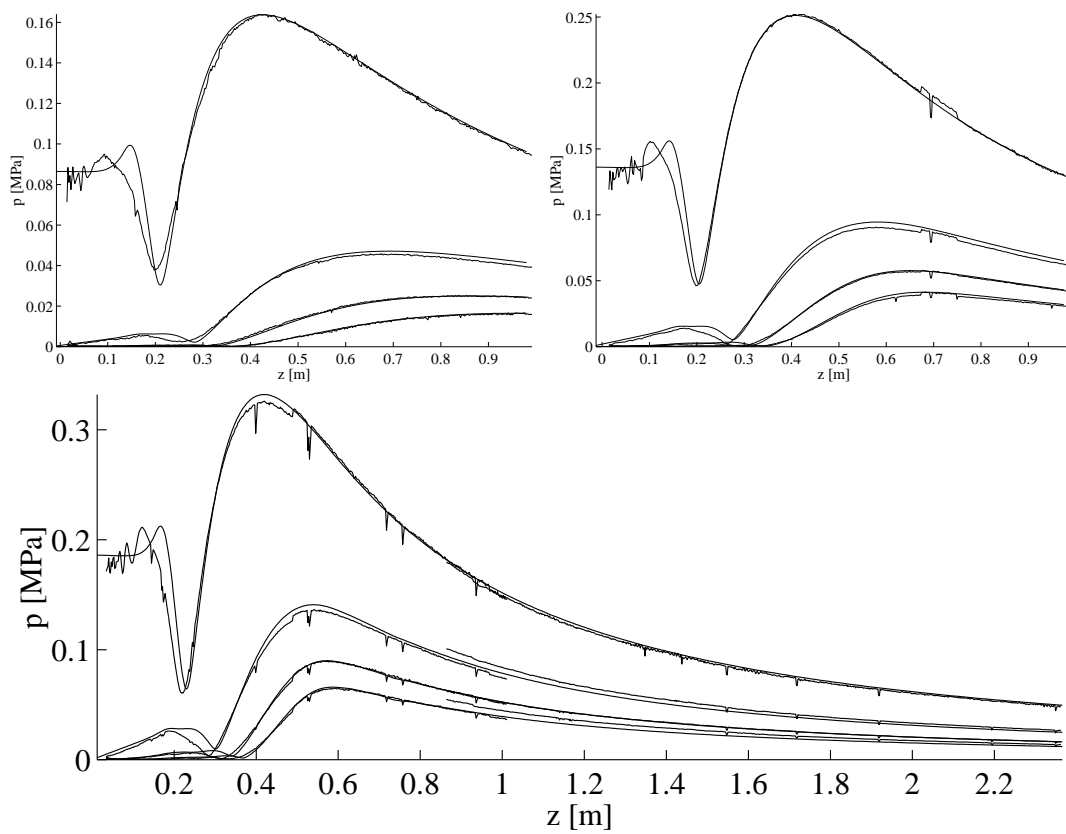
Ved 600 mV_{P-P} (målesett 4) lyktes det ikke å oppnå samsvar mellom målte og simulerte verdier. Det simulerte feltet utvikler seg på samme måte som for de lavere amplitudene, mens måleresultatet viser en helt annen oppførsel. Når lydfeltet fra transduseren skal sammenlignes med modeller for plane stempelkilder, anbefales det å ikke bruke større spenning enn omkring 90 V_{P-P}.

Tabell 3.4: Parametere brukt ved simulering av aksetrykket: Amplitude inn på effektforsterkeren ved korresponderende målinger: V_1 . Mach-tall ved simulering: ε_s . Faktor for tilpasning av resultatet: K_{sim} .

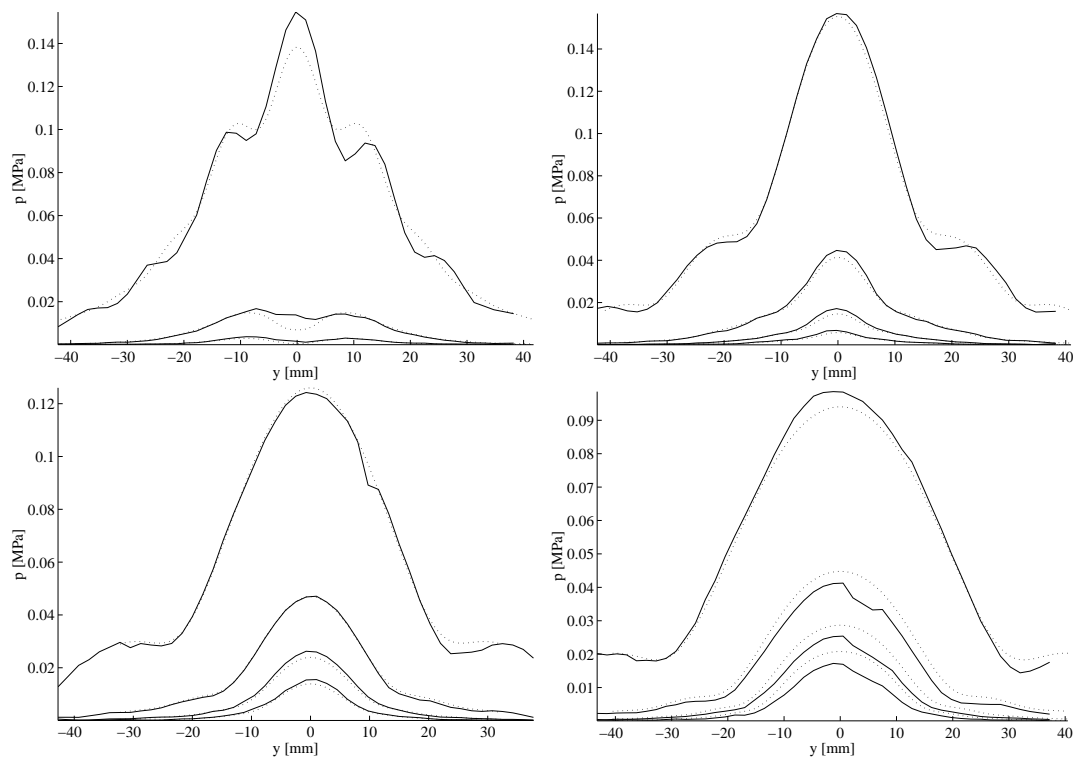
Målesett nr.	V_1 [mV _{P-P}]	ε_s [10 ⁻⁴]	K_{sim}
1	200	0,45	0,873
2	300	0,71	0,871
3	400	0,95	0,889

Som det fremgår av tabell 3.4, var det målte lydtrykket opptil 13% mindre enn det som var forventet ut fra Bergen-koden. Når det beregnede resultatet er multiplisert med faktoren K_{sim} , stemmer utviklingen av høyere harmoniske godt (figur 3.16). Dette tyder på at uoverensstemmelsen kan skyldes måleutstyret. Målefeilen i oscilloskopet ble undersøkt ved hjelp av instrumentets eget kalibrerings-signal (firkantsignal med frekvens 1 kHz og peak-to-peak-amplitude 500 mV). Den observerte feilen var i dette tilfellet mindre enn 3%. Oscilloskopet ble også sammenlignet med et av typen Tektronix 2445, uten at det ble funnet noe betydelig avvik. Det ble funnet varierende samsvar mellom resultatene fra de to hydrofonene som ble brukt (se figur 3.11), men det er usikkert om uoverensstemmelsen kan tilskrives målefeilen.

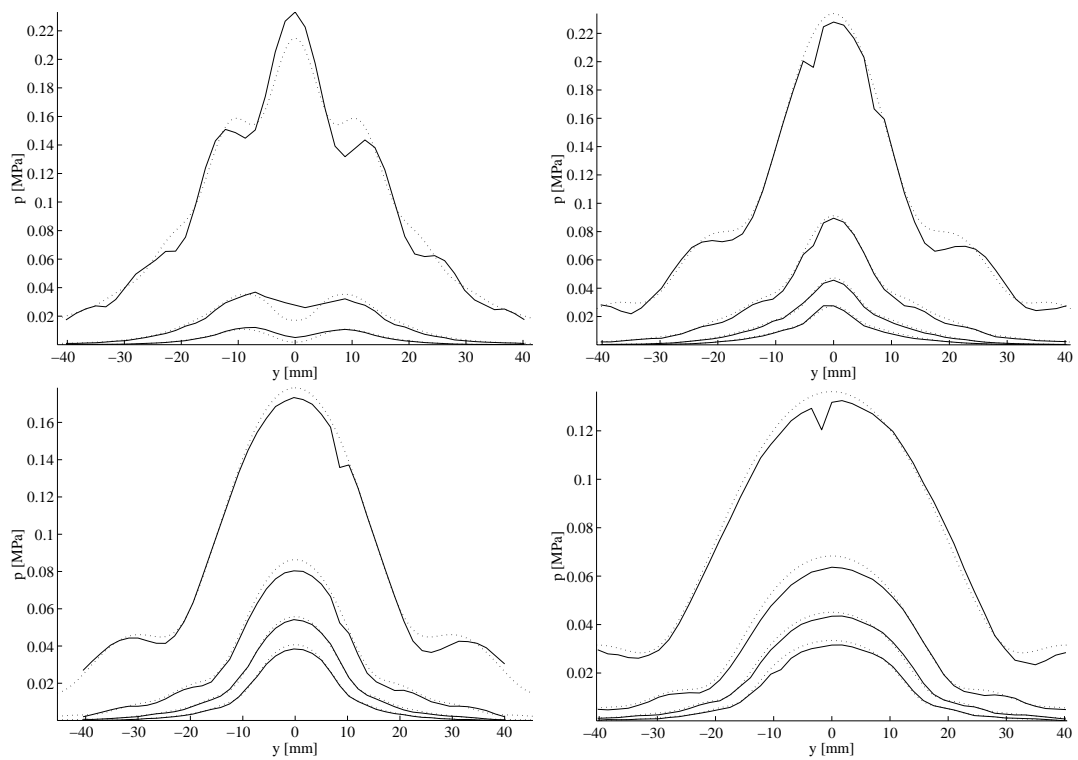
Figur 3.17–3.19 viser transversale målinger sammen med de samme simuleringene som i figur 3.16.



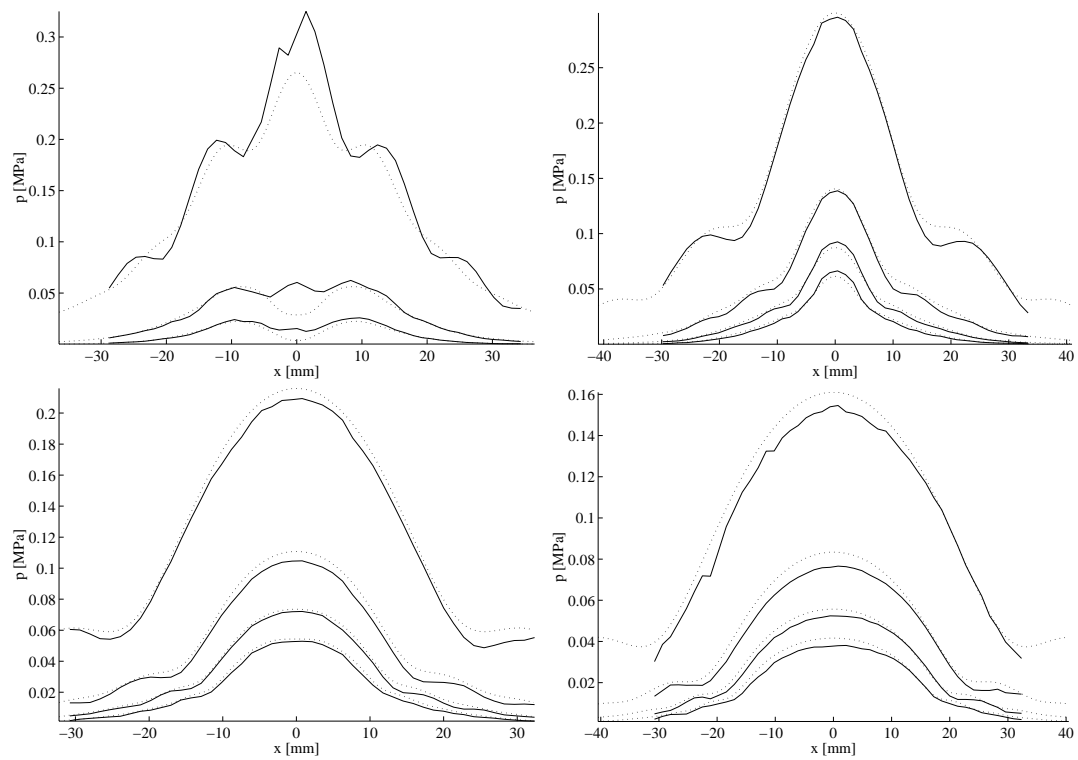
Figur 3.16: De fire første harmoniske langs akse, målt og beregnet ved hjelp av Bergen-koden. Peak-to-peak inngangsamplituden på effektforsterkeren er henholdsvis 200 mV, 300 mV og 400 mV. Måledataene er de samme som i figur 3.9 og 3.11.



Figur 3.17: De fire første harmoniske på tvers av aksen, målt i tank 1 og beregnet ved hjelp av Bergenkoden. Peak-to-peak inngangsamplitude på effektforsterkeren: 200 mV. Avstandene fra lydkilden var henholdsvis 333 mm, 541 mm, 750 mm og 958 mm.



Figur 3.18: De fire første harmoniske på tvers av aksen, målt i tank 1 og beregnet ved hjelp av Bergenkoden. Peak-to-peak inngangsamplitude på effektforsterkeren: 300 mV. Avstander fra lydkilden, henholdsvis: 333 mm, 541 mm, 750 mm og 958 mm.



Figur 3.19: De fire første harmoniske på tvers av aksen, målt i tank 1 og beregnet ved hjelp av Bergenkoden. Peak-to-peak inngangsamplitude på effektforsterkeren: 400 mV. Avstander fra lydkilden, henholdsvis: 333 mm, 541 mm, 750 mm og 958 mm.

Kapittel 4

Konklusjon

4.1 Oppsummering

En lydkilde ble laget som så ut til å tilfredsstillende kravene til driftsfrekvens, direktivitet, utstrålt effekt, transientrespons og justeringsmuligheter. Transduseren ble konstruert med en plan skive av det piezokeramiske materialet Pz 26 som aktivt element. Det ble laget et mekanisk koblingslag mellom skiven og strålingsmediet. For at en høyest mulig kildefølsomhet skulle oppnås, ble det valgt å ha luft på baksiden av elementet.

Egenskapene til den piezokeramiske skiven ble undersøkt, og noen materialparametere ble bestemt ved hjelp av Mason-modellen for tykkelsessvingninger. Modelleringsprogrammet FEMP ble forsøkt brukt til å finne flere av parameterne, men fremgangsmåten som ble valgt viste seg å være usikker.

Mason-modellen ble videre brukt til å spesifisere egenskapene som var ønsket for det mekaniske koblingslaget. Dette ble støpt direkte på transduseren av en blanding av epoxy-støpemasse og kobberpulver. Blandingsforholdet bestemte materialets spesifikke akustiske impedans, og ble beregnet ved hjelp av Woods modell. To koblingslag med ulik tykkelse og impedans ble prøvd på lydkilden.

Den ferdige transduseren ble testet i to måleoppsett. Kildens transientresponser ble undersøkt, og det ble gjort målinger i strålingsfeltet ved ulike amplituder.

Bergenkoden ble brukt til løsning av KZK-ligningen for en plan, sirkulær stempelkilde med radius lik transduserens effektive kilderadius. Det ble funnet et systematisk avvik på opptil 13% mellom målte og beregnede amplituder. Ved å multiplisere resultatet fra Bergenkoden med en korreksjonsfaktor, ble det oppnådd samsvar med måleresultatene opp til en bestemt amplitude. Over denne amplituden endret det målte feltet oppførsel, og modellen beskrev det ikke lenger på en tilfredsstillende måte.

4.2 Forslag til videre arbeid

I denne oppgaven ble det forsøkt å bestemme materialparametere ved hjelp av FEMP. Dette ble gjort for å undersøke hvor presise de oppgitte verdiene var, og fordi en endelig-element-simulering kunne være til hjelp under konstruksjonen av lydkilden. Det viste seg at FEMP konvergente forholdsvis langsomt for visse parametersett og geometrier, og dermed krevde for mye dataressurser til at beregningene kunne utføres på en vanlig PC. Relevante temaer i forbindelse med endelig-element-metoden kan være utvikling av sikrere fremgangsmåter for bestemmelse av materialkonstanter, i tillegg til nærmere kartlegging av konvergens-egenskapene til FEMP. Det kan også være interessant å oversette FEMP til et språk som håndterer minneressurser på en annen måte enn Matlab.

FEMP kan beregne partikkelforskyvningen på overflaten av en simulert transduserkonstruksjon. Ved å bruke slike resultater i kildebetingelser til Bergenkoden, vil man kanskje kunne oppnå mer helhetlige simuleringer som vil være til nytte ved konstruksjon av lydkilder.

Det utstrålte feltet fra transduseren som ble konstruert i denne oppgaven, endrer seg på en uventet måte når inngangsspenningen overstiger ca. $100 V_{P-P}$. Om endringen skyldes effekter i strålingsmediet eller i lydkilden, og på hvilken måte, er ennå ikke klarlagt.

Appendiks A — Programlisting


```

      X = I*WINDWX/DBLE(IXMAX+1)
      AMP = AMPL(OMEGA(I,J,1),OMEGA(I,J,2),S)
      AMP2 = AMPL(OMEGA(I,2,1),OMEGA(I,2,2),S)
      AMP3 = AMPL(OMEGA(I,3,1),OMEGA(I,3,2),S)
      AMP4 = AMPL(OMEGA(I,4,1),OMEGA(I,4,2),S)
      AMP5 = AMPL(OMEGA(I,5,1),OMEGA(I,5,2),S)
      WRITE (10,22) SNGL(X),SNGL(amp),SNGL(amp2),
+                SNGL(amp3),SNGL(amp4),SNGL(amp5)
10    CONTINUE
20    CONTINUE
22    FORMAT(6(=16.10,1x))
      WRITE(6,*) 'transv updated'
      RETURN
      END
C
C    On the axis:
C
      SUBROUTINE BEWRI2(SIGMA,OMEGA,IXMAX,NHARM)
      DOUBLE PRECISION SIGMA,OMEGA(0:IXMAX,NHARM,2)
      DOUBLE PRECISION AMP(5),AMPL,S
      INTEGER NHARM,IXMAX,I
      S = (1.DO+SIGMA)
      DO 25 I = 1,5
25    AMP(I) = AMPL(OMEGA(0,I,1),OMEGA(0,I,2),S)
      CONTINUE
      WRITE(11,28) sngl(SIGMA),(AMP(I),I=1,5)
28    FORMAT(6(=16.10,1x))
      RETURN
      END
      SUBROUTINE NONLIN(SIGMA,OMEGA,IXMAX,NHARM,NONLI)
      INTEGER NHARM,IXMAX,I,J,N
      DOUBLE PRECISION OMEGA(0:IXMAX,NHARM,2)
      DOUBLE PRECISION NONLI(0:IXMAX,NHARM,2)
      DOUBLE PRECISION SIGMA,FAKT,S,PABSOR,PNONLI
      COMMON /PARAM/PABSOR,PNONLI
      S = (1.DO+SIGMA)
      DO 100 N = 1,NHARM
          DO 29 I = 0,IXMAX
              NONLI(I,N,1) = 0
              NONLI(I,N,2) = 0
29          CONTINUE
              DO 50 I = 0,IXMAX
                  DO 30 J = 1,N - 1
                      NONLI(I,N,1) = NONLI(I,N,1) +
+                      (OMEGA(I,J,2)*OMEGA(I,N-J,1))
                      NONLI(I,N,2) = NONLI(I,N,2) +
+                      OMEGA(I,J,2)*OMEGA(I,N-J,2) -
+                      OMEGA(I,J,1)*OMEGA(I,N-J,1)
30          CONTINUE
                      NONLI(I,N,2) = 0.5*NONLI(I,N,2)
                      DO 40 J = N + 1,NHARM
                          NONLI(I,N,1) = NONLI(I,N,1) +
+                          OMEGA(I,J-N,1)*OMEGA(I,J,2) -
+                          OMEGA(I,J-N,2)*OMEGA(I,J,1)
                          NONLI(I,N,2) = NONLI(I,N,2) -
+                          OMEGA(I,J-N,1)*OMEGA(I,J,1) -
+                          OMEGA(I,J-N,2)*OMEGA(I,J,2)
40          CONTINUE
50          CONTINUE
                      FAKT = PNONLI*N/ (2*S)
                      DO 60 I = 0,IXMAX
                          NONLI(I,N,1) = FAKT*NONLI(I,N,1)
                          NONLI(I,N,2) = FAKT*NONLI(I,N,2)
60          CONTINUE
100         CONTINUE
          RETURN
          END
      DOUBLE PRECISION FUNCTION AMPL(FA,FB,S)
C
C    FUNCTION CALCULATING AMPLITUDE.
C
      DOUBLE PRECISION FA,FB,S,SD
      SD = FA**2 + FB**2
      IF (S.NE.0) THEN
          AMPL = DSQRT(SD)/S
      ELSE
          AMPL = DSQRT(SD)
      END IF
      END
      SUBROUTINE COEFF(SIGC,SIGK,C,K,NHARM)
      INTEGER NHARM,J
      DOUBLE PRECISION SIGC,SIGK,C(NHARM),K(NHARM)
      DOUBLE PRECISION PABSOR,PNONLI,SC,SK
      COMMON /PARAM/PABSOR,PNONLI
      SC = (1+SIGC)
      SK = (1+SIGK)
      DO 10 J = 1,NHARM
          C(J) = PABSOR* (J**2)
          K(J) = - 1.0/ (4*J* (SK**2))
10    CONTINUE
      RETURN
      END
      DOUBLE PRECISION FUNCTION STEPP(SIGMA)
      DOUBLE PRECISION SIGMA,ISSTEP
      COMMON /AXSTEP/ISSTEP
      STEPP = ISSTEP*(1 + SIGMA)**2
      RETURN
      END
      SUBROUTINE KZKCYL(OMEGA,IXMAX,NHARM,WINDWX,START,STOP,
+                WBEAM,NUMBE,COEFF,NONLIN,STEPP,BEWRI,
+                COLD,CNEW,KHALF,NONLI,A,W,F,WORK)
C***BEGIN PROLOGUE KZKCYL
C***AUTHOR Jarle Berntsen, University of Bergen,
C          EDB-senteret, Herman Fossgt 6, 5007 Bergen, NORWAY.
C***PURPOSE KZKCYL computes approximations to the Khokhlov-
C          Zabolotzkaya-Kuznetsov equation,see [1,2].
C          After a Fourier-series expansion of the pressure,
C          we may compute approximations to the KZK equation by
C          solving a system of nonlinear parabolic equations of
C          the form:
C
C          dg(n)/dsigma = -c(n,sigma)g(n)
C                      + k(n,sigma)Laplacian(h(n))
C                      + il1(n,sigma,g,h)
C
C          dh(n)/dsigma = -c(n,sigma)h(n)
C                      - k(n,sigma)Laplacian(g(n))
C                      + il2(n,sigma,g,h)
C
C          The terms on the right hand side of the equality sign
C          are due to (from left to right) absorption,
C          diffraction and nonlinearity.
C          In KZKCYL the Laplacian is cylindrical coordinates.
C
C***DESCRIPTION Two numerical techniques are applied in KZKCYL in
C          order to compute approximations to the system of
C          equations given above.
C          For uniform sources which are of particular
C          interest, Gibbs oscillations appear in the
C          numerical solution. In order to damp these we
C          first take a few steps with a fully implicit
C          method.
C          In order to control the damping
C          the S first harmonics of the Fourier expansion
C          of the initial values are kept to 99.9 per cent
C          of their full strength.
C          S is set as a parameter in KZKCYL.
C
C          After having removed the Gibbs oscillations we
C          continue with the Trapezoidal rule (or
C          Crank-Nicolson method or on this particular
C          problem, Richtmyers procedure) which has 2nd
C          order accuracy and is unconditionally stable.
C
C          The linear systems of equations that have to be
C          solved in each step are solved with the routine
C          TRIDIA.
C
      ON ENTRY
C
C          OMEGA Real array of dimension (0:IXMAX,NHARM,2).
C          Contains in each step approximative values to g(n)
C          and h(n).
C          The first index defines the values of x for which
C          g(n) and h(n) are approximated.
C          The second index defines the harmonic number.
C          If the last index is 1, approximations to g(n) are
C          given. If the last index is 2, approximations to h(n)
C          are given. On entry OMEGA must specify the initial
C          values of g(n) and h(n).
C
C          IXMAX Integer.
C          Defines the number of interior grid points.
C
C          NHARM Integer.
C          Defines the number of harmonics retained in the
C          numerical solution.
C
C          WINDWX Real.
C          WINDWX is the upper limit of x.
C
C          START Real.
C          The starting value of sigma.
C
C          STOP Real.
C          The final value of sigma.

```

```

C
C WBEAM Real array of dimension NUMBE.
C Specifies the values of sigma where we want
C print out of OMEGA.
C
C NUMBE Integer.
C The length of the array WBEAM.
C
C COEFF Subroutine, supplied by the user.
C COEFF must be declared as external in the calling
C program. COEFF is called by KZKCYL to compute the
C coefficients c(n,sigma) and k(n,sigma).
C
C Its specification is:
C SUBROUTINE COEFF(SIGC,SIGK,C,K,NHARM)
C INTEGER NHARM
C DOUBLE PRECISION SIGC,SIGK,C(NHARM),K(NHARM)
C
C SIGC defines on entry the value of sigma for which
C you want to compute the coefficients c(n,sigma).
C
C SIGK defines on entry the value of sigma for which
C you want to compute the coefficients k(n,sigma).
C
C C contains on exit the
C values of c(n,SIGC), n=1,...,NHARM.
C
C K contains on exit the
C values of k(n,SIGK), n=1,...,NHARM.
C
C NONLIN Subroutine, supplied by the user.
C NONLIN must be declared as external in the calling
C program. NONLIN is called by KZKCYL to compute the
C nonlinear terms ill(n,sigma,g,h) and
C il2(n,sigma,g,h).
C
C Its specification is:
C SUBROUTINE NONLIN(SIGMA,OMEGA,IXMAX,NHARM,ONLI)
C INTEGER IXMAX,NHARM
C DOUBLE PRECISION SIGMA
C DOUBLE PRECISION OMEGA(0:IXMAX,NHARM,2)
C DOUBLE PRECISION ONLI(0:IXMAX,NHARM,2)
C
C SIGMA defines on entry the value of sigma for which
C you want to compute the nonlinear terms.
C
C OMEGA defines on entry the computed approximations
C to g(n) and h(n).
C
C ONLI must on exit contain the nonlinear terms.
C If the last index is 1, approx. to il1 is indicated.
C If the last index is 2, approx. to il2 is indicated.
C
C STEPP Real function, supplied by the user.
C STEPP must be declared as external in the calling
C program. STEPP defines the step size in sigma
C direction.
C
C Its specification is:
C DOUBLE PRECISION FUNCTION STEPP(SIGMA)
C DOUBLE PRECISION SIGMA
C
C BEWRI Subroutine, supplied by the user.
C BEWRI must be declared as external in the calling
C program. BEWRI is called by KZKCYL to write
C information in OMEGA to file(s).
C
C Its specification is:
C SUBROUTINE BEWRI(WINDWX,SIGMA,OMEGA,IXMAX,NHARM)
C INTEGER IXMAX,NHARM
C DOUBLE PRECISION WINDWX,SIGMA
C DOUBLE PRECISION OMEGA(0:IXMAX,NHARM,2)
C
ON RETURN
C
C OMEGA contains the approximations to g(n) and h(n) at
C sigma = STOP.
C
C COLD Real work array of dimension NHARM.
C
C CNEW Real work array of dimension NHARM.
C
C KHALF Real work array of dimension NHARM.
C
C NONLI Real work array of dimension (0:IXMAX,NHARM,2).
C
C A Real work array of dimension (2,2,-1:1,0:IXMAX).
C
C W Real work array of dimension (2,0:IXMAX).
C
C F Real work array of dimension (2,0:IXMAX).
C
C WORK Real work array of dimension (12*IXMAX+12).
C
C***REFERENCES
C [1]Zabolotskaya,E.A. and Khokhlov,V.Pa,
C Quasi-plane waves in the nonlinear acoustics of confined
C beams, Sov.Phys.Acoust.,15,1969,pp.35-40.
C [2]Kuznetsov,V.P.,Equations of nonlinear acoustics,
C Sov.Phys.Acoust.,16,1971,pp.467-470.
C [3]Hamilton,M.F. and Naze Tjotta,J. and Tjotta,S,
C Nonlinear effects in the farfield of a directive
C sound source,
C J.Acoust.Soc.Am.,78,1985,pp.202-216.
C [4]Berntsen,J.,The numerical calculation of the Khokhlov-
C Zabolotskaya-Kuznetsov equation for piston sources,
C Unpublished paper,1988.
C***ROUTINES CALLED COEFF,NONLIN,STEPP,BEWRI,TRIDIA
C***END PROLOGUE KZKCYL
C
C Global variables.
C
C INTEGER IXMAX,NHARM,NUMBE
C DOUBLE PRECISION OMEGA(0:IXMAX,NHARM,2),WINDWX,START,STOP,
C + WBEAM(NUMBE),STEPP,COLD(NHARM),CNEW(NHARM),
C + KHALF(NHARM),NONLI(0:IXMAX,NHARM,2),
C + A(2,2,-1:1,0:IXMAX),W(2,0:IXMAX),
C + F(2,0:IXMAX),WORK(12*IXMAX+12)
C EXTERNAL COEFF,NONLIN,STEPP,BEWRI
C
C Local variables.
C
C INTEGER L,I,BCOUNT,S,IMPSTP,IS,I1,I2
C DOUBLE PRECISION STEP,SIG,OLDSIG,SIGMA,R,DIAG,OFFDIA,
C + PI,XSTEP
C DOUBLE PRECISION SIGC,SIGK,FAKT1,FAKT2
C REAL wax,dwax
C
C IMPSTP is the number of initial fully implicit steps.
C The strength of the S first harmonics in the Fourier
C expansion of the initial values must not be damped more
C than 0.1 percent when taking the IMPSTP initial steps.
C
C PARAMETER (IMPSTP=5)
C PARAMETER (S=20)
C
C***FIRST EXECUTABLE STATEMENT KZKCYL
C
C PI = 4*ATAN(1.d0)
C BCOUNT = 1
C SIGMA = START
C dwax = 0.001
C wax = START + dwax
C
C By setting START = STOP, we may print out the initial values.
C
C IF (START.EQ.STOP) THEN
C CALL BEWRI(WINDWX,SIGMA,OMEGA,IXMAX,NHARM)
C GO TO 999
C END IF
C ISTEP = ABS(WINDWX)/DBLE(IXMAX+1)
C SIGC = SIGMA
C SIGK = SIGMA
C CALL COEFF(SIGC,SIGK,COLD,KHALF,NHARM)
C
C Go IMPSTP steps with the fully implicit method.
C
C DO 100 IS = 1,IMPSTP
C
C Choose the step size such that the S first eigenvectors are
C kept to 99.9 per cent of their initial strength after IMPSTP
C steps.
C STEP = SQRT(2./ (1000.*IMPSTP))* (2*WINDWX)**2/
C + (ABS(KHALF(1))*S**2*PI**2)
C step = step/45 ! 06.03.02
C
C SIG = SIGMA + STEP
C OLDSIG = SIGMA
C IF (BCOUNT.LE.NUMBE) THEN
C SIGMA = MIN(SIG,WBEAM(BCOUNT),STOP)
C ELSE
C SIGMA = STOP
C END IF
C STEP = SIGMA - OLDSIG

```



```

C
C Compute the coefficients and the nonlinear
C contributions.
C
      SIGC = SIGMA
      SIGK = SIGMA
      CALL COEFF(SIGC,SIGK,CNEW,KHALF,NHARM)
      CALL NONLIN(SIGMA,OMEGA,IXMAX,NHARM,ONLI)
      R = STEP/XSTEP**2
C
C Loop for each harmonic L.
C
      DO 50 L = 1,NHARM
C
C Set up the appropriate systems of equations in the
C way required for TRIDIA.
C
      DIAG = 1 + STEP*CNEW(L)
      OFFDIA = 2*R*KHALF(L)
C
C First the diagonal 2*2 sub-matrices.
C
      A(1,1,0,0) = DIAG
      A(1,2,0,0) = 2*OFFDIA
      A(2,1,0,0) = - A(1,2,0,0)
      A(2,2,0,0) = DIAG
      DO 10 I = 1,IXMAX
        A(1,1,0,I) = DIAG
        A(1,2,0,I) = OFFDIA
        A(2,1,0,I) = - OFFDIA
        A(2,2,0,I) = DIAG
10      CONTINUE
C
C Then the sub-matrices above the diagonal.
C
      A(1,2,1,0) = - 2*OFFDIA
      A(2,1,1,0) = - A(1,2,1,0)
      DO 20 I = 1,IXMAX - 1
        A(1,2,1,I) = - OFFDIA* (1+1/DBLE(2*I))/2
        A(2,1,1,I) = - A(1,2,1,I)
20      CONTINUE
C
C and the sub-matrices below the diagonal.
C
      DO 30 I = 1,IXMAX
        A(1,2,- 1,I) = - OFFDIA* (1-1/DBLE(2*I))/2
        A(2,1,- 1,I) = - A(1,2,- 1,I)
30      CONTINUE
C
C Define the right hand side.
C
      DO 40 I = 0,IXMAX
        F(1,I) = OMEGA(I,L,1) + STEP*NONLI(I,L,1)
        F(2,I) = OMEGA(I,L,2) + STEP*NONLI(I,L,2)
40      CONTINUE
C
C Solve the system of equations.
C
      I1 = 1
      I2 = I1 + 8*IXMAX + 8
      CALL TRIDIA(A,IXMAX+1,W,F,WORK(I1),WORK(I2))
C
C Insert the solution in OMEGA.
C
      DO 45 I = 0,IXMAX
        OMEGA(I,L,1) = W(1,I)
        OMEGA(I,L,2) = W(2,I)
45      CONTINUE
C
C End loop for each harmonic.
C
      COLD(L) = CNEW(L)
50      CONTINUE
C
C Send possible print out.
C
      IF (SIGMA.GE.WAX) THEN
        CALL BEWRI2(SIGMA,OMEGA,IXMAX,NHARM)
        wax=wax+dwax
      END IF
C
C IF (BCOUNT.LE.NUMBE) THEN
C   IF (WBEAM(BCOUNT).LE.SIGMA) THEN
C     CALL BEWRI(WINDWX,SIGMA,OMEGA,IXMAX,NHARM)
C     BCOUNT = BCOUNT + 1
C   END IF
C
      END IF
END IF
IF (SIGMA.GE.STOP) THEN
  GO TO 999
END IF
C
C End fully implicit loop.
C
100 CONTINUE
C
C Continue with the Richtmyer procedure.
C
105 CONTINUE
STEP = STEPP(SIGMA)
SIG = SIGMA + STEP
OLDSIG = SIGMA
IF (BCOUNT.LE.NUMBE) THEN
  SIGMA = MIN(SIG,WBEAM(BCOUNT),STOP)
ELSE
  SIGMA = STOP
END IF
STEP = SIGMA - OLDSIG
C
C Compute the coefficients and the nonlinear
C contributions.
C
      SIGC = SIGMA
      SIGK = OLDSIG + STEP/2
      CALL COEFF(SIGC,SIGK,CNEW,KHALF,NHARM)
      CALL NONLIN(SIGMA,OMEGA,IXMAX,NHARM,ONLI)
      R = STEP/XSTEP**2
C
C Loop for each harmonic L.
C
      DO 150 L = 1,NHARM
C
C Set up the appropriate systems of equations in the
C way required for TRIDIA.
C
      DIAG = 1 + STEP*CNEW(L)/2
      OFFDIA = R*KHALF(L)
C
C First the diagonal 2*2 sub-matrices.
C
      A(1,1,0,0) = DIAG
      A(1,2,0,0) = 2*OFFDIA
      A(2,1,0,0) = - A(1,2,0,0)
      A(2,2,0,0) = DIAG
      DO 110 I = 1,IXMAX
        A(1,1,0,I) = DIAG
        A(1,2,0,I) = OFFDIA
        A(2,1,0,I) = - OFFDIA
        A(2,2,0,I) = DIAG
110      CONTINUE
C
C Then the sub-matrices above the diagonal.
C
      A(1,2,1,0) = - 2*OFFDIA
      A(2,1,1,0) = - A(1,2,1,0)
      DO 120 I = 1,IXMAX - 1
        A(1,2,1,I) = - OFFDIA* (1+1/DBLE(2*I))/2
        A(2,1,1,I) = - A(1,2,1,I)
120      CONTINUE
C
C and the sub-matrices below the diagonal.
C
      DO 130 I = 1,IXMAX
        A(1,2,- 1,I) = - OFFDIA* (1-1/DBLE(2*I))/2
        A(2,1,- 1,I) = - A(1,2,- 1,I)
130      CONTINUE
C
C Set up the right hand side.
C
      DIAG = 1 - STEP*COLD(L)/2
      OFFDIA = R*KHALF(L)
      F(1,0) = DIAG*OMEGA(0,L,1) + 2*OFFDIA*
+ (OMEGA(1,L,2)-OMEGA(0,L,2)) + STEP*NONLI(0,L,1)
      F(2,0) = DIAG*OMEGA(0,L,2) - 2*OFFDIA*
+ (OMEGA(1,L,1)-OMEGA(0,L,1)) + STEP*NONLI(0,L,2)
      DO 140 I = 1,IXMAX - 1
        FAKT1 = 1 + 1/DBLE(2*I)
        FAKT2 = 1 - 1/DBLE(2*I)
        F(1,I) = DIAG*OMEGA(I,L,1) +
+ OFFDIA* (FAKT1*OMEGA(I+1,L,2)-2*OMEGA(I,L,2)
+ FAKT2*OMEGA(I-1,L,2))/2 + STEP*NONLI(I,L,1)
        F(2,I) = DIAG*OMEGA(I,L,2) -
+ OFFDIA* (FAKT1*OMEGA(I+1,L,1)-2*OMEGA(I,L,1)
+ FAKT2*OMEGA(I-1,L,1))/2 + STEP*NONLI(I,L,2)
140      CONTINUE

```

```

      FAKT2 = 1 - 1/DBLE(2*IXMAX)
      F(1,IXMAX) = DIAG*OMEGA(IXMAX,L,1) +
+      OFFDIA* (FAKT2*OMEGA(IXMAX-1,L,2)-
+      2*OMEGA(IXMAX,L,2))/2
+      + STEP*NONLI(IXMAX,L,1)
      F(2,IXMAX) = DIAG*OMEGA(IXMAX,L,2) -
+      OFFDIA* (FAKT2*OMEGA(IXMAX-1,L,1)-
+      2*OMEGA(IXMAX,L,1))/2
+      + STEP*NONLI(IXMAX,L,2)
C
C Solve the system of equations.
C
      I1 = 1
      I2 = I1 + 8*IXMAX + 8
      CALL TRIDIA(A,IXMAX+1,W,F,WORK(I1),WORK(I2))
C
C Insert the solution in OMEGA.
C
      DO 145 I = 0, IXMAX
        OMEGA(I,L,1) = W(1,I)
        OMEGA(I,L,2) = W(2,I)
145    CONTINUE
C
C End loop for each harmonic.
C
      GOLD(L) = CNEW(L)
150  CONTINUE
C
C *****
C Send possible print out.
C *****
C
      IF (SIGMA.GE.WAX) THEN
        CALL BEWRI2(SIGMA,OMEGA,IXMAX,NHARM)
        wax=wax+dwax
      END IF
C
      IF (BCOUNT.LE.NUMBE) THEN
        IF (WBEAM(BCOUNT).LE.SIGMA) THEN
          CALL BEWRI(WINDWX,SIGMA,OMEGA,IXMAX,NHARM)
          BCOUNT = BCOUNT + 1
        END IF
      END IF
C
      IF (SIGMA.GE.STOP) THEN
        GO TO 999
      END IF
C
C End Richtmyer loop.
C
      GO TO 105
C
C***END KZKCYL
C
999  RETURN
      END
      SUBROUTINE TRIDIA(A,IXMAX,W,F,L,U)
C***BEGIN PROLOGUE TRIDIA
C***AUTHOR Jarle Berntsen, University of Bergen,
C      EDB-senteret, Herman Fossgt 6, 5007 Bergen, NORWAY.
C***DATE WRITTEN 880810
C***PURPOSE
C      BLOTRI SOLVES A BLOCK-THREE DIAGONAL SYSTEM OF EQUATIONS
C      BY BLOCK GAUSSIAN ELIMINATION.
C      40*IXMAX OPERATIONS ARE NEEDED.
C
C      THE BLOCKS ARE 2*2.
C      THE 2*2 SUB-MATRICES BELOW AND ABOVE THE MAIN DIAGONAL OF
C      A MUST HAVE ZEROS ON THEIR DIAGONALS.
C
C***DESCRIPTION
C
C      ON ENTRY
C
C      A      DOUBLE PRECISION(2,2,-1:1,IXMAX).
C              DEFINES THE THREE-DIAGONAL MATRIX.
C              THE FIRST TWO INDEXES DEFINES THE
C              POSITION OF AN ELEMENT WITHIN A 2*2
C              SUB-MATRIX. THE THIRD INDEX DEFINES THE
C              DISTANCE OF THE SUB-MATRIX FROM THE
C              DIAGONAL.
C              THE LAST INDEX DEFINES THE ROW NUMBER
C              OF THE SUB-MATRIX.
C              THIS INDEX CONVENTION IS ALSO USED FOR
C              L AND U. UNCHANGED ON EXIT.
C
C      IXMAX  INTEGER. THE NUMBER OF DIAGONAL
C              SUB-MATRICES.
C
      F      DOUBLE PRECISION(2,IXMAX). DEFINES THE
      RIGHT-HAND SIDE. MODIFIED ON EXIT.
C
      L      DOUBLE PRECISION(2,2,-1:0,IXMAX).
      WORKING SPACE
      USED FOR THE SUBMATRICES ON AND BELOW
      THE DIAGONAL
      OF THE L-MATRIX OF THE LU-DECOMPOSITION.
C
      U      DOUBLE PRECISION(2,2,1:1,IXMAX). WORKING
      SPACE USED FOR THE SUBMATRICES ABOVE
      THE DIAGONAL OF THE U MATRIX OF THE
      LU-DECOMP. THE DIAGONAL SUBMATRICES OF
      U ARE UNIT 2*2.
C
      ON RETURN
C
      W      DOUBLE PRECISION(2,IXMAX).
      CONTAINS THE SOLUTION.
C***ROUTINES CALLED NONE
C***END PROLOGUE TRIDIA
C
C Global variables.
C
      INTEGER IXMAX
      DOUBLE PRECISION A(2,2, - 1:1,IXMAX)
      DOUBLE PRECISION W(2,IXMAX),F(2,IXMAX),L(2,2, - 1:0,IXMAX)
      DOUBLE PRECISION U(2,2,1:1,IXMAX)
C
C Local variables.
C
      INTEGER I,J
      DOUBLE PRECISION F1,F2,L21,U22
C
      LU-DECOMPOSE.
C
      FIRST STEP. (FIRST ROW)
C
      L(0,1)=A(0,1)
C
C***FIRST EXECUTABLE STATEMENT TRIDIA
C
      DO 1 I = 1,2
        DO 1 J = 1,2
          L(I,J,0,1) = A(I,J,0,1)
        END DO
      END DO
C
      THE 2*2 SYSTEMS ARE SOLVED AS FOLLOWS:(AX=F)
      L21=A21/A11
      U22=A22-L21*A12
      F2=F2-L21*F1
      X2=F2/U22
      X1=(F1-A12*X2)/A11
C
      L(0,1)*U(1,1)=A(1,1)
C
      L21 = L(2,1,0,1)/L(1,1,0,1)
      U22 = L(2,2,0,1) - L21*L(1,2,0,1)
      F2=A(2,1,1,1)-L21*A(1,1,1,1)(WE EXPLOIT ALL ZEROS)
      F2 = A(2,1,1,1)
      U(2,1,1,1) = F2/U22
      U(1,1,1,1)=(A(1,1,1,1)-L(1,2,0,1)*U(2,1,1,1))/L(1,1,0,1)
      U(1,1,1,1) = - L(1,2,0,1)*U(2,1,1,1)/L(1,1,0,1)
C
      F1 = A(1,2,1,1)
      F2 = - L21*F1
      U(2,2,1,1) = F2/U22
      U(1,2,1,1) = (F1-L(1,2,0,1)*U(2,2,1,1))/L(1,1,0,1)
C
      SECOND AND GENERAL STEP.
C
      DO 10 I = 2,IXMAX - 1
        L(-1,I)=A(-1,I)
C
        L(1,1,-1,I)=0
        L(2,2,-1,I)=0
        L(1,2, - 1,I) = A(1,2, - 1,I)
        L(2,1, - 1,I) = A(2,1, - 1,I)
C
        L(0,I)=A(0,I)-L(-1,I)*U(1,I-1)
C
        L(1,1,0,I) = A(1,1,0,I) - L(1,2, - 1,I)*U(2,1,I-1)
        L(1,2,0,I) = A(1,2,0,I) - L(1,2, - 1,I)*U(2,2,I-1)
        L(2,1,0,I) = A(2,1,0,I) - L(2,1, - 1,I)*U(1,1,I-1)
        L(2,2,0,I) = A(2,2,0,I) - L(2,1, - 1,I)*U(1,2,I-1)
C
        L(0,I)*U(1,I)=A(1,I)

```

```

C
      L21 = L(2,1,0,I)/L(1,1,0,I)
      U22 = L(2,2,0,I) - L21*L(1,2,0,I)
      F2 = A(2,1,I)
      U(2,1,I) = F2/U22
      U(1,1,I) = - L(1,2,0,I)*U(2,1,I)/L(1,1,0,I)
      F1 = A(1,2,I)
      F2 = - L21*F1
      U(2,2,I) = F2/U22
      U(1,2,I) = (F1-L(1,2,0,I)*U(2,2,I))/L(1,1,0,I)
10  CONTINUE
C
C      END MAIN LOOP IN LU-DECOMP.
C
C      THIRD AND LAST STEP. (LAST ROW)
C
C      L(-1,IXMAX)=A(-1,IXMAX)
C
C      L(1,1,-1,IXMAX)=0
C      L(2,2,-1,IXMAX)=0
C      L(1,2,-1,IXMAX) = A(1,2,-1,IXMAX)
C      L(2,1,-1,IXMAX) = A(2,1,-1,IXMAX)
C
C      L(0,IXMAX)=A(0,IXMAX)-L(-1,IXMAX)*U(1,IXMAX-1)
C
C      L(1,1,0,IXMAX) = A(1,1,0,IXMAX) -
+
+      L(1,2,-1,IXMAX)*U(2,1,1,IXMAX-1)
C      L(1,2,0,IXMAX) = A(1,2,0,IXMAX) -
+      L(1,2,-1,IXMAX)*U(2,2,1,IXMAX-1)
C      L(2,1,0,IXMAX) = A(2,1,0,IXMAX) -
+      L(2,1,-1,IXMAX)*U(1,1,1,IXMAX-1)
C      L(2,2,0,IXMAX) = A(2,2,0,IXMAX) -
+      L(2,1,-1,IXMAX)*U(1,2,1,IXMAX-1)
C
C      END LU FACTORISATION.
C
C      FORWARD SUBSTITUTION.
C
C      FIRST STEP.
C
      L21 = L(2,1,0,I)/L(1,1,0,I)
      U22 = L(2,2,0,I) - L21*L(1,2,0,I)
      F(2,1) = F(2,1) - L21*F(1,1)
      F(2,1) = F(2,1)/U22
      F(1,1) = (F(1,1)-L(1,2,0,I)*F(2,1))/L(1,1,0,I)
C
C      SECOND AND GENERAL STEP.
C
      DO 20 I = 2,IXMAX
      L21 = L(2,1,0,I)/L(1,1,0,I)
      U22 = L(2,2,0,I) - L21*L(1,2,0,I)
      F1 = F(1,I) - L(1,2,-1,I)*F(2,I-1)
      F2 = F(2,I) - L(2,1,-1,I)*F(1,I-1)
      F2 = F2 - L21*F1
      F(2,I) = F2/U22
      F(1,I) = (F1-L(1,2,0,I)*F(2,I))/L(1,1,0,I)
20  CONTINUE
C
C      END FORWARD SUBSTITUTION.
C
C      BACK SUBSTITUTION.
C
C      FIRST STEP.
C
      W(1,IXMAX) = F(1,IXMAX)
      W(2,IXMAX) = F(2,IXMAX)
C
C      SECOND AND GENERAL STEP.
C
      DO 30 I = IXMAX - 1,1,-1
      W(1,I) = F(1,I) - U(1,1,1,I)*W(1,I+1)
+      - U(1,2,1,I)*W(2,I+1)
      W(2,I) = F(2,I) - U(2,1,1,I)*W(1,I+1)
+      - U(2,2,1,I)*W(2,I+1)
30  CONTINUE
C
C      END BACK SUBSTITUTION.
C
C***END TRIDIA
C
      RETURN
      END

```

tbe_maalt.f

Versjon av Bergenkoden som henter måledata til bruk som startbetingelse. Filene adata, bdata og ydata skal være ASCII-filer som inneholder et enkelt tall på hver linje. De skal inneholde de normaliserte Fourierkoeffisientene a_1 og b_1 , og transversal posisjon normalisert til kildens radius. Programmet kan lett utvides til å ta med høyere harmoniske i kildebetingelsen.

```

C
C      BEAM --- Bergen code
C      Transformed beam equation
C
C
PROGRAM BEAM
INTEGER IXMAX,NHARM,NUMBE,t,antall
PARAMETER (IXMAX=5000,NHARM=40,NUMBE=1)
DOUBLE PRECISION OMEGA(0:IXMAX,NHARM,2),WINDWX,START,STOP,
+ WBEAM(NUMBE),COLD(NHARM),CNEW(NHARM),
+ KHALF(NHARM),NONLI(0:IXMAX,NHARM,2),
+ A(2,2,-1:1,0:IXMAX),W(2,0:IXMAX),
+ F(2,0:IXMAX),WOKR(12*IXMAX+12),
+ FREQ,RADIUS,SSPEED,ALFA2,BETA,MACH,PI,
+ r0,rd,k,d
EXTERNAL COEFF,NONLIN,STEPP,BEWRI
DOUBLE PRECISION PABSOR,PNONLI,ISSSTEP
CHARACTER*10 transv,ax,desc,fn
COMMON /PARAM/PABSOR,PNONLI
COMMON /AXSTEP/ISSSTEP

fn = 'innfil' ! Name for the parameter file
antall = 3 ! Number of lines in the parameter file
OPEN(UNIT=9,FILE=fn,STATUS='unknown')
C
Først tre filnavn, så parametere
  write(9,2) 'tr301','ax301','dsc301',
+ 'M = ',0.7d-4,'a = ',27.d-3,
+ 'beta = ',3.5
  write(9,2) 'tr302','ax302','dsc302',
+ 'M = ',0.8d-4,'a = ',27.d-3,
+ 'beta = ',3.5
  write(9,2) 'tr303','ax303','dsc303',
+ 'M = ',0.9d-4,'a = ',27.d-3,
+ 'beta = ',3.5
CLOSE(9)
2
FORMAT(a5,1x,a5,1x,a6,2x,a4,e16.10,2x,a4,e16.10,2x,
+ a7,e16.10)
3
FORMAT(a5,1x,a5,1x,a6,6x,e16.10,6x,e16.10,9x,e16.10)
C
Input fra iterasjon.m
c3
format(a4,7x,e16.10,7x,e16.10,10x,e16.10)
C
Run the program for each line of fn
C
OPEN(UNIT=9,FILE=fn,STATUS='old')
DO 5 t=1,antall
READ(9,3) transv,ax,desc,mach,radius,beta
OPEN (UNIT=10,FILE=transv,STATUS='unknown')
OPEN (UNIT=11,FILE=ax,STATUS='unknown')
OPEN (unit=12,file=desc,STATUS='unknown')
C
Read input (For beregning av PABSOR og PNONLI)
C
Frekvens Hz
FREQ = 1.1d6
C
Radius, m (X = x/RADIUS)
c
RADIUS = 25.d-3
C
Lydhastighet, m/s
sspeed = 1490.0
C
Absorpsjonskonstant, s^2/m
alfa2 = 2.5d-14
C
Ikkelinearitetsparameter
c
beta = 3.5
C
Machtall
C
mach = 1.0D-4
C
Bredde paa sinus-avrunding av kilden
d = 0.

```

```

C      PI = 4*ATAN(1.0D0)
      k = 2*pi*freq/sspeed
      r0 = radius**2*k/2
      rd = 1/(beta*mach*k)
      PABSOR = alfa2*freq**2*r0
      PNONLI = r0/rd

c      WINDWX = 60.
c      ISSTEP = 3.5D-3
c      isstep = 2.d-3
c      wbeam(1) = 0.75

C      Initiate the Fourier coefficients.
C
C      CALL INIT(WINDWX,OMEGA,IXMAX,NHARM,d)
C
C      Integrate the differential equations.
C
      START = 0
      STOP = WBEAM(NUMBE)

C
      WRITE(12,*) 'c = ',sspeed,' a = ',radius,' f = ',freq
      WRITE(12,*) 'pabsorb = ',pabsor,' pnonlin = ',pnonli
      WRITE(12,*) 'Machtall = ',mach,' Rayl-dist = ',r0,
+ ' ' Sjokkavst = ',rd
      WRITE(12,*) 'Snittposisjon: ',(wbeam(i),i=1,numbe)
      WRITE(12,*) 'Antall harmoniske: ',nharm,' d = ',d
      CLOSE(12)

C
      WRITE(6,*) 'kzkcyl, M =',mach,' d = ',d,' nharm = ',
+ nharm
      CALL KZKCYL(OMEGA,IXMAX,NHARM,WINDWX,START,STOP,WBEAM,
+ NUMBE,COEFF,NONLIN,STAPP,BEWRI,COLD,CNEW,
+ KHALF,NONLI,A,W,F,WORK)

      CLOSE(10)
      CLOSE(11)
      CLOSE(12)
5      CONTINUE
      CLOSE(9)
      STOP
      END

      SUBROUTINE INIT(WINDWX,OMEGA,IXMAX,NHARM,d)
      INTEGER I,J,IXMAX,NHARM,n
      DOUBLE PRECISION OMEGA(0:IXMAX,NHARM,2),WINDWX,d,y(61),
+ X(0:ixmax),dm(2),a0(61,2),b0(61,2),
+ a(0:ixmax),b(0:ixmax),dm2(0:ixmax)
      DOUBLE PRECISION USTEP,FA

C      Retrieve measured data for the boundary condition
C
      open(unit=15,file='adata',status='unknown')
      open(unit=16,file='bdata',status='unknown')
      open(unit=17,file='ydata',status='unknown')
6      format(e16.10)
      do 7 i = 1,61
      read(15,6) a0(i,1)
      read(16,6) b0(i,1)
      read(17,6) y(i)
      a0(i,2) = a0(i,1)
      b0(i,2) = b0(i,1)
7      continue
      close(15)
      close(16)
      close(17)
      dm(1) = 1 ! array needed
      dm(2) = 2 ! in itplbv
      DO 20 I = 0,IXMAX
      IF (NHARM.GT.1) THEN
      DO 10 J = 2,NHARM
      OMEGA(I,J,1) = 0
      OMEGA(I,J,2) = 0
10      CONTINUE
      END IF
      dm2(i) = 1 ! array needed in itplbv
      X(i) = I* WINDWX/DBLE(IXMAX+1)
20      CONTINUE
C
C      Use interpolation to insert the boundary condition
C      into the model
C
      n = ixmax + 1
      call itplbv(12,61,2,y,dm,a0,n,x,dm2,a)
      call itplbv(12,61,2,y,dm,b0,n,x,dm2,b)
      do 25 i = 0,ixmax
      omega(i,1,2) = ustep(x(i),d)*a(i);
25      continue

      RETURN
      END

C      p(U,t) = A cos(wt) + B sin(wt)
C      = USTEP(X)*sin(wt + FA(X))
C
      DOUBLE PRECISION FUNCTION FA(U)
      DOUBLE PRECISION U
      FA = (ABS(U))**2
C      FA = 0 ! Uniform stempekkilde?
      RETURN
      END
      DOUBLE PRECISION FUNCTION USTEP(U,d)
      DOUBLE PRECISION U,d,pi
      IF (abs(U).le.(1.5d0 - d/2)) THEN
      IF (abs(U).le.(1.d0 - d/2)) THEN
      USTEP = 1
      ELSE
      if (abs(U).le.(1.d0 + d/2)) then
      pi = 4*atan(1.d0)
      USTEP = 0.5*(1 + sin(pi/d*(1 - abs(U))))
      else
      USTEP = 0
      end if
      END IF
      RETURN
      END
      SUBROUTINE BEWRI(WINDWX,SIGMA,OMEGA,IXMAX,NHARM)
      INTEGER NHARM,IXMAX,J,I
      DOUBLE PRECISION SIGMA,OMEGA(0:IXMAX,NHARM,2),WINDWX
      DOUBLE PRECISION S,X,AMP,AMPL,DB,AMPAX,amp2,db2,ampax3
      DOUBLE PRECISION amp3,amp4,amp5
      S = (1.D0+SIGMA)
C      write(10,*) sngl(sigma)
      DO 20 J = 1,1
      C      AMPAX = AMPL(OMEGA(0,J,1),OMEGA(0,J,2),S)
      C      AMPax3 = AMPL(OMEGA(0,2,1),OMEGA(0,2,2),S)
      DO 10 I = 0,IXMAX
      X = I*WINDWX/DBLE(IXMAX+1)
      AMP = AMPL(OMEGA(I,J,1),OMEGA(I,J,2),S)
C      IF (AMP.NE.0) THEN
C      DB = AMP/AMPAX
C      DB = -20*LOG10(DB)
C      if(db.gt.220)then
C      db = 0
C      endif
C      ELSE
C      DB = 0
C      END IF
C      AMP2 = AMPL(OMEGA(I,2,1),OMEGA(I,2,2),S)
C      IF (AMP2.NE.0) THEN
C      DB2 = AMP2/AMPax3
C      DB2 = -20*LOG10(DB2)
C      if (db2.gt.180) db2 = 0
C      ELSE
C      DB2 = 0
C      END IF
C      AMP3 = AMPL(OMEGA(I,3,1),OMEGA(I,3,2),S)
C      AMP4 = AMPL(OMEGA(I,4,1),OMEGA(I,4,2),S)
C      AMP5 = AMPL(OMEGA(I,5,1),OMEGA(I,5,2),S)
      WRITE (10,22) Sngl(X),Sngl(amp),Sngl(amp2),
+ Sngl(amp3),Sngl(amp4),Sngl(amp5)
10      CONTINUE
20      CONTINUE
22      FORMAT(6(e16.10,1x))
      WRITE(6,*) 'transv updated'
      RETURN
      END

C      On the axis:
C
      SUBROUTINE BEWRI2(SIGMA,OMEGA,IXMAX,NHARM)
      DOUBLE PRECISION SIGMA,OMEGA(0:IXMAX,NHARM,2)
      DOUBLE PRECISION AMP(5),AMPL,S
      INTEGER NHARM,IXMAX,I
      S = (1.D0+SIGMA)
      DO 25 I = 1,5
      AMP(I) = AMPL(OMEGA(0,I,1),OMEGA(0,I,2),S)
25      CONTINUE
      WRITE(11,28) sngl(SIGMA),(AMP(I),I=1,5)
28      FORMAT(6(e16.10,1x))
      RETURN
      END
      SUBROUTINE NONLIN(SIGMA,OMEGA,IXMAX,NHARM,NONLI)

```

```

INTEGER NHARM, IXMAX, I, J, N
DOUBLE PRECISION OMEGA(0:IXMAX, NHARM, 2)
DOUBLE PRECISION NONLI(0:IXMAX, NHARM, 2)
DOUBLE PRECISION SIGMA, FAKT, S, PABSOR, PNONLI
COMMON /PARAM/PABSOR, PNONLI
S = (1.DO+SIGMA)
DO 100 N = 1, NHARM
  DO 29 I = 0, IXMAX
    NONLI(I, N, 1) = 0
    NONLI(I, N, 2) = 0
29  CONTINUE
  DO 50 I = 0, IXMAX
    DO 30 J = 1, N - 1
      NONLI(I, N, 1) = NONLI(I, N, 1) +
+      (OMEGA(I, J, 2)*OMEGA(I, N-J, 1))
+      NONLI(I, N, 2) = NONLI(I, N, 2) +
+      OMEGA(I, J, 2)*OMEGA(I, N-J, 2) -
+      OMEGA(I, J, 1)*OMEGA(I, N-J, 1)
30  CONTINUE
    NONLI(I, N, 2) = 0.5*NONLI(I, N, 2)
    DO 40 J = N + 1, NHARM
      NONLI(I, N, 1) = NONLI(I, N, 1) +
+      OMEGA(I, J-N, 1)*OMEGA(I, J, 2) -
+      OMEGA(I, J-N, 2)*OMEGA(I, J, 1)
+      NONLI(I, N, 2) = NONLI(I, N, 2) -
+      OMEGA(I, J-N, 1)*OMEGA(I, J, 1) -
+      OMEGA(I, J-N, 2)*OMEGA(I, J, 2)
40  CONTINUE
50  CONTINUE
    FAKT = PNONLI*N/ (2*S)
    DO 60 I = 0, IXMAX
      NONLI(I, N, 1) = FAKT*NONLI(I, N, 1)
      NONLI(I, N, 2) = FAKT*NONLI(I, N, 2)
60  CONTINUE
100 CONTINUE
    RETURN
  END
DOUBLE PRECISION FUNCTION AMPL(FA, FB, S)
C
C  FUNCTION CALCULATING AMPLITUDE.
C
DOUBLE PRECISION FA, FB, S, SD
SD = FA**2 + FB**2
IF (S.NE.0) THEN
  AMPL = DSQRT(SD)/S
ELSE
  AMPL = DSQRT(SD)
END IF
END
SUBROUTINE COEFF(SIGC, SIGK, C, K, NHARM)
INTEGER NHARM, J
DOUBLE PRECISION SIGC, SIGK, C(NHARM), K(NHARM)
DOUBLE PRECISION PABSOR, PNONLI, SC, SK
COMMON /PARAM/PABSOR, PNONLI
SC = (1+SIGC)
SK = (1+SIGK)
DO 10 J = 1, NHARM
  C(J) = PABSOR* (J**2)
  K(J) = - 1.0/ (4*J* (SK**2))
10 CONTINUE
RETURN
END
DOUBLE PRECISION FUNCTION STEPP(SIGMA)
DOUBLE PRECISION SIGMA, ISSTEP
COMMON /AXSTEP/ISSTEP
STEPP = ISSTEP*(1 + SIGMA)**2
RETURN
END
SUBROUTINE KZKCYL(OMEGA, IXMAX, NHARM, WINDWX, START, STOP, WBEAM,
+ NUMBE, COEFF, NONLIN, STEPP, BEWRI, COLD, CNEW,
+ KHALF, NONLI, A, W, F, WORK)
C***BEGIN PROLOGUE KZKCYL
C***AUTHOR Jarle Berntsen, University of Bergen,
C EDB-senteret, Herman Fossgt 6, 5007 Bergen, NORWAY.
C***PURPOSE KZKCYL computes approximations to the Khokhlov-
C Zabolotzkaya-Kuznetsov equation, see [1,2].
C After a Fourier-series expansion of the pressure,
C we may compute approximations to the KZK equation by
C solving a system of nonlinear parabolic equations of
C the form:
C
C      dg(n)/dsigma = -c(n,sigma)g(n)
C                    + k(n,sigma)Laplacian(h(n))
C                    + ili(n,sigma,g,h)
C
C      dh(n)/dsigma = -c(n,sigma)h(n)
C                    - k(n,sigma)Laplacian(g(n))
C                    + il2(n,sigma,g,h)
C
C The terms on the right hand side of the equality sign
C are due to (from left to right) absorption,
C diffraction and nonlinearity.
C In KZKCYL the Laplacian is cylindrical coordinates.
C***DESCRIPTION Two numerical techniques are applied in KZKCYL in
C order to compute approximations to the system of
C equations given above.
C For uniform sources which are of particular
C interest, Gibbs oscillations appear in the
C numerical solution.
C In order to damp these we first take a few steps
C with a fully implicit method.
C In order to control the damping
C the S first harmonics of the Fourier expansion
C of the initial values are kept to 99.9 per cent
C of their full strength.
C S is set as a parameter in KZKCYL.
C
C After having removed the Gibbs oscillations we
C continue with the Trapezoidal rule
C (or Crank-Nicolson method or on this particular
C problem, Richtmyers procedure)
C which has 2'nd order accuracy and is
C unconditionally stable.
C
C The linear systems of equations that have to be
C solved in each step are solved with the routine
C TRIDIA.
C
C ON ENTRY
C OMEGA Real array of dimension (0:IXMAX, NHARM, 2).
C Contains in each step approximative values to g(n)
C and h(n).
C The first index defines the values of x for which
C g(n) and h(n) are approximated.
C The second index defines the harmonic number.
C If the last index is 1, approximations to g(n) are
C given. If the last index is 2, approximations to
C h(n) are given.
C On entry OMEGA must specify the initial values of
C g(n) and h(n).
C
C IXMAX Integer.
C Defines the number of interior grid points.
C
C NHARM Integer.
C Defines the number of harmonics retained in the
C numerical solution.
C
C WINDWX Real.
C WINDWX is the upper limit of x.
C
C START Real.
C The starting value of sigma.
C
C STOP Real.
C The final value of sigma.
C
C WBEAM Real array of dimension NUMBE.
C Specifies the values of sigma where we want print
C out of OMEGA.
C
C NUMBE Integer.
C The length of the array WBEAM.
C
C COEFF Subroutine, supplied by the user.
C COEFF must be declared as external in the calling
C program. COEFF is called by KZKCYL to compute the
C coefficients c(n,sigma) and k(n,sigma).
C
C Its specification is:
C SUBROUTINE COEFF(SIGC, SIGK, C, K, NHARM)
C INTEGER NHARM
C DOUBLE PRECISION SIGC, SIGK, C(NHARM), K(NHARM)
C
C SIGC defines on entry the value of sigma for which
C you want to compute the coefficients c(n,sigma).
C
C SIGK defines on entry the value of sigma for which
C you want to compute the coefficients k(n,sigma).
C
C C contains on exit the
C values of c(n, SIGC), n=1,..., NHARM.
C
C K contains on exit the

```

```

C          values of k(n,SIGK), n=1,...,NHARM.
C
C          NONLIN Subroutine, supplied by the user.
C          NONLIN must be declared as external in the calling
C          program. NONLIN is called by KZKCYL to compute the
C          nonlinear terms
C          il1(n,sigma,g,h) and il2(n,sigma,g,h).
C
C          Its specification is:
C          SUBROUTINE NONLIN(SIGMA,OMEGA,IXMAX,NHARM,ONLI)
C          INTEGER IXMAX,NHARM
C          DOUBLE PRECISION SIGMA
C          DOUBLE PRECISION OMEGA(0:IXMAX,NHARM,2)
C          DOUBLE PRECISION NONLI(0:IXMAX,NHARM,2)
C
C          SIGMA defines on entry the value of sigma for which
C          you want to compute the nonlinear terms.
C
C          OMEGA defines on entry the computed approximations
C          to g(n) and h(n).
C
C          NONLI must on exit contain the nonlinear terms.
C          If the last index is 1, approx. to il1 is indicated.
C          If the last index is 2, approx. to il2 is indicated.
C
C          STEPP Real function, supplied by the user.
C          STEPP must be declared as external in the calling
C          program. STEPP defines the step size in sigma
C          direction.
C
C          Its specification is:
C          DOUBLE PRECISION FUNCTION STEPP(SIGMA)
C          DOUBLE PRECISION SIGMA
C
C          BEWRI Subroutine, supplied by the user.
C          BEWRI must be declared as external in the calling
C          program. BEWRI is called by KZKCYL to write
C          information in OMEGA to file(s).
C
C          Its specification is:
C          SUBROUTINE BEWRI(WINDWX,SIGMA,OMEGA,IXMAX,NHARM)
C          INTEGER IXMAX,NHARM
C          DOUBLE PRECISION WINDWX,SIGMA
C          DOUBLE PRECISION OMEGA(0:IXMAX,NHARM,2)
C
ON RETURN
C
C          OMEGA contains the approximations to g(n) and h(n)
C          at sigma=STOP.
C
C          COLD Real work array of dimension NHARM.
C
C          CNEW Real work array of dimension NHARM.
C
C          KHALF Real work array of dimension NHARM.
C
C          NONLI Real work array of dimension (0:IXMAX,NHARM,2).
C
C          A Real work array of dimension (2,2,-1:1,0:IXMAX).
C
C          W Real work array of dimension (2,0:IXMAX).
C
C          F Real work array of dimension (2,0:IXMAX).
C
C          WORK Real work array of dimension (12*IXMAX+12).
C
C***REFERENCES
C [1]Zabolotskaya,E.A. and Khokhlov,V.Pa,
C Quasi-plane waves in the nonlinear acoustics of confined
C beams, Sov.Phys.Acoust.,15,1969,pp.35-40.
C [2]Kuznetsov,V.P.,Equations of nonlinear acoustics,
C Sov.Phys.Acoust.,16,1971,pp.467-470.
C [3]Hamilton,M.F. and Naze Tjotta,J. and Tjotta,S,
C Nonlinear effects in the farfield of a directive sound
C source, J.Acoust.Soc.Am.,78,1985,pp.202-216.
C [4]Berntsen,J.,The numerical calculation of the Khokhlov-
C Zabolotskaya-Kuznetsov equation for piston sources,
C Unpublished paper,1988.
C***ROUTINES CALLED COEFF,NONLIN,STEPP,BEWRI,TRIDIA
C***END PROLOGUE KZKCYL
C
C Global variables.
C
C          INTEGER IXMAX,NHARM,NUMBE
C          DOUBLE PRECISION OMEGA(0:IXMAX,NHARM,2),WINDWX,START,STOP,
C          + WBEAM(NUMBE),STEPP,COLD(NHARM),
C          + CNEW(NHARM),
C          + KHALF(NHARM),NONLI(0:IXMAX,NHARM,2),
C          + A(2,2,-1:1,0:IXMAX),W(2,0:IXMAX),
C          + F(2,0:IXMAX),
C          + WORK(12*IXMAX+12)
C          EXTERNAL COEFF,NONLIN,STEPP,BEWRI
C
C Local variables.
C
C          INTEGER L,I,BCOUNT,S,IMPSTP,IS,I1,I2
C          DOUBLE PRECISION STEP,SIG,OLDSIG,SIGMA,R,DIAG,OFFDIA,PI,
C          + XSTEP
C          DOUBLE PRECISION SIGC,SIGK,FAKT1,FAKT2
C          REAL wax,dwax
C
C          IMPSTP is the number of initial fully implicit steps.
C          The strength of the S first harmonics in the Fourier
C          expansion of the initial values must not be damped more than
C          0.1 percent when
C          taking the IMPSTP initial steps.
C
C          PARAMETER (IMPSTP=10)
C          PARAMETER (S=20)
C***FIRST EXECUTABLE STATEMENT KZKCYL
C
C          PI = 4*ATAN(1.d0)
C          BCOUNT = 1
C          SIGMA = START
C          dwax = 0.001
C          wax = START + dwax
C
C          By setting START = STOP, we may print out the initial values.
C
C          IF (START.EQ.STOP) THEN
C              CALL BEWRI(WINDWX,SIGMA,OMEGA,IXMAX,NHARM)
C              GO TO 999
C          END IF
C          XSTEP = ABS(WINDWX)/DBLE(IXMAX+1)
C          SIGC = SIGMA
C          SIGK = SIGMA
C          CALL COEFF(SIGC,SIGK,COLD,KHALF,NHARM)
C
C          Go IMPSTP steps with the fully implicit method.
C
C          DO 100 IS = 1,IMPSTP
C
C          Choose the step size such that the S first eigenvectors are
C          kept to 99.9 per cent of their initial strength after IMPSTP
C          steps.
C          STEP = SQRT(2./ (1000.*IMPSTP))* (2*WINDWX)**2/
C          + (ABS(KHALF(1))*S**2*PI**2)
C
C          step = 2.5d-3 ! 270202
C
C          SIG = SIGMA + STEP
C          OLDSIG = SIGMA
C          IF (BCOUNT.LE.NUMBE) THEN
C              SIGMA = MIN(SIG,WBEAM(BCOUNT),STOP)
C          ELSE
C              SIGMA = STOP
C          END IF
C          STEP = SIGMA - OLDSIG
C
C          Compute the coefficients and the nonlinear
C          contributions.
C
C          SIGC = SIGMA
C          SIGK = SIGMA
C          CALL COEFF(SIGC,SIGK,CNEW,KHALF,NHARM)
C          CALL NONLIN(SIGMA,OMEGA,IXMAX,NHARM,ONLI)
C          R = STEP/XSTEP**2
C
C          Loop for each harmonic L.
C
C          DO 50 L = 1,NHARM
C
C          Set up the appropriate systems of equations in the
C          way required for TRIDIA.
C
C          DIAG = 1 + STEP*CNEW(L)
C          OFFDIA = 2*R*KHALF(L)
C
C          First the diagonal 2*2 sub-matrices.
C
C          A(1,1,0,0) = DIAG
C          A(1,2,0,0) = 2*OFFDIA
C          A(2,1,0,0) = - A(1,2,0,0)
C          A(2,2,0,0) = DIAG

```

```

DO 10 I = 1,IXMAX
  A(1,1,0,I) = DIAG
  A(1,2,0,I) = OFFDIA
  A(2,1,0,I) = - OFFDIA
  A(2,2,0,I) = DIAG
10 CONTINUE
C
C Then the sub-matrices above the diagonal.
C
  A(1,2,1,0) = - 2*OFFDIA
  A(2,1,1,0) = - A(1,2,1,0)
  DO 20 I = 1,IXMAX - 1
    A(1,2,1,I) = - OFFDIA* (1+1/DBLE(2*I))/2
    A(2,1,1,I) = - A(1,2,1,I)
20 CONTINUE
C
C and the sub-matrices below the diagonal.
C
  DO 30 I = 1,IXMAX
    A(1,2, - 1,I) = - OFFDIA* (1-1/DBLE(2*I))/2
    A(2,1, - 1,I) = - A(1,2, - 1,I)
30 CONTINUE
C
C Define the right hand side.
C
  DO 40 I = 0,IXMAX
    F(1,I) = OMEGA(I,L,1) + STEP*NONLI(I,L,1)
    F(2,I) = OMEGA(I,L,2) + STEP*NONLI(I,L,2)
40 CONTINUE
C
C Solve the system of equations.
C
  I1 = 1
  I2 = I1 + 8*IXMAX + 8
  CALL TRIDIA(A,IXMAX+1,W,F,WORK(I1),WORK(I2))
C
C Insert the solution in OMEGA.
C
  DO 45 I = 0,IXMAX
    OMEGA(I,L,1) = W(1,I)
    OMEGA(I,L,2) = W(2,I)
45 CONTINUE
C
C End loop for each harmonic.
C
  COLD(L) = CNEW(L)
50 CONTINUE
C
C Send possible print out.
C
  IF (SIGMA.GE.WAX) THEN
    CALL BEWRI2(SIGMA,OMEGA,IXMAX,NHARM)
    wax=wax+dwax
  END IF
C
  IF (BCOUNT.LE.NUMBE) THEN
    IF (WBEAM(BCOUNT).LE.SIGMA) THEN
      CALL BEWRI(WINDWX,SIGMA,OMEGA,IXMAX,NHARM)
      BCOUNT = BCOUNT + 1
    END IF
  END IF
  IF (SIGMA.GE.STOP) THEN
    GO TO 999
  END IF
C
C End fully implicit loop.
C
100 CONTINUE
C
C Continue with the Richtmyer procedure.
C
105 CONTINUE
STEP = STEPP(SIGMA)
SIG = SIGMA + STEP
OLDSIG = SIGMA
IF (BCOUNT.LE.NUMBE) THEN
  SIGMA = MIN(SIG,WBEAM(BCOUNT),STOP)
ELSE
  SIGMA = STOP
END IF
STEP = SIGMA - OLDSIG
C
C Compute the coefficients and the nonlinear
C contributions.
C
  SIGC = SIGMA

```

```

SIGC = OLDSIG + STEP/2
CALL COEFF(SIGC,SIGC,CNEW,KHALF,NHARM)
CALL NONLIN(SIGMA,OMEGA,IXMAX,NHARM,NONLI)
R = STEP/XSTEP**2

```

```

C
C Loop for each harmonic L.
C
  DO 150 L = 1,NHARM
C
C Set up the appropriate systems of equations in the
C way required for TRIDIA.
C
    DIAG = 1 + STEP*CNEW(L)/2
    OFFDIA = R*KHALF(L)
C
C First the diagonal 2*2 sub-matrices.
C
    A(1,1,0,0) = DIAG
    A(1,2,0,0) = 2*OFFDIA
    A(2,1,0,0) = - A(1,2,0,0)
    A(2,2,0,0) = DIAG
    DO 110 I = 1,IXMAX
      A(1,1,0,I) = DIAG
      A(1,2,0,I) = OFFDIA
      A(2,1,0,I) = - OFFDIA
      A(2,2,0,I) = DIAG
110 CONTINUE
C
C Then the sub-matrices above the diagonal.
C
    A(1,2,1,0) = - 2*OFFDIA
    A(2,1,1,0) = - A(1,2,1,0)
    DO 120 I = 1,IXMAX - 1
      A(1,2,1,I) = - OFFDIA* (1+1/DBLE(2*I))/2
      A(2,1,1,I) = - A(1,2,1,I)
120 CONTINUE
C
C and the sub-matrices below the diagonal.
C
    DO 130 I = 1,IXMAX
      A(1,2, - 1,I) = - OFFDIA* (1-1/DBLE(2*I))/2
      A(2,1, - 1,I) = - A(1,2, - 1,I)
130 CONTINUE
C
C Set up the right hand side.
C
    DIAG = 1 - STEP*COLD(L)/2
    OFFDIA = R*KHALF(L)
    F(1,0) = DIAG*OMEGA(0,L,1) + 2*OFFDIA*
      + (OMEGA(1,L,2)-OMEGA(0,L,2)) + STEP*NONLI(0,L,1)
    F(2,0) = DIAG*OMEGA(0,L,2) - 2*OFFDIA*
      + (OMEGA(1,L,1)-OMEGA(0,L,1)) + STEP*NONLI(0,L,2)
    DO 140 I = 1,IXMAX - 1
      FAKT1 = 1 + 1/DBLE(2*I)
      FAKT2 = 1 - 1/DBLE(2*I)
      F(1,I) = DIAG*OMEGA(I,L,1) +
        + OFFDIA* (FAKT1*OMEGA(I+1,L,2)-2*OMEGA(I,L,2)
          + FAKT2*OMEGA(I-1,L,2))/2 + STEP*NONLI(I,L,1)
      F(2,I) = DIAG*OMEGA(I,L,2) -
        + OFFDIA* (FAKT1*OMEGA(I+1,L,1)-2*OMEGA(I,L,1)
          + FAKT2*OMEGA(I-1,L,1))/2 + STEP*NONLI(I,L,2)
140 CONTINUE
      FAKT2 = 1 - 1/DBLE(2*IXMAX)
      F(1,IXMAX) = DIAG*OMEGA(IXMAX,L,1) +
        + OFFDIA* (FAKT2*OMEGA(IXMAX-1,L,2)-
          + 2*OMEGA(IXMAX,L,2))/2
        + STEP*NONLI(IXMAX,L,1)
      F(2,IXMAX) = DIAG*OMEGA(IXMAX,L,2) -
        + OFFDIA* (FAKT2*OMEGA(IXMAX-1,L,1)-
          + 2*OMEGA(IXMAX,L,1))/2
        + STEP*NONLI(IXMAX,L,2)
C
C Solve the system of equations.
C
    I1 = 1
    I2 = I1 + 8*IXMAX + 8
    CALL TRIDIA(A,IXMAX+1,W,F,WORK(I1),WORK(I2))
C
C Insert the solution in OMEGA.
C
    DO 145 I = 0,IXMAX
      OMEGA(I,L,1) = W(1,I)
      OMEGA(I,L,2) = W(2,I)
145 CONTINUE
C
C End loop for each harmonic.
C
    COLD(L) = CNEW(L)

```

```

150 CONTINUE
C *****
C Send possible print out.
C *****

      IF (SIGMA.GE.WAX) THEN
        CALL BEWRI2(SIGMA,OMEGA,IXMAX,NHARM)
        wax=wax+dwax
      END IF
C
      IF (BCOUNT.LE.NUMBE) THEN
        IF (WBEAM(BCOUNT).LE.SIGMA) THEN
          CALL BEWRI(WINDWX,SIGMA,OMEGA,IXMAX,NHARM)
          BCOUNT = BCOUNT + 1
        END IF
      END IF
C
      IF (SIGMA.GE.STOP) THEN
        GO TO 999
      END IF
C
C End Richtmyer loop.
C
      GO TO 105
C
C***END KZKCYL
C
999 RETURN
END
SUBROUTINE TRIDIA(A,IXMAX,W,F,L,U)
C***BEGIN PROLOGUE TRIDIA
C***AUTHOR Jarle Berntsen, University of Bergen,
C EDB-senteret, Herman Fossgt 6, 5007 Bergen, NORWAY.
C***DATE WRITTEN 880810
C***PURPOSE
C BLOTRI SOLVES A BLOCK-THREE DIAGONAL SYSTEM OF EQUATIONS
C BY BLOCK GAUSSIAN ELIMINATION.
C 40*IXMAX OPERATIONS ARE NEEDED.
C
C THE BLOCKS ARE 2*2.
C THE 2*2 SUB-MATRICES BELOW AND ABOVE THE MAIN DIAGONAL OF
C A MUST HAVE ZEROS ON THEIR DIAGONALS.
C
C***DESCRIPTION
C
C ON ENTRY
C A DOUBLE PRECISION(2,2,-1:1,IXMAX).
C DEFINES THE
C THREE-DIAGONAL MATRIX.
C THE FIRST TWO INDEXES DEFINES THE
C POSITION OF
C AN ELEMENT WITHIN A 2*2 SUB-MATRIX.
C THE THIRD INDEX DEFINES THE DISTANCE
C OF THE
C SUB-MATRIX FROM THE DIAGONAL.
C THE LAST INDEX DEFINES THE ROW NUMBER
C OF THE SUB-MATRIX.
C THIS INDEX CONVENTION IS ALSO USED FOR
C L AND U. UNCHANGED ON EXIT.
C
C IXMAX INTEGER. THE NUMBER OF DIAGONAL
C SUB-MATRICES.
C
C F DOUBLE PRECISION(2,IXMAX). DEFINES THE
C RIGHT-HAND SIDE. MODIFIED ON EXIT.
C
C L DOUBLE PRECISION(2,2,-1:0,IXMAX).
C WORKING SPACE
C USED FOR THE SUBMATRICES ON AND BELOW
C THE DIAGONAL
C OF THE L-MATRIX OF THE LU-DECOMPOSITION.
C
C U DOUBLE PRECISION(2,2,1:1,IXMAX). WORKING
C SPACE USED FOR THE SUBMATRICES ABOVE
C THE DIAGONAL OF
C THE U MATRIX OF THE LU-DECOMP.
C THE DIAGONAL SUBMATRICES OF U ARE
C UNIT 2*2.
C
C ON RETURN
C
C W DOUBLE PRECISION(2,IXMAX).
C CONTAINS THE SOLUTION.
C
C***ROUTINES CALLED NONE
C***END PROLOGUE TRIDIA
C
C Global variables.
C
C INTEGER IXMAX
C DOUBLE PRECISION A(2,2, - 1:1,IXMAX)
C DOUBLE PRECISION W(2,IXMAX),F(2,IXMAX),L(2,2, - 1:0,IXMAX)
C DOUBLE PRECISION U(2,2,1:1,IXMAX)
C
C Local variables.
C
C INTEGER I,J
C DOUBLE PRECISION F1,F2,L21,U22
C
C LU-DECOMPOSE.
C
C FIRST STEP. (FIRST ROW)
C
C L(0,1)=A(0,1)
C
C***FIRST EXECUTABLE STATEMENT TRIDIA
C
      DO 1 I = 1,2
        DO 1 J = 1,2
          L(I,J,0,1) = A(I,J,0,1)
        C
        C THE 2*2 SYSTEMS ARE SOLVED AS FOLLOWS: (AX=F)
        C
        C L21=A21/A11
        C
        C U22=A22-L21*A12
        C
        C F2=F2-L21*F1
        C
        C X2=F2/U22
        C
        C X1=(F1-A12*X2)/A11
        C
        C L(0,1)*U(1,1)=A(1,1)
        C
        C L21 = L(2,1,0,1)/L(1,1,0,1)
        C
        C U22 = L(2,2,0,1) - L21*L(1,2,0,1)
        C
        C F2=A(2,1,1,1)-L21*A(1,1,1,1) (WE EXPLOIT ALL ZEROS)
        C
        C F2 = A(2,1,1,1)
        C
        C U(2,1,1,1) = F2/U22
        C
        C U(1,1,1,1)=(A(1,1,1,1)-L(1,2,0,1)*U(2,1,1,1))/L(1,1,0,1)
        C
        C U(1,1,1,1) = - L(1,2,0,1)*U(2,1,1,1)/L(1,1,0,1)
        C
        C F1 = A(1,2,1,1)
        C
        C F2 = - L21*F1
        C
        C U(2,2,1,1) = F2/U22
        C
        C U(1,2,1,1) = (F1-L(1,2,0,1)*U(2,2,1,1))/L(1,1,0,1)
        C
        C SECOND AND GENERAL STEP.
        C
        DO 10 I = 2,IXMAX - 1
          C
          C L(-1,I)=A(-1,I)
          C
          C L(1,1,-1,I)=0
          C
          C L(2,2,-1,I)=0
          C
          C L(1,2, - 1,I) = A(1,2, - 1,I)
          C
          C L(2,1, - 1,I) = A(2,1, - 1,I)
          C
          C L(0,I)=A(0,I)-L(-1,I)*U(1,I-1)
          C
          C L(1,1,0,I) = A(1,1,0,I) - L(1,2, - 1,I)*U(2,1,I-1)
          C
          C L(1,2,0,I) = A(1,2,0,I) - L(1,2, - 1,I)*U(2,2,I-1)
          C
          C L(2,1,0,I) = A(2,1,0,I) - L(2,1, - 1,I)*U(1,1,I-1)
          C
          C L(2,2,0,I) = A(2,2,0,I) - L(2,1, - 1,I)*U(1,2,I-1)
          C
          C L(0,I)*U(1,I)=A(1,I)
          C
          C L21 = L(2,1,0,I)/L(1,1,0,I)
          C
          C U22 = L(2,2,0,I) - L21*L(1,2,0,I)
          C
          C F2 = A(2,1,1,I)
          C
          C U(2,1,1,I) = F2/U22
          C
          C U(1,1,1,I) = - L(1,2,0,I)*U(2,1,1,I)/L(1,1,0,I)
          C
          C F1 = A(1,2,1,I)
          C
          C F2 = - L21*F1
          C
          C U(2,2,1,I) = F2/U22
          C
          C U(1,2,1,I) = (F1-L(1,2,0,I)*U(2,2,1,I))/L(1,1,0,I)
          C
          C CONTINUE
        C
        C END MAIN LOOP IN LU-DECOMP.
        C
        C THIRD AND LAST STEP. (LAST ROW)
        C
        C L(-1,IXMAX)=A(-1,IXMAX)
        C
        C L(1,1,-1,IXMAX)=0
        C
        C L(2,2,-1,IXMAX)=0
        C
        C L(1,2, - 1,IXMAX) = A(1,2, - 1,IXMAX)
        C
        C L(2,1, - 1,IXMAX) = A(2,1, - 1,IXMAX)

```



```

C      L(0,IXMAX)=A(0,IXMAX)-L(-1,IXMAX)*U(1,IXMAX-1)
C
C      L(1,1,0,IXMAX) = A(1,1,0,IXMAX) -
+      L(1,2, - 1,IXMAX)*U(2,1,1,IXMAX-1)
C      L(1,2,0,IXMAX) = A(1,2,0,IXMAX) -
+      L(1,2, - 1,IXMAX)*U(2,2,1,IXMAX-1)
C      L(2,1,0,IXMAX) = A(2,1,0,IXMAX) -
+      L(2,1, - 1,IXMAX)*U(1,1,1,IXMAX-1)
C      L(2,2,0,IXMAX) = A(2,2,0,IXMAX) -
+      L(2,1, - 1,IXMAX)*U(1,2,1,IXMAX-1)
C
C      END LU FACTORISATION.
C
C      FORWARD SUBSTITUTION.
C
C      FIRST STEP.
C
C      L21 = L(2,1,0,1)/L(1,1,0,1)
C      U22 = L(2,2,0,1) - L21*L(1,2,0,1)
C      F(2,1) = F(2,1) - L21*F(1,1)
C      F(2,1) = F(2,1)/U22
C      F(1,1) = (F(1,1)-L(1,2,0,1)*F(2,1))/L(1,1,0,1)
C
C      SECOND AND GENERAL STEP.
C
C      DO 20 I = 2,IXMAX
C          L21 = L(2,1,0,I)/L(1,1,0,I)
C          U22 = L(2,2,0,I) - L21*L(1,2,0,I)
C          F1 = F(1,I) - L(1,2, - 1,I)*F(2,I-1)
C          F2 = F(2,I) - L(2,1, - 1,I)*F(1,I-1)
C          F2 = F2 - L21*F1
C          F(2,I) = F2/U22
C          F(1,I) = (F1-L(1,2,0,I)*F(2,I))/L(1,1,0,I)
20 CONTINUE
C
C      END FORWARD SUBSTITUTION.
C
C      BACK SUBSTITUTION.
C
C      FIRST STEP.
C
C      W(1,IXMAX) = F(1,IXMAX)
C      W(2,IXMAX) = F(2,IXMAX)
C
C      SECOND AND GENERAL STEP.
C
C      DO 30 I = IXMAX - 1,1, - 1
C          W(1,I) = F(1,I) - U(1,1,1,I)*W(1,I+1)
C          +      - U(1,2,1,I)*W(2,I+1)
C          W(2,I) = F(2,I) - U(2,1,1,I)*W(1,I+1)
C          +      - U(2,2,1,I)*W(2,I+1)
30 CONTINUE
C
C      END BACK SUBSTITUTION.
C
C***END TRIDIA
C
C      RETURN
C      END
include 'itplbv.f'

C      In the focal plane the solution of the prefocal version of
C      the Transformed beam equation is transformed into boundary
C      conditions of the postfocal version of the Transformed beam
C      equation, and the sound field of the postfocal area is
C      obtained from the solution of the postfocal version of the
C      Transformed beam equation.
C
C*** on entry
C
C      actstart      double precision, the position of
C                    the center of the source, measured
C                    in units of the focal length.
C
C      ostart        double precision, the starting
C                    point for the solution of the
C                    Mixed beam equation.
C
C      actstop        double precision, the point where
C                    one starts storing data for the
C                    interpolation when solving the
C                    Mixed beam equation.
C
C      dsigma        double precision, the width in
C                    which data are stored for the
C                    interpolation.
C
C      fpoint        double precision, is the position
C                    of the focal plane.
C
C      fend          double precision, is the position
C                    of the end point of the procedure
C                    in which the postfocal version of
C                    the Wide angle equation is solved.
C
C*** routines called
C
C      widecyl, ph_shift, spline_2d_n, amp_trans_n
C***
C      variables that are used (mainly) in widesolve
C
C      integer i
C      double precision axl,incr,ostart,fpoint,fend,radius,
+      actstart,actstop,start,stop,k,
+      gain,r0,rd,freq,alpha2,sspeed,
+      beta,mach
C      character*4 ax
C
C      include 'incl.f'
C
C      the first statements
C
C      pi = 4.0*atan(1.d0)
C
C      SETTING THE PHYSICAL PARAMETERS
C
C      OPEN(UNIT=9,FILE='innfil',STATUS='old')
C      format(a4,7x,e16.10,7x,e16.10,10x,e16.10)
C      READ(9,3) ax,mach,flength,beta
C      close(9)
C
C      Focal length [m]
C      flength = 1000.d-3
C      Source radius [m]
C      radius = 24.3d-3
C      Frequency [Hz]
C      freq = 1.1d6
C      Mach number
C      mach = 1.d-5
C      Sound speed [m/s]
C      speed = 1490.0
C      Absorption coefficient [Np s^-2/m]
C      alpha2 = 2.5e-15
C      Nonlinearity parameter
C      beta = 3.5
C      Parameters that may be used for plots
C      psource = 4.84
C
C      Wave number
C      k = 2*pi*freq/sspeed
C      Rayleigh distance
C      r0 = k*radius**2/2.d0
C      Plane wave shock distance
C      rd = 1/(mach*beta*k)
C      Wave number times focal length
C      kd = k*flength
C      Aperture angle

```

mbe_tefb.f

Program for løsning av MBE og TEFB.

```

program mbe_tefb
implicit logical (a-z)

C
C      Written by Bjornar Ystad in 1994.
C
C*** purpose
C
C      This program simulates the sound field that is generated by
C      a source that is shaped as a spherical cap, and mounted in
C      a baffle. This is done by solving the Mixed beam equation
C      and the Transformed beam equations numerically.
C      The curved boundary condition is treated by the Mixed beam
C      equation. Then certain transformations are performed that
C      transforms this solution into boundary conditions for the
C      prefocal version of the Transformed beam equation. These two
C      equations give the sound field in the prefocal area.

```

```

soangle = radius/flength
oangle = asin(soangle)
C Absorption parameter
pa = alpha2*freq**2*flength
C Diffraction parameter
pd = 1.d0/dble(2*k*d)
C Nonlinearity parameter
pn = r0/rd
C
C SETTING GEOMETRICAL PARAMETERS
C
C Step length for the Richtmyer procedure
rstep = 0.001
C Intersection of the plane sigma = -1 and the cone satisfying C
u = uwidth
C ksimax = 4.0
C ksimax = 8.0
C Distance between the focal point and the origin of the
C TBE coordinates
C tbedelta = 5.0
C tbedelta = 1.0
C Position of the center of the source
actstart = -1.0
C Starting point for the MBE
C ostart = -1.0*cos(oangle)
C ostart = -1.0
C Starting point for storing interpolation data
actstop = -0.7
C actstop = -0.5
C Position of the focal point
fpoint = 0.0
C End point of the calculations
fend = 1/flength
C fend = 0.5
C
C Length of the interpolation region
dsigma = (int(-actstop*(1-cos(oangle))/rstep) +1)*rstep
C uwidth = ksimax/(1+tbedelta)
C
C INITIALIZING CONTROL VARIABLES
C
C nstep = 0
C acount = 1
C bcount = 1
C max_energy = 0.0
C
C the points where axis data are to be stored
C
C axl = fend - actstart
C incr = axl/bnant
C axl = actstart
C do 10 i=1, bnant
C waxis(i) = axl
C axl = axl + incr
10 continue
C
C the points where off-axis data are to be stored
C
C axl = fend - actstart
C incr = axl/bnant
C axl = actstart
C do 20 i=1,bnant
C axl = axl + incr
C bwaxis(i) = axl
20 continue
C do 30 i=1,bnant
C no_fc(i) = 200
30 continue
C
C OPENING FILES
C
C Axis plot
open(unit=filn,file=ax)
C Logging of the use of the Shapiro filter
C logg_f_n = filn + 1
C open(unit=logg_f_n,file='logg.f')
C Off-axis plots
transv_f_n = filn + 2
open(unit=transv_f_n,file='tr_b')
C List of parameters
desc_f_n = filn + 3
open(unit=desc_f_n,file='desc')
C
C write parameters to file and standard output
C
C write(*,*) 'flength =',flength,' d =',radius
C write(*,*) 'f =',freq,' mach =',mach
C write(*,*) 'k =',k,' r0 =',r0,' rd =',rd
C write(*,*) 'pn =',pn,' pd =',pd,' pa =',pa
C write(desc_f_n,*) 'flength =',flength,' d =',radius
C write(desc_f_n,*) 'f =',freq,' mach =',mach
C write(desc_f_n,*) 'k =',k,' r0 =',r0,' rd =',rd
C write(desc_f_n,*) 'pn =',pn,' pd =',pd,' pa =',pa
C
C *** CALCULATIONS
C
C the boundary condition of the Mixed beam equation
C
C call bound()
C
C solving the Mixed beam equation
C
C mbflag = 1
C delta = 0.0
C start = ostart
C stop = actstop + dsigma
C call widecyl(start,stop,actstop)
C
C performing the interpolation in the zeta-phimbe plane
C
C delta = tbedelta
C call spline_2d_n()
C
C performing the phase shift and the amplitude shift to
C find boundary conditions for the prefocal version of the
C Transformed beam equation
C
C call ph_shift_n()
C call amp_trans_n()
C
C source conditions for using only the wide angle equation
C
C call uni_bound(omega,ixmax,nharm,delta,uwidth)
C
C gain = 0.5*k*d*soangle**2
C call gauss_bound(omega,ixmax,nharm,delta,uwidth,
C + gain)
C
C solving the prefocal version of the Transformed beam equation
C
C mbflag = 2
C pd = pd/(soangle**2)
C oangle = 0.0
C
C start = firstsigma
C stop = fpoint
C delta = tbedelta
C call widecyl(start,stop,actstop)
C
C A second transformation is accomplished to find the
C boundary conditions for the postfocal version of the
C Transformed beam equation
C
C call fpl_transf()
C
C solving the postfocal version of the
C Transformed beam equation
C
C start = fpoint
C stop = fend
C delta = -tbedelta
C call widecyl(start,stop,actstop)
C end
C
C subroutine widecyl(start,stop,actstop)
C implicit logical (a-z)
C
C *** purpose
C
C This routine solves the equations for the Fourier coefficients
C of the Mixed beam equation and the Transformed beam equation.
C It uses the numerical techniques called the fully implicit
C method and Richtmyer's method.
C
C *** on entry
C
C start double precision, is the first value of the
C evolution variable
C
C stop double precision is the final value of the
C evolution variable.
C
C actstop double precision is the position where one
C starts to store data for the interpolation

```

```

C          when the Mixed beam equation is solved.  r = step/xstep**2
C** routines called
C          calccos, coeff, nonlin, output
C***
C          global variables
C          double precision start,stop,actstop
C          include 'incl.f'
C          local variables
C          integer l, i, s, is, i1, i2, filter
C          double precision step, sig, oldsig, sigma, r, diag, offdia,
+          istep, xstep, sigc, sigk, fakt1, fakt2,
+          hres, hdeno, hsigma, lower, coangd
C          parameter(      s = 20)
C          the first statements
C          sigma = start
C          if(start .eq. stop) then
C            go to 999
C          endif
C          if(mbflag .eq. 1) then
C            coangd = -start*cos(coangle)
C            lower = atan(ksimax*(actstop + dsigma - tbedelta)/
+              ((1 + tbedelta)*(actstop + dsigma)))
C            lower = atan(ksimax*(coangd + delta - stop)/
+              ((coangd + delta)*(coangd - stop)))
C            xstep = (lower + pi/2.d0)/dble(2*(ixmax+1))
C            WRITE(*,*) 'LOWER: ', lower/(ixmax+1)
C            WRITE(*,*) 'xstep: ', xstep
C            WRITE(*,*) 'PI/2: ', pi/2.d0/(ixmax+1)
C            xstep = pi/dble(2*(ixmax+1))
C          else
C            xstep = uwidth/(ixmax+1)
C          endif
C          call shap_trans()
C          calculate a factor of the diffraction/absorption coefficients
C          that depend on the variable phi (x)
C          call calccos()
C          solve the equation in impstp step by using the implicit methdd
C          do 100 is = 1,impstp
C          different step values are chosen for the various equations
C          if(mbflag .eq. 1) then          ! MBE
C            step = 0.005
C            step = 0.02
C          elseif(delta .gt. 0.0) then    ! TEFB 1
C            step = 0.005
C            step = 0.0005
C          else                            ! TEFB 2
C            step = 0.000
C            step = 0.005
C          endif
C          istep = step
C          sig = sigma + step
C          oldsig = sigma
C          sigma = min(sig,stop)
C          step = sigma - oldsig
C          sigc = sigma
C          sigk = sigma
C          calculate the coefficients of the absorption/diffraction
C          terms
C          call coeff(sigc,sigk)
C          calculate the coefficients of the nonlinear terms
C          call nonlin(sigma)
C          for each harmonic component, find an approximate solution
C          to its equation by the implicit method
C          do 50 l=1,nharm
C            make the first block - row in the matrix
C            diag = 1+step*cnew(0,l)
C            offdia = 2*r*khalf(0,l)
C            a(1,1,0,0) = diag
C            a(1,2,0,0) = 2*offdia
C            a(2,1,0,0) = -a(1,2,0,0)
C            a(2,2,0,0) = diag
C            a(1,2,1,0) = -2*offdia
C            a(2,1,1,0) = -a(1,2,1,0)
C            make the rest of the block rows except the last one
C            do 10 i=1,ixmax - 1
C              diag = 1 + step*cnew(i,l)
C              offdia = 2*r*khalf(i,l)
C              a(1,2,-1,i) = -offdia*(1-1/dble(2*i))/2
C              a(2,1,-1,i) = -a(1,2,-1,i)
C              a(1,1,0,i) = diag
C              a(1,2,0,i) = offdia
C              a(2,1,0,i) = -offdia
C              a(2,2,0,i) = diag
C              a(1,2,1,i) = -offdia*(1+1/dble(2*i))/2
C              a(2,1,1,i) = -a(1,2,1,i)
C            continue
C            make the last block row
C            diag = 1+step*cnew(ixmax,l)
C            offdia = 2*r*khalf(ixmax,l)
C            a(1,2,-1,ixmax) = -offdia*(1-1/dble(2*ixmax))/2
C            a(2,1,-1,ixmax) = -a(1,2,-1,ixmax)
C            a(1,1,0,ixmax) = diag
C            a(1,2,0,ixmax) = offdia
C            a(2,1,0,ixmax) = -offdia
C            a(2,2,0,ixmax) = diag
C            make the right hand side of the system of equations
C            do 20 i=0,ixmax
C              f(1,i) = omega(i,1,1) + step*nonli(i,1,1)
C              f(2,i) = omega(i,1,2) + step*nonli(i,1,2)
C            continue
C            solve the linear system of equations
C            i1 = 1
C            i2 = i1 + 8*ixmax + 8
C            call tridia(a,ixmax+1,w,f,work(i1),work(i2))
C            substitute the solution into omega
C            do 30 i=0,ixmax
C              omega(i,1,1) = w(1,i)
C              omega(i,1,2) = w(2,i)
C            continue
C            perform the damping of the solution on the border
C            and the smoothing of the Shapiro filter
C            call dampsol(omega,ixmax,nharm)
C            call shap_smo()
C            call output in case there is data to be stored
C            call output(sigma,actstop)
C            if (sigma .ge. stop) then
C              go to 999
C            endif

```

```

100 continue                                a(1,2,0,ixmax) = offdia
C                                           a(2,1,0,ixmax) = -offdia
C go on solving the equation by Richtmyer's method      a(2,2,0,ixmax) = diag
C
C                                           C
105 continue                                C make the right hand side of the system of equations
C hsigma = 1.0+sigma                        C
C                                           C the first component of the right hand side
C choose step length
C (in the interpolation region step should be equal to rstep,
C as rstep is used in spline_2d_n and for calculating dsigma)
C                                           diag = 1 - step*cold(0,1)/2
C                                           offdia = r*khalf(0,1)
C
C if(hsigma .ge. 0.9 .and. hsigma .le. 1.4) then
C   step = rstep/10.d0
C else
C   step = rstep
C endif
C if(hsigma .ge. 1.5) then
C   pa = 0.0
C endif
C
C sig = sigma + step                        C the components in between
C oldsig = sigma                          C
C sigma = min(sig,step)                   C
C step = sigma - oldsig
C sigc = sigma
C sigk = oldsig + step/2
C
C for each step calculate the coefficients of the absorption,
C diffraction and nonlinear terms
C
C call coeff(sigc,sigk)
C call nonlin(sigma)
C
C r = step/xstep**2
C
C find an approximate solution to each harmonic component
C by using Richtmyer's method
C
C do 150 l=1,nharm                          120 continue
C
C make the matrix for the system of equations
C
C make the first block - row
C
C diag = 1+step*cnew(0,1)/2
C offdia = r*khalf(0,1)
C
C a(1,1,0,0) = diag
C a(1,2,0,0) = 2*offdia
C a(2,1,0,0) = -a(1,2,0,0)
C a(2,2,0,0) = diag
C
C
C a(1,2,1,0) = -2*offdia
C a(2,1,1,0) = -a(1,2,1,0)
C
C
C make the rest of the block rows except the last one
C
C do 110 i=1,ixmax - 1
C   diag = 1 + step*cnew(i,1)/2
C   offdia = r*khalf(i,1)
C
C   a(1,2,-1,i) = -offdia*(1-1/dble(2*i))/2
C   a(2,1,-1,i) = -a(1,2,-1,i)
C
C
C   a(1,1,0,i) = diag
C   a(1,2,0,i) = offdia
C   a(2,1,0,i) = -offdia
C   a(2,2,0,i) = diag
C
C
C   a(1,2,1,i) = -offdia*(1+1/dble(2*i))/2
C   a(2,1,1,i) = -a(1,2,1,i)
C
110 continue
C
C make the last block row
C
C diag = 1+step*cnew(ixmax,1)/2
C offdia = r*khalf(ixmax,1)
C
C a(1,2,-1,ixmax) = -offdia*(1-1/dble(2*ixmax))/2
C a(2,1,-1,ixmax) = -a(1,2,-1,ixmax)
C
C
C a(1,1,0,ixmax) = diag
C
C                                           a(1,2,0,ixmax) = offdia
C                                           a(2,1,0,ixmax) = -offdia
C                                           a(2,2,0,ixmax) = diag
C
C                                           C
C                                           C make the right hand side of the system of equations
C                                           C
C                                           C the first component of the right hand side
C
C                                           diag = 1 - step*cold(0,1)/2
C                                           offdia = r*khalf(0,1)
C
C                                           f(1,0) = diag*omega(0,1,1) +
C                                           + 2*offdia*(omega(1,1,2) - omega(0,1,2)) +
C                                           + step*nonli(0,1,1)
C
C                                           f(2,0) = diag*omega(0,1,2) -
C                                           + 2*offdia*(omega(1,1,1) - omega(0,1,1)) +
C                                           + step*nonli(0,1,2)
C
C                                           C
C                                           C the components in between
C                                           C
C                                           do 120 i=1,ixmax-1
C
C                                           diag = 1 - step*cold(i,1)/2
C                                           offdia = r*khalf(i,1)
C
C                                           fakt1 = 1 + 1/dble(2*i)
C                                           fakt2 = 1 - 1/dble(2*i)
C
C                                           f(1,i) = diag*omega(i,1,1) +
C                                           + offdia*(fakt1*omega(i+1,1,2)-2*omega(i,1,2))+
C                                           + fakt2*omega(i-1,1,2))/2 +step*nonli(i,1,1)
C
C                                           f(2,i) = diag*omega(i,1,2) -
C                                           + offdia*(fakt1*omega(i+1,1,1)-2*omega(i,1,1))+
C                                           + fakt2*omega(i-1,1,1))/2 +step*nonli(i,1,2)
C
C                                           C
C                                           C
120 continue
C
C make the last component of the right hand side
C
C diag = 1 - step*cold(ixmax,1)/2
C offdia = r*khalf(ixmax,1)
C fakt2 = 1 - 1/dble(2*ixmax)
C f(1,ixmax) = diag*omega(ixmax,1,1) +
C + offdia*(fakt2*omega(ixmax-1,1,2) -
C + 2*omega(ixmax,1,2))/2+step*nonli(ixmax,1,1)
C
C f(2,ixmax) = diag*omega(ixmax,1,2) -
C + offdia*(fakt2*omega(ixmax-1,1,1) -
C + 2*omega(ixmax,1,1))/2+step*nonli(ixmax,1,2)
C
C
C solve the system of equations
C
C i1 = 1
C i2 = i1 + 8*ixmax + 8
C call tridia(a,ixmax+1,w,f,work(i1),work(i2))
C
C substitute the solution into omega
C
C do 130 i=0,ixmax
C   omega(i,1,1) = w(1,i)
C   omega(i,1,2) = w(2,i)
C continue
C
C store the value of the absorption coefficient
C
C do 140 i=0,ixmax
C   cold(i,1) = cnew(i,1)
140 continue
150 continue
C
C perform the damping of the solution
C and the smoothing of the Shapiro filter
C
C call dampsol(omega,ixmax,nharm)
C call test_fc_siz(filter)
C if(filter .eq. 1) then
C   call shap_smo()
C   hres = 1.0
C else
C   hres = 0.0
C endif
C hsigma = 1.0 + sigma
C
C register whether the filter has been used or not

```

```

C
C      write(logg_f_n,*) hsigma, hres
C
C      call output in case there is any data to be stored
C
C      call output(sigma,actstop)
C
C      if (sigma .ge. stop) then
C          go to 999
C      endif
C      go to 105
999  continue
      return
      end

      subroutine test_fc_siz(filter)
      implicit logical(a-z)
C
C      This routine estimates the energy of the 10 highest harmonics
C      and compares it to the energy of the total solution.
C      This is used to decide whether the Shapiro filter is to
C      be used or not.
C
C      global variables
C
C      integer filter
C      include 'incl.f'
C
C      local variables
C
C      integer i,j,k
C      double precision up_energy,tot_energy,cmp
C
C      tot_energy=0.0
C      do 30 k=1,2
C      do 20 j=1,nharm
C      do 10 i=1,ixmax
C          tot_energy=tot_energy+omega(i,j,k)**2
C      continue
C      continue
C      continue
C      tot_energy=sqrt(tot_energy)
C      if(tot_energy .gt. max_energy) then
C          max_energy = tot_energy
C      endif
C
C      up_energy=0.0
C      do 60 k=1,2
C      do 50 j=nharm,nharm-10,-1
C      do 40 i=1,ixmax
C          up_energy=up_energy+omega(i,j,k)**2
C      continue
C      continue
C      continue
C      up_energy=sqrt(up_energy)
C
C      cmp=0.001*max_energy
C
C      if(up_energy .ge. cmp) then
C          filter = 1
C      else
C          filter = 0
C      endif
C      return
C      end

      subroutine shap_trans()
      implicit logical(a-z)
C
C      This routine calculates the amplitude transfer function of
C      the Shapiro filter
C
C      global variables
C
C      include 'incl.f'
C
C      local variables
C
C      integer i,j,power
C
C      double precision sarg,help,arg
C
C      power = 2*ord_shap + 2
C      shap(nharm) = 0.0
C
C      do 20 j=1,nharm-1
C
C          arg = (dble(j)/dble(nharm))*(pi/2.0)
C          sarg = sin(arg)
C          help = sarg
C          do 10 i=1,power-1
C              help = help*sarg
C          continue
C          shap(j)=1.0-help
C      continue
C      return
C      end

      subroutine shap_smo()
      implicit logical (a-z)
C
C      This routine performs the smoothing of the Shapiro filter
C
C      global variables
C
C      include 'incl.f'
C
C      local variables
C
C      integer i,j,k
C
C      do 30 k=1,2
C      do 20 j=1,nharm
C      do 10 i=0,ixmax
C          omega(i,j,k) = omega(i,j,k)*shap(j)
C      continue
C      continue
C      continue
C      return
C      end

      subroutine calccos()
      implicit logical (a-z)
C
C      C*** purpose
C
C      The routine calculates the part of the absorption/diffraction
C      coefficients that depends upon the transverse variable
C
C      C***
C
C      include 'incl.f'
C      local variables
C
C      double precision angstep, coang, angle
C      integer border, i
C
C      first statements
C
C      if (mbflag .eq. 1) then
C
C      the Mixed beam equation is solved
C
C          angstep = pi/(2*(ixmax+1))
C          border = nint(oangle/angstep)
C          angle = 0.0
C
C      the values of the factors in the inner area
C      (if there is any)
C
C          if(border .gt. 0) then
C              coang = cos(oangle)
C              do 10 i=0, border
C                  cc(i) = coang
C                  cinvc(i) = 1/coang
C              continue
C              angle = (border+1)*angstep
C          else
C              cc(0) = 1.0
C              cinvc(0) = 1.0
C          endif
C
C      the values of the factors in the outer area
C
C          if(border .lt. ixmax) then
C              do 20 i=border+1,ixmax
C                  cc(i) = cos(angle)
C                  cinvc(i) = 1/cc(i)
C                  angle = angle + angstep
C              continue
C          endif
C      else
C
C      the Transformed beam equation is solved

```

```

C
      do 30 i=0,imax
        cc(i) = 1.0
        cinvc(i) = 1.0
30      continue
      endif
      return
      end

      subroutine coeff(sigc,sigk)
      implicit logical (a-z)
C
C*** purpose
C
C      The routine calculates coefficients for the diffraction/
C      absorption terms when the equations of this program are
C      solved by the implicit method and by Richtmyer's method.
C
C*** on entry
C
C      sigc      double precision, is the value of the
C                evolution variable that is used in the
C                calculation of the absorption coefficient
C                It corresponds to step "j+1" for both the
C                fully implicit and
C                the Richtmyer method.
C
C      sigk      double precision, is the value of the
C                evolution variable that is used in the
C                calculation of the diffraction coefficient
C                It corresponds to step "j+1" for the fully
C                implicit and "j+1/2" for the Richtmyer
C                method.
C
C*** routines called none
C
C      global variables
C
C      double precision sigc,sigk
C      include 'incl.f'
C
C      local variables
C
C      integer i,j
C
C      double precision hsigk
C      first statements
C
C      hsigk = sigk-delta
C
C      do 20 j = 1,nharm
      do 10 i=0,imax
        cnew(i,j) = pa*cinvc(i)*j**2
        khalf(i,j) = -pd*cc(i)/(j*hsigk**2)
10      continue
20      continue
      return
      end

      subroutine axwri(actsigma)
C
C*** purpose
C
C      This routine writes the pressure on axis in the position
C      corresponding to sigma to the file with ref. no. filn
C
C*** on entry
C
C      actsigma  double precision, is the evolution variable.
C
C*** routines called none
C
C      implicit logical (a-z)
C
C      global variables
C
C      double precision actsigma
C      include 'incl.f'
C
C      local variables
C
C      integer i,j
C      double precision abrad,sigma,hsig,hres,htab(2*max),
+      hstep,deno
C
C      statements
C
C      sigma = actsigma
C      abrad = abs(sigma)+abs(delta)
C      hstep = uwidth/(imax+1)
C      deno = actsigma - delta
C
C      hsig = sigma + 1
      do 10 j=1,max
        i=j
        htab(j) = omega(0,i,1)/deno
        htab(j+max) = omega(0,i,2)/deno
10      continue
      write(filn,1) hsig,(htab(j),j=1,2*max)
      format(e16.10, 60(1x,e16.10))
      return
      end

      subroutine fcbewri(sigma)
      implicit logical (a-z)
C
C*** purpose
C
C      This routine writes the Fourier coefficients in
C      off-axis points to the file with ref. no. transv_f_n.
C
C*** on entry
C
C      sigma      double precision, the evolution variable.
C*** routines called none
C
C      global variables
C
C      double precision sigma
C      include 'incl.f'
C
C      local variables
C
C      integer i,j,hind,indincr,hantsp
C      double precision dksi,ksim,expincr,hdeno,abdeno,ustep,u,ex
C      double precision ha(max),hb(max)
C
C      statements
C
C      u = 0.0
C      hantsp = no_fc(bcount)
C      hdeno = sigma - delta
C      abdeno = abs(hdeno)
C      ksim = abdeno*uwidth
C      dksi = ksim/dble(imax + 1)
C      indincr = nint(expincr/dksi)
C      if(indincr .eq. 0) then
C        indincr = 1
C      endif
C      ustep = uwidth/(hantsp + 1)
C
C      write(*,*) '-+----- --- --- +-----+'
C      write(*,*) ' FCBEWRI, sigma =',sigma,', '
C      write(*,*) ' bwaxis(',bcount,') =',bwaxis(bcount),', '
C      write(*,*) ' indincr =',indincr,', uwidth =',uwidth,
+      ' ksim =',ksim
C      write(desc_f_n,*) '-+----- --- --- +-----+'
C      write(desc_f_n,*) ' FCBEWRI, sigma =',sigma,', '
C      write(desc_f_n,*) ' bwaxis(',bcount,') =',bwaxis(bcount),', '
C      write(desc_f_n,*) ' indincr =',indincr,', uwidth =',uwidth,
+      ' ksim =',ksim
C      if(bnant .eq. bcount) then
C        write(desc_f_n,*) '-+----- --- --- +-----+'
C        write(*,*) '-+----- --- --- +-----+'
C      endif
C
C      do 20 i=0,hantsp-1
C      ex = abdeno*u
C      hind = indincr*i
C      do 10 j=1,max
C        ha(j) = omega(hind,j,1)/hdeno
C        hb(j) = omega(hind,j,2)/hdeno
10      continue
      write(transv_f_n,2) ex,(ha(j),j=1,max),
+      (hb(j),j=1,max)
C
C      u = u + ustep
20      continue
      format(e16.10,60(1x,e16.10))
      return

```

```

end
subroutine nonlin(sigma)
implicit logical (a-z)
C
C*** purpose
C
C This routine calculates the nonlinear contributions to the
C equations for the fourier coefficients.
C
C*** on entry
C
C sigma double precision, is the position in which
C the equation is currently being solved.
C
C*** routines called none
C
CC global variables
CC
CC double precision sigma
CC include 'incl.f'
C
C local variables
C
C integer i,j,n,hmax,hant
C external ddot
C double precision fact, s, hu(nharm), hv(nharm),ddot,
C + hv(nharm),hx(nharm),hy(nharm),hz(nharm)
C
C statements
C
C s = sigma - delta
C if (mbflag .eq. 1) then
C s = abs(s)
C endif
C
C hmax=ixmax/2
C
C do 100 n=1,nharm
C do 20 i=0,ixmax
C nonli(i,n,1) = 0.0
C nonli(i,n,2) = 0.0
20 continue
C hant = nharm - n
C
C do 50 i=0,hmax
C do 30 j=1,n-1
C nonli(i,n,1) = nonli(i,n,1) +
C + omega(i,j,2)*omega(i,n-j,1)
C + hu(j) = omega(i,j,2)
C + hv(j) = omega(i,n-j,1)
C + nonli(i,n,2) = nonli(i,n,2) +
C + omega(i,j,2)*omega(i,n-j,2)-
C + omega(i,j,1)*omega(i,n-j,1)
C + hv(j) = omega(i,n-j,2)
C + hx(j) = omega(i,j,1)
30 continue
C nonli(i,n,1) = ddot(n-1,hu,1,hv,1)
C nonli(i,n,2) = ddot(n-1,hu,1,hv,1)-ddot(n-1,hx,1,hv,1)
C nonli(i,n,2) = 0.5*nonli(i,n,2)
C
C do 40 j=n+1,nharm
C nonli(i,n,1) = nonli(i,n,1) +
C + omega(i,j-n,1)*omega(i,j,2)-
C + omega(i,j-n,2)*omega(i,j,1)
C + hu(j-n) = omega(i,j-n,1)
C + hv(j-n) = omega(i,j,2)
C + hw(j-n) = omega(i,j-n,2)
C + hx(j-n) = omega(i,j,1)
C
C nonli(i,n,2) = nonli(i,n,2) -
C + omega(i,j-n,1)*omega(i,j,1) -
C + omega(i,j-n,2)*omega(i,j,2)
40 continue
C nonli(i,n,1) = nonli(i,n,1) +
C + ddot(hant,hu,1,hv,1)-
C + ddot(hant,hv,1,hx,1)
C + nonli(i,n,2) = nonli(i,n,2) -
C + ddot(hant,hu,1,hx,1)-
C + ddot(hant,hv,1,hv,1)
50 continue
fact = pn*n/s
do 60 i=0,ixmax
nonli(i,n,1) = fact*nonli(i,n,1)
nonli(i,n,2) = fact*nonli(i,n,2)
60 continue
continue
return
end
subroutine bound()
implicit logical (a-z)
C
C*** purpose
C
C This routine assigns the boundary condition of the Mixed beam
C equation to the quantity omega.
C
C*** routines called none
C
C global variables
C
C include 'incl.f'
C
C local variables
C
C integer i,j,border
C double precision angstep
C
C statements
C
C angstep = pi/(2*(ixmax+1))
C border = nint(oangle/angstep)
C
C the harmonic variation on the active source
C
C if (border .gt. 0) then
C do 10 i=0,border
C omega(i,1,1) = 0.0
C omega(i,1,2) = 1.0
10 continue
C endif
C
C the first harmonics on the baffle
C
C if (border .lt. ixmax) then
C do 20 i=border+1,ixmax
C omega(i,1,1) = 0.0
C omega(i,1,2) = 0.0
20 continue
C endif
C
C the rest of the harmonics
C
C do 40 j=2,nharm
C do 30 i=0,ixmax
C omega(i,j,1) = 0.0
C omega(i,j,2) = 0.0
30 continue
40 continue
return
end
subroutine output(sigma,actstop)
implicit logical (a-z)
C
C*** purpose
C
C The purpose of this routine is:
C 1) When the Mixed beam equation is solved it stores data for
C the interpolation.
C 2) It administers the writing of axis plots.
C
C***
C
C sigma double precision, is the position of the
C current solution.
C
C actstop double precision, is the position where we
C will start storing solutions for the
C interpolation when the Mixed beam equation
C is solved.
C*** routines called

```

```

C                                     write(*,*) 'Array index out of bounds in wr_polgrid,'
C   wr_polgrid, axwri                 write(*,*) 'increase sigdim to match nstep: ',nstep
C                                     write(*,*) '(making more room in polgrid)'
C***                                  stop
C                                     endif
C   global variables                   do 30 k=1,2
C                                     do 20 j = 1,nharm
C   double precision sigma,actstop     do 10 i = 0,ixmax
C   include 'incl.f'                   polgrid(i,j,k,nstep) = omega(i,j,k)
C   local variable                      10   continue
C                                     20   continue
C   double precision actsigma          30   continue
C                                     return
C   statements                           end
C                                     subroutine ph_shift_n()
C   When we are solving the Mixed beam equation, the solutions
C   from actstop to the final solution are stored in polgrid
C   to make the coming interpolation possible. firstsigma is
C   the sigma value of the first solution that is stored in
C   polgrid.
C                                     C**purpose
C                                     C
C   if (mbflag .eq. 1) then
C   if (sigma .ge. actstop) then
C     nstep = nstep+1
C     call wr_polgrid()
C   endif
C   if (nstep .eq. 1) then
C     firstsigma = sigma
C   endif
C   storing of data for axis plots
C   if (mbflag .eq. 1) then
C     actsigma = sigma/cos(oangle)
C   else
C     actsigma = sigma
C   endif
C   if (account .le. nant) then
C     if (waxis(account) .le. actsigma) then
C   if (mbflag .eq. 1) then
C     if (actsigma .lt. actstop) then
C       call axwri(actsigma)
C       account = account+1
C     endif
C   else
C     call axwri(actsigma)
C     account=account+1
C   endif
C   endif
C   endif
C   if (bcount .le. bnant) then
C   if (bwaxis(bcount) .le. actsigma) then
C     if (mbflag .eq. 1) then
C       if (actsigma .lt. actstop) then
C         call fcbevri(actsigma)
C         bcount = bcount + 1
C       endif
C     else
C       call fcbevri(actsigma)
C       bcount = bcount + 1
C     endif
C   endif
C   return
C   end
C   subroutine wr_polgrid()
C   implicit logical (a-z)
C*** purpose
C   The routine writes the solution omega to polgrid.
C   C*** routines called none
C   C
C   include 'incl.f'
C   local variables
C   integer i,j,k
C   statements
C   if (nstep .gt. sigdim) then
C                                     write(*,*) 'Array index out of bounds in wr_polgrid,'
C                                     write(*,*) 'increase sigdim to match nstep: ',nstep
C                                     write(*,*) '(making more room in polgrid)'
C                                     stop
C                                     endif
C                                     do 30 k=1,2
C                                     do 20 j = 1,nharm
C                                     do 10 i = 0,ixmax
C                                       polgrid(i,j,k,nstep) = omega(i,j,k)
C                                     10   continue
C                                     20   continue
C                                     30   continue
C                                     return
C                                     end
C                                     subroutine ph_shift_n()
C                                     C**purpose
C                                     C
C                                     C   When there is a change in the definition of the retarded time
C                                     C   a phase shift must be performed. This routine performs the
C                                     C   phase shift in the transition between the Mixed beam equation
C                                     C   and prefocal version the Transformed beam equation.
C                                     C
C                                     C**routines called none
C                                     C
C                                     implicit logical (a-z)
C                                     C
C                                     global variables
C                                     C
C                                     include 'incl.f'
C                                     C
C                                     local variables
C                                     C
C                                     integer i,k
C                                     double precision ustep,u,oldangle,coldangle,sigma,
C                                     +   phase,ckph,skph,newa,newb
C                                     C
C                                     first statements
C                                     C
C                                     ustep = uwidth/(ixmax+1)
C                                     u = 0.0
C                                     sigma=firstsigma
C                                     C
C                                     Perform the phase transformation
C                                     C
C                                     do 20 i=0,ixmax
C                                     C
C                                     for each angle in the new coordinate system, find the
C                                     C   corresponding angle in the old one, and find the change
C                                     C   time definition
C                                     C
C                                     oldangle = atan((1+abs(delta/sigma))*soangle*u)
C                                     coldangle = cos(oldangle)
C                                     phase = -kd*((1+sigma)+0.5*(soangle*u)**2*(sigma-delta)-
C                                     +   sigma/coldangle)
C                                     C
C                                     do 10 k=1,nharm
C                                     C
C                                     find the phaseshift for each harmonic
C                                     C
C                                     ckph=cos(k*phase)
C                                     skph=sin(k*phase)
C                                     newa=omega(i,k,1)*ckph-omega(i,k,2)*skph
C                                     newb=omega(i,k,2)*ckph+omega(i,k,1)*skph
C                                     omega(i,k,1)=newa
C                                     omega(i,k,2)=newb
C                                     10   continue
C                                     C
C                                     increment the transverse variable
C                                     C
C                                     u = u+ustep
C                                     20   continue
C                                     return
C                                     end
C                                     subroutine amp_trans_n()
C                                     C**purpose
C                                     C
C                                     C   The amplitude transformation that is performed by this routine,
C                                     C   is one of the transformations that must be performed to find
C                                     C   boundary conditions for the prefocal version of the
C                                     C   Transformed beam equation
C                                     C   from the solution of the Mixed beam equation.

```



```

C
C***routines called none
C
C      implicit logical (a-z)
C
C      global variables
C
C      include 'incl.f'
C      local variables
C
C      integer i,j
C      double precision oldangle,u,ustep,fact,c1,c2
C
C      statements
C
C      ustep = uwidth/(ixmax+1)
C      u = 0.0
C      c1 = 1.0+abs(delta/firstsigma)*sin(oangle)
C      c2 = -(1.0+abs(delta/firstsigma))
C      do 20 j=1,nharm
C         do 10 i=0,ixmax
C            oldangle = atan(c1*u)
C            fact = c2*cos(oldangle)
C            omega(i,j,1)=fact*omega(i,j,1)
C            omega(i,j,2)=fact*omega(i,j,2)
C            u = u+ustep
10        continue
20    continue
    return
    end

    subroutine spline_2d_n()
C
C***purpose
C The routine performs the interpolation in the phimbe-zeta1
C plane to find boundary conditions for the prefocal version
C of the Transformed beam equation from the solution of the Mixed
C beam equation. It uses the ACM routine itplbv.f
C for the twodimensional spline interpolation.
C
C****
C      implicit logical (a-z)
C
C      include 'incl.f'
C
C      local variables
C
C      integer i,j,k,l,border,t
C      double precision angstep,angle,sigma,fact,oldangle,
C      +                u,ustep,sthet
C
C      statements
C
C      make the tables for the coordinates of the vertices in
C      the "zeta1-phimbe" plane
C      write(*,*) 'spline_2d_n; nstep firstsigma pi rstep'
C      write(*,*) nstep,firstsigma,pi,rstep
C
C      angstep = pi/(2*(ixmax+1))
C      angle = 0.0
C      do 10 i=0,ixmax
C         x(i+1)=angle
C         angle = angle+angstep
10    continue
    x(ixmax+2)=pi/2.0
C
C      sigma = firstsigma
C      do 20 i = 1,nstep
C         y(i) = sigma
C         sigma = sigma + rstep
20    continue
C
C      find the points in the "zeta1-phimbe" plane where we want t&
C      know the value of omega
C
C      border = nint(oangle/angstep)
C      fact = 1 + delta/abs(firstsigma)
C      u = 0.0
C      ustep = uwidth/(ixmax+1)
C      sthet = sin(oangle)
C      do 30 i=0,ixmax+1
C         oldangle = atan(fact*sthet*u)
C         tx(i+1) = oldangle
C         u = u+ustep
30    continue
C
C         fact=cos(oangle)*firstsigma
C         do 40 i=0,ixmax+1
C            if( tx(i+1) .lt. oangle) then
C               ty(i+1)= fact/cos(tx(i+1))
C            else
C               ty(i+1)=firstsigma
C            endif
40    continue
C
C      do the interpolation for each Fourier coefficient
C
C      do 100 j=1,nharm
C         do 90 k=1,2
C            do 70 i=0,ixmax
C               do 60 l=1,nstep
C                  fi(i+1,l)=(polgrid(i,j,k,l))
60          continue
70          continue
C            do 75 l=1,nstep
C               fi(mx,l) = 0.0
75          continue
C
C            call itplbv(6,mx,nstep,x,y,fi,n,tx,ty,ff)
C            call itplbv(6,mx,nstep,x,y,fi,ixmax+2,tx,ty,ff)
C
C            do 80 i=0,ixmax
C               omega(i,j,k) = dble(ff(i+1))
80          continue
90          continue
100         continue
    return
    end

    include 'itplbv.f'

    subroutine fpl_transf()
    implicit logical (a-z)
C
C**description
C This routine performs the transformation that is necessary to
C find the boundary conditions of the postfocal version of the
C Transformed beam equation from the solution of the prefocal
C version of the Transformed beam equation in the focal plane.
C
C***routines called none
C
C      global variables
C
C      include 'incl.f'
C      local variables
C
C      integer i,j,k
C      double precision u,ustep,fact,phase,ckph,skph,newa,newb
C
C      first statements
C
C      ustep = uwidth/(ixmax+1)
C      u = 0.0
C
C      perform the phase - transformation
C
C      fact = -kd*delta*soangle**2
C
C      do 20 i=0,ixmax
C         phase = fact*u**2
C
C         do 10 k=1,nharm
C            find the phaseshift for each harmonic
C
C            ckph=cos(k*phase)
C            skph=sin(k*phase)
C            newa=omega(i,k,1)*ckph-omega(i,k,2)*skph
C            newb=omega(i,k,2)*ckph+omega(i,k,1)*skph
C            omega(i,k,1)=newa
C            omega(i,k,2)=newb
10          continue
C
C            increment the transverse variable
C
C            u = u+ustep

```

```

20  continue
C
C  the (very simple) amplitude transformation
C
do 50 k=1,2
  do 40 j=1,nharm
    do 30 i=0,ixmax
      omega(i,j,k)=-omega(i,j,k)
30    continue
40  continue
50  continue
return
end

subroutine uni_bound(omega,ixmax,nharm,delta,uwidth)
implicit logical (a-z)
C
C  global variables
C
integer ixmax,nharm
double precision omega(0:ixmax,nharm,2),delta,uwidth
C
C  local variables
C
integer i,j,k,border
double precision u,ustep,ulim,ksilim,gamma

gamma=1.0+delta
ksilim = 1.0
ulim = ksilim/gamma
ustep = uwidth/(ixmax+1)
u=0.0

border = nint(ulim/ustep)
C
C  values on the active source
C
do 10 i=0,border
  omega(i,1,1)=0.0
  omega(i,1,2)=1.0*gamma
10  continue
C
C  values on the baffle
C
do 20 i=border+1,ixmax
  omega(i,1,1)=0.0
  omega(i,1,2)=0.0
20  continue
C
C  the coefficients of the higher harmonics equal zero
C
do 50 k=1,2
  do 40 j=2,nharm
    do 30 i=0,ixmax
      omega(i,j,k)=0.0
30    continue
40  continue
50  continue
return
end

subroutine gauss_bound(omega,ixmax,nharm,delta,uwidth,
+ gain )
implicit logical (a-z)
C
C  global variables
C
integer ixmax,nharm
double precision omega(0:ixmax,nharm,2),delta,uwidth,
+ gain
C
C  local variables
C
integer i,j,k,border
double precision u,ustep,ulim,ksilim,gamma,fact

gamma=1.0+delta
ksilim = 1.0
ulim = ksilim/gamma
fact = gain*gamma*delta
ustep = uwidth/(ixmax+1)
u=0.0
border = nint(ulim/ustep)
C
C  values on the active source
C
do 10 i=0,border
  omega(i,1,1)=-gamma*sin(fact*u**2)
  omega(i,1,2)=-gamma*cos(fact*u**2)
  u = u+ustep
10  continue
C
C  values on the baffle
C
do 20 i=border+1,ixmax
  omega(i,1,1)=0.0
  omega(i,1,2)=0.0
20  continue
C
C  the coefficients of the higher harmonics equal zero
C
do 50 k=1,2
  do 40 j=2,nharm
    do 30 i=0,ixmax
      omega(i,j,k)=0.0
30    continue
40  continue
50  continue
return
end

subroutine dampsol(omega,ixmax,nharm)
implicit logical (a-z)
C
C  global variables
C
integer ixmax,nharm,hwv
double precision omega(0:ixmax,nharm,2)
C
C  local variables
C
integer i,j,k,hind
double precision dfact(0:999),harg,alpha(8000)

hwv =2*(ixmax/5)
do 11 i=1,hwv
  alpha(i) =(dble(hwv-i+1)/dble(hwv))**2
11  continue
C
do 10 i=1,400
  alpha(i) =((400.0 -i+1.0)/400.0)**2
C10 continue
C
do 15 i=0,hwv-1
  dfact(i) = 1.0 - alpha(i+1)
15  continue
C
do 40 k=1,2
  do 30 j=1,nharm
    do 20 i=0,hwv-1
      hind = ixmax-i
      omega(hind,j,k) = omega(hind,j,k)*dfact(i)
20    continue
30  continue
40  continue
return
end

SUBROUTINE TRIDIA(A,IXMAX,W,F,L,U)
C***BEGIN PROLOGUE TRIDIA
C***AUTHOR Jarle Berntsen, University of Bergen,
C EDB-senteret, Herman Fossgt 6, 5007 Bergen, NORWAY.
C***DATE WRITTEN 880810
C***PURPOSE
C BLOTRI SOLVES A BLOCK-THREE DIAGONAL SYSTEM OF EQUATIONS BY
C BLOCK GAUSSIAN ELIMINATION.
C 40*IXMAX OPERATIONS ARE NEEDED.
C
C THE BLOCKS ARE 2*2.
C THE 2*2 SUB-MATRICES BELOW AND ABOVE THE MAIN DIAGONAL OF A MUST
C HAVE ZEROS ON THEIR DIAGONALS.
C
C***DESCRIPTION
C
C ON ENTRY
C A DOUBLE PRECISION(2,2,-1:1,IXMAX). DEFINES
C THE THREE-DIAGONAL MATRIX.
C THE FIRST TWO INDEXES DEFINES THE POSITION
C OF AN ELEMENT WITHIN A 2*2 SUB-MATRIX.
C THE THIRD INDEX DEFINES THE DISTANCE OF
C THE SUB-MATRIX FROM THE DIAGONAL.

```

```

C          THE LAST INDEX DEFINES THE ROW NUMBER OF C
C          THE SUB-MATRIX. C
C          THIS INDEX CONVENTION IS ALSO USED FOR L
C          AND U. UNCHANGED ON EXIT.
C
C          IXMAX INTEGER. THE NUMBER OF DIAGONAL
C          SUB-MATRICES. C
C
C          F DOUBLE PRECISION(2,IXMAX). DEFINES THE C
C          RIGHT-HAND SIDE. MODIFIED ON EXIT.
C
C          L DOUBLE PRECISION(2,2,-1:0,IXMAX). C
C          WORKING SPACE
C          USED FOR THE SUBMATRICES ON AND BELOW THE
C          DIAGONAL
C          OF THE L-MATRIX OF THE LU-DECOMPOSITION.
C
C          U DOUBLE PRECISION(2,2,1:1,IXMAX). WORKING
C          SPACE USED FOR THE SUBMATRICES ABOVE THE 10
C          DIAGONAL OF THE U MATRIX OF THE LU-DECOMPE.
C          THE DIAGONAL SUBMATRICES OF U ARE UNIT 2*E.
C
C          ON RETURN C
C
C          W DOUBLE PRECISION(2,IXMAX). C
C          CONTAINS THE SOLUTION. C
C
C***ROUTINES CALLED NONE
C***END PROLOGUE TRIDIA
C
C Global variables.
C
C     INTEGER IXMAX
C     DOUBLE PRECISION A(2,2, - 1:1,IXMAX)
C     DOUBLE PRECISION W(2,IXMAX),F(2,IXMAX),L(2,2, - 1:0,IXMAX)
C     DOUBLE PRECISION U(2,2,1:1,IXMAX)
C
C Local variables.
C
C     INTEGER I,J
C     DOUBLE PRECISION F1,F2,L21,U22
C
C     LU-DECOMPOSE.
C
C     FIRST STEP. (FIRST ROW)
C
C     L(0,1)=A(0,1)
C
C***FIRST EXECUTABLE STATEMENT TRIDIA
C
C     DO 1 I = 1,2
C       DO 1 J = 1,2
C         L(I,J,0,1) = A(I,J,0,1)
C
C     THE 2*2 SYSTEMS ARE SOLVED AS FOLLOWS:(AX=F)
C     L21=A21/A11
C     U22=A22-L21*A12
C     F2=F2-L21*F1
C     X2=F2/U22
C     X1=(F1-A12*X2)/A11
C
C     L(0,1)*U(1,1)=A(1,1)
C
C     L21 = L(2,1,0,1)/L(1,1,0,1)
C     U22 = L(2,2,0,1) - L21*L(1,2,0,1)
C     F2=A(2,1,1,1)-L21*A(1,1,1,1)(WE EXPLOIT ALL ZEROS)
C     F2 = A(2,1,1,1)
C     U(2,1,1,1) = F2/U22
C     U(1,1,1,1)=(A(1,1,1,1)-L(1,2,0,1)*U(2,1,1,1))/L(1,1,0,1)
C     U(1,1,1,1) = - L(1,2,0,1)*U(2,1,1,1)/L(1,1,0,1)
C
C     F1 = A(1,2,1,1)
C     F2 = - L21*F1
C     U(2,2,1,1) = F2/U22
C     U(1,2,1,1) = (F1-L(1,2,0,1)*U(2,2,1,1))/L(1,1,0,1)
C
C     SECOND AND GENERAL STEP.
C
C     DO 10 I = 2,IXMAX - 1
C
C     L(-1,I)=A(-1,I)
C
C     L(1,1,-1,I)=0
C     L(2,2,-1,I)=0
C     L(1,2, - 1,I) = A(1,2, - 1,I)
C     L(2,1, - 1,I) = A(2,1, - 1,I)
C
C
C          L(0,I)=A(0,I)-L(-1,I)*U(1,I-1)
C
C          L(1,1,0,I) = A(1,1,0,I) - L(1,2, - 1,I)*U(2,1,1,I-1)
C          L(1,2,0,I) = A(1,2,0,I) - L(1,2, - 1,I)*U(2,2,1,I-1)
C          L(2,1,0,I) = A(2,1,0,I) - L(2,1, - 1,I)*U(1,1,1,I-1)
C          L(2,2,0,I) = A(2,2,0,I) - L(2,1, - 1,I)*U(1,2,1,I-1)
C
C          L(0,I)*U(1,I)=A(1,I)
C
C          L21 = L(2,1,0,I)/L(1,1,0,I)
C          U22 = L(2,2,0,I) - L21*L(1,2,0,I)
C          F2 = A(2,1,1,I)
C          U(2,1,1,I) = F2/U22
C          U(1,1,1,I) = - L(1,2,0,I)*U(2,1,1,I)/L(1,1,0,I)
C          F1 = A(1,2,1,I)
C          F2 = - L21*F1
C          U(2,2,1,I) = F2/U22
C          U(1,2,1,I) = (F1-L(1,2,0,I)*U(2,2,1,I))/L(1,1,0,I)
C
C          CONTINUE
C
C          END MAIN LOOP IN LU-DECOMP.
C
C          THIRD AND LAST STEP.(LAST ROW)
C
C          L(-1,IXMAX)=A(-1,IXMAX)
C
C          L(1,1,-1,IXMAX)=0
C          L(2,2,-1,IXMAX)=0
C          L(1,2, - 1,IXMAX) = A(1,2, - 1,IXMAX)
C
C          L(0,IXMAX)=A(0,IXMAX)-L(-1,IXMAX)*U(1,IXMAX-1)
C
C          L(1,1,0,IXMAX) = A(1,1,0,IXMAX) -
C          + L(1,2, - 1,IXMAX)*U(2,1,1,IXMAX-1)
C          L(1,2,0,IXMAX) = A(1,2,0,IXMAX) -
C          + L(1,2, - 1,IXMAX)*U(2,2,1,IXMAX-1)
C          L(2,1,0,IXMAX) = A(2,1,0,IXMAX) -
C          + L(2,1, - 1,IXMAX)*U(1,1,1,IXMAX-1)
C          L(2,2,0,IXMAX) = A(2,2,0,IXMAX) -
C          + L(2,1, - 1,IXMAX)*U(1,2,1,IXMAX-1)
C
C          END LU FACTORISATION.
C
C          FORWARD SUBSTITUTION.
C
C          FIRST STEP.
C
C          L21 = L(2,1,0,1)/L(1,1,0,1)
C          U22 = L(2,2,0,1) - L21*L(1,2,0,1)
C          F(2,1) = F(2,1) - L21*F(1,1)
C          F(2,1) = F(2,1)/U22
C          F(1,1) = (F(1,1)-L(1,2,0,1)*F(2,1))/L(1,1,0,1)
C
C          SECOND AND GENERAL STEP.
C
C          DO 20 I = 2,IXMAX
C            L21 = L(2,1,0,I)/L(1,1,0,I)
C            U22 = L(2,2,0,I) - L21*L(1,2,0,I)
C            F1 = F(1,I) - L(1,2, - 1,I)*F(2,I-1)
C            F2 = F(2,I) - L(2,1, - 1,I)*F(1,I-1)
C            F2 = F2 - L21*F1
C            F(2,I) = F2/U22
C            F(1,I) = (F1-L(1,2,0,I)*F(2,I))/L(1,1,0,I)
C
C          CONTINUE
C
C          END FORWARD SUBSTITUTION.
C
C          BACK SUBSTITUTION.
C
C          FIRST STEP.
C
C          W(1,IXMAX) = F(1,IXMAX)
C          W(2,IXMAX) = F(2,IXMAX)
C
C          SECOND AND GENERAL STEP.
C
C          DO 30 I = IXMAX - 1, - 1
C            W(1,I) = F(1,I) - U(1,1,1,I)*W(1,I+1)
C            + U(1,2,1,I)*W(2,I+1)
C            W(2,I) = F(2,I) - U(2,1,1,I)*W(1,I+1)
C            + U(2,2,1,I)*W(2,I+1)
C
C          CONTINUE
C
C          END BACK SUBSTITUTION.
C
C***END TRIDIA
C

```

```

RETURN                                C                                the absorption coefficient for the present
END                                  C                                step (step no. j).
C
C                                C                                khalf    double precision (0:ixmax,nharm), contains
C                                C                                the diffraction coefficient.
C
incl.f
C                                C                                uwidth   double precision, is the maximum value of the
C                                C                                transverse variable of the Transformed beam
C                                C                                equation.
C                                C                                ksimax   double precision, is the xi value of
C                                C                                intersection between the xi axis and the
C                                C                                line u = uwidth in the (zeta,xi)-plane.
C
C**COMMON VARIABLES IN THE PROGRAM MBETBE
C
C This file is a description of the global variables
C used in connection with the
C program mbetbe that simulates the sound field of a
C spherical cap using the Mixed beam equation and the
C Transformed beam equation
C
C The variables are grouped according to their application
C
C**DATE WRITTEN    940412
C**AUTHOR
C    Bjoernar Ystad
C    Department of Mathematics,
C    University of Bergen,
C    Johannes Bruns gt. 12,
C    N-5007 Bergen, Norway
C
C**NOTE: Some of the variables are applied for several purposes, so
C that if a variable is said to be necessary in one
C application, it may be used in others as well.
C
C**Variables that are necessary in the routine widecyl
C
C    omega    double precision (0:ixmax,nharm,2), contains
C             the boundary condition of the equation that
C             is to be solved
C
C    ixmax    integer, is the number of inner points used
C             in the numerics.
C
C    nharm    integer, is the number of harmonics that are
C             retained in the calculations
C
C    mbflag   integer, equals 1 when the Mixed beam equation
C             is solved, 2 when the Transformed beam
C             equation is solved.
C
C    impstp   integer, is the number of fully implicit steps
C             that are to be taken.
C
C    pi       double precision, is the mathematical constant
C
C    delta    double precision, is the distance between the
C             origin of the Mixed beam equation and the wide
C             angle equation, measured in units of the focal
C             length.
C
C    oangle   double precision, is the opening angle of the
C             source.
C
C    pa       double precision
C
C    pd       double precision
C
C    pn       double precision, are numerical constants of
C             the absorption- diffraction- and nonlinear
C             terms respectively.
C
C    rstep    double precision, is the step length in the
C             Richtmeyer procedure.
C
C    cc       double precision (0:ixmax), is the part of
C             the diffraction coefficient that depends
C             upon the transverse variable
C
C    cinvc    double precision (0:ixmax), is the part of
C             the absorption coefficient that depends
C             upon the transverse variable.
C
C    nonli    double precision (0:ixmax,nharm,2), contains
C             the nonlinear contribution to the
C             equations for the fourier coefficients.
C
C    cnew     double precision (0:ixmax,nharm), contains
C             the absorption coefficient for the coming
C             step (step no. j+1).
C
C    cold     double precision (0:ixmax,nharm), contains
C
C                                C                                ON ENTRY
C                                C                                A        DOUBLE PRECISION(2,2,-1:1,IXMAX). DEFINES
C                                C                                THE THREE-DIAGONAL MATRIX.
C                                C                                THE FIRST TWO INDEXES DEFINES THE POSITION
C                                C                                OF AN ELEMENT WITHIN A 2*2 SUB-MATRIX.
C                                C                                THE THIRD INDEX DEFINES THE DISTANCE OF
C                                C                                THE SUB-MATRIX FROM THE DIAGONAL.
C                                C                                THE LAST INDEX DEFINES THE ROW NUMBER OF
C                                C                                THE SUB-MATRIX.
C                                C                                THIS INDEX CONVENTION IS ALSO USED FOR L
C                                C                                AND U. UNCHANGED ON EXIT.
C                                C                                IXMAX   INTEGER. THE NUMBER OF DIAGONAL
C                                C                                SUB-MATRICES.
C                                C                                F        DOUBLE PRECISION(2,IXMAX). DEFINES THE
C                                C                                RIGHT-HAND SIDE. MODIFIED ON EXIT.
C                                C                                L        DOUBLE PRECISION(2,2,-1:0,IXMAX).
C                                C                                WORKING SPACE
C                                C                                USED FOR THE SUBMATRICES ON AND BELOW THE
C                                C                                DIAGONAL
C                                C                                OF THE L-MATRIX OF THE LU-DECOMPOSITION
C                                C                                U        DOUBLE PRECISION(2,2,1:1,IXMAX). WORKING
C                                C                                SPACE USED FOR THE SUBMATRICES ABOVE THE
C                                C                                DIAGONAL OF THE U MATRIX OF THE LU-DECOMP.
C                                C                                THE DIAGONAL SUBMATRICES OF U ARE
C                                C                                UNIT 2*2.
C                                C                                ON RETURN
C                                C                                W        DOUBLE PRECISION(2,IXMAX).
C                                C                                CONTAINS THE SOLUTION.
C
C**Variables that are used in the interpolation
C
C    polgrid  double precision (0:ixmax,nharm,2,sigdim),
C             contains data for the interpolation if the
C             Mixed beam equation has been solved.
C
C    sigdim   integer, is the maximum number of
C             solutions that can be stored in polgrid.
C
C    nstep    integer, is the number of solutions that
C             have actually been solved.
C
C    firstsigma double precision, is the value of the
C             evolution variable for the first solution
C             that is solved in polgrid.
C
C    mx,my    integer, is the number of nodes in the x,y
C             directions of the part of the plane in
C             which the interpolation is performed
C
C    x        double precision (mx)
C
C    y        double precision (my), (x,y) are the
C             coordinates of the nodes in the zeta1,
C             phime plane
C
C    tx,ty    double precision (ixmax+2), (tx,ty) are
C             the points where we want to perform the
C             interpolation
C
C    fi       double precision (mx*my), contains the
C             function values of the nodes
C
C    ff       double precision (ixmax+2), contains the
C             result of the interpolation

```

```

C
C**Variables necessary in the phase transformation.
C
C      kd      double precision, is the wave number times
C              the focal length.
C
C      soangle  double precision, is sinus of the opening
C              angle.
C
C      common/darr/ omega,cc,cinvc,nonli,cnew,cold,khalf,a,w,f,work,
C      polgrid,x,y,fi,tx,ty,ff,waxis,bwaxis,shap
C**Variables that are necessary when generating plots of the
C solution along the symmetry axis.
C
C      waxis    double precision (nant), contains the
C              positions where axis data are to be written
C              to file.
C
C      nant     integer, the number of points where axis data
C              are to be registered.
C
C      account  integer, is the number of points where axial
C              data have been written to file.
C
C      filn     integer, is the ref. number of the file to
C              which the axial data are written.
C
C      flength  double precision, is the focal length of the
C              system
C
C      psource  double precision, is the reference pressure
C
C***variables for the Shapiro filter
C
C      shap     double precision (nharm), contains the
C              "amplitude response function" of the
C              Shapiro filter
C
C      ord_shap integer; ord_shap+1 is the order
C              of the Shapiro filter.
C
C***variable used when reg. whether the Shapiro filter has
C been used or not
C
C      logg_f_n integer the unit number of the
C              logg - file
C
C***variable used when deciding whether the Shapiro filter is
C to be used or not
C
C      max_energy double precision contains the maximum
C              on axis energy up to the present sigma
C              step
C**integer variables
C
C      integer ixmax,nharm,impstp,mbflag,desc_f_n,max,
C      + sigdim,mx,my,numbe,nstep,transv_f_n,
C      + nant,bnant,filn,account,bcount,ord_shap,logg_f_n
C
C IXXMAX VAR 1000
C      parameter(ixmax=511,nharm=40,impstp=5,sigdim=64,
C      + numbe=100,mx=ixmax+2,my=sigdim,max=30,
C      + nant=500,bnant=2,filn=24,ord_shap=4)
C
C      common/isc/ mbflag,nstep,logg_f_n,account,bcount,
C      + transv_f_n,desc_f_n
C
C**double precision variables
C
C      double precision oangle,pa,pn,kd,rstep,pd,pi,firstsigma,
C      + flength,psource,tbedelta,dsigma,
C      + soangle,uwidth,delta,max_energy,ksimax
C
C      common/dsc/ oangle,rstep,pd,pi,firstsigma,
C      + soangle,delta,uwidth,max_energy,pa,pn,kd,flength,
C      + psource,ksimax,tbedelta,dsigma
C
C**integer arrays
C
C      integer no_fc(bnant)
C
C      common/iarr/ no_fc
C
C**double precision arrays
C
C      double precision omega(0:ixmax,nharm,2),cc(0:ixmax),
C      + cinvc(0:ixmax),waxis(nant),bwaxis(bnant),
C      + nonli(0:ixmax,nharm,2),cnew(0:ixmax,nharm),
C      + cold(0:ixmax,nharm),khalf(0:ixmax,nharm),

```

itplbv.f

ACM-rutine for todimensjonal interpolasjon.
Denne blir brukt i tbe_maalt.f og mbe_tefb.f.

```

C      ALGORITHM 474 COLLECTED ALGORITHMS FROM ACM.
C      ALGORITHM APPEARED IN COMM. ACM, VOL. VV, NO. NN,
C      P. 000.
C      SUBROUTINE ITPLBV(IU, LX, LY, X, Y, Z, N, U, V, W)
C
C      BIVARIATE INTERPOLATION
C      THIS SUBROUTINE INTERPOLATES, FROM VALUES OF THE FUNCTION
C      GIVEN AT INPUT GRID POINTS IN AN X-Y PLANE AND FOR A GIVEN
C      SET OF POINTS IN THE PLANE, THE VALUES OF A SINGLE-VALUED
C      BIVARIATE FUNCTION Z = Z(X,Y).
C      THE METHOD IS BASED ON A PIECE-WISE FUNCTION COMPOSED OF
C      A SET OF BICUBIC POLYNOMIALS IN X AND Y. EACH POLYNOMIAL
C      IS APPLICABLE TO A RECTANGLE OF THE INPUT GRID IN THE X-Y
C      PLANE. EACH POLYNOMIAL IS DETERMINED LOCALLY.
C      THE INPUT PARAMETERS ARE
C      IU = LOGICAL UNIT NUMBER OF STANDARD OUTPUT UNIT
C      LX = NUMBER OF INPUT GRID POINTS IN THE X COORDINATE
C          (MUST BE 2 OR GREATER)
C      LY = NUMBER OF INPUT GRID POINTS IN THE Y COORDINATE
C          (MUST BE 2 OR GREATER)
C      X = ARRAY OF DIMENSION LX STORING THE X COORDINATES
C          OF INPUT GRID POINTS (IN ASCENDING ORDER)
C      Y = ARRAY OF DIMENSION LY STORING THE Y COORDINATES
C          OF INPUT GRID POINTS (IN ASCENDING ORDER)
C      Z = DOUBLY-DIMENSIONED ARRAY OF DIMENSION (LX,LY)
C          STORING THE VALUES OF THE FUNCTION (Z VALUES)
C          AT INPUT GRID POINTS
C      N = NUMBER OF POINTS AT WHICH INTERPOLATION OF THE
C          Z VALUE IS DESIRED (MUST BE 1 OR GREATER)
C      U = ARRAY OF DIMENSION N STORING THE X COORDINATES
C          OF DESIRED POINTS
C      V = ARRAY OF DIMENSION N STORING THE Y COORDINATES
C          OF DESIRED POINTS
C      W = ARRAY OF DIMENSION N WHERE THE INTERPOLATED Z
C          VALUES AT DESIRED POINTS ARE TO BE DISPLAYED
C      SOME VARIABLES INTERNALLY USED ARE
C      ZA = DIVIDED DIFFERENCE OF Z WITH RESPECT TO X
C      ZB = DIVIDED DIFFERENCE OF Z WITH RESPECT TO Y
C      ZAB = SECOND ORDER DIVIDED DIFFERENCE OF Z WITH
C            RESPECT TO X AND Y
C      ZX = PARTIAL DERIVATIVE OF Z WITH RESPECT TO X
C      ZY = PARTIAL DERIVATIVE OF Z WITH RESPECT TO Y
C      ZXY = SECOND ORDER PARTIAL DERIVATIVE OF Z WITH
C            RESPECT TO X AND Y
C      DECLARATION STATEMENTS
C
C      double precision x(lx),y(ly),z(lx,ly),u(n),v(n),w(n)
C      DIMENSION X(LX), Y(LY), Z(LX,LY), U(N), V(N), W(N)
C      DIMENSION ZA(5,2), ZB(2,5), ZAB(3,3), ZX(4,4), ZY(4,4),
C      * ZXY(4,4)
C      EQUIVALENCE (Z3A1,ZA(1,1)), (Z3A2,ZA(2,1)), (Z3A3,ZA(3,1)),
C      * (Z3A4,ZA(4,1)), (Z3A5,ZA(5,1)), (Z4A1,ZA(1,2)), (Z4A2,ZA(2,2)),
C      * (Z4A3,ZA(3,2)), (Z4A4,ZA(4,2)), (Z4A5,ZA(5,2)), (Z3B1,ZB(1,1)),
C      * (Z3B2,ZB(1,2)), (Z3B3,ZB(1,3)), (Z3B4,ZB(1,4)), (Z3B5,ZB(1,5)),
C      * (Z4B1,ZB(2,1)), (Z4B2,ZB(2,2)), (Z4B3,ZB(2,3)), (Z4B4,ZB(2,4)),
C      * (Z4B5,ZB(2,5)), (Z2A2B2,ZAB(1,1)), (Z3A2B2,ZAB(2,1)),
C      * (Z4A2B2,ZAB(3,1)), (Z2A2B3,ZAB(1,2)), (Z3A2B3,ZAB(2,2)),
C      * (Z4A2B3,ZAB(3,2)), (Z2A2B4,ZAB(1,3)), (Z3A2B4,ZAB(2,3)),
C      * (Z4A2B4,ZAB(3,3)), (ZX33,ZX(2,2)), (ZX43,ZX(3,2)),
C      * (ZX34,ZX(2,3)), (ZX44,ZX(3,3)), (ZY33,ZY(2,2)),
C      * (ZY43,ZY(2,3)), (ZY34,ZY(3,3)), (ZY44,ZY(3,3)),
C      * (ZXY33,ZXY(2,2)), (ZXY43,ZXY(3,2)), (ZXY34,ZXY(2,3)),
C      * (ZXY44,ZXY(3,3)), (P00,Z33), (P01,ZY33), (P10,ZX33),
C      * (P11,ZXY33)
C      EQUIVALENCE (LX0,ZX(1,1)), (LX1,ZX(4,1)), (LX2,ZX(1,4)),
C      * (LX3,ZX(4,4)), (LY0,ZY(1,1)), (LY1,ZY(4,1)), (LY2,ZY(1,4)),
C      * (LY3,ZY(4,4)), (IX,ZXY(1,1)), (IY,ZXY(4,1)), (IXPV,ZXY(1,4)),
C      * (IYPV,ZXY(4,4)), (IMN,JX), (IMX,JY), (JXM2,JX1),

```

```

* (JYM2,JY1), (UK,DX), (VK,DY), (A1,A5,B1,B5,ZX(2,1),A,Q0),
* (A2,ZX(1,2),B,Q1), (A4,ZX(4,2),C,Q2), (B2,ZY(2,1),D,Q3),
* (B4,ZY(2,4),E), (X2,ZX(3,1),A3SQ), (X4,ZX(1,3)), (X5,ZX(4,3)),
* (Y2,ZX(2,4)), (Y4,ZY(3,1),B3SQ), (Y5,ZX(3,4),P02),
* (Z23,ZY(1,2),P03), (Z24,ZY(4,2),P12), (Z32,ZY(1,3),P13),
* (Z34,ZY(4,3),P20), (Z35,ZY(3,4),P21), (Z42,ZXY(2,1),P22),
* (Z43,ZXY(1,2),P23), (Z44,ZXY(3,1),P30), (Z45,ZXY(4,2),P31),
* (Z53,ZXY(1,3),P32), (Z54,ZXY(4,3),P33), (W2,WY2,W4),
* (W3,WY3,W1,W5), (WX2,ZXY(2,4)), (WX3,ZXY(3,4))
C PRELIMINARY PROCESSING
C SETTING OF SOME INPUT PARAMETERS TO LOCAL VARIABLES
IU0 = IU
LX0 = LX
LXM1 = LX0 - 1
LXM2 = LXM1 - 1
LXP1 = LX0 + 1
LY0 = LY
LYM1 = LY0 - 1
LYM2 = LYM1 - 1
LYP1 = LY0 + 1
NO = N
C ERROR CHECK
IF (LXM2.LT.0) GO TO 710
IF (LYM2.LT.0) GO TO 720
IF (NO.LT.1) GO TO 730
DO 10 IX=2,LX0
  IF (X(IX-1)-X(IX)) 10, 740, 750
10 CONTINUE
  DO 20 IY=2,LY0
    IF (Y(IY-1)-Y(IY)) 20, 770, 780
20 CONTINUE
C INITIAL SETTING OF PREVIOUS VALUES OF IX AND IY
IXPV = 0
IYPV = 0
C MAIN DO-LOOP
DO 700 K=1,NO
  UK = U(K)
  VK = V(K)
C ROUTINES TO LOCATE THE DESIRED POINT
C TO FIND OUT THE IX VALUE FOR WHICH
C (U(K).GE.X(IX-1)).AND.(U(K).LT.X(IX))
  IF (LXM2.EQ.0) GO TO 80
  IF (UK.GE.X(LX0)) GO TO 70
  IF (UK.LT.X(1)) GO TO 60
  IMN = 2
  IMX = LX0
30  IX = (IMN+IMX)/2
  IF (UK.GE.X(IX)) GO TO 40
  IMX = IX
  GO TO 50
40  IMN = IX + 1
50  IF (IMX.GT.IMN) GO TO 30
  IX = IMX
  GO TO 90
60  IX = 1
  GO TO 90
70  IX = LXP1
  GO TO 90
80  IX = 2
C TO FIND OUT THE IY VALUE FOR WHICH
C (V(K).GE.Y(IY-1)).AND.(V(K).LT.Y(IY))
90  IF (LYM2.EQ.0) GO TO 150
  IF (VK.GE.Y(LY0)) GO TO 140
  IF (VK.LT.Y(1)) GO TO 130
  IMN = 2
  IMX = LY0
100  IY = (IMN+IMX)/2
  IF (VK.GE.Y(IY)) GO TO 110
  IMX = IY
  GO TO 120
110  IMN = IY + 1
120  IF (IMX.GT.IMN) GO TO 100
  IY = IMX
  GO TO 160
130  IY = 1
  GO TO 160
140  IY = LYP1
  GO TO 160
150  IY = 2
C TO CHECK IF THE DESIRED POINT IS IN THE SAME RECTANGLE
C AS THE PREVIOUS POINT. IF YES, SKIP TO THE COMPUTATION
C OF THE POLYNOMIAL
160  IF (IX.EQ.IXPV .AND. IY.EQ.IYPV) GO TO 690
  IXPV = IX
  IYPV = IY
C ROUTINES TO PICK UP NECESSARY X, Y, AND Z VALUES, TO
C COMPUTE THE ZA, ZB, AND ZAB VALUES, AND TO ESTIMATE THEM
C WHEN NECESSARY

```

```

JX = IX
IF (JX.EQ.1) JX = 2
IF (JX.EQ.LXP1) JX = LX0
JY = IY
IF (JY.EQ.1) JY = 2
IF (JY.EQ.LYP1) JY = LY0
JXM2 = JX - 2
JXML = JX - LX0
JYM2 = JY - 2
JYML = JY - LY0
C IN THE CORE AREA, I.E., IN THE RECTANGLE THAT CONTAINS
C THE DESIRED POINT
X3 = X(JX-1)
X4 = X(JX)
A3 = 1.0/(X4-X3)
Y3 = Y(JY-1)
Y4 = Y(JY)
B3 = 1.0/(Y4-Y3)
Z33 = Z(JX-1,JY-1)
Z43 = Z(JX,JY-1)
Z34 = Z(JX-1,JY)
Z44 = Z(JX,JY)
Z3A3 = (Z43-Z33)*A3
Z4A3 = (Z44-Z34)*A3
Z3B3 = (Z34-Z33)*B3
Z4B3 = (Z44-Z43)*B3
Z4B3 = (Z4B3-Z3B3)*A3
C IN THE X DIRECTION
IF (LXM2.EQ.0) GO TO 230
IF (JXM2.EQ.0) GO TO 170
X2 = X(JX-2)
A2 = 1.0/(X3-X2)
Z23 = Z(JX-2,JY-1)
Z24 = Z(JX-2,JY)
Z3A2 = (Z33-Z23)*A2
Z4A2 = (Z34-Z24)*A2
IF (JXML.EQ.0) GO TO 180
170  X5 = X(JX+1)
  A4 = 1.0/(X5-X4)
  Z53 = Z(JX+1,JY-1)
  Z54 = Z(JX+1,JY)
  Z3A4 = (Z53-Z43)*A4
  Z4A4 = (Z54-Z44)*A4
  IF (JXM2.NE.0) GO TO 190
  Z3A2 = Z3A3 + Z3A3 - Z3A4
  Z4A2 = Z4A3 + Z4A3 - Z4A4
  GO TO 190
180  Z3A4 = Z3A3 + Z3A3 - Z3A2
  Z4A4 = Z4A3 + Z4A3 - Z4A2
190  Z4B3 = (Z4A2-Z3A2)*B3
  Z4B3 = (Z4A4-Z3A4)*B3
  IF (JX.LE.3) GO TO 200
  A1 = 1.0/(X2-X(JX-3))
  Z3A1 = (Z23-Z(JX-3,JY-1))*A1
  Z4A1 = (Z24-Z(JX-3,JY))*A1
  GO TO 210
200  Z3A1 = Z3A2 + Z3A2 - Z3A3
  Z4A1 = Z4A2 + Z4A2 - Z4A3
210  IF (JX.GE.LXM1) GO TO 220
  A5 = 1.0/(X(JX+2)-X5)
  Z3A5 = (Z(JX+2,JY-1)-Z53)*A5
  Z4A5 = (Z(JX+2,JY)-Z54)*A5
  GO TO 240
220  Z3A5 = Z3A4 + Z3A4 - Z3A3
  Z4A5 = Z4A4 + Z4A4 - Z4A3
  GO TO 240
230  Z3A2 = Z3A3
  Z4A2 = Z4A3
  GO TO 180
C IN THE Y DIRECTION
240  IF (LYM2.EQ.0) GO TO 310
  IF (JYM2.EQ.0) GO TO 250
  Y2 = Y(JY-2)
  B2 = 1.0/(Y3-Y2)
  Z32 = Z(JX-1,JY-2)
  Z42 = Z(JX,JY-2)
  Z3B2 = (Z33-Z32)*B2
  Z4B2 = (Z43-Z42)*B2
  IF (JYML.EQ.0) GO TO 260
250  Y5 = Y(JY+1)
  B4 = 1.0/(Y5-Y4)
  Z35 = Z(JX-1,JY+1)
  Z45 = Z(JX,JY+1)
  Z3B4 = (Z35-Z34)*B4
  Z4B4 = (Z45-Z44)*B4
  IF (JYM2.NE.0) GO TO 270
  Z3B2 = Z3B3 + Z3B3 - Z3B4
  Z4B2 = Z4B3 + Z4B3 - Z4B4

```

```

260   GO TO 270
      Z3B4 = Z3B3 + Z3B3 - Z3B2
      Z4B4 = Z4B3 + Z4B3 - Z4B2
270   ZA3B2 = (Z4B2-Z3B2)*A3
      ZA3B4 = (Z4B4-Z3B4)*A3
      IF (JY.LE.3) GO TO 280
      B1 = 1.0/(Y2-Y(JY-3))
      Z3B1 = (Z32-Z(JX-1,JY-3))*B1
      Z4B1 = (Z42-Z(JX,JY-3))*B1
      GO TO 290
280   Z3B1 = Z3B2 + Z3B2 - Z3B3
      Z4B1 = Z4B2 + Z4B2 - Z4B3
290   IF (JY.GE.LYM1) GO TO 300
      B5 = 1.0/(Y(JY+2)-Y5)
      Z3B5 = (Z(JX-1,JY+2)-Z35)*B5
      Z4B5 = (Z(JX,JY+2)-Z45)*B5
      GO TO 320
300   Z3B5 = Z3B4 + Z3B4 - Z3B3
      Z4B5 = Z4B4 + Z4B4 - Z4B3
      GO TO 320
310   Z3B2 = Z3B3
      Z4B2 = Z4B3
      GO TO 260
C IN THE DIAGONAL DIRECTIONS
320   IF (LXM2.EQ.0) GO TO 400
      IF (LYM2.EQ.0) GO TO 410
      IF (JXML.EQ.0) GO TO 350
      IF (JYM2.EQ.0) GO TO 330
      ZA4B2 = ((Z53-Z(JX+1,JY-2))*B2-Z4B2)*A4
      IF (JYML.EQ.0) GO TO 340
330   ZA4B4 = ((Z(JX+1,JY+1)-Z54)*B4-Z4B4)*A4
      IF (JYM2.NE.0) GO TO 380
      ZA4B2 = ZA4B3 + ZA4B3 - ZA4B4
      GO TO 380
340   ZA4B4 = ZA4B3 + ZA4B3 - ZA4B2
      GO TO 380
350   IF (JYM2.EQ.0) GO TO 360
      ZA2B2 = (Z3B2-(Z23-Z(JX-2,JY-2))*B2)*A2
      IF (JYML.EQ.0) GO TO 370
360   ZA2B4 = (Z3B4-(Z(JX-2,JY+1)-Z24)*B4)*A2
      IF (JYM2.NE.0) GO TO 390
      ZA2B2 = ZA2B3 + ZA2B3 - ZA2B4
      GO TO 390
370   ZA2B4 = ZA2B3 + ZA2B3 - ZA2B2
      GO TO 390
380   IF (JXM2.NE.0) GO TO 350
      ZA2B2 = ZA3B2 + ZA3B2 - ZA4B2
      ZA2B4 = ZA3B4 + ZA3B4 - ZA4B4
      GO TO 420
390   IF (JXML.NE.0) GO TO 420
      ZA4B2 = ZA3B2 + ZA3B2 - ZA2B2
      ZA4B4 = ZA3B4 + ZA3B4 - ZA2B4
      GO TO 420
400   ZA2B2 = ZA3B2
      ZA4B2 = ZA3B2
      ZA2B4 = ZA3B4
      ZA4B4 = ZA3B4
      GO TO 420
410   ZA2B2 = ZA2B3
      ZA2B4 = ZA2B3
      ZA4B2 = ZA4B3
      ZA4B4 = ZA4B3
C NUMERICAL DIFFERENTIATION --- TO DETERMINE PARTIAL
C DERIVATIVES ZX, ZY, AND ZXY AS WEIGHTED MEANS OF DIVIDED
C DIFFERENCES ZA, ZB, AND ZAB, RESPECTIVELY
420   DO 480 JY=2,3
      DO 470 JX=2,3
        W2 = ABS(ZA(JX+2,JY-1)-ZA(JX+1,JY-1))
        W3 = ABS(ZA(JX,JY-1)-ZA(JX-1,JY-1))
        SW = W2 + W3
        IF (SW.EQ.0.0) GO TO 430
        WX2 = W2/SW
        WX3 = W3/SW
        GO TO 440
430   WX2 = 0.5
        WX3 = 0.5
440   ZX(JX,JY) = WX2*ZA(JX,JY-1) + WX3*ZA(JX+1,JY-1)
        W2 = ABS(ZB(JX-1,JY+2)-ZB(JX-1,JY+1))
        W3 = ABS(ZB(JX-1,JY)-ZB(JX-1,JY-1))
        SW = W2 + W3
        IF (SW.EQ.0.0) GO TO 450
        WY2 = W2/SW
        WY3 = W3/SW
        GO TO 460
450   WY2 = 0.5
        WY3 = 0.5
460   ZY(JX,JY) = WY2*ZB(JX-1,JY) + WY3*ZB(JX-1,JY+1)
        ZXY(JX,JY) =
          * WY2*(WX2*ZAB(JX-1,JY-1)+WX3*ZAB(JX,JY-1)) +
          * WY3*(WX2*ZAB(JX-1,JY)+WX3*ZAB(JX,JY))
470   CONTINUE
480   CONTINUE
C WHEN (U(K).LT.X(1)).OR.(U(K).GT.X(LX))
      IF (IX.EQ.LXP1) GO TO 530
      IF (IX.NE.1) GO TO 590
      W2 = A4*(3.0*A3+A4)
      W1 = 2.0*A3*(A3-A4) + W2
      DO 500 JY=2,3
        ZX(1,JY) = (W1*ZA(1,JY-1)+W2*ZA(2,JY-1))/(W1+W2)
        ZY(1,JY) = ZY(2,JY) + ZY(2,JY) - ZY(3,JY)
        ZXY(1,JY) = ZXY(2,JY) + ZXY(2,JY) - ZXY(3,JY)
        DO 490 JX1=2,3
          JX = 5 - JX1
          ZX(JX,JY) = ZX(JX-1,JY)
          ZY(JX,JY) = ZY(JX-1,JY)
          ZXY(JX,JY) = ZXY(JX-1,JY)
490   CONTINUE
500   CONTINUE
      X3 = X3 - 1.0/A4
      Z33 = Z33 - Z3A2/A4
      DO 510 JY=1,5
        ZB(2,JY) = ZB(1,JY)
510   CONTINUE
      DO 520 JY=2,4
        ZB(1,JY) = ZB(1,JY) - ZAB(1,JY-1)/A4
520   CONTINUE
      A3 = A4
      JX = 1
      GO TO 570
530   W4 = A2*(3.0*A3+A2)
      W5 = 2.0*A3*(A3-A2) + W4
      DO 550 JY=2,3
        ZX(4,JY) = (W4*ZA(4,JY-1)+W5*ZA(5,JY-1))/(W4+W5)
        ZY(4,JY) = ZY(3,JY) + ZY(3,JY) - ZY(2,JY)
        ZXY(4,JY) = ZXY(3,JY) + ZXY(3,JY) - ZXY(2,JY)
        DO 540 JX=2,3
          ZX(JX,JY) = ZX(JX+1,JY)
          ZY(JX,JY) = ZY(JX+1,JY)
          ZXY(JX,JY) = ZXY(JX+1,JY)
540   CONTINUE
550   CONTINUE
      X3 = X4
      Z33 = Z43
      DO 560 JY=1,5
        ZB(1,JY) = ZB(2,JY)
560   CONTINUE
      A3 = A2
      JX = 3
      ZA(3,1) = ZA(JX+1,1)
      DO 580 JY=1,3
        ZAB(2,JY) = ZAB(JX,JY)
580   CONTINUE
C WHEN (V(K).LT.Y(1)).OR.(V(K).GT.Y(LY))
590   IF (IY.EQ.LYP1) GO TO 630
      IF (IY.NE.1) GO TO 680
      W2 = B4*(3.0*B3+B4)
      W1 = 2.0*B3*(B3-B4) + W2
      DO 620 JX=2,3
        IF (JX.EQ.3 .AND. IX.EQ.LXP1) GO TO 600
        IF (JX.EQ.2 .AND. IX.EQ.1) GO TO 600
        ZY(JX,1) = (W1*ZB(JX-1,1)+W2*ZB(JX-1,2))/(W1+W2)
        ZX(JX,1) = ZX(JX,2) + ZX(JX,2) - ZX(JX,3)
        ZXY(JX,1) = ZXY(JX,2) + ZXY(JX,2) - ZXY(JX,3)
600   DO 610 JY1=2,3
          JY = 5 - JY1
          ZY(JX,JY) = ZY(JX,JY-1)
          ZX(JX,JY) = ZX(JX,JY-1)
          ZXY(JX,JY) = ZXY(JX,JY-1)
610   CONTINUE
620   CONTINUE
      Y3 = Y3 - 1.0/B4
      Z33 = Z33 - Z3B2/B4
      Z3A3 = Z3A3 - ZA3B2/B4
      Z3B3 = Z3B2
      ZA3B3 = ZA3B2
      B3 = B4
      GO TO 670
630   W4 = B2*(3.0*B3+B2)
      W5 = 2.0*B3*(B3-B2) + W4
      DO 660 JX=2,3
        IF (JX.EQ.3 .AND. IX.EQ.LXP1) GO TO 640
        IF (JX.EQ.2 .AND. IX.EQ.1) GO TO 640
        ZY(JX,4) = (W4*ZB(JX-1,4)+W5*ZB(JX-1,5))/(W4+W5)
        ZX(JX,4) = ZX(JX,3) + ZX(JX,3) - ZX(JX,2)
        ZXY(JX,4) = ZXY(JX,3) + ZXY(JX,3) - ZXY(JX,2)
640   DO 650 JY=2,3

```

```

      ZY(JX,JY) = ZY(JX,JY+1)
      ZX(JX,JY) = ZX(JX,JY+1)
      ZXY(JX,JY) = ZXY(JX,JY+1)
650   CONTINUE
660   CONTINUE
      Y3 = Y4
      Z33 = Z33 + Z3B3/B3
      Z3A3 = Z3A3 + Z3B3/B3
      Z3B3 = Z3B4
      Z3B3 = Z3B4
      B3 = B2
670   IF (IX.NE.1 .AND. IX.NE.LXP1) GO TO 680
      JX = IX/LXP1 + 2
      JY = IY/LYP1 + 2
      JY1 = 5 - JY
      ZX(JX,JY) = ZX(JX1,JY) + ZX(JX,JY1) - ZX(JX1,JY1)
      ZY(JX,JY) = ZY(JX1,JY) + ZY(JX,JY1) - ZY(JX1,JY1)
      ZXY(JX,JY) = ZXY(JX1,JY) + ZXY(JX,JY1) - ZXY(JX1,JY1)
C DETERMINATION OF THE COEFFICIENTS OF THE POLYNOMIAL
680   ZX3B3 = (ZX34-ZX33)*B3
      ZX4B3 = (ZX44-ZX43)*B3
      ZY3A3 = (ZY43-ZY33)*A3
      ZY4A3 = (ZY44-ZY34)*A3
      A = ZA3B3 - ZX3B3 - ZY3A3 + ZXY33
      B = ZX4B3 - ZX3B3 - ZY4A3 + ZXY33
      C = ZY4A3 - ZY3A3 - ZXY34 + ZXY33
      D = ZXY44 - ZXY43 - ZXY34 + ZXY33
      E = A + A - B - C
      A3SQ = A3*A3
      B3SQ = B3*B3
      P02 = (2.0*(Z3B3-ZY33)+Z3B3-ZY34)*B3
      P03 = (-2.0*Z3B3+ZY34+ZY33)*B3SQ
      P12 = (2.0*(ZX3B3-ZXY33)+ZX3B3-ZXY34)*B3
      P13 = (-2.0*ZX3B3+ZXY34+ZY33)*B3SQ
      P20 = (2.0*(Z3A3-ZX33)+Z3A3-ZX43)*A3
      P21 = (2.0*(ZY3A3-ZXY33)+ZY3A3-ZXY43)*A3
      P22 = (3.0*(A+E)+D)*A3*B3
      P23 = (-3.0*(E-B-D)*A3*B3SQ
      P30 = (-2.0*Z3A3+ZX43+ZX33)*A3SQ
      P31 = (-2.0*ZY3A3+ZXY43+ZY33)*A3SQ
      P32 = (-3.0*(E-C-D)*B3*A3SQ
      P33 = (D+E+E)*A3SQ*B3SQ
C COMPUTATION OF THE POLYNOMIAL
690   DY = VK - Y3
      Q0 = P00 + DY*(P01+DY*(P02+DY*P03))
      Q1 = P10 + DY*(P11+DY*(P12+DY*P13))
      Q2 = P20 + DY*(P21+DY*(P22+DY*P23))
      Q3 = P30 + DY*(P31+DY*(P32+DY*P33))
      DX = UK - X3
      W(K) = Q0 + DX*(Q1+DX*(Q2+DX*Q3))
700   CONTINUE
C NORMAL EXIT
      RETURN
C ERROR EXIT
710   WRITE (IU0,99999)
      GO TO 800
720   WRITE (IU0,99998)
      GO TO 800
730   WRITE (IU0,99997)
      GO TO 800
740   WRITE (IU0,99996)
      GO TO 760
750   WRITE (IU0,99995)
760   WRITE (IU0,99994) IX, I(X)
      GO TO 800
770   WRITE (IU0,99993)
      GO TO 790
780   WRITE (IU0,99992)
790   WRITE (IU0,99991) IY, Y(IY)
800   WRITE (IU0,99990) LX0, LY0, NO
      RETURN
C FORMAT STATEMENTS
99999 FORMAT(1X/23H *** LX = 1 OR LESS./)
99998 FORMAT(1X/23H *** LY = 1 OR LESS./)
99997 FORMAT(1X/22H *** N = 0 OR LESS./)
99996 FORMAT(1X/27H *** IDENTICAL X VALUES./)
99995 FORMAT(1X/33H *** X VALUES OUT OF SEQUENCE./)
99994 FORMAT(7H IX =, I6, 10X, 7HX(IX) =, E12.3)
99993 FORMAT(1X/27H *** IDENTICAL Y VALUES./)
99992 FORMAT(1X/33H *** Y VALUES OUT OF SEQUENCE./)
99991 FORMAT(7H IY =, I6, 10X, 7HY(IY) =, E12.3)
99990 FORMAT(7H LX =, I6, 10X, 4HLY =, I6, 10X, 3HN =, I7/
* 36H ERROR DETECTED IN ROUTINE ITPLBV)
      END
      SUBROUTINE SFCFIT(IU, LX, LY, X, Y, Z, MX, MY, NU, NV, U,
* V, W)
C SMOOTH SURFACE FITTING
      C THIS SUBROUTINE FITS A SMOOTH SURFACE OF A SINGLE-VALUED
      C BIVARIATE FUNCTION Z = Z(X,Y) TO A SET OF INPUT DATA
      C POINTS GIVEN AT INPUT GRID POINTS IN AN X-Y PLANE. IT
      C GENERATES A SET OF OUTPUT GRID POINTS BY EQUALLY DIVIDING
      C THE X AND Y COORDINATES IN EACH INTERVAL BETWEEN A PAIR
      C OF INPUT GRID POINTS, INTERPOLATES THE Z VALUE FOR THE
      C X AND Y VALUES OF EACH OUTPUT GRID POINT, AND GENERATES
      C A SET OF OUTPUT POINTS CONSISTING OF INPUT DATA POINTS
      C AND THE INTERPOLATED POINTS.
      C THE METHOD IS BASED ON A PIECE-WISE FUNCTION COMPOSED OF
      C A SET OF BICUBIC POLYNOMIALS IN X AND Y. EACH POLYNOMIAL
      C IS APPLICABLE TO A RECTANGLE OF THE INPUT GRID IN THE X-Y
      C PLANE. EACH POLYNOMIAL IS DETERMINED LOCALLY.
      C THE INPUT PARAMETERS ARE
      C IU = LOGICAL UNIT NUMBER OF STANDARD OUTPUT UNIT
      C LX = NUMBER OF INPUT GRID POINTS IN THE X COORDINATE
      C (MUST BE 2 OR GREATER)
      C LY = NUMBER OF INPUT GRID POINTS IN THE Y COORDINATE
      C (MUST BE 2 OR GREATER)
      C X = ARRAY OF DIMENSION LX STORING THE X COORDINATES
      C OF INPUT GRID POINTS (IN ASCENDING OR DESCENDING
      C ORDER)
      C Y = ARRAY OF DIMENSION LY STORING THE Y COORDINATES
      C OF INPUT GRID POINTS (IN ASCENDING OR DESCENDING
      C ORDER)
      C Z = DOUBLY-DIMENSIONED ARRAY OF DIMENSION (LX,LY)
      C STORING THE VALUES OF THE FUNCTION AT INPUT
      C GRID POINTS
      C MX = NUMBER OF SUBINTERVALS BETWEEN EACH PAIR OF
      C INPUT GRID POINTS IN THE X COORDINATE
      C (MUST BE 2 OR GREATER)
      C MY = NUMBER OF SUBINTERVALS BETWEEN EACH PAIR OF
      C INPUT GRID POINTS IN THE Y COORDINATE
      C (MUST BE 2 OR GREATER)
      C NU = NUMBER OF OUTPUT GRID POINTS IN THE X COORDINATE
      C = (LX-1)*MX+1
      C NV = NUMBER OF OUTPUT GRID POINTS IN THE Y COORDINATE
      C = (LY-1)*MY+1
      C THE OUTPUT PARAMETERS ARE
      C U = ARRAY OF DIMENSION NU WHERE THE X COORDINATES OF
      C OUTPUT POINTS ARE TO BE DISPLAYED
      C V = ARRAY OF DIMENSION NV WHERE THE Y COORDINATES OF
      C OUTPUT POINTS ARE TO BE DISPLAYED
      C W = DOUBLY-DIMENSIONED ARRAY OF DIMENSION (NU,NV)
      C WHERE THE Z COORDINATES OF OUTPUT POINTS ARE TO
      C BE DISPLAYED
      C SOME VARIABLES INTERNALLY USED ARE
      C ZA = DIVIDED DIFFERENCE OF Z WITH RESPECT TO X
      C ZB = DIVIDED DIFFERENCE OF Z WITH RESPECT TO Y
      C ZAB = SECOND ORDER DIVIDED DIFFERENCE OF Z WITH
      C RESPECT TO X AND Y
      C ZX = PARTIAL DERIVATIVE OF Z WITH RESPECT TO X
      C ZY = PARTIAL DERIVATIVE OF Z WITH RESPECT TO Y
      C ZXY = SECOND ORDER PARTIAL DERIVATIVE OF Z WITH
      C RESPECT TO X AND Y
      C DECLARATION STATEMENTS
      DIMENSION X(LX), Y(LY), Z(LX,LY), U(NU), V(NV), W(NU,NV)
      DIMENSION ZA(4,2), ZB(5), ZAB(2,3), ZX(2), ZY(2), ZXY(2)
      EQUIVALENCE (Z3A2,ZA(1,1)), (Z3A3,ZA(2,1)), (Z3A4,ZA(3,1)),
* (Z3A5,ZA(4,1)), (Z4A2,ZA(1,2)), (Z4A3,ZA(2,2)), (Z4A4,ZA(3,2)),
* (Z4A5,ZA(4,2)), (Z4B1,ZB(1)), (Z4B2,ZB(2)), (Z4B3,ZB(3)),
* (Z4B4,ZB(4)), (Z4B5,ZB(5)), (Z4B2,ZAB(1,1)),
* (Z4A2,ZAB(2,1)), (Z4B3,ZAB(1,2)), (Z4A3,ZAB(2,2)),
* (Z4B4,ZAB(1,3)), (Z4A4,ZAB(2,3)), (ZX43,ZX(1)),
* (ZX44,ZX(2)), (ZY43,ZY(1)), (ZY44,ZY(2)),
* (ZXY43,ZXY(1)), (ZXY44,ZXY(2)), (P00,Z33), (P01,ZY33),
* (P10,ZX33), (P11,ZXY33)
      EQUIVALENCE (IXM1,JX), (IXML,JY), (DU,DV,DX,DY),
* (FMX,BMX,FMY,RMY,SW,E), (W2,WY2,A,Q0), (W3,WY3,B,Q1),
* (WX2,C,Q2), (WX3,D,Q3), (Z3A2,P02), (Z4A2,P03),
* (Z4B1,P12), (Z4B2,P13), (Z4B4,P20), (Z4B5,P21),
* (Z4B2,P22), (Z4B4,P23)
      C PRELIMINARY PROCESSING
      C SETTING OF SOME INPUT PARAMETERS TO LOCAL VARIABLES
      IUO = IU
      LX0 = LX
      LXM1 = LX0 - 1
      LXM2 = LXM1 - 1
      LY0 = LY
      LYM1 = LY0 - 1
      LYM2 = LYM1 - 1
      MX0 = MX
      MXP1 = MX0 + 1
      MXM1 = MX0 - 1
      MY0 = MY
      MYP1 = MY0 + 1
      MYM1 = MY0 - 1
      NUO = NU

```



```

      NVO = NV
C ERROR CHECK
      IF (LXM2.LT.0) GO TO 400
      IF (LYM2.LT.0) GO TO 410
      IF (MXM1.LE.0) GO TO 420
      IF (MYM1.LE.0) GO TO 430
      IF (NUO.NE.LXM1*MXO+1) GO TO 440
      IF (NVO.NE.LYM1*MYO+1) GO TO 450
      IX = 2
      IF (X(1)-X(2)) 10, 460, 30
10 DD 20 IX=3,LX0
      IF (X(IX-1)-X(IX)) 20, 460, 470
20 CONTINUE
      GO TO 50
30 DD 40 IX=3,LX0
      IF (X(IX-1)-X(IX)) 470, 460, 40
40 CONTINUE
50 IY = 2
      IF (Y(1)-Y(2)) 60, 490, 80
60 DD 70 IY=3,LY0
      IF (Y(IY-1)-Y(IY)) 70, 490, 500
70 CONTINUE
      GO TO 100
80 DD 90 IY=3,LY0
      IF (Y(IY-1)-Y(IY)) 500, 490, 90
90 CONTINUE
C COMPUTATION OF THE U ARRAY
100 FMX = MXO
      RMX = 1.0/FMX
      KU = 1
      X4 = X(1)
      U(1) = X4
      DO 120 IX=2,LX0
          X3 = X4
          X4 = X(IX)
          DU = (X4-X3)*RMX
          DO 110 JX=1,MXM1
              KU = KU + 1
              U(KU) = U(KU-1) + DU
110 CONTINUE
          KU = KU + 1
          U(KU) = X4
120 CONTINUE
C COMPUTATION OF THE V ARRAY
      FMY = MYO
      RMY = 1.0/FMY
      KV = 1
      Y4 = Y(1)
      V(1) = Y4
      DO 140 IY=2,LY0
          Y3 = Y4
          Y4 = Y(IY)
          DV = (Y4-Y3)*RMY
          DO 130 JY=1,MYM1
              KV = KV + 1
              V(KV) = V(KV-1) + DV
130 CONTINUE
          KV = KV + 1
          V(KV) = Y4
140 CONTINUE
C MAIN DO-LOOPS
      JYMX = MYO
      KVO = 0
      DO 390 IY=2,LY0
          IYM2 = IY - 2
          IYM3 = IYM2 - 1
          IYML = IY - LY0
          IYML1 = IYML + 1
          IX6 = 0
          IF (IYML.EQ.0) JYMX = MYP1
          JYMX = MYO
          KUO = 0
          DO 380 IX=1,LX0
              IXM1 = IX - 1
              IXML = IX - LX0
              IF (IXML.EQ.0) JYMX = MXP1
C ROUTINES TO PICK UP NECESSARY X, Y, AND Z VALUES, TO
C COMPUTE THE ZA, ZB, AND ZAB VALUES, AND TO ESTIMATE THEM
C WHEN NECESSARY
C PRELIMINARY WHEN IX.EQ.1
          IF (IXM1.NE.0) GO TO 150
          Y3 = Y(IY-1)
          Y4 = Y(IY)
          B3 = 1.0/(Y4-Y3)
          B3SQ = B3*B3
          IF (IYM2.GT.0) B2 = 1.0/(Y3-Y(IY-2))
          IF (IYM3.GT.0) B1 = 1.0/(Y(IY-2)-Y(IY-3))
          IF (IYML.LT.0) B4 = 1.0/(Y(IY+1)-Y4)
          IF (IYML1.LT.0) B5 = 1.0/(Y(IY+2)-Y(IY+1))
          GO TO 180
C TO SAVE THE OLD VALUES
150 Z3A2 = Z3A3
      Z4A2 = Z4A3
      X3 = X4
      Z33 = Z43
      Z3B3 = Z4B3
      A3 = A4
      A3SQ = A3*A3
      Z3A3 = Z3A4
      Z4A3 = Z4A4
      Z4B2 = Z4A2
      Z4B3 = Z4A3
      Z4B4 = Z4A4
      Z4B5 = Z4A5
      Z4A4 = Z4A5
      Z4A5 = Z4A6
      Z4B4 = Z4A4
      Z4B5 = Z4A5
      A4 = A5
      Z3A4 = Z3A5
      Z4A4 = Z4A5
      Z4A5 = Z4A6
      Z4B4 = Z4A5
      Z4B5 = Z4A6
      A5 = A6
      Z3A5 = Z3A6
      Z4A5 = Z4A6
      Z4A6 = Z4A7
      Z4B5 = Z4A6
      Z4B6 = Z4A7
      Z4B7 = Z4A7
      Z4B8 = Z4A8
      Z4B9 = Z4A9
      Z4B10 = Z4A10
      Z4B11 = Z4A11
      Z4B12 = Z4A12
      Z4B13 = Z4A13
      Z4B14 = Z4A14
      Z4B15 = Z4A15
      Z4B16 = Z4A16
      Z4B17 = Z4A17
      Z4B18 = Z4A18
      Z4B19 = Z4A19
      Z4B20 = Z4A20
      Z4B21 = Z4A21
      Z4B22 = Z4A22
      Z4B23 = Z4A23
      Z4B24 = Z4A24
      Z4B25 = Z4A25
      Z4B26 = Z4A26
      Z4B27 = Z4A27
      Z4B28 = Z4A28
      Z4B29 = Z4A29
      Z4B30 = Z4A30
      Z4B31 = Z4A31
      Z4B32 = Z4A32
      Z4B33 = Z4A33
      Z4B34 = Z4A34
      Z4B35 = Z4A35
      Z4B36 = Z4A36
      Z4B37 = Z4A37
      Z4B38 = Z4A38
      Z4B39 = Z4A39
      Z4B40 = Z4A40
      Z4B41 = Z4A41
      Z4B42 = Z4A42
      Z4B43 = Z4A43
      Z4B44 = Z4A44
      Z4B45 = Z4A45
      Z4B46 = Z4A46
      Z4B47 = Z4A47
      Z4B48 = Z4A48
      Z4B49 = Z4A49
      Z4B50 = Z4A50
      Z4B51 = Z4A51
      Z4B52 = Z4A52
      Z4B53 = Z4A53
      Z4B54 = Z4A54
      Z4B55 = Z4A55
      Z4B56 = Z4A56
      Z4B57 = Z4A57
      Z4B58 = Z4A58
      Z4B59 = Z4A59
      Z4B60 = Z4A60
      Z4B61 = Z4A61
      Z4B62 = Z4A62
      Z4B63 = Z4A63
      Z4B64 = Z4A64
      Z4B65 = Z4A65
      Z4B66 = Z4A66
      Z4B67 = Z4A67
      Z4B68 = Z4A68
      Z4B69 = Z4A69
      Z4B70 = Z4A70
      Z4B71 = Z4A71
      Z4B72 = Z4A72
      Z4B73 = Z4A73
      Z4B74 = Z4A74
      Z4B75 = Z4A75
      Z4B76 = Z4A76
      Z4B77 = Z4A77
      Z4B78 = Z4A78
      Z4B79 = Z4A79
      Z4B80 = Z4A80
      Z4B81 = Z4A81
      Z4B82 = Z4A82
      Z4B83 = Z4A83
      Z4B84 = Z4A84
      Z4B85 = Z4A85
      Z4B86 = Z4A86
      Z4B87 = Z4A87
      Z4B88 = Z4A88
      Z4B89 = Z4A89
      Z4B90 = Z4A90
      Z4B91 = Z4A91
      Z4B92 = Z4A92
      Z4B93 = Z4A93
      Z4B94 = Z4A94
      Z4B95 = Z4A95
      Z4B96 = Z4A96
      Z4B97 = Z4A97
      Z4B98 = Z4A98
      Z4B99 = Z4A99
      Z4B100 = Z4A100
      Z4B101 = Z4A101
      Z4B102 = Z4A102
      Z4B103 = Z4A103
      Z4B104 = Z4A104
      Z4B105 = Z4A105
      Z4B106 = Z4A106
      Z4B107 = Z4A107
      Z4B108 = Z4A108
      Z4B109 = Z4A109
      Z4B110 = Z4A110
      Z4B111 = Z4A111
      Z4B112 = Z4A112
      Z4B113 = Z4A113
      Z4B114 = Z4A114
      Z4B115 = Z4A115
      Z4B116 = Z4A116
      Z4B117 = Z4A117
      Z4B118 = Z4A118
      Z4B119 = Z4A119
      Z4B120 = Z4A120
      Z4B121 = Z4A121
      Z4B122 = Z4A122
      Z4B123 = Z4A123
      Z4B124 = Z4A124
      Z4B125 = Z4A125
      Z4B126 = Z4A126
      Z4B127 = Z4A127
      Z4B128 = Z4A128
      Z4B129 = Z4A129
      Z4B130 = Z4A130
      Z4B131 = Z4A131
      Z4B132 = Z4A132
      Z4B133 = Z4A133
      Z4B134 = Z4A134
      Z4B135 = Z4A135
      Z4B136 = Z4A136
      Z4B137 = Z4A137
      Z4B138 = Z4A138
      Z4B139 = Z4A139
      Z4B140 = Z4A140
      Z4B141 = Z4A141
      Z4B142 = Z4A142
      Z4B143 = Z4A143
      Z4B144 = Z4A144
      Z4B145 = Z4A145
      Z4B146 = Z4A146
      Z4B147 = Z4A147
      Z4B148 = Z4A148
      Z4B149 = Z4A149
      Z4B150 = Z4A150
      Z4B151 = Z4A151
      Z4B152 = Z4A152
      Z4B153 = Z4A153
      Z4B154 = Z4A154
      Z4B155 = Z4A155
      Z4B156 = Z4A156
      Z4B157 = Z4A157
      Z4B158 = Z4A158
      Z4B159 = Z4A159
      Z4B160 = Z4A160
      Z4B161 = Z4A161
      Z4B162 = Z4A162
      Z4B163 = Z4A163
      Z4B164 = Z4A164
      Z4B165 = Z4A165
      Z4B166 = Z4A166
      Z4B167 = Z4A167
      Z4B168 = Z4A168
      Z4B169 = Z4A169
      Z4B170 = Z4A170
      Z4B171 = Z4A171
      Z4B172 = Z4A172
      Z4B173 = Z4A173
      Z4B174 = Z4A174
      Z4B175 = Z4A175
      Z4B176 = Z4A176
      Z4B177 = Z4A177
      Z4B178 = Z4A178
      Z4B179 = Z4A179
      Z4B180 = Z4A180
      Z4B181 = Z4A181
      Z4B182 = Z4A182
      Z4B183 = Z4A183
      Z4B184 = Z4A184
      Z4B185 = Z4A185
      Z4B186 = Z4A186
      Z4B187 = Z4A187
      Z4B188 = Z4A188
      Z4B189 = Z4A189
      Z4B190 = Z4A190
      Z4B191 = Z4A191
      Z4B192 = Z4A192
      Z4B193 = Z4A193
      Z4B194 = Z4A194
      Z4B195 = Z4A195
      Z4B196 = Z4A196
      Z4B197 = Z4A197
      Z4B198 = Z4A198
      Z4B199 = Z4A199
      Z4B200 = Z4A200
      Z4B201 = Z4A201
      Z4B202 = Z4A202
      Z4B203 = Z4A203
      Z4B204 = Z4A204
      Z4B205 = Z4A205
      Z4B206 = Z4A206
      Z4B207 = Z4A207
      Z4B208 = Z4A208
      Z4B209 = Z4A209
      Z4B210 = Z4A210
      Z4B211 = Z4A211
      Z4B212 = Z4A212
      Z4B213 = Z4A213
      Z4B214 = Z4A214
      Z4B215 = Z4A215
      Z4B216 = Z4A216
      Z4B217 = Z4A217
      Z4B218 = Z4A218
      Z4B219 = Z4A219
      Z4B220 = Z4A220
      Z4B221 = Z4A221
      Z4B222 = Z4A222
      Z4B223 = Z4A223
      Z4B224 = Z4A224
      Z4B225 = Z4A225
      Z4B226 = Z4A226
      Z4B227 = Z4A227
      Z4B228 = Z4A228
      Z4B229 = Z4A229
      Z4B230 = Z4A230
      Z4B231 = Z4A231
      Z4B232 = Z4A232
      Z4B233 = Z4A233
      Z4B234 = Z4A234
      Z4B235 = Z4A235
      Z4B236 = Z4A236
      Z4B237 = Z4A237
      Z4B238 = Z4A238
      Z4B239 = Z4A239
      Z4B240 = Z4A240
      Z4B241 = Z4A241
      Z4B242 = Z4A242
      Z4B243 = Z4A243
      Z4B244 = Z4A244
      Z4B245 = Z4A245
      Z4B246 = Z4A246
      Z4B247 = Z4A247
      Z4B248 = Z4A248
      Z4B249 = Z4A249
      Z4B250 = Z4A250
      Z4B251 = Z4A251
      Z4B252 = Z4A252
      Z4B253 = Z4A253
      Z4B254 = Z4A254
      Z4B255 = Z4A255
      Z4B256 = Z4A256
      Z4B257 = Z4A257
      Z4B258 = Z4A258
      Z4B259 = Z4A259
      Z4B260 = Z4A260
      Z4B261 = Z4A261
      Z4B262 = Z4A262
      Z4B263 = Z4A263
      Z4B264 = Z4A264
      Z4B265 = Z4A265
      Z4B266 = Z4A266
      Z4B267 = Z4A267
      Z4B268 = Z4A268
      Z4B269 = Z4A269
      Z4B270 = Z4A270
      Z4B271 = Z4A271
      Z4B272 = Z4A272
      Z4B273 = Z4A273
      Z4B274 = Z4A274
      Z4B275 = Z4A275
      Z4B276 = Z4A276
      Z4B277 = Z4A277
      Z4B278 = Z4A278
      Z4B279 = Z4A279
      Z4B280 = Z4A280
      Z4B281 = Z4A281
      Z4B282 = Z4A282
      Z4B283 = Z4A283
      Z4B284 = Z4A284
      Z4B285 = Z4A285
      Z4B286 = Z4A286
      Z4B287 = Z4A287
      Z4B288 = Z4A288
      Z4B289 = Z4A289
      Z4B290 = Z4A290
      Z4B291 = Z4A291
      Z4B292 = Z4A292
      Z4B293 = Z4A293
      Z4B294 = Z4A294
      Z4B295 = Z4A295
      Z4B296 = Z4A296
      Z4B297 = Z4A297
      Z4B298 = Z4A298
      Z4B299 = Z4A299
      Z4B300 = Z4A300
      Z4B301 = Z4A301
      Z4B302 = Z4A302
      Z4B303 = Z4A303
      Z4B304 = Z4A304
      Z4B305 = Z4A305
      Z4B306 = Z4A306
      Z4B307 = Z4A307
      Z4B308 = Z4A308
      Z4B309 = Z4A309
      Z4B310 = Z4A310
      Z4B311 = Z4A311
      Z4B312 = Z4A312
      Z4B313 = Z4A313
      Z4B314 = Z4A314
      Z4B315 = Z4A315
      Z4B316 = Z4A316
      Z4B317 = Z4A317
      Z4B318 = Z4A318
      Z4B319 = Z4A319
      Z4B320 = Z4A320
      Z4B321 = Z4A321
      Z4B322 = Z4A322
      Z4B323 = Z4A323
      Z4B324 = Z4A324
      Z4B325 = Z4A325
      Z4B326 = Z4A326
      Z4B327 = Z4A327
      Z4B328 = Z4A328
      Z4B329 = Z4A329
      Z4B330 = Z4A330
      Z4B331 = Z4A331
      Z4B332 = Z4A332
      Z4B333 = Z4A333
      Z4B334 = Z4A334
      Z4B335 = Z4A335
      Z4B336 = Z4A336
      Z4B337 = Z4A337
      Z4B338 = Z4A338
      Z4B339 = Z4A339
      Z4B340 = Z4A340
      Z4B341 = Z4A341
      Z4B342 = Z4A342
      Z4B343 = Z4A343
      Z4B344 = Z4A344
      Z4B345 = Z4A345
      Z4B346 = Z4A346
      Z4B347 = Z4A347
      Z4B348 = Z4A348
      Z4B349 = Z4A349
      Z4B350 = Z4A350
      Z4B351 = Z4A351
      Z4B352 = Z4A352
      Z4B353 = Z4A353
      Z4B354 = Z4A354
      Z4B355 = Z4A355
      Z4B356 = Z4A356
      Z4B357 = Z4A357
      Z4B358 = Z4A358
      Z4B359 = Z4A359
      Z4B360 = Z4A360
      Z4B361 = Z4A361
      Z4B362 = Z4A362
      Z4B363 = Z4A363
      Z4B364 = Z4A364
      Z4B365 = Z4A365
      Z4B366 = Z4A366
      Z4B367 = Z4A367
      Z4B368 = Z4A368
      Z4B369 = Z4A369
      Z4B370 = Z4A370
      Z4B371 = Z4A371
      Z4B372 = Z4A372
      Z4B373 = Z4A373
      Z4B374 = Z4A374
      Z4B375 = Z4A375
      Z4B376 = Z4A376
      Z4B377 = Z4A377
      Z4B378 = Z4A378
      Z4B379 = Z4A379
      Z4B380 = Z4A380
      Z4B381 = Z4A381
      Z4B382 = Z4A382
      Z4B383 = Z4A383
      Z4B384 = Z4A384
      Z4B385 = Z4A385
      Z4B386 = Z4A386
      Z4B387 = Z4A387
      Z4B388 = Z4A388
      Z4B389 = Z4A389
      Z4B390 = Z4A390
      Z4B391 = Z4A391
      Z4B392 = Z4A392
      Z4B393 = Z4A393
      Z4B394 = Z4A394
      Z4B395 = Z4A395
      Z4B396 = Z4A396
      Z4B397 = Z4A397
      Z4B398 = Z4A398
      Z4B399 = Z4A399
      Z4B400 = Z4A400
      Z4B401 = Z4A401
      Z4B402 = Z4A402
      Z4B403 = Z4A403
      Z4B404 = Z4A404
      Z4B405 = Z4A405
      Z4B406 = Z4A406
      Z4B407 = Z4A407
      Z4B408 = Z4A408
      Z4B409 = Z4A409
      Z4B410 = Z4A410
      Z4B411 = Z4A411
      Z4B412 = Z4A412
      Z4B413 = Z4A413
      Z4B414 = Z4A414
      Z4B415 = Z4A415
      Z4B416 = Z4A416
      Z4B417 = Z4A417
      Z4B418 = Z4A418
      Z4B419 = Z4A419
      Z4B420 = Z4A420
      Z4B421 = Z4A421
      Z4B422 = Z4A422
      Z4B423 = Z4A423
      Z4B424 = Z4A424
      Z4B425 = Z4A425
      Z4B426 = Z4A426
      Z4B427 = Z4A427
      Z4B428 = Z4A428
      Z4B429 = Z4A429
      Z4B430 = Z4A430
      Z4B431 = Z4A431
      Z4B432 = Z4A432
      Z4B433 = Z4A433
      Z4B434 = Z4A434
      Z4B435 = Z4A435
      Z4B436 = Z4A436
      Z4B437 = Z4A437
      Z4B438 = Z4A438
      Z4B439 = Z4A439
      Z4B440 = Z4A440
      Z4B441 = Z4A441
      Z4B442 = Z4A442
      Z4B443 = Z4A443
      Z4B444 = Z4A444
      Z4B445 = Z4A445
      Z4B446 = Z4A446
      Z4B447 = Z4A447
      Z4B448 = Z4A448
      Z4B449 = Z4A449
      Z4B450 = Z4A450
      Z4B451 = Z4A451
      Z4B452 = Z4A452
      Z4B453 = Z4A453
      Z4B454 = Z4A454
      Z4B455 = Z4A455
      Z4B456 = Z4A456
      Z4B457 = Z4A457
      Z4B458 = Z4A458
      Z4B459 = Z4A459
      Z4B460 = Z4A460
      Z4B461 = Z4A461
      Z4B462 = Z4A462
      Z4B463 = Z4A463
      Z4B464 = Z4A464
      Z4B465 = Z4A465
      Z4B466 = Z4A466
      Z4B467 = Z4A467
      Z4B468 = Z4A468
      Z4B469 = Z4A469
      Z4B470 = Z4A470
      Z4B471 = Z4A471
      Z4B472 = Z4A472
      Z4B473 = Z4A473
      Z4B474 = Z4A474
      Z4B475 = Z4A475
      Z4B476 = Z4A476
      Z4B477 = Z4A477
      Z4B478 = Z4A478
      Z4B479 = Z4A479
      Z4B480 = Z4A480
      Z4B481 = Z4A481
      Z4B482 = Z4A482
      Z4B483 = Z4A483
      Z4B484 = Z4A484
      Z4B485 = Z4A485
      Z4B486 = Z4A486
      Z4B487 = Z4A487
      Z4B488 = Z4A488
      Z4B489 = Z4A489
      Z4B490 = Z4A490
      Z4B491 = Z4A491
      Z4B492 = Z4A492
      Z4B493 = Z4A493
      Z4B494 = Z4A494
      Z4B495 = Z4A495
      Z4B496 = Z4A496
      Z4B497 = Z4A497
      Z4B498 = Z4A498
      Z4B499 = Z4A499
      Z4B500 = Z4A500
      Z4B501 = Z4A501
      Z4B502 = Z4A502
      Z4B503 = Z4A503
      Z4B504 = Z4A504
      Z4B505 = Z4A505
      Z4B506 = Z4A506
      Z4B507 = Z4A507
      Z4B508 = Z4A508
      Z4B509 = Z4A509
      Z4B510 = Z4A510
      Z4B511 = Z4A511
      Z4B512 = Z4A512
      Z4B513 = Z4A513
      Z4B514 = Z4A514
      Z4B515 = Z4A515
      Z4B516 = Z4A516
      Z4B517 = Z4A517
      Z4B518 = Z4A518
      Z4B519 = Z4A519
      Z4B520 = Z4A520
      Z4B521 = Z4A521
      Z4B522 = Z4A522
      Z4B523 = Z4A523
      Z4B524 = Z4A524
      Z4B525 = Z4A525
      Z4B526 = Z4A526
      Z4B527 = Z4A527
      Z4B528 = Z4A528
      Z4B529 = Z4A529
      Z4B530 = Z4A530
      Z4B531 = Z4A531
      Z4B532 = Z4A532
      Z4B533 = Z4A533
      Z4B534 = Z4A534
      Z4B535 = Z4A535
      Z4B536 = Z4A536
      Z4B537 = Z4A537
      Z4B538 = Z4A538
      Z4B539 = Z4A539
      Z4B540 = Z4A540
      Z4B541 = Z4A541
      Z4B542 = Z4A542
      Z4B543 = Z4A543
      Z4B544 = Z4A544
      Z4B545 = Z4A545
      Z4B546 = Z4A546
      Z4B547 = Z4A547
      Z4B548 = Z4A548
      Z4B549 = Z4A549
      Z4B550 = Z4A550
      Z4B551 = Z4A551
      Z4B552 = Z4A552
      Z4B553 = Z4A553
      Z4B554 = Z4A554
      Z4B555 = Z4A555
      Z4B556 = Z4A556
      Z4B557 = Z4A557
      Z4B558 = Z4A558
      Z4B559 = Z4A559
      Z4B560 = Z4A560
      Z4B561 = Z4A561
      Z4B562 = Z4A562
      Z4B563 = Z4A563
      Z4B564 = Z4A564
      Z4B565 = Z4A565
      Z4B566 = Z4A566
      Z4B567 = Z4A567
      Z4B568 = Z4A568
      Z4B569 = Z4A569
      Z4B570 = Z4A570
      Z4B571 = Z4A571
      Z4B572 = Z4A572
      Z4B573 = Z4A573
      Z4B574 = Z4A574
      Z4B575 = Z4A575
      Z4B576 = Z4A576
      Z4B577 = Z4A577
      Z4B578 = Z4A578
      Z4B579 = Z4A579
      Z4B580 = Z4A580
      Z4B581 = Z4A581
      Z4B582 = Z4A582
      Z4B583 = Z4A583
      Z4B584 = Z4A584
      Z4B585 = Z4A585
      Z4B586 = Z4A586
      Z4B587 = Z4A587
      Z4B588 = Z4A588
      Z4B589 = Z4A589
      Z4B590 = Z4A590
      Z4B591 = Z4A591
      Z4B592 = Z4A592
      Z4B593 = Z4A593
      Z4B594 = Z4A594
      Z4B595 = Z4A595
      Z4B596 = Z4A596
      Z4B597 = Z4A597
      Z4B598 = Z4A598
      Z4B599 = Z4A599
      Z4B600 = Z4A600
      Z4B601 = Z4A601
      Z4B602 = Z4A602
      Z4B603 = Z4A603
      Z4B604 = Z4A604
      Z4B605 = Z4A605
      Z4B606 = Z4A606
      Z4B607 = Z4A607
      Z4B608 = Z4A608
      Z4B609 = Z4A609
      Z4B610 = Z4A610
      Z4B611 = Z4A611
      Z4B612 = Z4A612
      Z4B613 = Z4A613
      Z4B614 = Z4A614
      Z4B615 = Z4A615
      Z4B616 = Z4A616
      Z4B617 = Z4A617
      Z4B618 = Z4A618
      Z4B619 = Z4A619
      Z4B620 = Z4A620
      Z4B621 = Z4A621
      Z4B622 = Z4A622
      Z4B623 = Z4A623
      Z4B624 = Z4A624
      Z4B625 = Z4A625
      Z4B626 = Z4A626
      Z4B627 = Z4A627
      Z4B628 = Z4A628
      Z4B629 = Z4A629
      Z4B630 = Z4A630
      Z4B631 = Z4A631
      Z4B632 = Z4A632
      Z4B633 = Z4A633
      Z4B634 = Z4A634
      Z4B635 = Z4A635
      Z4B636 = Z4A636
      Z4B637 = Z4A637
      Z4B638 = Z4A638
      Z4B639 = Z4A639
      Z4B640 = Z4A640
      Z4B641 = Z4A641
      Z4B642 = Z4A642
      Z4B643 = Z4A643
      Z4B644 = Z4A644
      Z4B645 = Z4A645
      Z4B646 = Z4A646
      Z4B647 = Z4A647
      Z4B648 = Z4A648
      Z4B649 = Z4A649
      Z4B650 = Z4A650
      Z4B651 = Z4A651
      Z4B652 = Z4A652
      Z4B653 = Z4A653
      Z4B654 = Z4A654
      Z4B655 = Z4A655
      Z4B656 = Z4A656
      Z4B657 = Z4A657
      Z4B658 = Z4A658
      Z4B659 = Z4A659
      Z4B660 = Z4A660
      Z4B661 = Z4A661
      Z4B662 = Z4A662
      Z4B663 = Z4A663
      Z4B664 = Z4A664
      Z4B665 = Z4A665
      Z4B666 = Z4A666
      Z4B667 = Z4A667
      Z4B668 = Z4A668
      Z4B669 = Z4A669
      Z4B670 = Z4A670
      Z4B671 = Z4A671
      Z4B672 = Z4A672
      Z4B673 = Z4A673
      Z4B674 = Z4A674
      Z4B675 = Z4A675
      Z4B676 = Z4A676
      Z4B677 = Z4A677
      Z4B678 = Z4A678
      Z4B679 = Z4A679
      Z4B680 = Z4A680
      Z4B681 = Z4A681
      Z4B682 = Z4A682
      Z4B683 = Z4A683
      Z4B684 = Z4A684
      Z4B685 = Z4A685
      Z4B686 = Z4A686
      Z4B687 = Z4A687
      Z4B688 = Z4A688
      Z4B689 = Z4A689
      Z4B690 = Z4A690
      Z4B691 = Z4A691
      Z4B692 = Z4A692
      Z4B693 = Z4A693
      Z4B694 = Z4A694
      Z4B695 = Z4A695
      Z4B696 = Z4A696
      Z4B697 = Z4A697
      Z4B698 = Z4A698
      Z4B699 = Z4A699
      Z4B700 = Z4A700
      Z4B701 = Z4A701
      Z4B702 = Z4A702
      Z4B703 = Z4A703
      Z4B704 = Z4A704
      Z4B705 = Z4A705
      Z4B706 = Z4A706
      Z4B707 = Z4A707
      Z4B708 = Z4A708
      Z4B709 = Z4A709
      Z4B710 = Z4A710
      Z4B711 = Z4A711
      Z4B712 = Z4A712
      Z4B713 = Z4A713
      Z4B714 = Z4A714
      Z4B715 = Z4A715
      Z4B716 = Z4A716
      Z4B717 = Z4A717
      Z4B718 = Z4A718
      Z4B719 = Z4A719
      Z4B720 = Z4A720
      Z4B721 = Z4A721
      Z4B722 = Z4A722
      Z4B723 = Z4A723
      Z4B724 = Z4A724
      Z4B725 = Z4A725
      Z4B726 = Z4A726
      Z4B727 = Z4A727
      Z4B728 = Z4A728
      Z4B729 = Z4A729
      Z4B730 = Z4A730
      Z4B731 = Z4A731
      Z4B732 = Z4A732
      Z4B733 = Z4A733
      Z4B734 = Z4A734
      Z4B735 = Z4A735
      Z4B736 = Z4A736
      Z4B737 = Z4A737
      Z4B738 = Z4A738
      Z4B739 = Z4A739
      Z4B740 = Z4A740
      Z4B741 = Z4A741
      Z4B742 = Z4A742
      Z4B743 = Z4A743
      Z4B744 = Z4A744
      Z
```

```

270  Z3A5 = Z3A4
     Z4A5 = Z4A4
     IF (IXML.EQ.0) GO TO 290
     ZA5B2 = Z4A2
     ZA5B3 = Z4A3
     ZA5B4 = Z4A4
C TO ESTIMATE THE ZA AND ZAB VALUES
C WHEN IX.EQ.1
280  IF (IXM1.NE.0) GO TO 290
     Z3A3 = Z3A4 + Z3A4 - Z3A5
     Z3A2 = Z3A3 + Z3A3 - Z3A4
     Z4A3 = Z4A4 + Z4A4 - Z4A5
     Z4A2 = Z4A3 + Z4A3 - Z4A4
     ZA3B2 = ZA4B2 + ZA4B2 - ZA5B2
     ZA3B3 = ZA4B3 + ZA4B3 - ZA5B3
     ZA3B4 = ZA4B4 + ZA4B4 - ZA5B4
     GO TO 300
C NUMERICAL DIFFERENTIATION --- TO DETERMINE PARTIAL
C DERIVATIVES ZX, ZY, AND ZXY AS WEIGHTED MEANS OF DIVIDED
C DIFFERENCES ZA, ZB, AND ZAB, RESPECTIVELY
C TO SAVE THE OLD VALUES WHEN IX.NE.1
290  ZX33 = ZX43
     ZX34 = ZX44
     ZY33 = ZY43
     ZY34 = ZY44
     ZXY33 = ZXY43
     ZXY34 = ZXY44
C NEW COMPUTATION
300  DO 350 JY=1,2
     W2 = ABS(ZA(4,JY)-ZA(3,JY))
     W3 = ABS(ZA(2,JY)-ZA(1,JY))
     SW = W2 + W3
     IF (SW.EQ.0.0) GO TO 310
     WX2 = W2/SW
     WX3 = W3/SW
     GO TO 320
310  WX2 = 0.5
     WX3 = 0.5
320  ZX(JY) = WX2*ZA(2,JY) + WX3*ZA(3,JY)
     W2 = ABS(ZB(JY+3)-ZB(JY+2))
     W3 = ABS(ZB(JY+1)-ZB(JY))
     SW = W2 + W3
     IF (SW.EQ.0.0) GO TO 330
     WY2 = W2/SW
     WY3 = W3/SW
     GO TO 340
330  WY2 = 0.5
     WY3 = 0.5
340  ZY(JY) = WY2*ZB(JY+1) + WY3*ZB(JY+2)
     ZXY(JY) = WY2*(WX2*ZAB(1,JY)+WX3*ZAB(2,JY)) +
     * WY3*(WX2*ZAB(1,JY+1)+WX3*ZAB(2,JY+1))
350  CONTINUE
     IF (IXM1.EQ.0) GO TO 380
C DETERMINATION OF THE COEFFICIENTS OF THE POLYNOMIAL
ZX3B3 = (ZX34-ZX33)*B3
ZX4B3 = (ZX44-ZX43)*B3
ZY3A3 = (ZY43-ZY33)*A3
ZY4A3 = (ZY44-ZY34)*A3
A = ZA3B3 - ZX3B3 - ZY3A3 + ZXY33
B = ZX4B3 - ZX3B3 - ZXY43 + ZXY33
C = ZY4A3 - ZY3A3 - ZXY34 + ZXY33
D = ZXY44 - ZXY43 - ZXY34 + ZXY33
E = A + A - B - C
P02 = (2.0*(Z3B3-ZY33)+Z3B3-ZY34)*B3
P03 = (-2.0*Z3B3+ZY34+ZY33)*B3SQ
P12 = (2.0*(ZX3B3-ZXY33)+ZX3B3-ZXY34)*B3
P13 = (-2.0*ZX3B3+ZXY34+ZXY33)*B3SQ
P20 = (2.0*(Z3A3-ZX33)+Z3A3-ZX43)*A3
P21 = (2.0*(ZY3A3-ZXY33)+ZY3A3-ZXY43)*A3
P22 = (3.0*(A+E)+D)*A3*B3
P23 = (-3.0*E-B-D)*A3*B3SQ
P30 = (-2.0*Z3A3+ZX43+ZX33)*A3SQ
P31 = (-2.0*ZY3A3+ZXY43+ZXY33)*A3SQ
P32 = (-3.0*E-C-D)*B3*A3SQ
P33 = (D+E+E)*A3SQ*B3SQ
C COMPUTATION OF THE POLYNOMIAL
DO 370 JY=1,JYMX
KV = KVO + JY
DY = V(KV) - Y3
Q0 = P00 + DY*(P01+DY*(P02+DY*P03))
Q1 = P10 + DY*(P11+DY*(P12+DY*P13))
Q2 = P20 + DY*(P21+DY*(P22+DY*P23))
Q3 = P30 + DY*(P31+DY*(P32+DY*P33))
DO 360 JX=1,JYMX
KU = KVO + JX
DX = U(KU) - X3
W(KU,KV) = Q0 + DX*(Q1+DX*(Q2+DX*Q3))
360  CONTINUE
370  CONTINUE
     KUO = KUO + MXO
380  CONTINUE
     KVO = KVO + MYO
390  CONTINUE
C NORMAL EXIT
     RETURN
C ERROR EXIT
400  WRITE (IUO,99999)
     GO TO 520
410  WRITE (IUO,99998)
     GO TO 520
420  WRITE (IUO,99997)
     GO TO 520
430  WRITE (IUO,99996)
     GO TO 520
440  WRITE (IUO,99995)
     GO TO 520
450  WRITE (IUO,99994)
     GO TO 520
460  WRITE (IUO,99993)
     GO TO 480
470  WRITE (IUO,99992)
480  WRITE (IUO,99991) IX, X(IX)
     GO TO 520
490  WRITE (IUO,99990)
     GO TO 510
500  WRITE (IUO,99989)
510  WRITE (IUO,99988) IY, Y(IY)
520  WRITE (IUO,99987) LXO, MXO, NUO, LYO, MYO, NVO
     RETURN
C FORMAT STATEMENTS
99999 FORMAT(1X/23H *** LX = 1 OR LESS./)
99998 FORMAT(1X/23H *** LY = 1 OR LESS./)
99997 FORMAT(1X/23H *** MX = 1 OR LESS./)
99996 FORMAT(1X/23H *** MY = 1 OR LESS./)
99995 FORMAT(1X/26H *** IMPROPER NU VALUE./)
99994 FORMAT(1X/26H *** IMPROPER NV VALUE./)
99993 FORMAT(1X/27H *** IDENTICAL X VALUES./)
99992 FORMAT(1X/33H *** X VALUES OUT OF SEQUENCE./)
99991 FORMAT(7H IX =, I6, 10X, 7HX(IX) =, E12.3)
99990 FORMAT(1X/27H *** IDENTICAL Y VALUES./)
99989 FORMAT(1X/33H *** Y VALUES OUT OF SEQUENCE./)
99988 FORMAT(7H IY =, I6, 10X, 7HY(IY) =, E12.3)
99987 FORMAT(7H LX =, I6, 10X, 4HMX =, I6, 10X, 4HNU =, I6/
* 7H LY =, I6, 10X, 4HMY =, I6, 10X, 4HNV =, I6/6H ERROR,
* 30H DETECTED IN ROUTINE SFCFIT)

```

Mason-modellen

blande.m

Program som forenkler kjøringen av `sensf.m` for ulike blandingsforhold mellom Araldite og metallpulver.

```
function [ut,z] = blande(f,phim,valg);
% [ut,z] = blande(f,phim,valg)
% Kjører sensf.m for ulike blandingsforhold
% mellom metall og Araldite.

% ut - matrise, flyttall, length(phim) x length(f),
%      resultat fra kjoeringer av sensf.m
% z - flyttall, spesifikk akustisk impedans
% f - vektor, flyttall, frekvenser
% phim - vektor, flyttall, masseandel metall i frontlaget
% valg - streng, 'aluminium' eller 'kobber'

%% Araldite
ce = 2620;
rhoe = 1160;
betae = rhoe*ce^2;

switch valg
case 'aluminium'
    %% Aluminium
    betaa = 7.5e10;
    rhoa = 2700;
case 'kobber'
    %% Kobber
    betaa = 16e10;
    rhoa = 8900;
end

phi = phim*rhoe./(rhoa + phim*(rhoe-rhoa));
betaeff = (1/betae*(1-phi) + 1/betaa*phi).^(-1);
rhoeff = rhoe*(1-phi) + rhoa*phi;
ceff = sqrt(betaeff./rhoeff);

for ii = 1:length(phim)
    ut(ii,:) = sensf(f,rhoeff(ii),ceff(ii));
end
z = rhoeff.*ceff;
```

tykk.m

Program som forenkler kjøringen av `sensf.m` ved ulike tykkelser på koblingslaget. `sensf.m` må modereres noe for å ta imot de rette argumentene.

```
function [ut,norml] = tykk(f,phim,lk,valg);
% [ut,norml] = tykk(f,phim,lk,valg)
% Kjører sensf.m for ulike tykkelser paa koblingslaget.

% sensf.m er som sensf.m, men mottar argumentene
% f, rhoeff, ceff, og lk.
%
% ut - matrise, flyttall, length(lk) x length(f),
%      resultat fra kjoeringer av sensf.m
% norml - flyttall, frontlagets tykkelse i boelgelengder
% f - vektor, flyttall, frekvenser
% phim - flyttall, masseandel metall i frontlaget
% lk - vektor, flyttall, tykkelser paa frontlaget
% valg - streng, 'aluminium' eller 'kobber'

%% Araldite
ce = 2620;
rhoe = 1160;
betae = rhoe*ce^2;

switch valg
case 'aluminium'
    %% Aluminium
    betaa = 7.5e10;
    rhoa = 2700;
case 'kobber'
    %% Kobber
    betaa = 16e10;
```

```

    rhoa = 8900;
end

phi = phim*rhoe./(rhoa + phim*(rhoe-rhoa));
betaeff = (1/betae*(1-phi) + 1/betaa*phi).^(-1);

rhoeff = rhoe*(1-phi) + rhoa*phi;
ceff = sqrt(betaeff./rhoeff);

fs = 1003.33e3; % Resonansfrekvens
norml = (lk./ceff)*fs;

% Kjoerer senst.m, en modifisert versjon
% av sensf.m.
for ii = 1:length(lk)
    ut(ii,:) = senst(f,rhoeff,ceff,lk(ii));
end
%z = rhoeff.*ceff;

```

sensf.m

Dette programmet implementerer Mason-modellen slik den er omskrevet i avsnitt 1.2.2. Det kan brukes til å finne transduserens admittans, kildefølsomhet og overføringsfunksjon H^{Vu} med ulike koblingslag.

```

function [ssens] = sensf(f,rhok,ckinn)
% [ssens] = sensf(f,rhok,ckinn)
% Mason-modell for skive med frontlag mot vann, luft bak skiven.
% ssens -- kildefølsomhet
% f -- frekvens
% rhok -- massetetthet koblingslag
% ckinn -- lydfart koblingslag

d = 49.955e-3; % diameter
V = 1; % inngangsspennning (amplitude)
A = pi*(d/2)^2; % areal

% --- Piezokeramisk element ---
c33D = 1.5621e11;
eps33S = 5.8140e-9;
e33 = 13.9142;
rhom = 7700; % tetthet
Qm = 1090; % mekanisk Q-faktor
tand = 0.003; % elektrisk tapsfaktor
l = 2.0322e-3; % tykkelse
fs = 1003.33e3; % TE serie-resonansfrekvens
% c33D1 = c33D.*(1 + i./Qm); % korreksjon for mekanisk tap
C0 = eps33S.*A./l; % parallellkapasitans
C0 = C0.*sqrt(1 - i.*tand); % dielektrisk tap
cm = sqrt(c33D1./rhom); % lydfart
phi = e33.*A./l; % koblingsfaktor

% --- Frontlag ---
Qmk = 200;
% lk = ckinn./fs*1/4; % tykkelse
lk = 5.38e-4;
% ck = ckinn*sqrt(1 + i./Qmk); % korreksjon for mekanisk tap
ck = ckinn;

% --- Vann ---
c0 = 1500;
rho0 = 1000;

w = 2.*pi.*f;
km = w./cm;
kk = w./ck;
Z0m = rhom.*cm.*A;
ZA = (i.*Z0m./phi.^2).*tan(km.*l./2);
ZB = Z0m./(i.*phi.^2.*sin(km.*l));
Z0k = rhok.*ck.*A;
ZAK = (i.*Z0k./phi.^2).*tan(kk.*lk./2);
ZBK = Z0k./(i.*phi.^2.*sin(kk.*lk));
ZR = A.*rho0.*c0./phi.^2;

ZC = i./(w.*C0);
%YT = i.*w.*C0 + 1./(ZC + ZB + ZA./2); % vakuum

ZAKR = ZAK + ZR;
ZL = ZAK + (1./(1./ZAKR + 1./ZBK));
%ZL1 = ZL.*ZBK./(ZL-ZAK);
ZL2 = ZL.*ZAKR./(ZL-ZAK);

```

```

ZAL1 = ZA;
ZAL2 = ZA + ZL;
ZBC = ZB + ZC;
ZP = 1./(1./ZAL2 + 1./ZAL1) + ZBC;

YT = i.*w.*CO + 1./ZP; % med last

%%ZM1 = ZAL1.*ZP./(ZP-ZBC);
ZM2 = ZAL2.*ZP./(ZP-ZBC);

u2 = V./phi./ZM2;
ur = u2.*ZL./ZL2;
p = rho0.*c0.*ur;
ssens = p./V;

```

Behandling av måledata

naal.m

Kalibreringsprogram for Precision Acoustics-nålhydrofon.

```

function [trykk] = naal(spenning,frekvens)
% trykk = hydrofon(spenning,frekvens)
%
% Regner om signalet fra Precision Acoustics-naalhydrofonden ved hjelp av den oppgitte
% følsomheten.
%
% spenning - vektor [V]
% frekvens - flyttall [kHz]
%
% trykk - vektor [Pa]

S = [.6478 .563 .5024 .4755 .3473 .4257 .4144 .3893 .3939 .4059 .3832 .3733 ...
     .3712 .359 .3617 .3621 .3586 .3465 .3432 .3378]*1e-6; %PA [V/Pa]
%usikkerhet_rel = [.14 .14 .14 .14 .14 .15 .14 .14 .15 .16 .15 .15 .17 .17 ...
                  .17 .17 .17 .17 .17 .17];
%usikkerhet = S.*usikkerhet_rel;
f = [1:20]*1e3;

sens = spline(f,S,frekvens);

trykk = spenning/sens;

```

preamp4.m

Kalibreringsprogram for Panametrics-forforsterkeren.

```

function kalibrert = preamp4(ukalibrert)
% kalibrert = preamp4(ukalibrert)
%
% Regner om spenninger fra forforsterkerens utgang til inngangen
% ved 40 dB forsterkning. 50 Ohms last på begge terminalene.
% LeCroy måledata fra preamp.mat brukes.
% Programmet bruker 3. ordens polynomtilpasning ved hjelp av minste kvadraters metode.
% preamp.mat gjelder for 1005 kHz.

load preamp.mat
P = polyfit(ut,inn,3);
kalibrert = polyval(P,ukalibrert);

```

hydrofon.m

Kalibreringsprogram for GEC-Marconi-hydrofonden.

```

function [trykk] = hydrofon(spenning,frekvens,kabel)
% trykk = hydrofon(spenning,frekvens,kabel)
%
% Regner om signalet fra GEC-Marconi-hydrofonden ved hjelp av den oppgitte
% fritt felts følsomheten. Fra kabelen er bare den kapasitive lasten tatt med.
%
% spenning - vektor [V]
% frekvens - flyttall [kHz]

```

```

% kabel - flyttall [m] (Lengden på kabelen mellom hydrofonen og oscilloskopet (1M0hm))
%
% trykk - vektor [Pa]

S = [.035 .035 .036 .037 .037 .038 .039 .040 .041 .043 .044 .046 .047 .050 .052 ...
     .055 .057 .059 .061 .061]*1e-6; % GEC-Marconi
f = [1:20]*1e3;
R = [160 93 65 51 40 35 31 28 26 23 22 21 20 18 18 17 16 15];
X = -[1800 930 640 490 390 330 280 250 220 200 180 170 150 140 130 120 110 110 98 92];

if kabel > 0
    c = 100e-12*kabel + 15e-12;
else
    c = 320e-12;
end

r = spline(f,R,frekvens);
x = spline(f,X,frekvens);
sens0 = polyval(polyfit(f,S,2),frekvens);

ch = -1/(2*pi*frekvens*1e3*x);
sens = sens0*ch/(ch + c);

trykk = spenning/sens;

```

glattut.m

Erstatter defekte målepunkt med middelverdien av nabopunktene.

```

function inn = glattut(inn)
% ut = glattut(inn)
%
% Fjerner glipper i målinger fra LeCroy-oscilloskopet og
% erstatter dem med middelverdien av nabopunktene.

if size(inn,1) == 1 | size(inn,2) == 1
    for ii = 2:length(inn)-1
        if abs(inn(ii)-0.5*(inn(ii-1)+inn(ii+1))) > 0.08*0.5*(inn(ii-1)+inn(ii+1))
            inn(ii) = 0.5*(inn(ii-1) + inn(ii+1));
        end
    end
else
    for jj = 1:size(inn,1)
        for ii = 2:size(inn,2)-1
            if abs(inn(jj,ii)-0.5*(inn(jj,ii-1)+inn(jj,ii+1))) > 0.06*0.5*(inn(jj,ii-1)+inn(jj,ii+1))
                inn(jj,ii) = 0.5*(inn(jj,ii-1) + inn(jj,ii+1));
            end
        end
    end
end
end

```

trans.m

Program for Fouriertransformasjon av en matrise med en målt bølgeform i hver rad. Kaller et av kalibreringsprogrammene `naal.m` og `hydrofon.m` for å kompensere for hydrofonens følsomhet.

```

% trans.m
%
% Fouriertransformasjon og kalibrering
% av et maalt signal.

addpath /heim/audun/maalinger/kalib/
addpath /heim/audun/maalinger/styring/
% load AKSE.MAT

filnavn = 'a380h';

m = 455;
n = 100;

figure;
subplot(2,1,1);
plot([Uax(n,300:m) Uax(n,1:100)]);

subplot(2,1,2);

```

```
for ii = 1:size(Uax,1)
    tr(ii,:) = fft([Uax(ii,1:m) Uax(ii,1:m)]);
end
N = size(tr,2);
plot(abs(tr(n,1:120)));

streng = ['save ' filnavn ' z vdiv amp0 '];
amp0 = tr(:,1)/N;
for ii = 1:20
    eval(['amp' num2str(ii) ' = naal(2/N*abs(tr(:,1+10*ii)),1100*ii);']);
% eval(['amp' num2str(ii) ' = hydrofon(2/N*abs(tr(:,1+10*ii)),1100*ii,1);']);
    eval(['fase' num2str(ii) ' = -atan(real(tr(:,1+10*ii))./imag(tr(:,1+10*ii)));']);
    if ii < 7
        eval(['amp' num2str(ii) ' = glattut(amp' num2str(ii) ');']);
        eval(['fase' num2str(ii) ' = glattut(fase' num2str(ii) ');']);
    end
end

figure;
hold on;
for ii = 1:10
    eval(['plot(amp' num2str(ii) ');']);
    streng = [streng 'amp' num2str(ii) ' fase' num2str(ii) ' '];
end
hold off;

% Lagrer aksharm
eval(streng);
```


Bibliografi

- [1] L. E. Kinsler, A. R. Frey, A. B. Coppens og J. V. Sanders. *Fundamentals of Acoustics*. Wiley, 3. utg. utgave, 1982.
- [2] Sonic boom. USAF fact sheet 96-03.
- [3] Omtale av sober-programmet. www.cordis.lu/growth.
- [4] M. Vestrheim. Akustiske transdusere. Forelesningsnotater og laboratorieoppgaver for emnet FYS 272, Fysisk institutt, UiB.
- [5] IEEE std. 176-1987 — standard on piezoelectricity, 1987.
- [6] C. S. DeSilets, J. D. Fraser og G. S. Kino. The design of efficient broad-band piezoelectric transducers. *IEEE trans. son. ult.*, SU-25(3):115–125, 1978.
- [7] H. Hobæk. Ikkelineære vekselvirkninger mellom to lydstråler: En eksperimentell undersøkelse. Hovedfagsoppgave, Fysisk institutt, UiB, 1967.
- [8] N. G. Pace og P. D. Thorne. Efficiency of face-plated underwater acoustic transducers. *Ultrasonics*, 21:65–69, 1983.
- [9] O. Krauß, R. Gerlach og J. Fricke. Experimental and theoretical investigations of SiO₂-aerogel matched piezo-transducers. *Ultrasonics*, 32(3):217–222, 1994.
- [10] J. H. Goll og B. A. Auld. Multilayer impedance matching schemes for broadbanding of water loaded piezoelectric transducers and high q electric resonators. *IEEE trans. son. ult.*, SU-22(1):52–53, 1975.
- [11] J. H. Goll. The design of broad-band fluid-loaded ultrasonic transducers. *IEEE trans. son. ult.*, SU-26(6):385–393, 1979.
- [12] S. J. H. van Kervel og J. M. Thijssen. A calculation scheme for the optimum design of ultrasonic transducers. *Ultrasonics*, 21:134–140, 1983.
- [13] N. Lamberti, G. Caliano, A. Iula og M. Pappalardo. A new approach for the design of ultrasono-therapy transducers. *IEEE trans. son. ult.*, 44(1):77–84, 1997.

-
- [14] G. Kossoff. The effects of backing and matching on the performance of piezoelectric ceramic transducers. *IEEE transactions on sonics and ultrasonics*, SU-13(1):20–30, 1966.
- [15] M. Vestrheim. Akustiske målesystemer. Forelesningsnotater for emnet FYS 373, Fysisk institutt, UiB.
- [16] J. Kocbach. *Finite Element Modelling of Ultrasonic Piezoelectric Transducers*. Doktorgradsoppgave, Fysisk institutt, UiB, 2000.
- [17] Ø. Nesse. *Sound Propagation in Emulsions*. Doktorgradsoppgave, Fysisk institutt, UiB, 1998.
- [18] M. F. Hamilton og D. T. Blackstock, redaktører. *Nonlinear Acoustics*. Academic Press, 1997.
- [19] H. Hobæk. Nonlinear acoustics. Forelesningsnotater for emnet FYS 372, Fysisk institutt, UiB.
- [20] J. Berntsen. Numerical calculations of finite amplitude sound beams. I M. F. Hamilton og D. T. Blackstock, redaktør, *Frontiers of Nonlinear Acoustics*, side 191–196. Elsevier, London, 1990.
- [21] J. Naze Tjøtta, S. Tjøtta og E. H. Vefring. Effects of focusing on the nonlinear interaction between two collinear finite amplitude sound beams. *J. Acoust. Soc. Am.*, 89:1017–1027, 1991.
- [22] S. Nachev, D. Cathignol, A. M. Berg og S. Tjøtta. Investigation of a high intensity sound beam from a plane transducer. experimental and theoretical results. *J. Acoust. Soc. Am.*, 98(4):2303–2323, 1995.
- [23] B. Ystad og J. Berntsen. Numerical solution of the KZK equation for focusing sources. *Acta acustica*, 3:323–330, 1995.
- [24] J. Naze Tjøtta og S. Tjøtta. Model equation and boundary conditions for the sound field from a high frequency, strongly curved and highly intense transducer. *Acta acustica*, 1:69–87, 1993.
- [25] B. Ystad og J. Berntsen. Numerical solution of parabolic equations for strongly curved focusing sources. *Acustica/Acta acustica*, 82:698–706, 1996.
- [26] J. Naze Tjøtta, S. Tjøtta og E. H. Vefring. Propagation and interaction of two collinear finite amplitude sound beams. *J. Acoust. Soc. Am.*, 88:2859–2870, 1990.
- [27] M. F. Hamilton, J. N. Tjøtta og S. Tjøtta. Nonlinear effects in the farfield of a directive sound source. *J. Acoust. Soc. Am.*, 78(1):202–214, 1985.

-
- [28] C. F. Gerald og P. O. Wheatley. *Applied Numerical Analysis*. Addison-Wesley, 5 utgave, 1994.
- [29] J. Berntsen og E. H. Vefring. Numerical computation of a finite amplitude sound beam. Rapport 81, Matematisk institutt, UiB, 1986.
- [30] S. I. Aanonsen, T. Barkve, J. Naze Tjøtta og S. Tjøtta. Distortion and harmonic generation in the nearfield of a finite amplitude sound beam. *J. Acoust. Soc. Am.*, 75:749–768, 1984.
- [31] R. Fardal. Endelig element analyse av elektriske egenskaper til piezoelektriske skiver. Hovedfagsoppgave, Fysisk institutt, UiB, 2002.
- [32] F. Atterås. Materialkonstantar for piezokeramiske elementer. Hovedfagsoppgave, Fysisk institutt, UiB, 1998.
- [33] Guide to dynamic measurements of piezoelectric ceramics with high electromechanical coupling, 1976. IEC standard, publication 483.
- [34] Ferroperm material constants. Publisert på www.ferroperm-piezo.com, 2000.
- [35] J. Kocbach. Endelig element-modellering av piezoelektriske skiver. Hovedfagsoppgave, Fysisk institutt, UiB, 1996.
- [36] L. Pedersen. Acoustic properties. Publisert på www.ultrasonic.com.
- [37] R. Kippersund. Eksperimentell undersøkelse av ikkelinear lydforplantning fra plane og fokuserende kilder. Hovedfagsoppgave, Fysisk institutt, UiB, 2002.
- [38] GEC-Marconi. PVDF membrane hydrophone information sheet. Kalibreringsdata fra National Physical Laboratory 29. mars 1995.
- [39] Precision Acoustics Ltd. Hydrophone calibration certificate. Kalibreringsdata for nålhydrofon 17. desember 2001.
- [40] C. S. Williams. *Designing Digital Filters*. Prentice-Hall, 1985.
- [41] A. Papoulis. *Signal Analysis*. McGraw-Hill, 1984.
- [42] The MathWorks, Inc. Matlab 6 hjelpefiler, 2000.
- [43] B. G. Lucas og T. G. Muir. The field of a focusing source. *J. Acoust. Soc. Am.*, 72(4):1289–1296, 1982.